

COMMITTENTE:



PROGETTAZIONE:



DIRETTRICE FERROVIARIA MESSINA - CATANIA - PALERMO

NUOVO COLLEGAMENTO PALERMO - CATANIA

U.O. INFRASTRUTTURE NORD

PROGETTO DEFINITIVO

TRATTA LERCARA DIR. - CALTANISSETTA XIRBI (LOTTO 3)

FABBRICATI

Fabbricato IS-PPT - Tipologico M

Relazione di calcolo

SCALA:

-

COMMESSA LOTTO FASE ENTE TIPO DOC. OPERA/DISCIPLINA Progr. REV.

RS3T 30 D 26 CL FA00M0 001 C

Rev.	Descrizione	Redatto	Data	Verificato	Data	Approvato	Data	Autorizzato Data
A	Emissione Esecutiva	ATI Sintagma Rocksoll - Edin	Dic-2019	M.Salleolini	Dic-2019	A.Barreca	Dic-2019	F.Sacchi Apr-2020
B	Emissione Esecutiva	ATI Sintagma Rocksoll - Edin	Gen-2020	M.Salleolini	Gen-2020	A.Barreca	Gen-2020	
C	Emissione Esecutiva	ATI Sintagma Rocksoll - Edin	Apr-2020	M.Salleolini	Apr-2020	A.Barreca	Apr-2020	

File: RS3T.3.0.D.26.CL.FA.00.M.0.001.C

n. Elab.: 26_539

 ITALFERR GRUPPO FERROVIE DELLO STATO ITALIANE	DIRETTRICE FERROVIARIA MESSINA – CATANIA – PALERMO NUOVO COLLEGAMENTO PALERMO – CATANIA TRATTA LERCARA DIR – CALTANISSETTA XIRBI (LOTTO 3) FABBRICATI					
	Fabbricato IS-PPT - Tipologico M - Relazione di calcolo	COMMESSA	LOTTO	CODIFICA	DOCUMENTO	REV.
	RS3T	30 D 26	CL	FA00M0 001	C	1 di 104

INDICE

1	PREMESSA	3
2	SCOPO DEL DOCUMENTO	4
3	DOCUMENTI DI RIFERIMENTO.....	7
3.1	DOCUMENTI REFERENZIATI	7
3.2	DOCUMENTI CORRELATI	7
4	CARATTERISTICHE DEI MATERIALI	8
4.1	CEMENTO ARMATO.....	8
4.1.1	CALCESTRUZZO	8
4.1.2	ACCIAIO D'ARMATURA IN BARRE TONDE AD ADERENZA MIGLIORATA.....	9
4.1.3	COPRIFERRO	10
5	TERRENO DI FONDAZIONE	11
6	ANALISI DEI CARICHI	11
6.1	PESO PROPRIO STRUTTURE	12
6.1.1	SOLAIO DI COPERTURA	12
6.1.2	STRUTTURA PRINCIPALE IN C.A.	12
6.2	CARICHI PERMANENTI NON STRUTTURALI	12
6.3	SOVRACCARICO ACCIDENTALE	13
6.4	AZIONE DELLA NEVE	13
6.5	AZIONE DEL VENTO	14
6.6	VARIAZIONI TERMICHE.....	19
6.7	EFFETTI AERODINAMICI ASSOCIATI AL PASSAGGIO DEI CONVOGLI	20
6.8	AZIONE SISMICA.....	20
7	MODELLO STRUTTURALE E COMBINAZIONI DI CARICO	30
7.1	CONSIDERAZIONI GENERALI SUL MODELLO DI CALCOLO	30
7.2	COMBINAZIONI DELLE AZIONI	39

 ITALFERR GRUPPO FERROVIE DELLO STATO ITALIANE	DIRETTRICE FERROVIARIA MESSINA – CATANIA – PALERMO NUOVO COLLEGAMENTO PALERMO – CATANIA TRATTA LERCARA DIR – CALTANISSETTA XIRBI (LOTTO 3) FABBRICATI					
	Fabbricato IS-PPT - Tipologico M - Relazione di calcolo	COMMESSA RS3T	LOTTO 30 D 26	CODIFICA CL	DOCUMENTO FA00M0 001	REV. C

7.3 ANALISI MODALE	41
8 VERIFICHE STRUTTURALI	43
8.1 SOLAIO DI COPERTURA	43
8.2 VERIFICHE DEGLI ELEMENTI NON STRUTTURALI E DEGLI IMPIANTI.....	51
8.3 TRAVI DI BORDO 30X40	55
8.3.1 VERIFICA A FLESSIONE.....	58
8.3.2 VERIFICA A TAGLIO E TORSIONE	64
8.3.3 VERIFICA LIMITAZIONI ARMATURA.....	67
8.4 TRAVI 30X50	69
8.4.1 VERIFICA A FLESSIONE.....	71
8.4.2 VERIFICA A TAGLIO E TORSIONE	75
8.4.3 VERIFICA LIMITAZIONI ARMATURA.....	78
8.5 PILASTRI D'ANGOLO (30X60)	80
8.5.1 VERIFICA A FLESSIONE.....	81
8.5.2 VERIFICA LIMITAZIONI ARMATURA.....	87
8.6 PILASTRI INTERNI (30X60).....	90
8.6.1 VERIFICA A FLESSIONE.....	91
8.6.2 VERIFICA LIMITAZIONI ARMATURA.....	96
8.7 VERIFICA DEGLI ELEMENTI STRUTTURALI IN TERMINI DI CONTENIMENTO DEL DANNO AGLI ELEMENTI NON STRUTTURALI (SLO)	99
9 REAZIONI VINCOLARI	100
10 VERIFICHE AL FUOCO	102
10.1 RESISTENZA AL FUOCO: TRAVI	102
10.2 RESISTENZA AL FUOCO: PILASTRI.....	103
10.3 RESISTENZA AL FUOCO: SOLAI	103
11 CONCLUSIONI.....	104

 ITALFERR GRUPPO FERROVIE DELLO STATO ITALIANE	DIRETTRICE FERROVIARIA MESSINA – CATANIA – PALERMO NUOVO COLLEGAMENTO PALERMO – CATANIA TRATTA LERCARA DIR – CALTANISSETTA XIRBI (LOTTO 3) FABBRICATI					
	Fabbricato IS-PPT - Tipologico M - Relazione di calcolo	COMMESSA RS3T	LOTTO 30 D 26	CODIFICA CL	DOCUMENTO FA00M0 001	REV. C

1 PREMESSA

Il presente documento è emesso nell'ambito dello sviluppo della Progettazione Definitiva della Direttoria Ferroviaria Messina-Catania-Palermo, nuovo collegamento Palermo-Catania, tratta Lercara DIR - Caltanissetta Xirbi (Lotto 3).

Nel progetto sono presenti i fabbricati tipologici riportati schematicamente nella seguente tabella:

Fabbricati	Tipologico
Fabbricato PGEP	A
Locali e Vasca antincendio	B
Fabbricato E1	C
Fabbricato E1	D
Fabbricato E5	F
Fabbricato E3	G
Fabbricato IS-PP/ACC	H
Fabbricato IS-PPT	M
Fabbricato FSA-UFFICI	N
Fabbricato FSA-MAGAZZINO	O
Fabbricato E3	P
Fabbricato IS-PP/ACC	Q

La posizione effettiva piazzale per piazzale di ogni tipologico è riportata nella seguente tabella:

Piazzali		progr. (km)	A	B	C	D	F	G	H	M	N	O	P	Q
PT01	PMZ Marcatobianco	5+400						X	X		X	X		
PT02	Emergenza - Imbocco lato PA galleria Santa Catena	7+985	X	X	X									
PT03	Emergenza - Imbocco lato CT galleria Santa Catena	16+150	X	X		X								
PT04	Stazione Vallelunga	17+259											X	X
PT51	Stazione Villalba	22+270								X				
PT52	PM Marianopoli	25+825						X	X					
PT54	Emergenza - Imbocco lato PA galleria Marianopoli	28+060	X	X	X									
PT56	Fabbricato Galleria Trabona	36+000					X							
PT57	Imbocco lato Ovest galleria Trabona lato PA	35+222								X				
PT58	Emergenza - Imbocco lato CT galleria Salito 2	38+150	X	X		X								
PT59	Fabbricato PM San Cataldo	40+363						X	X					
PT60	Emergenza - Imbocco lato PA galleria Masareddu	42+500	X	X	X									
PT61	Fabbricato Galleria Masareddu	43+200					X							
PT62	Fabbricati Emergenza - Imbocco lato PA galleria Xirbi	44+166	X	X		X	X							
PT63	Fabbricato Galleria Xirbi	45+700					X							

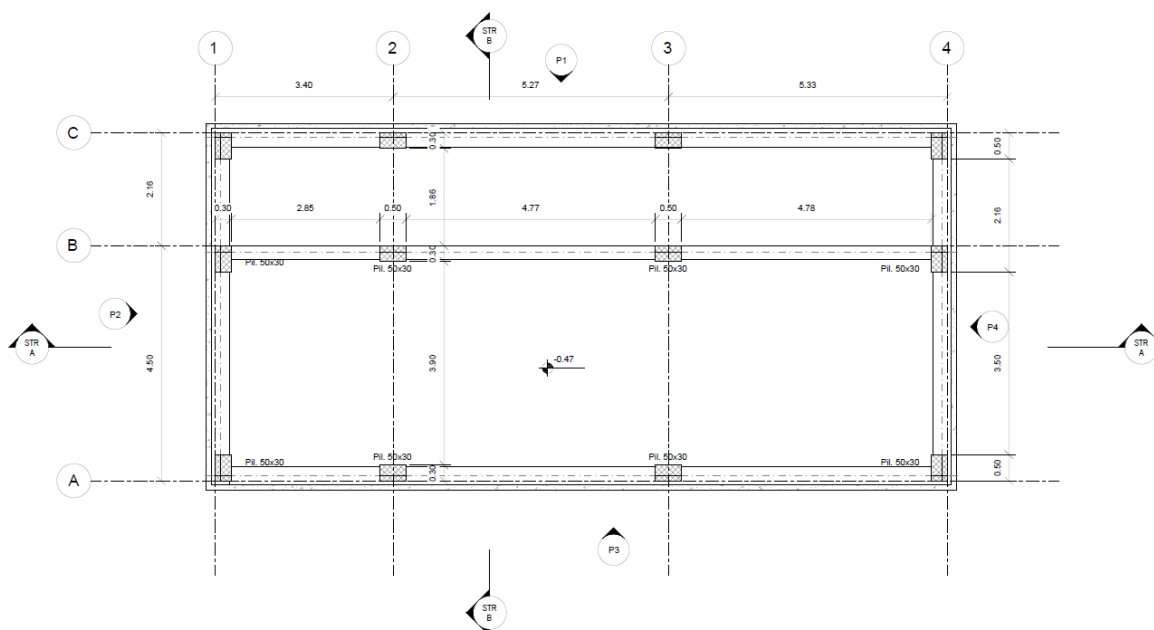
Nel presente elaborato viene calcolato il "Fabbricato IS-PPT – Tipologico M" di dimensioni pari a 27,11 x 6,11 m verrà realizzato nelle seguenti ubicazioni lungo la tratta in progetto:

- PT51 - Fabbricato Stazione Villalba
- PT57 – Fabbricato – Imbocco lato Ovest galleria Trabona lato PA

Il calcolo individua il sito peggiore in termini di parametri geotecnici, sismici, vento e neve.

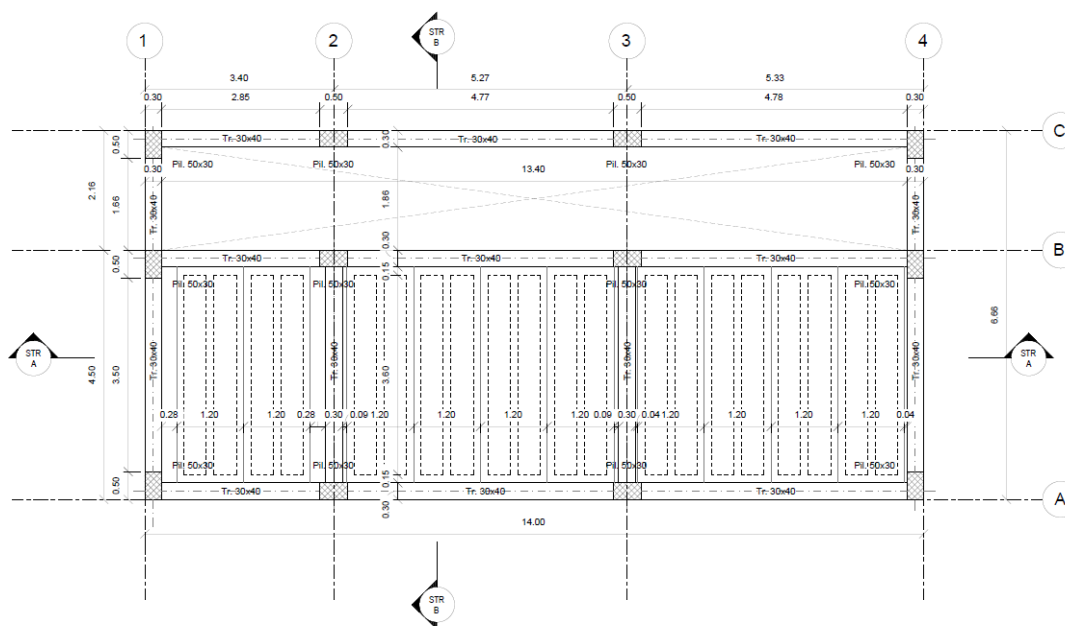
2 SCOPO DEL DOCUMENTO

Lo scopo del presente documento è quello di calcolare e verificare le strutture in elevazione e di fondazione del “Fabbricato IS-PPT – Tipologico M”.



Carpenteria Fondazione

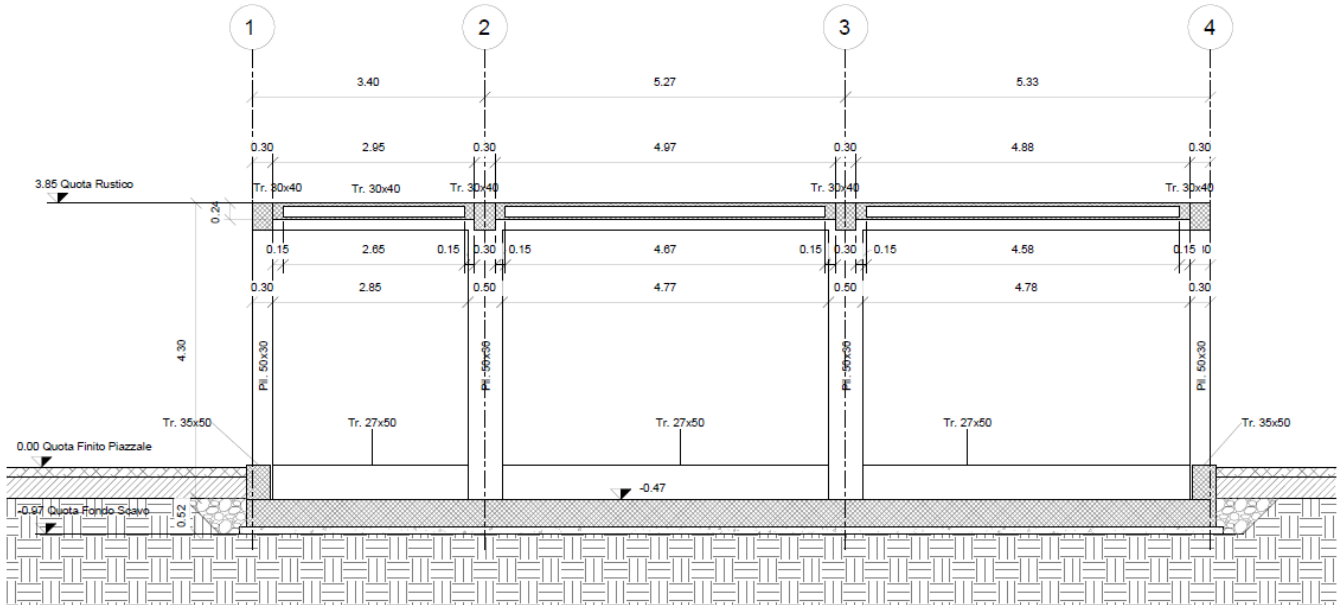
1 : 50



Carpenteria Copertura

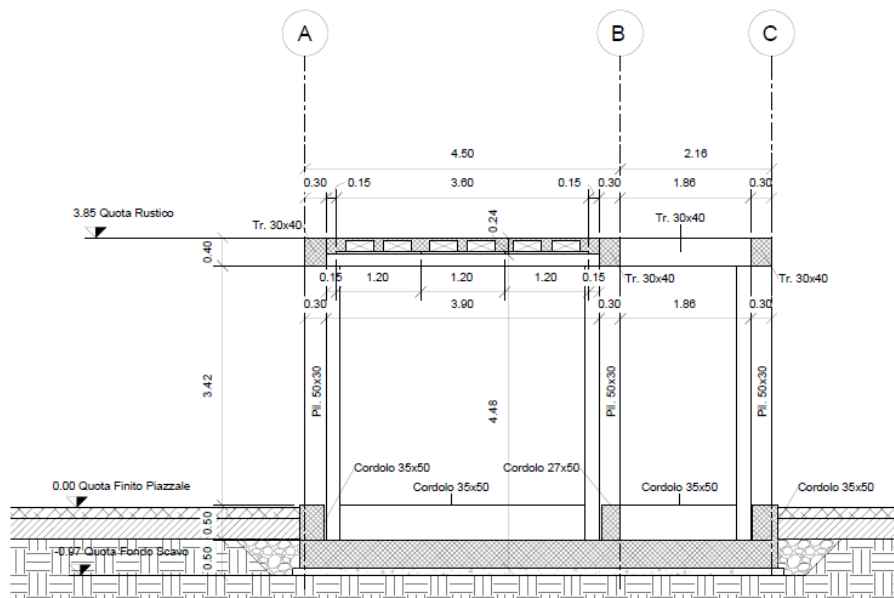
1 : 50

Figura 2-1 – Carpenteria Fondazione e Copertura.



Sezione STR A-A'

1 : 50



Sezione STR B-B'

1 : 50

Figura 2-2 – Sezione longitudinale e trasversale.

	DIRETTRICE FERROVIARIA MESSINA – CATANIA – PALERMO NUOVO COLLEGAMENTO PALERMO – CATANIA TRATTA LERCARA DIR – CALTANISSETTA XIRBI (LOTTO 3) FABBRICATI					
Fabbricato IS-PPT - Tipologico M - Relazione di calcolo	COMMESSA RS3T	LOTTO 30 D 26	CODIFICA CL	DOCUMENTO FA00M0 001	REV. C	FOGLIO 6 di 104

La struttura in pianta del fabbricato ha forma rettangolare avente le seguenti dimensioni 27.11 m x 6.11 m, comprensiva del rivestimento. Il sistema strutturale è caratterizzato da un telaio spaziale monolivello avente copertura piana costituito da una campata in direzione trasversale di luce 5.40 m circa mentre, parallelamente al lato lungo, è suddiviso in 6 campate di luce massima pari a 5.65 m.

La struttura relativa alla parte in elevazione è costituita da travi e pilastri in cemento armato. Il solaio di copertura è del tipo semiprefabbricato a prédalles, con getto in opera dei travetti e della caldana superiore. Lo spessore totale del solaio di copertura è di 24 cm e comprende 4 cm di prédalles, 16 cm di nervature e 4 cm di caldana superiore. Le lastre in c.a. sono larghe 120 cm e presentano tre tralici metallici di irrigidimento ed elementi di alleggerimento delimitanti le nervature intermedie. Il solaio è ordito secondo la direzione longitudinale del fabbricato in modo da essere poggiato direttamente sui telai trasversali disposti ad interasse che vanno da 3.30 m a 5.35 m. I pilastri hanno dimensione in pianta di 30x60 cm, le travi longitudinali hanno dimensioni 30x40 cm, le travi trasversali invece sono 30x50. Il sistema di fondazione è realizzato in opera mediante una platea di fondazione di spessore di 40 cm.

Le fondazioni dell'edificio sono di tipo diretto, costituite da una platea in c.a. di spessore 40 cm. Al di sotto delle fondazioni è previsto uno strato di magrone di spessore 0.10 m debordante l'impronta delle fondazioni di 0.10 m.

 ITALFERR GRUPPO FERROVIE DELLO STATO ITALIANE	DIRETTRICE FERROVIARIA MESSINA – CATANIA – PALERMO NUOVO COLLEGAMENTO PALERMO – CATANIA TRATTA LERCARA DIR – CALTANISSETTA XIRBI (LOTTO 3) FABBRICATI					
	Fabbricato IS-PPT - Tipologico M - Relazione di calcolo	COMMESSA	LOTTO	CODIFICA	DOCUMENTO	REV.
	RS3T	30 D 26	CL	FA00M0 001	C	7 di 104

3 DOCUMENTI DI RIFERIMENTO

3.1 DOCUMENTI REFERENZIATI

La progettazione è conforme alle normative vigenti nonché ai manuali di progettazione societari.

La normativa cui viene fatto riferimento nelle fasi di calcolo e progettazione è la seguente:

- Rif. [1] - Approvazione delle nuove norme tecniche per le costruzioni - D.M. 17/01/2018
- Rif. [2] - Circolare n. 7 del 21 febbraio 2019 - Istruzioni per l'Applicazione Nuove Norme Tecniche Costruzioni di cui al Decreto Ministeriale 17 gennaio 2018;
- Rif. [3] - Ordinanza del Presidente del Consiglio dei Ministri n. 3274 del 20/03/2003. Primi elementi in materia di criteri generali per la classificazione sismica del territorio nazionale e di normative tecniche per le costruzioni in zona sismica;
- Rif. [4] - Decreto del Presidente del Consiglio dei Ministri del 21/10/2003;
- Rif. [5] - Eurocodice 2: Progettazione delle strutture in calcestruzzo – Parte 1.1: Regole generali e regole per gli edifici.
- Rif. [6] - UNI ENV 1992-1-1 Parte 1-1: Regole generali e regole per gli edifici;
- Rif. [7] - UNI EN 206-1/2014 - Calcestruzzo. Specificazioni, prestazioni, produzione e conformità;
- Rif. [8] UNI 11104: Calcestruzzo: Specificazione, prestazione, produzione e conformità - Istruzioni complementari per l'applicazione della EN 206-1.
- Rif. [9] - UNI EN 1998-5 – Fondazioni ed opere di sostegno.
- Rif. [10] REGOLAMENTO (UE) N. 1299/2014 DELLA COMMISSIONE del 18 novembre 2014 relativo alle specifiche tecniche di interoperabilità per il sottosistema «infrastruttura» del sistema ferroviario dell'Unione europea
- Rif. [11] Manuale di Progettazione delle Opere Civili – RFIDTCSIPSMIFS001C

3.2 DOCUMENTI CORRELATI

I documenti correlati sono:

Rif. [12] Fabbricato IS-PPT - Tipologico M - Carpenterie:
piante e sezioni

RS3T.3.0.D.26.BB.FA.00.M.0.001.B

 ITALFERR GRUPPO FERROVIE DELLO STATO ITALIANE	DIRETTRICE FERROVIARIA MESSINA – CATANIA – PALERMO NUOVO COLLEGAMENTO PALERMO – CATANIA TRATTA LERCARA DIR – CALTANISSETTA XIRBI (LOTTO 3) FABBRICATI					
	Fabbricato IS-PPT - Tipologico M - Relazione di calcolo	COMMESSA	LOTTO	CODIFICA	DOCUMENTO	REV.
	RS3T	30 D 26	CL	FA00M0 001	C	8 di 104

4 CARATTERISTICHE DEI MATERIALI

4.1 CEMENTO ARMATO

4.1.1 Calcestruzzo

Si riportano di seguito due tabelle riepilogative del tipo e delle caratteristiche del calcestruzzo adottato per i diversi elementi strutturali:

	Solaio in lastre predalles	Struttura in elevazione	Fondazioni
Classe di resistenza	C30/37	C30/37	C25/30
Classe di esposizione	XC3	XC3	XC2
Condizioni ambientali	ordinarie	ordinarie	ordinarie
Rapporto acqua/cemento		0,55	0,60

		Solaio in lastre predalles	Struttura in elevazione	Fondazioni
R _{ck}	(N/mm ²)	37	37	30
f _{ck}	(N/mm ²)	30	30	25
f _{cm}	(N/mm ²)	36	36	33
α _{cc}	(-)	0,85	0,85	0,85
γ _c	(-)	1,5	1,5	1,5
f _{cd}	(N/mm ²)	17,4	17,4	14,17
f _{ctm}	(N/mm ²)	2,94	2,94	2,56
f _{ctk}	(N/mm ²)	3,82	3,82	1,79
f _{ctd}	(N/mm ²)	1,40	1,40	1,19
f _{cfm}	(N/mm ²)	3,52	3,52	3,07
f _{cfk}	(N/mm ²)	2,46	2,46	2,15
E _c	(N/mm ²)	33019	33019	31476

Dove:

R_{ck} = Resistenza cubica caratteristica a compressione

 ITALFERR GRUPPO FERROVIE DELLO STATO ITALIANE	DIRETTRICE FERROVIARIA MESSINA – CATANIA – PALERMO NUOVO COLLEGAMENTO PALERMO – CATANIA TRATTA LERCARA DIR – CALTANISSETTA XIRBI (LOTTO 3) FABBRICATI					
	Fabbricato IS-PPT - Tipologico M - Relazione di calcolo	COMMESSA RS3T	LOTTO 30 D 26	CODIFICA CL	DOCUMENTO FA00M0 001	REV. C

$f_{ck} = 0.83 \cdot R_{ck} =$ Resistenza cilindrica caratteristica

$f_{cm} = f_{ck} + 8 \text{ (N/mm}^2\text{)} =$ Resistenza cilindrica media a compressione

$\alpha_{cc} =$ Coefficiente per effetti a lungo termine e sfavorevoli: $\alpha_{cc} (t > 28\text{gg}) = 0.85$

$\gamma_c = 1.5$; viene ridotto a 1.4 per produzioni continuative di elementi o strutture soggette a controllo continuativo del calcestruzzo dal quale risulti un coefficiente di variazione (rapporto tra scarto quadratico

medio e valore medio della resistenza) non superiore al 10%. $f_{cd} = \frac{\alpha_{cc} \cdot f_{ck}}{\gamma_c} =$ Resistenza di calcolo a

compressione

$f_{ctm} = 0.3 \cdot (f_{ck})^{2/3}$ [per classi $\leq C50/60$] = Resistenza cilindrica media a trazione

$f_{ctk} = 0.7 \cdot f_{ctm} =$ Resistenza cilindrica caratteristica a trazione

$f_{ctd} = \frac{f_{ctk}}{\gamma_c} =$ Resistenza di calcolo a trazione

$f_{cfm} = 1.2 \cdot f_{ctm} =$ Resistenza media a trazione per flessione

$f_{cfk} = 0.7 \cdot f_{cfm} =$ Resistenza cilindrica caratteristica a trazione

$E_{cm} = 22000 \cdot \left(\frac{f_{cm}}{10} \right)^{0.3} =$ Modulo Elastico

Coefficiente di Poisson:

Secondo quanto prescritto al punto 11.2.10.4 della NTC2018, per il coefficiente di Poisson può adottarsi, a seconda dello stato di sollecitazione, un valore compreso tra 0 (calcestruzzo fessurato) e 0.2 (calcestruzzo non fessurato).

Coefficiente di dilatazione termica:

In sede di progettazione, o in mancanza di una determinazione sperimentale diretta, per il coefficiente di dilatazione termica del calcestruzzo può assumersi un valore medio pari a $10 \times 10^{-6} \text{ } ^\circ\text{C}^{-1}$ (NTC2018 – 11.2.10.5).

4.1.2 Acciaio d'armatura in barre tonde ad aderenza migliorata

Si adotta acciaio tipo B450C come previsto al punto 11.3.2.1 delle NTC2018, per il quale si possono assumere le seguenti caratteristiche:

Resistenza a trazione – compressione:

$f_{tk} = 540 \text{ N/mm}^2 =$ Resistenza caratteristica di rottura

$f_{yk} = 450 \text{ N/mm}^2 =$ Resistenza caratteristica a snervamento

$f_{yd} = \frac{f_{yk}}{\gamma_s} = 391.3 \text{ N/mm}^2 =$ Resistenza di calcolo

 ITALFERR GRUPPO FERROVIE DELLO STATO ITALIANE	DIRETTRICE FERROVIARIA MESSINA – CATANIA – PALERMO NUOVO COLLEGAMENTO PALERMO – CATANIA TRATTA LERCARA DIR – CALTANISSETTA XIRBI (LOTTO 3) FABBRICATI					
	Fabbricato IS-PPT - Tipologico M - Relazione di calcolo	COMMESSA	LOTTO	CODIFICA	DOCUMENTO	REV.
	RS3T	30 D 26	CL	FA00M0 001	C	10 di 104

dove:

$\gamma_s = 1.15$ = Coefficiente parziale di sicurezza relativo all'acciaio.

Modulo Elastico:

$E_s = 210000 \text{ N/mm}^2$

Tensione tangenziale di aderenza acciaio-calcestruzzo:

		Solaio in lastre predalles	Struttura in elevazione	Fondazioni
f_{bk}	(N/mm ²)	4.36	4,36	4,36
f_{bd}	(N/mm ²)	2.90	2,90	2,90

dove:

$f_{bk} = 2.25 \cdot \eta \cdot f_{ctk}$ = Resistenza tangenziale caratteristica di aderenza

$f_{bd} = \frac{f_{bk}}{\gamma_c}$ = Resistenza tangenziale di aderenza di calcolo

$\eta = 1.0$ – per barre di diametro $\Phi \leq 32 \text{ mm}$;

$\gamma_c = 1.5$ – Coefficiente parziale di sicurezza relativo al calcestruzzo.

4.1.3 Copriferro

Con riferimento al punto 4.1.6.1.3 delle NTC, al fine della protezione delle armature dalla corrosione il valore minimo dello strato di ricoprimento di calcestruzzo (copriferro) deve rispettare quanto indicato nella tabella C4.1.IV della Circolare 21.01.2019, n. 7 C.S.LL.PP, riportata di seguito, nella quale sono distinte le tre condizioni ambientali di Tabella 4.1.III delle NTC.

			barre da c.a. elementi a piastra		barre da c.a. altri elementi		cavi da c.a.p elementi a piastra		cavi da c.a.p altri elementi	
C_{min}	C_o	ambiente	$C \geq C_o$	$C_{min} \leq C < C_o$	$C \geq C_o$	$C_{min} \leq C < C_o$	$C \geq C_o$	$C_{min} \leq C < C_o$	$C \geq C_o$	$C_{min} \leq C < C_o$
C25/30	C35/45	ordinario	15	20	20	25	25	30	30	35
C28/35	C40/50	aggressivo	25	30	30	35	35	40	40	45
C35/45	C45/55	molto ag.	35	40	40	45	45	50	50	50

 ITALFERR GRUPPO FERROVIE DELLO STATO ITALIANE	DIRETTRICE FERROVIARIA MESSINA – CATANIA – PALERMO NUOVO COLLEGAMENTO PALERMO – CATANIA TRATTA LERCARA DIR – CALTANISSETTA XIRBI (LOTTO 3) FABBRICATI					
	Fabbricato IS-PPT - Tipologico M - Relazione di calcolo	COMMESSA	LOTTO	CODIFICA	DOCUMENTO	REV.
	RS3T	30 D 26	CL	FA00M0 001	C	11 di 104

Ai valori riportati nella tabella vanno aggiunte le tolleranze di posa, pari a 10 mm. Si riportano di seguito i copriferri adottati, determinati in funzione della classe del cls e delle condizioni ambientali.

	Ambiente	Copriferro minimo	Tolleranza di posa	Copriferro nominale
Struttura in elevazione	Ordinario	25	10	35
Lastre predalles	Ordinario	20	0	20
Fondazioni	Ordinario	25	10	35

In definitiva si prescrive che in fondazione e in elevazione tranne che per le lastre predalles il copriferro netto non deve essere inferiore a 40mm.

5 TERRENO DI FONDAZIONE

Tutti i piazzali in cui ricade il fabbricato tecnologico IS-PPT (denominato M), dettagliatamente riportati in premessa, sono in rilevato, di conseguenza le fondazioni poggiano su terreno da rilevato, ai fini delle verifiche a favore di sicurezza sono stati assunti per il tale terreno i seguenti valori dei parametri geotecnici fisici e meccanici di resistenza e deformabilità:

Terreno di fondazione	Peso specifico (kN/m ³)	Coesione efficace c' (kPa)	Angolo di attrito interno phi' (°)	Modulo di Young E (MPa)
Rilevato	20.0	0.0	33.0	50

6 ANALISI DEI CARICHI

Come prescritto dalle NTC2018, sono state considerate agenti sulla struttura le seguenti condizioni di carico elementari, combinate tra loro in modo da determinare gli effetti più sfavorevoli ai fini delle verifiche dei singoli elementi strutturali:

- peso proprio strutture;
- carichi permanenti non strutturali;
- sovraccarico variabile;
- azione sismica;
- azione del vento;
- azione della neve;
- variazioni termiche;

 ITALFERR GRUPPO FERROVIE DELLO STATO ITALIANE	DIRETTRICE FERROVIARIA MESSINA – CATANIA – PALERMO NUOVO COLLEGAMENTO PALERMO – CATANIA TRATTA LERCARA DIR – CALTANISSETTA XIRBI (LOTTO 3) FABBRICATI					
	Fabbricato IS-PPT - Tipologico M - Relazione di calcolo	COMMESSA	LOTTO	CODIFICA	DOCUMENTO	REV.
	RS3T	30 D 26	CL	FA00M0 001	C	12 di 104

- effetti aerodinamici associati al passaggio dei convogli.

Nel progetto strutturale in esame, le azioni esterne, quali vento e neve, sono state valutate considerando la località di Caltanissetta - Enna.

6.1 PESO PROPRIO STRUTTURE

6.1.1 Solaio di copertura

E' realizzato con lastre predalles in cemento armato di altezza 24 cm alleggerite con polistirene espanso.

Solaio in lastre Predalles

(H =4+16+4=24cm) lastra larga 1,20 m.

Predalles (s = 4cm) 25x0,04x1,20=1,2 kN;

Nervatura centrale (h=16 cm, s=14 cm) 25x0,16x0,14= 0,56 kN;

Nervature laterali (h=16 cm, s=12 cm) 2x25x0,16x0,12= 0,96 kN;

Soletta superiore (s=4 cm) 25x0,04x1,20= 1,2 kN;

Alleggerimento in polistirene espanso (h=16 cm, s=40 cm) 2x0,15x0,4x0,16=0,0192 kN.

Peso totale di una lastra larga 1,20 m: $G=1,2+0,56+0,96+1,2+0,019 = 3,94$ kN

Peso totale a metro quadrato = $3,94/1,20 = 3,28$ kN/m²

6.1.2 Struttura principale in c.a.

Il peso proprio delle travi e dei pilastri, viene calcolato automaticamente dal programma considerando il peso specifico del cemento armato pari a:

$$\gamma_{c.a.} = 25 \text{ kN/m}^3$$

6.2 CARICHI PERMANENTI NON STRUTTURALI

- Tamponamenti esterni

Il rivestimento esterno è costituito da blocchi cavi prefabbricati in cls vibrocompresso tipo Poroton (sp.25cm) con idonei rinforzi verticali e orizzontali per murature in zona sismica + lastre in pietra sp 5,0 cm, il cui peso è pari a **3,60 kN/m²**.

Il peso per unità di superficie moltiplicato per l'altezza totale del singolo pannello h=3,60 m, trascurando le eventuali aperture, è pari a **13 kN/m**, che è il peso a metro lineare della tamponatura da applicare alla platea di fondazione.

 ITALFERR GRUPPO FERROVIE DELLO STATO ITALIANE	DIRETTRICE FERROVIARIA MESSINA – CATANIA – PALERMO NUOVO COLLEGAMENTO PALERMO – CATANIA TRATTA LERCARA DIR – CALTANISSETTA XIRBI (LOTTO 3) FABBRICATI					
	Fabbricato IS-PPT - Tipologico M - Relazione di calcolo	COMMESSA	LOTTO	CODIFICA	DOCUMENTO	REV.
	RS3T	30 D 26	CL	FA00M0 001	C	13 di 104

- Carichi permanenti non strutturali agenti in copertura

Incidenza zone piene solaio	0,20	kN/m ²
Massetto delle pendenze	0,60	kN/m ²
Strato coibente	0,10	kN/m ²
Guaina di impermeabilizzazione	0,10	kN/m ²
Malta di allettamento (2 cm)	0,40	kN/m ²
Pavimento	0,50	kN/m ²
Intonaco intradosso	0,30	kN/m ²
Incidenza impianti	0,30	kN/m ²
Controsoffitto	0,10	kN/m ²
Totale carico:	2.60	kN/m²

Incidenza muretti perimetrali e scala su travi di bordo 2,00 kN/m

6.3 SOVRACCARICO ACCIDENTALE

Il sovraccarico assunto per la copertura è pari a 0,50 kN/m².

6.4 AZIONE DELLA NEVE

Le azioni della neve sono definite al capitolo 3.4 delle NTC2018. Il carico provocato dalla neve sulle coperture è definito dall'espressione seguente:

$$q_s = \mu_i C_e C_t q_{sk}$$

dove:

μ_i - Coefficiente di forma della copertura;

C_e - Coefficiente di esposizione;

C_t - Coefficiente termico;

q_{sk} - Valore di riferimento del carico neve al suolo.

 ITALFERR GRUPPO FERROVIE DELLO STATO ITALIANE	DIRETTRICE FERROVIARIA MESSINA – CATANIA – PALERMO NUOVO COLLEGAMENTO PALERMO – CATANIA TRATTA LERCARA DIR – CALTANISSETTA XIRBI (LOTTO 3) FABBRICATI					
	Fabbricato IS-PPT - Tipologico M - Relazione di calcolo	COMMESSA	LOTTO	CODIFICA	DOCUMENTO	REV.
	RS3T	30 D 26	CL	FA00M0 001	C	14 di 104

Per la valutazione di q_{sk} si è fatto riferimento ad un sito posto in zona I - Mediterranea, con altezza sul livello del mare pari a 400 m:

$$q_{sk} = 1.17 \text{ kN/m}^2$$

Il coefficiente di esposizione C_e può essere utilizzato per modificare il valore del carico neve in copertura in funzione delle caratteristiche specifiche dell'area in cui sorge l'opera. Valori del coefficiente di esposizione per diverse classi di topografia sono forniti in tabella 3.4.I. NTC2018. Per il caso in esame, si assume $C_e = 1.0$.

Il coefficiente termico C_t può essere utilizzato per tener conto della riduzione del carico neve a causa dello scioglimento della stessa, causata dalla perdita di calore della costruzione. Tale coefficiente tiene conto delle proprietà di isolamento termico del materiale utilizzato in copertura. In assenza di uno specifico e documentato studio, deve essere utilizzato $C_t = 1.0$ (3.4.4 - NTC2018).

Il coefficiente di forma della copertura dipende dall'angolo di inclinazione della falda, i valori proposti dalla normativa vigente vengono riportati nella Tab.3.4.II (DM 14 Gennaio 2018):

Coefficiente di forma	$0^\circ \leq \alpha \leq 30^\circ$	$30^\circ < \alpha < 60^\circ$	$\alpha \geq 60^\circ$
μ_1	0,8	$0,8 \cdot \frac{(60 - \alpha)}{30}$	0,0

Nel caso in esame si ha $\alpha = 0^\circ$ pertanto:

$$\mu_1 (0^\circ) = 0,8$$

Si assume una distribuzione uniforme del carico da neve per la copertura piana, quindi si ha:

$$q_s = 0.8 \cdot 1.00 \cdot 1.00 \cdot 1.17 = \mathbf{0.95 \text{ kN/m}^2}.$$

6.5 AZIONE DEL VENTO

Il vento, la cui direzione si considera generalmente orizzontale, esercita sulle costruzioni azioni che variano nel tempo e nello spazio provocando, in generale, effetti dinamici. Per le costruzioni usuali tali azioni sono convenzionalmente ricondotte alle azioni statiche equivalenti definite al punto 3.3.3 – NTC2018. Per il calcolo dell'azione statica equivalente dovuta al vento, si è fatto riferimento ad un sito posto in zona 4, con altezza sul livello del mare pari a 400 m.

Tra tutte le ubicazioni degli edifici si è preso a riferimento per il calcolo, quello in cui risulta la maggiore azione del vento.

Pressione del vento:

La pressione del vento, considerata come azione statica agente normalmente alle superfici, è data dall'espressione:

$$p = q_b \cdot C_e \cdot C_p \cdot C_d$$

dove

- q_b - Pressione cinetica di riferimento

 ITALFERR GRUPPO FERROVIE DELLO STATO ITALIANE	DIRETTRICE FERROVIARIA MESSINA – CATANIA – PALERMO NUOVO COLLEGAMENTO PALERMO – CATANIA TRATTA LERCARA DIR – CALTANISSETTA XIRBI (LOTTO 3) FABBRICATI					
	Fabbricato IS-PPT - Tipologico M - Relazione di calcolo	COMMESSA	LOTTO	CODIFICA	DOCUMENTO	REV.
	RS3T	30 D 26	CL	FA00M0 001	C	15 di 104

- c_e - Coefficiente di esposizione
- c_p - Coefficiente di forma (o coefficiente aerodinamico)
- c_d - Coefficiente dinamico che si assume unitario.

Pressione cinetica di riferimento:

La pressione cinetica di riferimento q_b in (N/m²) è data dall'espressione:

$$q_b = \frac{1}{2} \cdot \rho \cdot v_b^2$$

dove:

- v_b - Velocità di riferimento del vento;
- ρ – Densità dell'aria assunta convenzionalmente costante e pari a 1.25 kg/m³.

In mancanza di indagini statistiche adeguate, la velocità di riferimento del vento $v_b(T_R)$ riferita ad un generico periodo di ritorno T_R può essere valutata, nel campo compreso tra 10 e 500 anni, con l'espressione:

$$V_b(T_R) = \alpha \cdot v_b$$

dove:

- v_b – Velocità di riferimento del vento associata ad un periodo di ritorno di 50 anni;
- α_R – Coefficiente posto in un diagramma in funzione di T_R espresso in anni;

Il periodo di ritorno T_R al quale si è fatto affidamento per la valutazione della velocità di riferimento del vento risulta pari a 100 anni.

Coefficiente di esposizione:

Il coefficiente d'esposizione c_e dipende dall'altezza z sul suolo del punto considerato, dalla topografia del terreno, e dalla categoria di esposizione del sito ove sorge la costruzione. Per il caso in esame considerando zona 4, classe di rugosità del terreno C e categoria d'esposizione del sito III, il coefficiente di esposizione, per un'altezza massima del fabbricato di 5.10 m, risulta pari ad 1.72.

Coefficiente dinamico:

Il coefficiente dinamico tiene conto degli effetti riduttivi associati alla non contemporaneità delle massime pressioni locali e degli effetti amplificativi dovuti alla risposta dinamica della struttura. Esso è assunto cautelativamente pari ad 1.

Coefficiente di forma (o aerodinamico):

Per la determinazione del coefficiente di forma si fa riferimento a quanto riportato nel paragrafo 3.3.8 della Circolare del 21/01/2019.

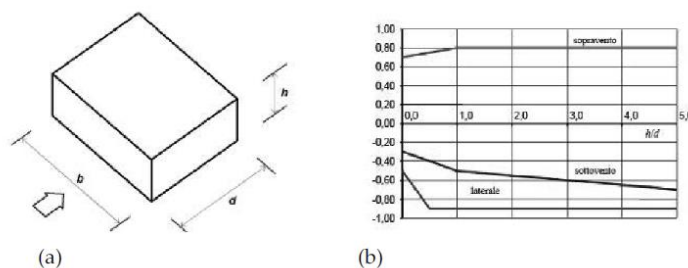
 ITALFERR GRUPPO FERROVIE DELLO STATO ITALIANE	DIRETTRICE FERROVIARIA MESSINA – CATANIA – PALERMO NUOVO COLLEGAMENTO PALERMO – CATANIA TRATTA LERCARA DIR – CALTANISSETTA XIRBI (LOTTO 3) FABBRICATI					
	Fabbricato IS-PPT - Tipologico M - Relazione di calcolo	COMMESSA RS3T	LOTTO 30 D 26	CODIFICA CL	DOCUMENTO FA00M0 001	REV. C

- Pareti verticali

Si riporta l'estratto del par. C3.3.8.1.1 della Circolare 21/01/2019 n. 7 C.S.LL.PP.

C3.3.8.1.1 Pareti verticali

I coefficienti globali c_{pe} da assumere sulle pareti di un edificio a pianta rettangolare sono riportati in Figura C3.3.2 e in Tabella C3.3.I



a) Parametri caratteristici di edifici a pianta rettangolare,

b) Edifici a pianta rettangolare: c_{pe} per facce sopravvento, sottovento e laterali

Figura C3.3.2

Tabella C3.3.I: Edifici a pianta rettangolare: c_{pe} per facce sopravvento, sottovento e laterali

Faccia sopravvento	$C_U = 2,0$	$C_U = 1,5$
$h/d \leq 1$: $c_{pe} = 0,7 + 0,1 \cdot h/d$	$h/d \leq 0,5$: $c_{pe} = -0,5 - -0,8 \cdot h/d$	$h/d \leq 1$: $c_{pe} = -0,3 - 0,2 \cdot h/d$
$h/d > 1$: $c_{pe} = 0,8$	$h/d > 0,5$: $c_{pe} = -0,9$	$1 < h/d \leq 5$: $c_{pe} = -0,5 - 0,05 \cdot (h/d - 1)$

Negli edifici tipologici del presente progetto h/d è sempre vicino a 1 e nel calcolo quindi, a favore di sicurezza, si utilizzano i seguenti coefficienti:

Per il carico sopravvento $c_{pe10} = + 0,8$

Per il carico sottovento $c_{pe10} = - 0,5$

- Copertura piana

I coefficienti globali c_{pe} da assumere sulle coperture di un edificio a pianta rettangolare sono riportati in Figura C3.3.5 e in Tabella C3.3.III della Circolare 21/01/2019 n. 7 C.S.LL.PP:

 ITALFERR GRUPPO FERROVIE DELLO STATO ITALIANE	DIRETTRICE FERROVIARIA MESSINA – CATANIA – PALERMO NUOVO COLLEGAMENTO PALERMO – CATANIA TRATTA LERCARA DIR – CALTANISSETTA XIRBI (LOTTO 3) FABBRICATI					
	Fabbricato IS-PPT - Tipologico M - Relazione di calcolo	COMMESSA RS3T	LOTTO 30 D 26	CODIFICA CL	DOCUMENTO FA00M0 001	REV. C

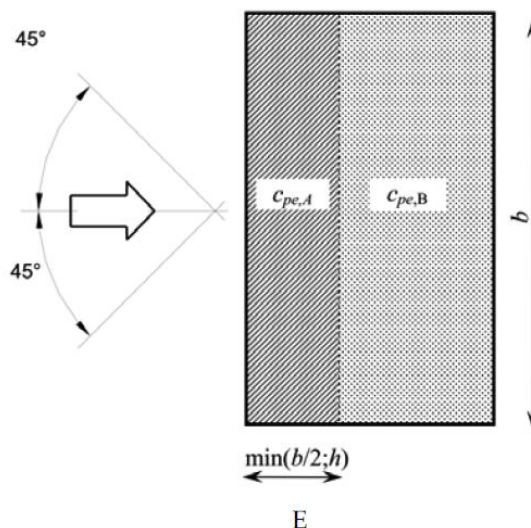


Figura C3.3.5 - Schema di riferimento per coperture piane

Tabella C3.3.III - Edifici rettangolari: c_{pe} per coperture piane.

Fascia sovravento di profondità pari al minimo tra $b/2$ e h :	$c_{pe,A} = -0,80$
Restanti zone	$c_{pe,B} = \pm 0,20$

Considerando che in tutte le tipologie degli edifici si può considerare che h è il minimo tra h stesso e $b/2$, avremo che la Fascia A ha una profondità pari ad h , e quindi si avrà:

Per la fascia sovravento $c_{pe,A} = - 0,8$

Per le restanti zone $c_{pe,B} = \pm 0,2$

- Pressioni interne

Per quanto riguarda le pressioni interne si riporta il par. C3.3.8.5 della Circolare 21/01/2019 n. 7 C.S.LL.PP.

 ITALFERR GRUPPO FERROVIE DELLO STATO ITALIANE	DIRETTRICE FERROVIARIA MESSINA – CATANIA – PALERMO NUOVO COLLEGAMENTO PALERMO – CATANIA TRATTA LERCARA DIR – CALTANISSETTA XIRBI (LOTTO 3) FABBRICATI					
	Fabbricato IS-PPT - Tipologico M - Relazione di calcolo	COMMESSA	LOTTO	CODIFICA	DOCUMENTO	REV.
	RS3T	30 D 26	CL	FA00M0 001	C	18 di 104

C3.3.8.5 PRESSIONI INTERNE

Le pressioni interne agli edifici dipendono dalla superficie delle aperture che questi presentano verso l'esterno. Si possono verificare i tre casi seguenti:

Caso 1

Se per almeno due facce dell'edificio l'area totale delle aperture presenti su ciascuna faccia supera il 30% della superficie totale della faccia stessa si applicano le prescrizioni riportate nel § C3.3.8.2 (tettoie).

Caso 2

Se l'edificio non rientra nel caso precedente, ma presenta una superficie dotata di un'area totale di aperture pari ad almeno il doppio della somma delle aree delle aperture presenti sulle rimanenti superfici, il coefficiente di pressione interna c_{pi} è pari a $0,75 \cdot c_{pe}$; se invece l'area delle aperture presenti su detta superficie è pari ad almeno il triplo dell'area delle aperture presenti sulle rimanenti superfici, il coefficiente di pressione interna c_{pi} è pari a $0,90 \cdot c_{pe}$.

L'altezza di riferimento \bar{z}_i è pari all'altezza di riferimento \bar{z}_e relativa alla superficie dominante.

Caso 3

Se l'edificio non rientra in nessuno dei casi precedenti, ma è dotato di porosità distribuita in maniera circa uniforme, in assenza di determinazioni più dettagliate, per le quali si farà riferimento a documenti di comprovata validità, si possono assumere i valori $c_{pi} = +0,2$ e $c_{pi} = -0,3$, considerando il caso che di volta in volta conduce alla situazione maggiormente gravosa.

L'altezza di riferimento \bar{z}_i è pari all'altezza massima dell'edificio.

Per l'edificio in esame si prende in considerazione il caso 3 per cui $c_{pi} = + 0,2$ o $c_{pi} = - 0,3$ a seconda della situazione maggiormente gravosa.

➤ Azioni del vento

Si riporta di seguito il prospetto delle caratteristiche assunte e i relativi risultati per la determinazione della pressione normale del vento secondo normativa.

I valori considerati nel calcolo degli edifici, sono quelli che hanno valore massimo rispetto a tutte le tipologie di edifici in progetto.

Questo in virtù del fatto che il carico vento incide in maniera non significativa ai fini del dimensionamento dei vari elementi strutturali costituenti l'edificio, viste le geometrie delle tipologie strutturali e le masse in gioco e per i quali l'azione sismica risulta preponderante.

<u>Azione Normale Vento</u>		
Zona	4	
a_s	400	m
a_0	500	m
$V_{b,0}$	28	m/s
K_a	0.02	1/s
$V_b(T_R)$	29.1	m/s
q_b	0.53	kN/m ²
Categoria di esposizione sito	III	
k_r	0.20	
Z_0	0.10	m

Z _{min}	5	m
C _e (Z _{min})	1.71	
z (altezza costruzione sul suolo)	5.10	m
C _d	1	
C _e (z)	1.72	
α (Inclinazione copertura)	0	°
C _{p1,A} (Copertura Fascia A)	- 0.80	
C _{p1,B} (Copertura Fascia B)	± 0,2	
C _{p2} (Elementi Verticali - Sopravento)	+ 0.80	
C _{p3} (Elementi Verticali – Sottovento)	- 0.50	
C _{pi} (Pressioni interne)	+ 0.80 - 0,30	
p₁ (Pressione vento in copertura Fascia A)	-1,00	kN/m ²
p₂ (Pressione vento in copertura Fascia B)	-0,46 +0,36	kN/m ²
p₂ (Pressione vento elementi verticali - Sopravento)	- 0,91	kN/m ²
p₃ (Pressione vento elementi verticali - Sottovento)	- 0,73	kN/m ²

6.6 VARIAZIONI TERMICHE

Nel caso in cui la temperatura non costituisca azione fondamentale per la sicurezza o per la efficienza funzionale della struttura è consentito tener conto, per gli edifici, della sola componente ΔT_u , ricavandola direttamente dalla Tab. 3.5.II delle NTC 2018 che viene riportata nel seguito.

Nel caso in cui la temperatura costituisca, invece, azione fondamentale per la sicurezza o per la efficienza funzionale della struttura, l'andamento della temperatura T nelle sezioni degli elementi strutturali deve essere valutato più approfonditamente studiando il problema della trasmissione del calore.

Tabella 3.5.II – Valori di ΔT_u per gli edifici

Tipo di struttura	ΔT_u
Strutture in c.a. e c.a.p. esposte	± 15 °C
Strutture in c.a. e c.a.p. protette	± 10 °C
Strutture in acciaio esposte	± 25 °C
Strutture in acciaio protette	± 15 °C

 ITALFERR GRUPPO FERROVIE DELLO STATO ITALIANE	DIRETTRICE FERROVIARIA MESSINA – CATANIA – PALERMO NUOVO COLLEGAMENTO PALERMO – CATANIA TRATTA LERCARA DIR – CALTANISSETTA XIRBI (LOTTO 3) FABBRICATI					
	Fabbricato IS-PPT - Tipologico M - Relazione di calcolo	COMMESSA	LOTTO	CODIFICA	DOCUMENTO	REV.
	RS3T	30 D 26	CL	FA00M0 001	C	20 di 104

Nel caso in esame, si tiene conto della sola componente ΔT_u e in particolare si assume $\Delta T_u = \pm 15 \text{ }^\circ\text{C}$ per tutta la struttura.

6.7 EFFETTI AERODINAMICI ASSOCIATI AL PASSAGGIO DEI CONVOGLI

Considerata la notevole distanza dai convogli ferroviari, il presente carico non è applicabile. Pertanto nelle combinazioni saranno assunti nulli i carichi elementari **AerodA**) e **AerodB**).

6.8 AZIONE SISMICA

Per la definizione dell'azione sismica sono necessarie delle valutazioni preliminari relative alle seguenti caratteristiche proprie della costruzione (2.4 – NTC2018):

- Vita Nominale (V_N);
- Classe d'uso (C_u);
- Periodo di Riferimento (V_R).

Si attribuisce una vita nominale $V_N = 75$ anni e la classe d'uso II con coefficiente d'uso $C_u=1,5$, in conformità ai seguenti riferimenti normativi:

- DM 17/01/2018 par. 2.4;
- Circ. 21/01/2019, n. 617 par. C2.4.1 e C2.4.2;
- Decreto 21/10/2003 P.C.M. Dipartimento della Prot. Civile (all.1);
- Manuale di Progettazione delle Opere Civili – RFIDTCSIPSMAlFS001C

Il periodo di riferimento da considerare per il calcolo dell'azione sismica sarà quindi $V_R = C_u \times V_N = 112,5$ anni.

Le azioni sismiche di progetto, in base alle quali valutare il rispetto dei diversi stati limite considerati, si definiscono a partire dalla "pericolosità sismica di base" del sito di costruzione, ai sensi dell'Ordinanza del Presidente del Consiglio dei Ministri n. 3274 del 20 marzo 2003. La pericolosità sismica è definita in termini di accelerazione orizzontale massima attesa a_g , nonché di ordinate dello spettro di risposta elastico in accelerazione ad essa corrispondente, con riferimento a prefissata probabilità di eccedenza P_{VR} nel periodo di riferimento V_R (3.2 – NTC2018).

La normativa NTC2018 definisce le forme spettrali, per ciascuna delle probabilità di superamento nel periodo di riferimento P_{VR} , a partire dai valori dei seguenti parametri su sito di riferimento rigido orizzontale:

- a_g – Accelerazione orizzontale massima al sito;
- F_0 – Valore massimo del fattore di amplificazione dello spettro in accelerazione orizzontale;
- TC^* - Periodo d'inizio del tratto a velocità costante dello spettro in accelerazione orizzontale.

 ITALFERR GRUPPO FERROVIE DELLO STATO ITALIANE	DIRETTRICE FERROVIARIA MESSINA – CATANIA – PALERMO NUOVO COLLEGAMENTO PALERMO – CATANIA TRATTA LERCARA DIR – CALTANISSETTA XIRBI (LOTTO 3) FABBRICATI					
	Fabbricato IS-PPT - Tipologico M - Relazione di calcolo	COMMESSA	LOTTO	CODIFICA	DOCUMENTO	REV.
	RS3T	30 D 26	CL	FA00M0 001	C	21 di 104

Nei confronti delle azioni sismiche si definiscono due stati limite di esercizio e due ultimi, che sono individuati riferendosi alle prestazioni della costruzione nel suo complesso (3.2.1 – NTC2018), ai quali corrispondono i valori dei parametri precedentemente definiti.

Ai fini della definizione dell'azione sismica di progetto, si rende necessario valutare l'effetto della risposta sismica locale mediante specifiche analisi. In assenza di tali analisi, per la definizione dell'azione sismica si può far riferimento a un approccio semplificato, che si basa sull'individuazione di categorie di sottosuolo di riferimento (Tab. 3.2.II e 3.2.III – NTC2018).

Il fabbricato IS-PPT – tipologico M, viene realizzato su 2 diversi piazzali.

Dalla “Relazione geotecnica generale delle opere all'aperto – Lotto 3” si è individuata la categoria sismica del sottosuolo della WBS in cui ricade il piazzale con fabbricato IS-PPT:

Piazzali	progr. (km)	M	Cat. Sottosuolo
PT01	5+400		
PT02	7+985		
PT03	16+150		
PT04	17+259		
PT51	22+270	X	C
PT52	25+825		
PT54	28+060		
PT56	36+000		
PT57	35+222	X	C
PT58	38+150		
PT59	40+363		
PT60	42+500		
PT61	43+200		
PT62	44+166		
PT63	45+700		

Per il fabbricato di tipo M, si riscontra che il terreno su cui insiste la costruzione è stato assimilato ad un sottosuolo di *categoria C*.

Il terreno su cui insiste la costruzione è stato assimilato ad un sottosuolo di *categoria C*.

Nel caso in esame si può assumere una categoria topografica T₁ (Superficie pianeggiante, pendii e rilievi isolati con inclinazione media $i \leq 15^\circ$).

Lo spettro di risposta elastico in accelerazione è espresso da una forma spettrale (spettro normalizzato) riferita ad uno smorzamento convenzionale del 5%, moltiplicata per il valore dell'accelerazione

 ITALFERR GRUPPO FERROVIE DELLO STATO ITALIANE	DIRETTRICE FERROVIARIA MESSINA – CATANIA – PALERMO NUOVO COLLEGAMENTO PALERMO – CATANIA TRATTA LERCARA DIR – CALTANISSETTA XIRBI (LOTTO 3) FABBRICATI					
	Fabbricato IS-PPT - Tipologico M - Relazione di calcolo	COMMESSA	LOTTO	CODIFICA	DOCUMENTO	REV.
	RS3T	30 D 26	CL	FA00M0 001	C	22 di 104

orizzontale massima a_g su sito di riferimento rigido orizzontale. Sia la forma spettrale che il valore di a_g variano al variare della probabilità di superamento nel periodo di riferimento P_{VR} .

Lo spettro di risposta elastico orizzontale è descritto dalle seguenti espressioni, riportate al punto 3.2.3.2.1 – NTC2018:

$$0 \leq T \leq T_B \quad S_e(T) = a_g \cdot S \cdot \eta \cdot F_0 \cdot \left[\frac{T}{T_B} + \frac{1}{\eta \cdot F_0} \cdot \left(1 - \frac{T}{T_B} \right) \right]$$

$$T_B \leq T < T_C \quad S_e(T) = a_g \cdot S \cdot \eta \cdot F_0$$

$$T_C \leq T < T_D \quad S_e(T) = a_g \cdot S \cdot \eta \cdot F_0 \cdot \left(\frac{T_C}{T} \right)$$

$$T_D \leq T \quad S_e(T) = a_g \cdot S \cdot \eta \cdot F_0 \cdot \left(\frac{T_C \cdot T_D}{T^2} \right)$$

Poiché il fabbricato è dotato di solai che presentano luce inferiore a 8 m, non è stata considerata la componente verticale dell'azione sismica, come stabilito al punto punto 7.2.2 e al punto 3.2.3.1 delle NTC2018, considerato anche che $a_g < 0,15g$.

Agli stati limite ultimi le capacità dissipative delle strutture possono essere considerate attraverso una riduzione delle forze elastiche, tenendo conto in modo semplificato della capacità dissipativa anelastica della struttura, della sua sovrarresistenza, dell'incremento del suo periodo proprio a seguito delle plasticizzazioni.

In tal caso lo spettro di progetto da utilizzare, sia per le componenti orizzontali, sia per la componente verticale, è lo spettro elastico corrispondente riferito alla probabilità di superamento nel periodo di riferimento P_{VR} considerata con le ordinate ridotte sostituendo nelle formule 3.2.4 - NTC2018 η con $1/q$, dove q è il fattore di comportamento.

Il valore del fattore di comportamento q da utilizzare per ciascuna direzione dell'azione sismica, dipende dalla tipologia strutturale, dal suo grado di iperstaticità e dai criteri di progettazione adottati e prende in conto le non linearità di materiale. Esso può essere calcolato mediante la seguente espressione:

$$q = q_0 \cdot K_R$$

dove:

q_0 è il valore massimo del fattore di comportamento

K_R è un fattore che dipende dalle caratteristiche di regolarità in altezza della costruzione.

Un problema importante è la scelta del valore base del coefficiente di comportamento q_0 , che risulta legato alla tipologia strutturale ed al livello di duttilità attesa. Osservando le tipologie strutturali riportate al punto 7.4.3.1 – NTC2018 si evince che l'edificio in esame può essere riconducibile ad un sistema a telaio.

Per quanto riguarda il livello di duttilità attesa, si stabilisce di progettare il fabbricato in accordo con un comportamento strutturale dissipativo caratterizzato da Classe di Duttilità bassa (CD" B").

 ITALFERR GRUPPO FERROVIE DELLO STATO ITALIANE	DIRETTRICE FERROVIARIA MESSINA – CATANIA – PALERMO NUOVO COLLEGAMENTO PALERMO – CATANIA TRATTA LERCARA DIR – CALTANISSETTA XIRBI (LOTTO 3) FABBRICATI					
	Fabbricato IS-PPT - Tipologico M - Relazione di calcolo	COMMESSA RS3T	LOTTO 30 D 26	CODIFICA CL	DOCUMENTO FA00M0 001	REV. C

Visto il carattere rilevante che assumono i fabbricati, si decide di progettare le opere inquadrando come Strutture NON Dissipative e il fattore di comportamento al quale si farà riferimento per la definizione dello spettro di progetto è $q = 1,50$ in accordo con quanto prescritto all'Par. 7.3 delle NTC 2018 e successiva Tab. 7.3.I

Per gli stati limite di esercizio lo spettro di progetto da utilizzare, sia per le componenti orizzontali che per la componente verticale, è lo spettro elastico corrispondente, riferito alla probabilità di superamento nel periodo di riferimento P_{VR} .

Per una costruzione di Classe III, devono essere effettuate le verifiche riportate nella seguente tabella, estrapolata dalla tabella C7.1.I contenuta nella Circolare 2019:

Stato limite	Descrizione della prestazione	Riferimento norme D.M.17/01/2018	η
SLO	Contenimento del danno degli elementi non strutturali (spostamenti di interpiano)	§7.3.7.2	1
SLD	Resistenza degli elementi strutturali	§7.3.7.1	2/3
SLV	Resistenza delle strutture	§7.3.6.1	1/q
	Duttilità delle strutture	§7.3.6.2	
	Assenza di collasso fragile ed espulsione di elementi non strutturali	§7.3.6.3	

Gli spettri di risposta di progetto agli stati limite SLD, SLV sono stati determinati facendo riferimento alle condizioni più gravose in cui l'edificio in esame si trova ubicato lungo la tratta in progetto. Si riporta l'elenco dei piazzali e le corrispondenti coordinate geografiche in cui sono ubicati gli edifici di questa tipologia lungo il tracciato di progetto.

PT51 - Fabbricato Stazione Villalba

PROGRESSIVA [km]	LATITUDINE [-]	LONGITUDINE [-]	a_g [g]	F_0 [-]	T_c^* [s]
22+270	37.668047	13.885225	0.107	2.637	0.394



Stati limite

 Classe Edificio		
III. Affollamento significativo...		*
 Vita Nominale	75	*
 Interpolazione	Media ponderata	*

CU = 1.5

Stato Limite	Tr [anni]	a_g [g]	F_0	T_c^* [s]
Operatività (SLO)	68	0.044	2.464	0.282
Danno (SLD)	113	0.053	2.488	0.306
Salvaguardia vita (SLV)	1068	0.107	2.637	0.394
Prevenzione collasso (SLC)	2193	0.129	2.686	0.420
Periodo di riferimento per l'azione sismica:	112.5			

PT57 - Imbocco lato Ovest galleria Trabona lato PA

PROGRESSIVA [km]	LATITUDINE [-]	LONGITUDINE [-]	a_g [g]	F_0 [-]	T_c^* [s]
35+222	37.565406	13.944375	0,094	2,669	0,441



Stati limite

 Classe Edificio		
 Vita Nominale	75	-
 Interpolazione	Media ponderata	-

CU = 1.5

Stato Limite	Tr [anni]	a_g [g]	F_0	T_c^* [s]
Operatività (SLO)	68	0.039	2.519	0.283
Danno (SLD)	113	0.047	2.501	0.314
Salvaguardia vita (SLV)	1068	0.094	2.669	0.441
Prevenzione collasso (SLC)	2193	0.113	2.754	0.477
Periodo di riferimento per l'azione sismica:	112.5			

 ITALFERR GRUPPO FERROVIE DELLO STATO ITALIANE	DIRETTRICE FERROVIARIA MESSINA – CATANIA – PALERMO NUOVO COLLEGAMENTO PALERMO – CATANIA TRATTA LERCARA DIR – CALTANISSETTA XIRBI (LOTTO 3) FABBRICATI					
	Fabbricato IS-PPT - Tipologico M - Relazione di calcolo	COMMESSA RS3T	LOTTO 30 D 26	CODIFICA CL	DOCUMENTO FA00M0 001	REV. C

Pertanto sono stati assunti i seguenti parametri sismici:

Cat. Sottosuolo	a_g/g	$F_o [-]$	$T_c^* [s]$
C	0,107	2,637	0,394

Gli effetti dell'azione sismica vengono valutati tenendo conto delle masse associate ai carichi gravitazionali dovuti al peso proprio (G_1), ai sovraccarichi permanenti (G_2) e a un'aliquota (ψ_{2j}) dei sovraccarichi accidentali (Q_{kj}):

$$G_1 + G_2 + \sum_j \psi_{2j} \cdot Q_{kj}$$

I valori dei coefficienti ψ_{2j} sono riportati nella Tabella 2.5.I – NTC2018. Nel caso in esame i sovraccarichi accidentali che possono essere sottoposti ad eccitazione sismica sono:

- per il solaio di copertura, la neve ed il vento per copertura presentano $\psi_{2j} = 0$;
- per il solaio di copertura, il sovraccarico variabile agente presenta $\psi_{2j} = 0$.

Per tener conto della variabilità spaziale del moto sismico, nonché di eventuali incertezze nella localizzazione delle masse, al centro di massa deve essere attribuita un'eccentricità accidentale rispetto alla sua posizione quale deriva dal calcolo. Per gli edifici, gli effetti dell'eccentricità accidentale del centro di massa possono essere determinati mediante l'applicazione di carichi statici costituiti da momenti torcenti di valore pari alla risultante orizzontale della forza agente al piano, moltiplicata per l'eccentricità accidentale del baricentro delle masse rispetto alla sua posizione di calcolo. In assenza di più accurate determinazioni l'eccentricità accidentale in ogni direzione non può essere considerata inferiore a 0.05 volte la dimensione dell'edificio misurata perpendicolarmente alla direzione di applicazione dell'azione sismica.

Gli effetti delle forze equivalenti dovute all'eccentricità accidentale, vengono portati in conto nella combinazione sismica, sommandoli al contributo delle sollecitazioni che si ottengono a valle dell'analisi dinamica lineare con spettro di risposta.

Come metodo di analisi per determinare gli effetti dell'azione sismica si è scelto di utilizzare l'analisi dinamica lineare o analisi modale con spettro di risposta, nella quale l'equilibrio è trattato dinamicamente e l'azione sismica è modellata direttamente attraverso lo spettro di progetto.

L'analisi dinamica lineare consiste:

- nella determinazione dei modi di vibrare della costruzione (analisi modale);
- nel calcolo degli effetti dell'azione sismica, rappresentata dallo spettro di risposta di progetto, per ciascuno dei modi di vibrare individuati;
- nella combinazione di questi effetti.

Come prescritto dalle NTC 2018 al paragrafo 7.3.3.1, devono essere considerati tutti i modi di vibrare con massa partecipante significativa. E' opportuno a tal riguardo considerare tutti i modi con massa partecipante superiore al 5% e comunque un numero di modi la cui massa partecipante totale sia

superiore all'85%. Per la combinazione degli effetti relativi ai singoli modi, deve essere utilizzata una combinazione quadratica completa (CQC) degli effetti relativi a ciascun modo, secondo quanto definito al punto 7.3.3.1 delle NTC2018.

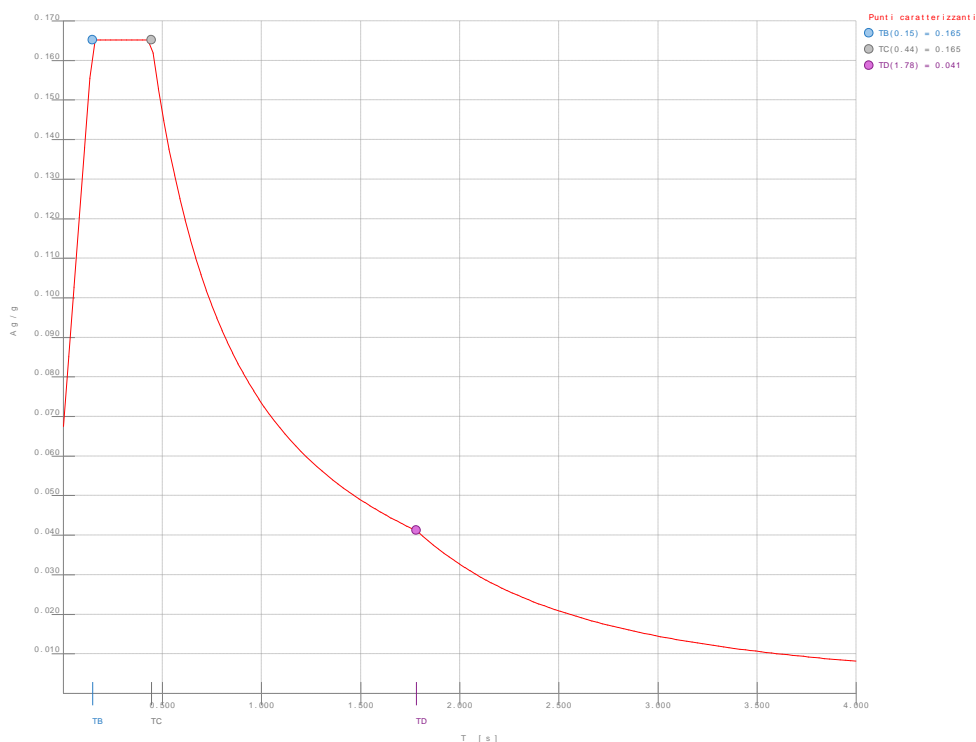
La risposta della struttura viene calcolata separatamente per ciascuna delle due componenti dell'azione sismica orizzontale; gli effetti sulla struttura, in termini di sollecitazioni e spostamenti, sono poi combinati applicando le seguenti espressioni:

$$1.00 \cdot E_x + 0.30 \cdot E_y$$

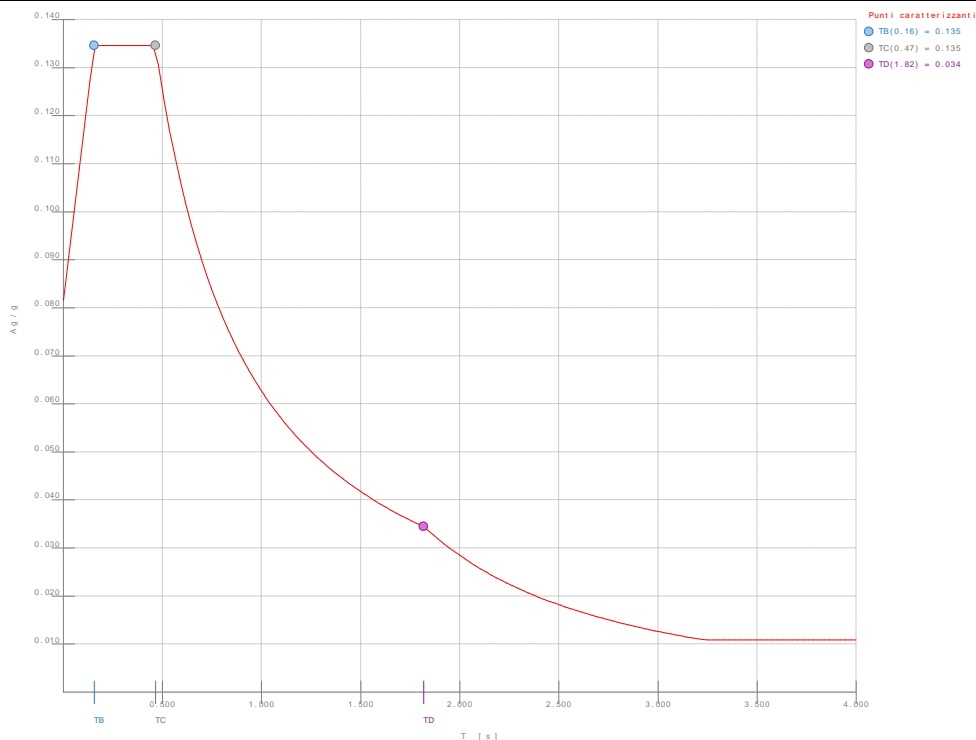
$$1.00 \cdot E_y + 0.30 \cdot E_x$$

Si è infine provveduto a combinare gli effetti dell'analisi spettrale ai differenti stati limite con quelli provocati dalle forze equivalenti all'eccentricità accidentale.

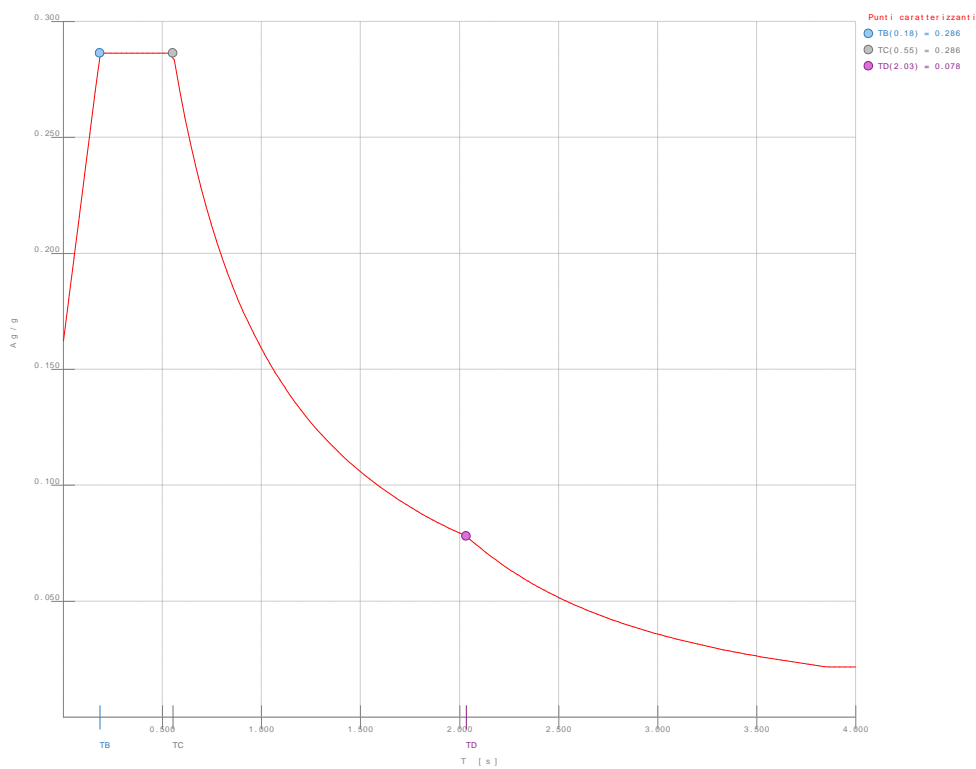
Si riportano di seguito i diagrammi degli spettri:



Spettro SLO



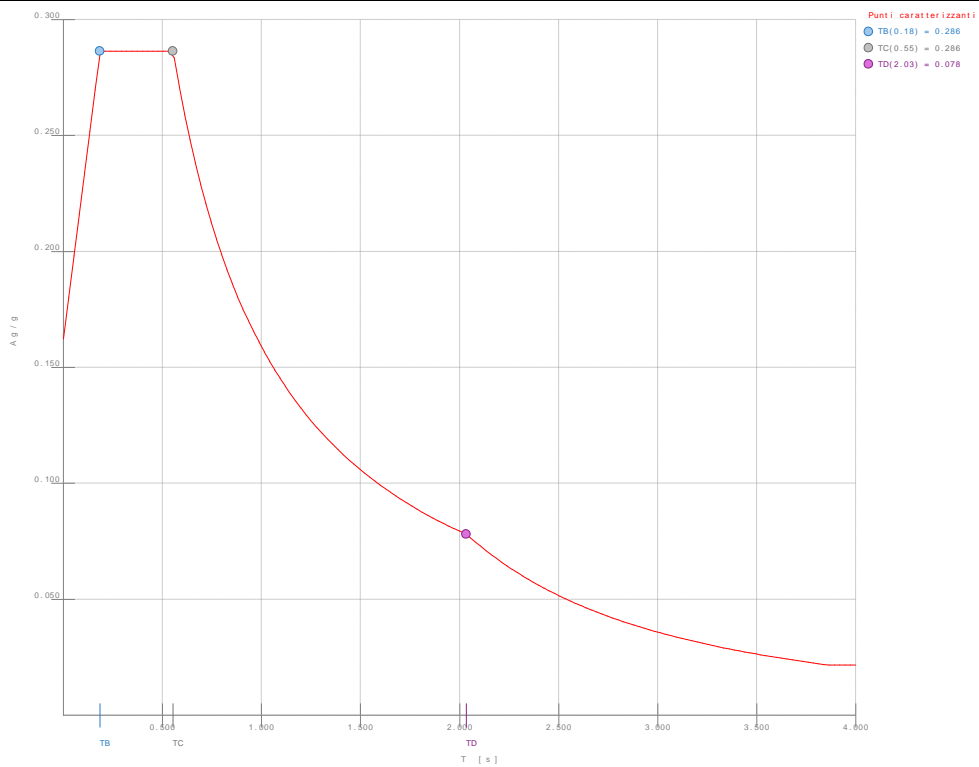
Spettro SLD



Spettro SLV

Fabbricato IS-PPT - Tipologico M - Relazione di calcolo

COMMESSA	LOTTO	CODIFICA	DOCUMENTO	REV.	FOGLIO
RS3T	30 D 26	CL	FA00M0 001	C	29 di 104



Spettro SND

	DIRETTRICE FERROVIARIA MESSINA – CATANIA – PALERMO NUOVO COLLEGAMENTO PALERMO – CATANIA TRATTA LERCARA DIR – CALTANISSETTA XIRBI (LOTTO 3) FABBRICATI					
	Fabbricato IS-PPT - Tipologico M - Relazione di calcolo	COMMESSA	LOTTO	CODIFICA	DOCUMENTO	REV.
	RS3T	30 D 26	CL	FA00M0 001	C	30 di 104

7 MODELLO STRUTTURALE E COMBINAZIONI DI CARICO

7.1 CONSIDERAZIONI GENERALI SUL MODELLO DI CALCOLO

Il sistema costruttivo che caratterizza il fabbricato tecnologico in c.a. è costituito, in elevazione, da un telaio spaziale realizzato mediante la rigida connessione di travi e pilastri, e in fondazione, da una platea.

Lo step del lavoro relativo al calcolo computazionale e alla definizione dell'output, in termini di caratteristiche di sollecitazione e deformazioni per i vari elementi strutturali, prevede un approccio preliminare basato sulla modellazione della struttura attraverso un processo di discretizzazione agli elementi finiti facendo riferimento ad un modello elastico.

La modellazione della struttura e la rielaborazione dei risultati del calcolo sono stati effettuati con il programma ModeSt versione 8.18 prodotto dalla Tecnisoft s.a.s. di Prato.

La struttura è stata calcolata utilizzando come solutore agli elementi finiti il programma Xfinest versione 2016 prodotto dalla Ce.A.S. S.r.l. di Milano.

Il programma ModeSt viene utilizzato per definire la geometria della struttura da analizzare, i carichi cui è sottoposta e le combinazioni di queste. A valle dell'elaborazione agli Elementi Finiti (sviluppata dall'X-Finest) il programma opera le verifiche sui singoli elementi analizzati, utilizzando dei criteri di verifica preventivamente impostati dal progettista, e comunque in linea con il dettato delle NTC 2018.

L'affidabilità del codice utilizzato è stata verificata sia effettuando il raffronto tra casi prova di cui si conoscono i risultati esatti sia esaminando le indicazioni, la documentazione ed i test forniti dal produttore stesso.

Gli elementi strutturali, travi e pilastri in elevazione e platea in fondazione, sono stati schematizzati mediante elementi monodimensionali tipo *frame*.

Essi presentano caratteristiche geometriche e meccaniche in accordo con le proprietà reali dei materiali e delle sezioni che li rappresentano.

Ciascuna asta è stata posizionata in corrispondenza dell'asse baricentrico degli elementi strutturali. L'interazione tra terreno e struttura è stata studiata ipotizzando un comportamento elastico del terreno.

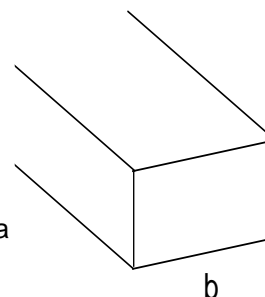
Per la modellazione del terreno si considera quindi la trave su suolo elastico, modellata con l'utilizzo di molle alla Winkler, aventi la seguente rigidezza (Vesic, 1965):

$$K = \frac{0.65E}{1-\nu^2} \sqrt[12]{\frac{Eb^4}{(EJ)_{fond}}}$$

E= **30000** kN/mq modulo elastico del terreno
 ν= **0,25** coeff. di Poisson

Platea di fondazione

b= **6** m dimensione trasversale platea
 h= **0,4** m altezza platea
 J= **0,032** m⁴ inerzia platea
 Rck= **30** Mpa
 Ec= **31220186** kN/mq modulo di elasticità cls



K= 28221 kN/mc modulo di reazione lineare sulla trave

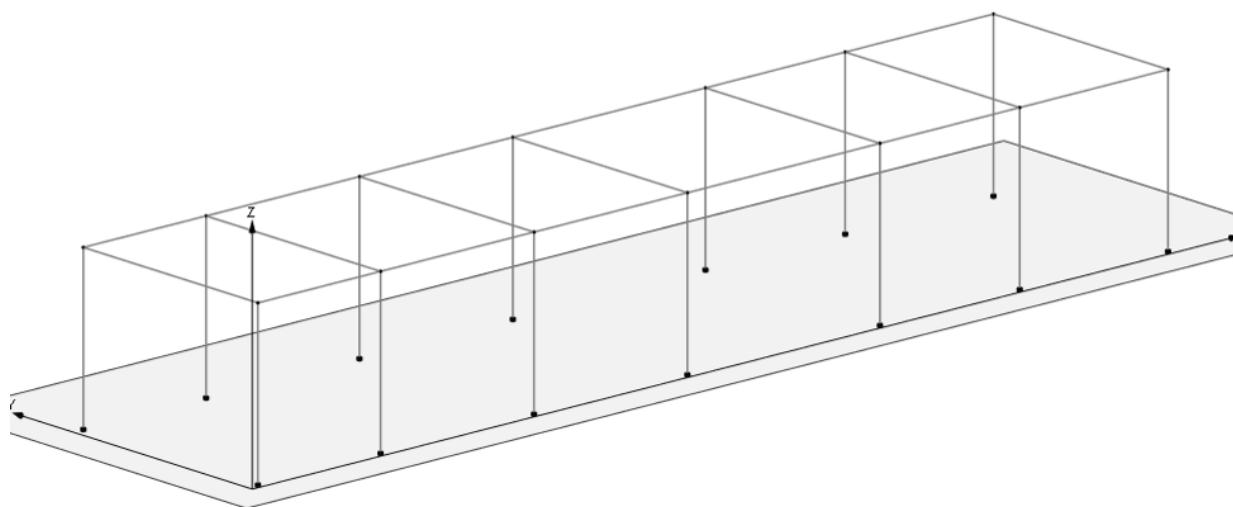
Tenendo conto del fatto che tutti gli edifici hanno una larghezza di circa 6 m, il calcolo riportato precedentemente risulta essere la condizione peggiore per tutti i tipologici degli edifici.

A favore di sicurezza si utilizza K=25000 kN/m³.

L'analisi degli effetti dovuti all'azione sismica prevede la definizione delle masse strutturali partecipanti all'eccitazione dinamica dovuta al terremoto. Pertanto nel modello le masse strutturali coincidono con i carichi caratteristici permanenti strutturali e non strutturali e con il 30% dei carichi di esercizio.

La presenza del solaio di copertura è stata modellata mediante un vincolo di diaframma al livello di copertura, oltre che con l'assegnazione dei carichi alle travi. L'assegnazione dei carichi alle travi è stata effettuata sulla base della tessitura dei solai secondo il criterio della larghezza d'influenza. Agli elementi in elevazione è stato assegnato un carico termico, pari a quello riportato nell'analisi dei carichi.

Seguono alcune immagini rappresentative del modello di calcolo.



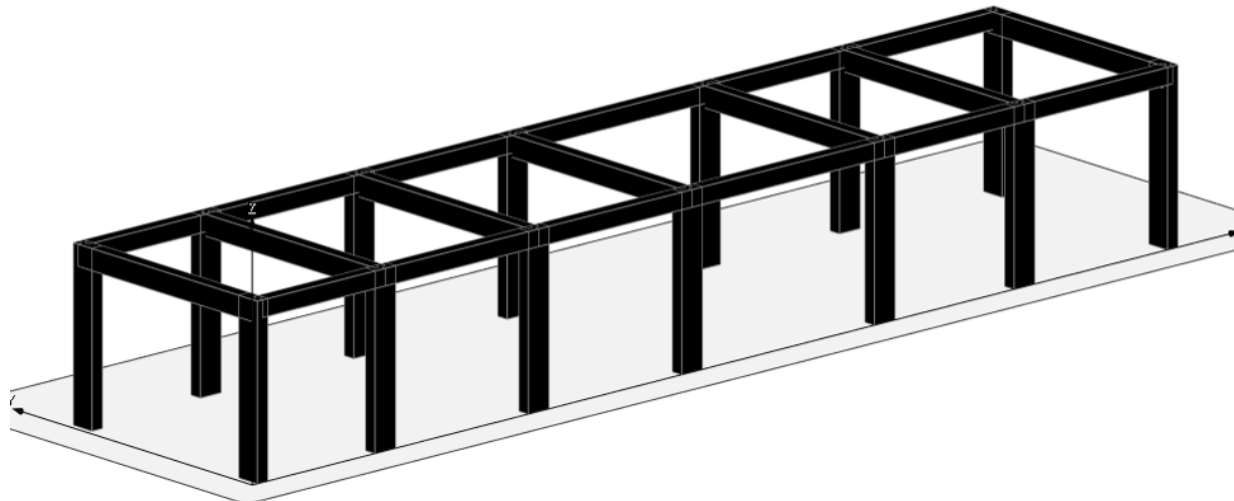


Figura 7.1-1 - Vista estrusa del modello.

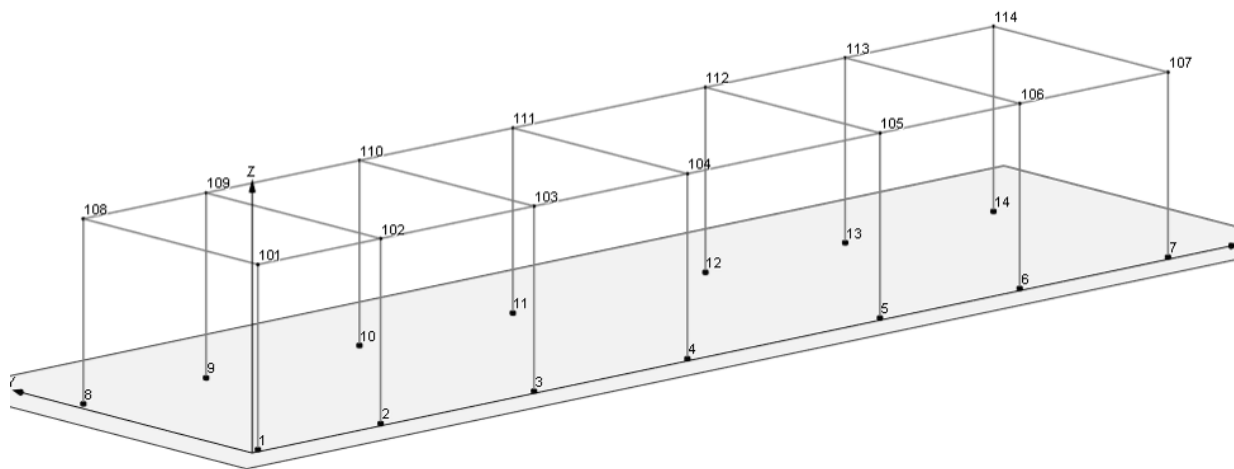


Figura 7.1-2 Numerazione nodi.

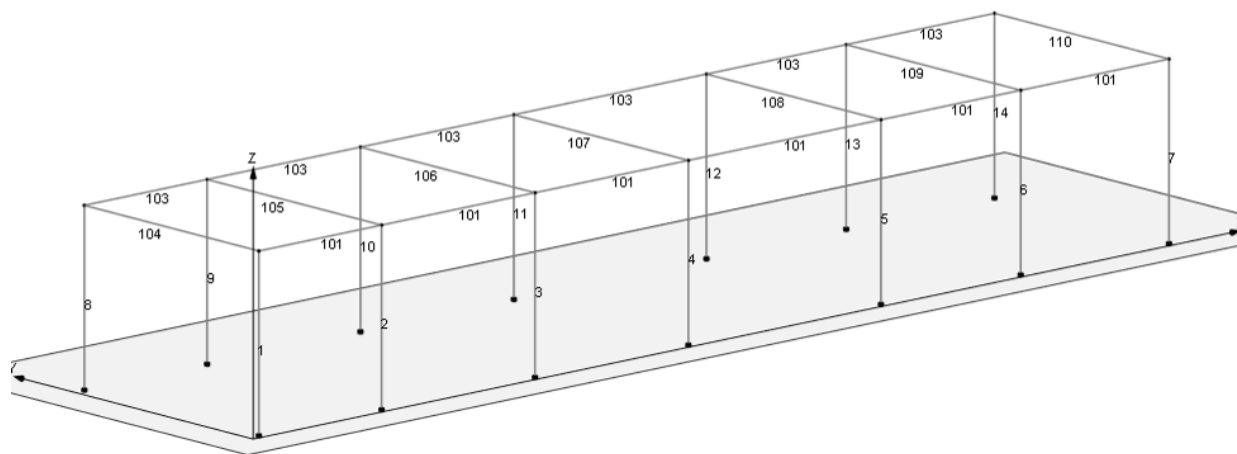


Figura 7.1-3 Modello di calcolo – Numerazione aste.

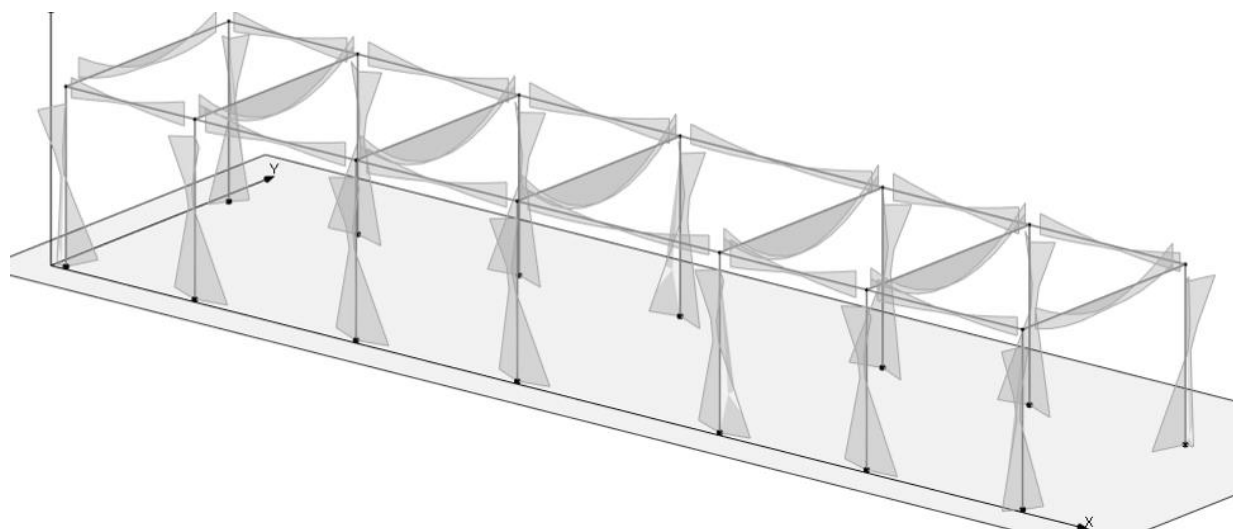


Figura 7.1-4 Diagramma dei momenti M_3 – COMB_INV_SLV_CC1.

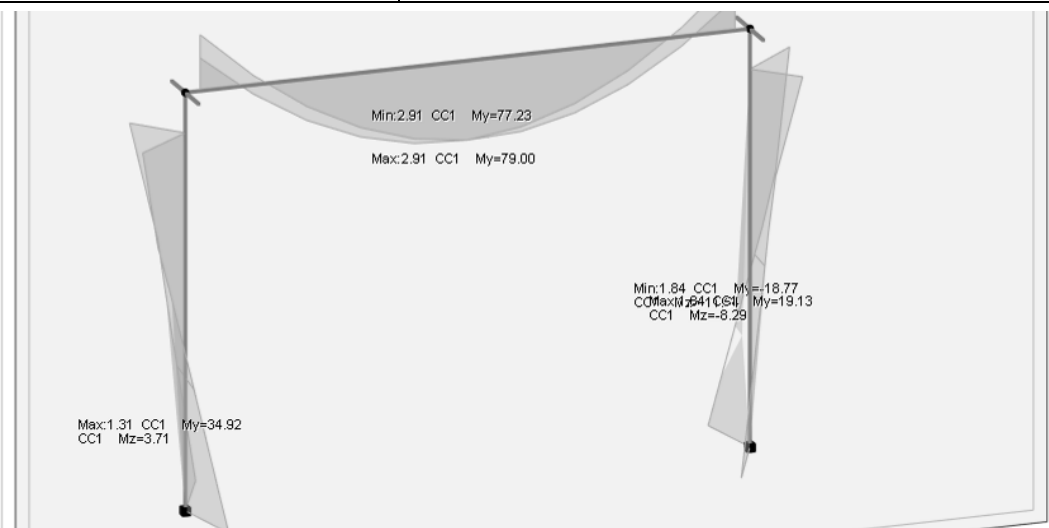


Figura 7.1-5 Diagramma dei momenti M3 - COMB_INV_SLV_CC1 – Telaio interno

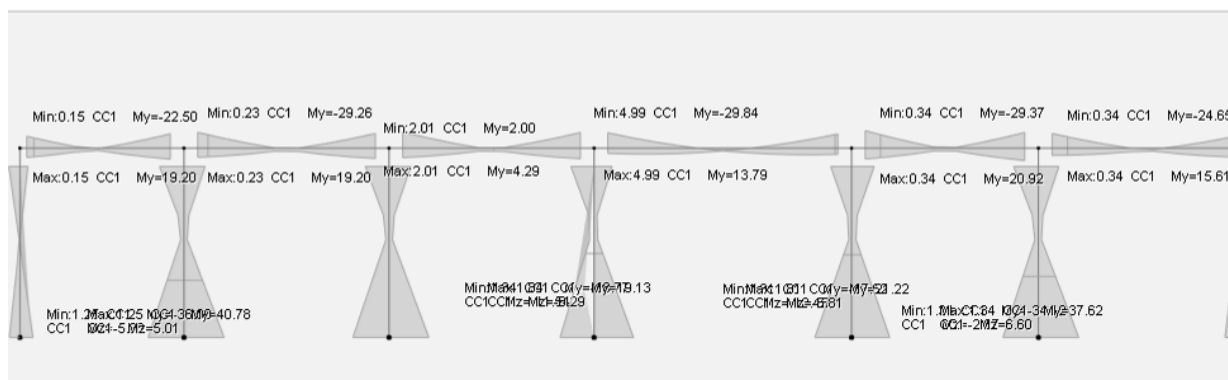


Figura 7.1-6 Diagramma dei momenti M3 - COMB_INV_SLV_CC1 – Telaio di bordo.

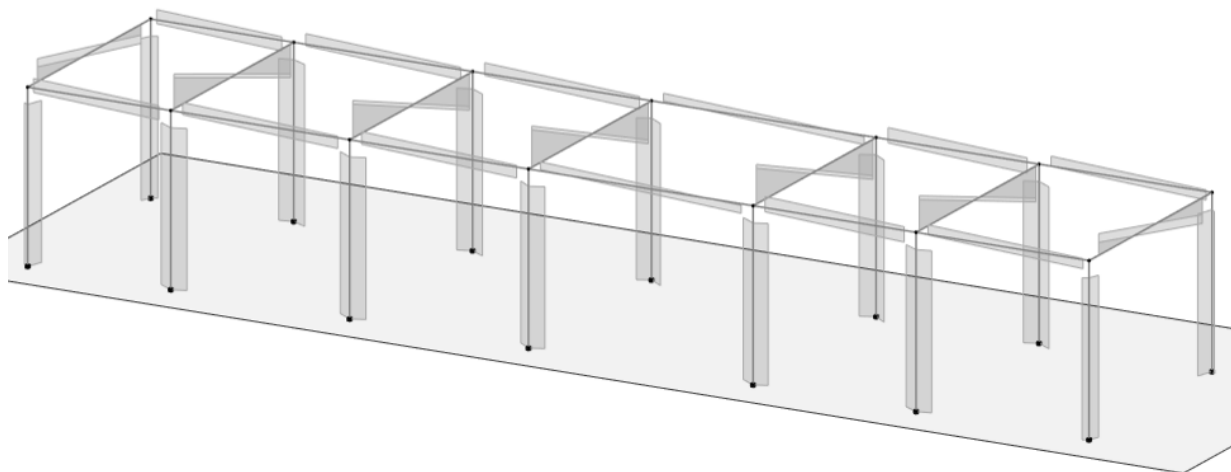


Figura 7.1-7 Diagramma del taglio V2 – COMB_INV_SLV_CC1.

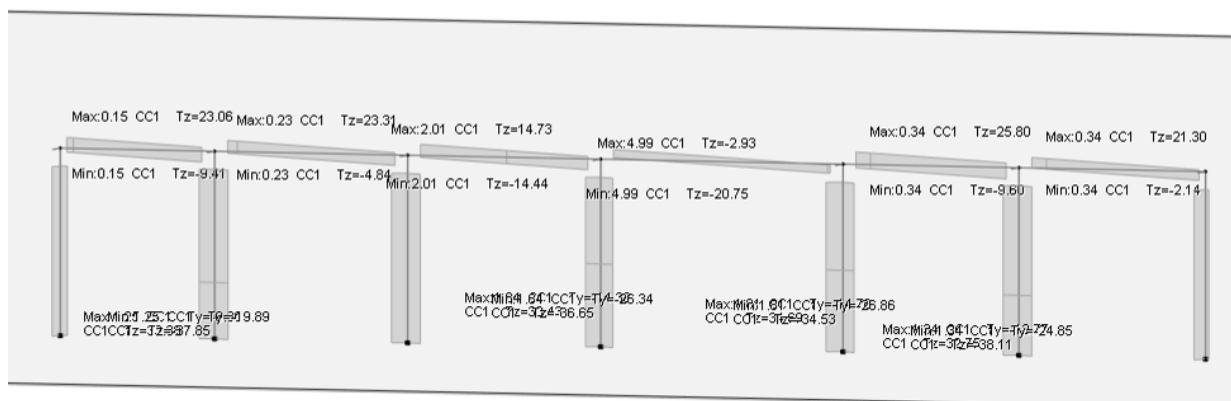


Figura 7.1-8 Diagramma del taglio V2 – COMB_INV_SLV_CC1 – Telaio di bordo.

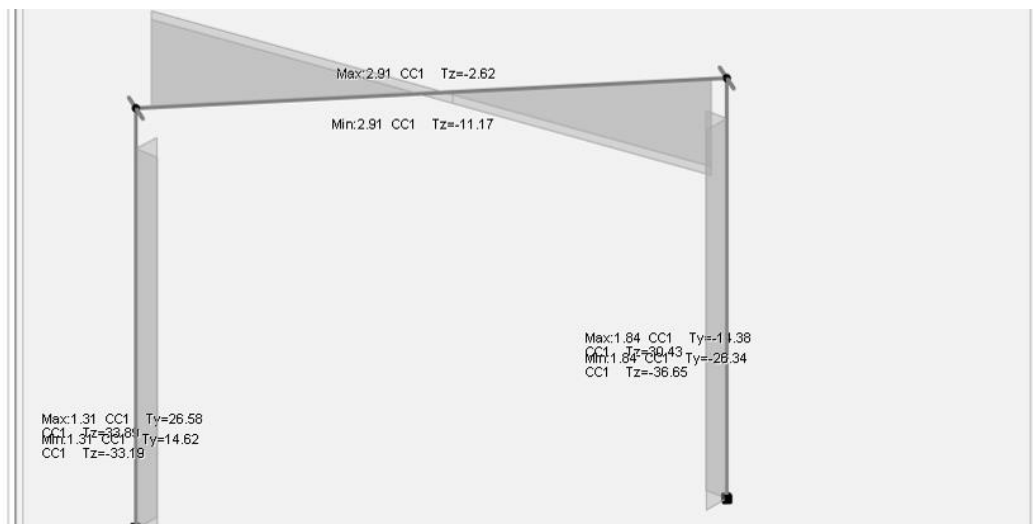


Figura 7.1-9 Diagramma del taglio V2 – COMB_INV_SLV_CC1 – Telaio interno.

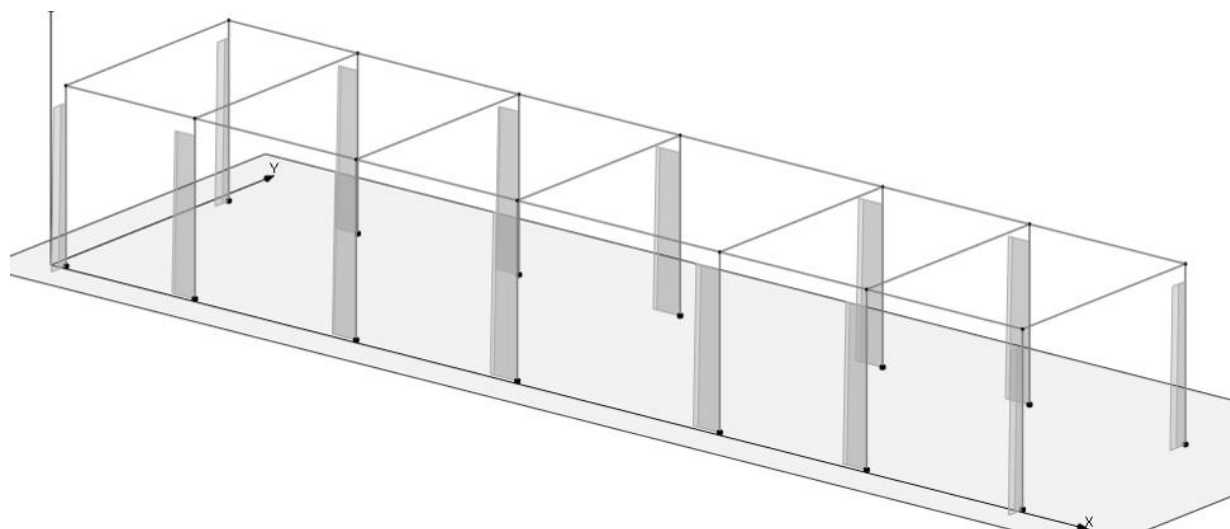


Figura 7.1-10 Diagramma dello sforzo assiale P – COMB_INV_SLV_CC1.

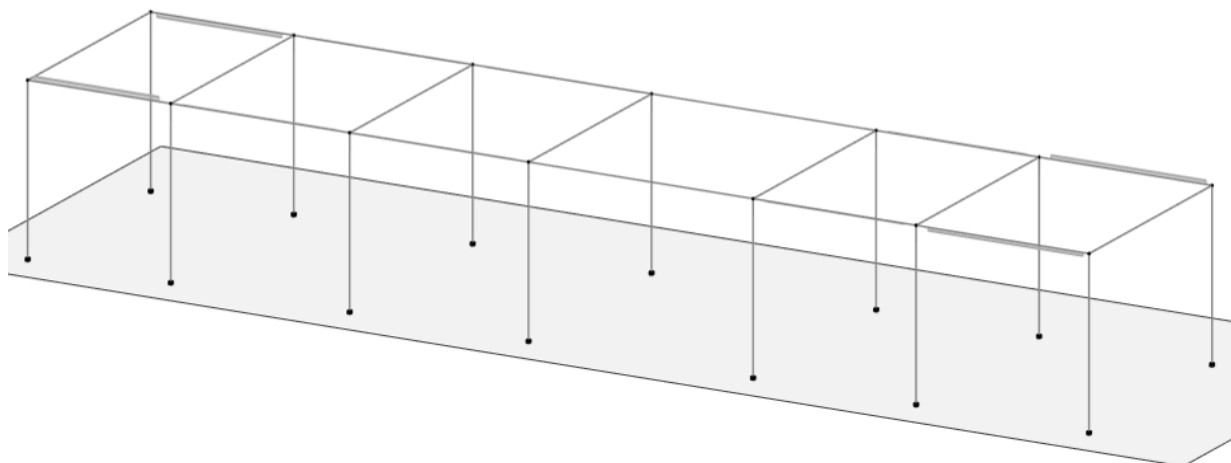


Figura 7.1-11 Diagramma della torsione T- COMB_INV_SLU.

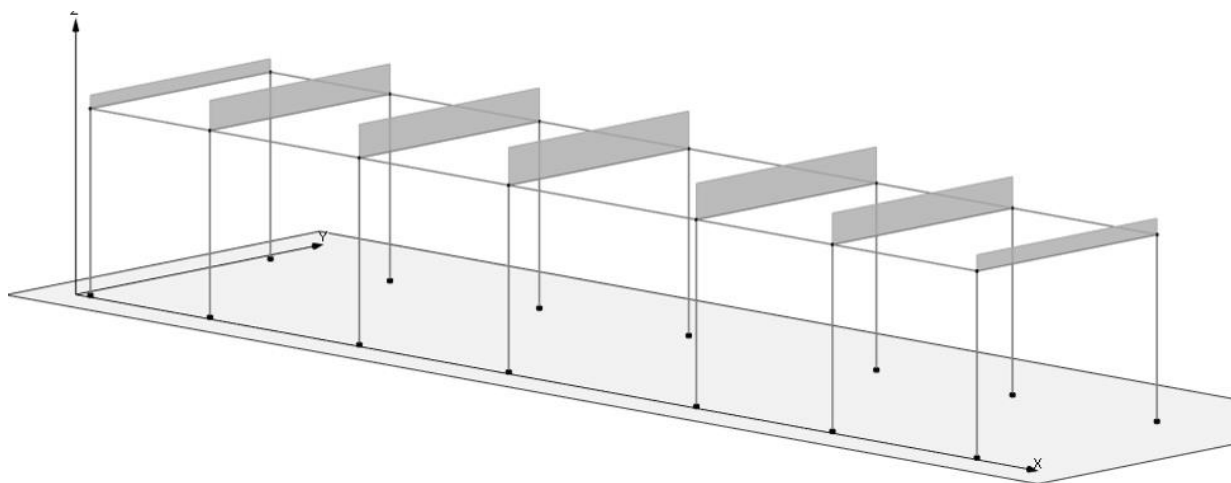


Figura 7.1-12 Schemi di carico – Pesi propri solai

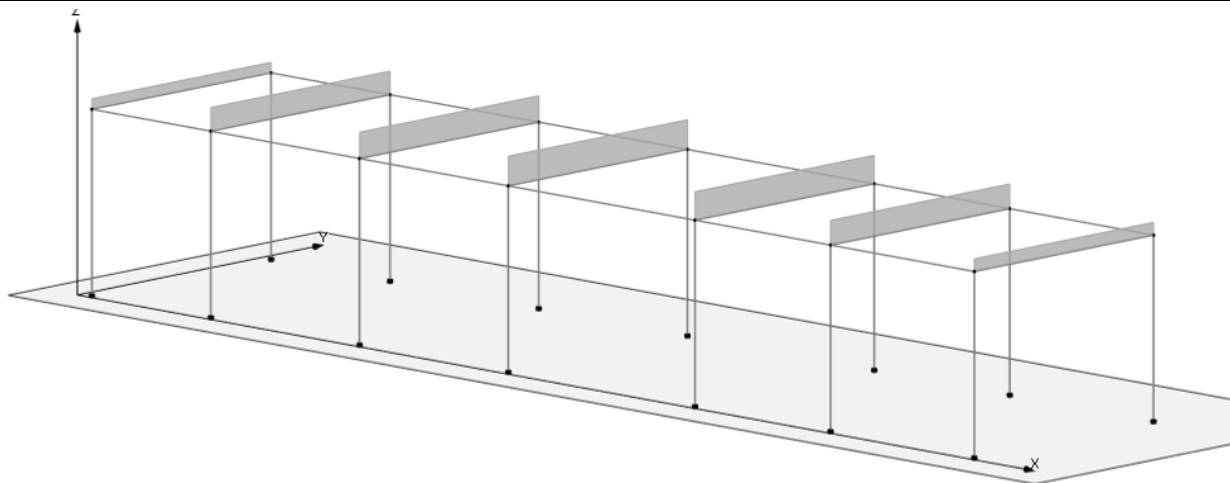


Figura 7.1-13 Schemi di carico – Carichi permanenti portati solai

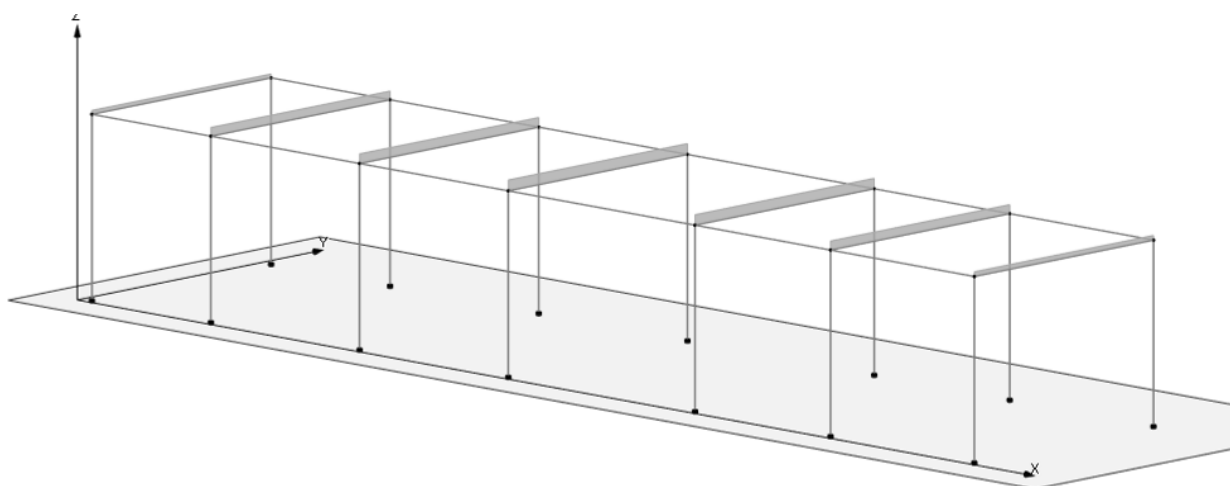


Figura 7.1-14 Schemi di carico - Accidentali copertura

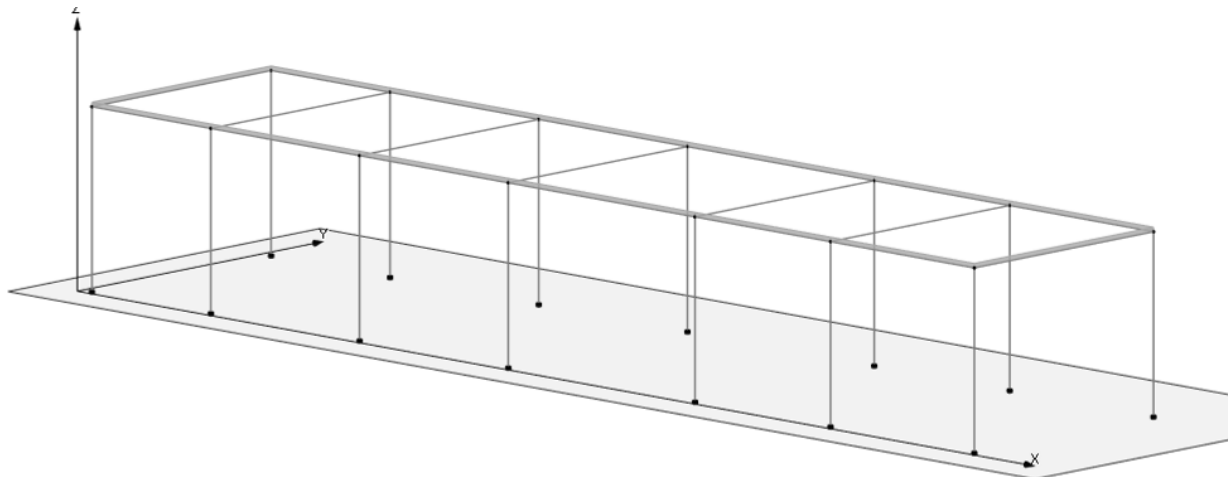


Figura 7.1-15 Schemi di carico - Tamponature

7.2 COMBINAZIONI DELLE AZIONI

Ai fini delle verifiche degli stati limite si definiscono le seguenti combinazioni delle azioni (2.5.3 – NTC2018).

- Combinazione fondamentale, generalmente impiegata per gli stati limite ultimi (SLU):

$$\gamma_{G1} \cdot G_1 + \gamma_{G2} \cdot G_2 + \gamma_P \cdot P + \gamma_{Q1} \cdot Q_{k1} + \gamma_{Q2} \cdot \psi_{02} \cdot Q_{k2} + \gamma_{Q3} \cdot \psi_{03} \cdot Q_{k3} + \dots$$

- Combinazione caratteristica (rara), generalmente impiegata per gli stati limite di esercizio (SLE) irreversibili:

$$G_1 + G_2 + P + Q_{k1} + \psi_{02} \cdot Q_{k2} + \psi_{03} \cdot Q_{k3} + \dots$$

- Combinazione caratteristica (frequente), generalmente impiegata per gli stati limite di esercizio (SLE) reversibili:

$$G_1 + G_2 + P + \psi_{11} \cdot Q_{k1} + \psi_{22} \cdot Q_{k2} + \psi_{23} \cdot Q_{k3} + \dots$$

- Combinazione caratteristica (quasi permanente), generalmente impiegata per gli effetti a lungo termine (SLE):

$$G_1 + G_2 + P + \psi_{21} \cdot Q_{k1} + \psi_{22} \cdot Q_{k2} + \psi_{23} \cdot Q_{k3} + \dots$$

- Combinazione sismica impiegata per gli stati limite ultimi e di esercizio connessi all'azione sismica E:

$$E + G_1 + G_2 + P + \psi_{21} \cdot Q_{k1} + \psi_{22} \cdot Q_{k2} + \dots$$

Dove:

Fabbricato IS-PPT - Tipologico M - Relazione di calcolo

COMMESSA	LOTTO	CODIFICA	DOCUMENTO	REV.	FOGLIO
RS3T	30 D 26	CL	FA00M0 001	C	40 di 104

- a) Azioni Permanenti (G);
- b) Azioni Variabili (Q);
- c) Azioni di Precompressione (P);
- d) Azioni Eccezionali (A);
- e) Azioni Sismiche (E);

Le combinazioni delle azioni che sono state adottate per lo SLU sono riportate nelle tabelle seguenti, indicando nella casella, corrispondente all'azione coinvolta, il moltiplicatore dei carichi in funzione della combinazione considerata. Per quanto riguarda le azioni aerodinamiche generate dal transito dei convogli, sono stati utilizzati coefficienti di combinazione Ψ riportati nella tabella 5.2.VI delle NTC2018.

Si precisa che, data la simmetria della struttura, si sono individuate le combinazioni delle azioni tali da risultare maggiormente gravose e sbilanciati per la costruzione in esame.

Per quanto concerne la combinazione delle altre azioni con l'azione sismica è necessario garantire il rispetto degli stati limite, quali definiti al punto 3.2.1 – NTC2018, effettuando opportune verifiche di sicurezza. Ciascuna di esse garantisce, per ogni stato limite, quindi per il corrispettivo livello di azione sismica, il raggiungimento di una data prestazione da parte della costruzione nel suo complesso. Le verifiche di sicurezza da effettuare sono riepilogate in funzione della classe d'uso nella tabella C7.1.I – Circolare2019. A riguardo, si evidenzia che le verifiche allo stato limite di collasso (SLC) devono essere eseguite necessariamente sulle sole costruzioni provviste di isolamento sismico.

- Combinazioni di carico sismiche SLV SLD SLO

CC	Commento	TCC	An.	Bk	1	2	3	4	5	6	7	8	Mt	±S X	±S Y
1	Amb. 1 (SLU S) S M	SLV+SND	L	█	1.00	1.00	1.00	0.00	1.00	0.00	0.00	0.00	1.00	1.00	0.30
2	Amb. 1 (SLE S Mt+)	SLD	L	█	1.00	1.00	1.00	0.00	1.00	0.00	0.00	0.00	1.00	1.00	0.30
3	Amb. 1 (SLE S Mt+)	SLO	L	█	1.00	1.00	1.00	0.00	1.00	0.00	0.00	0.00	1.00	1.00	0.30
4	Amb. 1 (SLU S) S M	SLV+SND	L	█	1.00	1.00	1.00	0.00	1.00	0.00	0.00	0.00	1.00	1.00	-0.30
5	Amb. 1 (SLE S Mt+)	SLD	L	█	1.00	1.00	1.00	0.00	1.00	0.00	0.00	0.00	1.00	1.00	-0.30
6	Amb. 1 (SLE S Mt+)	SLO	L	█	1.00	1.00	1.00	0.00	1.00	0.00	0.00	0.00	1.00	1.00	-0.30
7	Amb. 1 (SLU S) S M	SLV+SND	L	█	1.00	1.00	1.00	0.00	1.00	0.00	0.00	0.00	1.00	0.30	1.00
8	Amb. 1 (SLE S Mt+)	SLD	L	█	1.00	1.00	1.00	0.00	1.00	0.00	0.00	0.00	1.00	0.30	1.00
9	Amb. 1 (SLE S Mt+)	SLO	L	█	1.00	1.00	1.00	0.00	1.00	0.00	0.00	0.00	1.00	0.30	1.00
10	Amb. 1 (SLU S) S M	SLV+SND	L	█	1.00	1.00	1.00	0.00	1.00	0.00	0.00	0.00	1.00	-0.30	1.00
11	Amb. 1 (SLE S Mt-)	SLD	L	█	1.00	1.00	1.00	0.00	1.00	0.00	0.00	0.00	1.00	-0.30	1.00
12	Amb. 1 (SLE S Mt-)	SLO	L	█	1.00	1.00	1.00	0.00	1.00	0.00	0.00	0.00	1.00	-0.30	1.00
13	Amb. 1 (SLU S) S -	SLV+SND	L	█	1.00	1.00	1.00	0.00	1.00	0.00	0.00	0.00	-1.00	1.00	0.30
14	Amb. 1 (SLE S -Mt)	SLD	L	█	1.00	1.00	1.00	0.00	1.00	0.00	0.00	0.00	-1.00	1.00	0.30
15	Amb. 1 (SLE S -Mt)	SLO	L	█	1.00	1.00	1.00	0.00	1.00	0.00	0.00	0.00	-1.00	1.00	0.30
16	Amb. 1 (SLU S) S -	SLV+SND	L	█	1.00	1.00	1.00	0.00	1.00	0.00	0.00	0.00	-1.00	1.00	-0.30
17	Amb. 1 (SLE S -Mt)	SLD	L	█	1.00	1.00	1.00	0.00	1.00	0.00	0.00	0.00	-1.00	1.00	-0.30
18	Amb. 1 (SLE S -Mt)	SLO	L	█	1.00	1.00	1.00	0.00	1.00	0.00	0.00	0.00	-1.00	1.00	-0.30
19	Amb. 1 (SLU S) S -	SLV+SND	L	█	1.00	1.00	1.00	0.00	1.00	0.00	0.00	0.00	-1.00	0.30	1.00
20	Amb. 1 (SLE S -Mt)	SLD	L	█	1.00	1.00	1.00	0.00	1.00	0.00	0.00	0.00	-1.00	0.30	1.00
21	Amb. 1 (SLE S -Mt)	SLO	L	█	1.00	1.00	1.00	0.00	1.00	0.00	0.00	0.00	-1.00	0.30	1.00
22	Amb. 1 (SLU S) S -	SLV+SND	L	█	1.00	1.00	1.00	0.00	1.00	0.00	0.00	0.00	-1.00	-0.30	1.00
23	Amb. 1 (SLE S -Mt)	SLD	L	█	1.00	1.00	1.00	0.00	1.00	0.00	0.00	0.00	-1.00	-0.30	1.00
24	Amb. 1 (SLE S -Mt)	SLO	L	█	1.00	1.00	1.00	0.00	1.00	0.00	0.00	0.00	-1.00	-0.30	1.00

- Combinazioni di carico statiche SLU

25	Amb. 2 (SLU)	SLU	▼	L	▼	▼	1.30	1.30	1.50	1.50	1.50	0.00	1.50	0.00	0.00	0.00	0.00
26	Amb. 2 (SLE R)	SLE R	▼	L	▼	▼	1.00	1.00	1.00	1.00	1.00	0.00	1.00	0.00	0.00	0.00	0.00
27	Amb. 2 (SLE F)	SLE F	▼	L	▼	▼	1.00	1.00	1.00	0.20	1.00	0.00	0.50	0.00	0.00	0.00	0.00
28	Amb. 2 (SLE Q)	SLE Q	▼	L	▼	▼	1.00	1.00	1.00	0.00	1.00	0.00	0.00	0.00	0.00	0.00	0.00
29	Amb. 3 (SLU)	SLU	▼	L	▼	▼	1.30	1.30	1.50	1.50	1.50	1.50	1.50	0.00	0.00	0.00	0.00
30	Amb. 3 (SLU)	SLU	▼	L	▼	▼	1.30	1.30	1.50	1.50	1.50	0.90	1.50	0.00	0.00	0.00	0.00
31	Amb. 3 (SLE R)	SLE R	▼	L	▼	▼	1.00	1.00	1.00	1.00	1.00	1.00	1.00	0.00	0.00	0.00	0.00
32	Amb. 3 (SLE R)	SLE R	▼	L	▼	▼	1.00	1.00	1.00	1.00	1.00	0.60	1.00	0.00	0.00	0.00	0.00
33	Amb. 3 (SLE F)	SLE F	▼	L	▼	▼	1.00	1.00	1.00	0.20	1.00	0.20	0.50	0.00	0.00	0.00	0.00
34	Amb. 3 (SLE F)	SLE F	▼	L	▼	▼	1.00	1.00	1.00	0.20	1.00	0.00	0.50	0.00	0.00	0.00	0.00
35	Amb. 3 (SLE Q)	SLE Q	▼	L	▼	▼	1.00	1.00	1.00	0.00	1.00	0.00	0.00	0.00	0.00	0.00	0.00
36	Amb. 4 (SLU)	SLU	▼	L	▼	▼	1.30	1.30	1.50	1.50	1.50	0.00	1.50	1.50	0.00	0.00	0.00
37	Amb. 4 (SLU)	SLU	▼	L	▼	▼	1.30	1.30	1.50	1.50	1.50	0.00	1.50	0.90	0.00	0.00	0.00
38	Amb. 4 (SLE R)	SLE R	▼	L	▼	▼	1.00	1.00	1.00	1.00	1.00	0.00	1.00	1.00	0.00	0.00	0.00
39	Amb. 4 (SLE R)	SLE R	▼	L	▼	▼	1.00	1.00	1.00	1.00	1.00	0.00	1.00	0.60	0.00	0.00	0.00
40	Amb. 4 (SLE F)	SLE F	▼	L	▼	▼	1.00	1.00	1.00	0.20	1.00	0.00	0.50	0.20	0.00	0.00	0.00
41	Amb. 4 (SLE F)	SLE F	▼	L	▼	▼	1.00	1.00	1.00	0.20	1.00	0.00	0.50	0.00	0.00	0.00	0.00
42	Amb. 4 (SLE Q)	SLE Q	▼	L	▼	▼	1.00	1.00	1.00	0.00	1.00	0.00	0.00	0.00	0.00	0.00	0.00

- Condizioni di carico elementari

CCE	Commento	Tipo CCE	Sic.	Var.	Peso	C. A.	Dir.	Tipo	s	Mx	My	Mz	Jpx	Jpy	Jpz
1	Peso proprio	1 D.M. 18 Permanenti	a sfavore		<input checked="" type="checkbox"/>	P			1.00	1.0	1.0	0.0	0.0	0.0	1.0
2	Peso proprio solai	1 D.M. 18 Permanenti	a sfavore		<input type="checkbox"/>	QPS			1.00	1.0	1.0	0.0	0.0	0.0	1.0
3	Permanente solai	2 D.M. 18 Permanenti	a sfavore		<input type="checkbox"/>	QPN			1.00	1.0	1.0	0.0	0.0	0.0	1.0
4	Accidentali copertura	12 D.M. 18 Variabili N	a sfavore	di base	<input type="checkbox"/>	QA			1.00	1.0	1.0	0.0	0.0	0.0	1.0
5	Tamponature	2 D.M. 18 Permanenti	a sfavore		<input type="checkbox"/>				1.00	1.0	1.0	0.0	0.0	0.0	1.0
6	Vento X	11 D.M. 18 Variabili	a sfavore	ambigua	<input type="checkbox"/>		0	Massimizzata	1.00						
7	Variazione termica	10 D.M. 18 Variabili	a sfavore	di base	<input type="checkbox"/>				1.00	1.0	1.0	0.0	0.0	0.0	1.0
8	Vento Y	11 D.M. 18 Variabili	a sfavore	ambigua	<input type="checkbox"/>		90	Massimizzata	1.00						

7.3 ANALISI MODALE

L'analisi a spettro di risposta cerca la risposta più probabile alle equazioni di equilibrio dinamico associate alla risposta della struttura al moto del suolo. L'accelerazione del suolo dovuta ad un terremoto in ogni direzione viene espressa come una curva di spettro di risposta della pseudo-accellerazione spettrale in funzione del periodo della struttura.

Anche se le accelerazioni possono essere specificate in 3 direzioni, viene prodotto un unico risultato positivo per ciascuna quantità in risposta; le quantità in risposta comprendono spostamenti, forze e tensioni. Ciascun risultato calcolato rappresenta una misura statistica della grandezza più probabile di quella particolare quantità in risposta. È da attendersi che la vera risposta sia compresa in un intervallo che va dal valore positivo a quello negativo del valore trovato.

L'analisi a spettro di risposta viene eseguita usando la sovrapposizione dei modi, ricavati usando l'analisi agli autovettori. Per una data direzione di accelerazione, la risposta modale è calcolata su tutta la struttura per ciascuno dei modi di vibrazione: questi valori modali, per una data quantità in risposta, vengono combinati per produrre un unico risultato positivo per quella data direzione di accelerazione, usando il metodo CQC.

Si riportano nella tabella e nelle immagini seguenti i risultati dell'analisi modale condotta sulla struttura.

Elenco modi di vibrare, masse partecipanti e coefficienti di partecipazione

Simbologia

Modo = Numero del modo di vibrare

C = * indica che il modo è stato considerato

T = Periodo

Diff. = Minima differenza percentuale dagli altri periodi

Φ_x = Coefficiente di partecipazione in dir. X

Φ_y = Coefficiente di partecipazione in dir. Y

Φ_z = Coefficiente di partecipazione in dir. Z

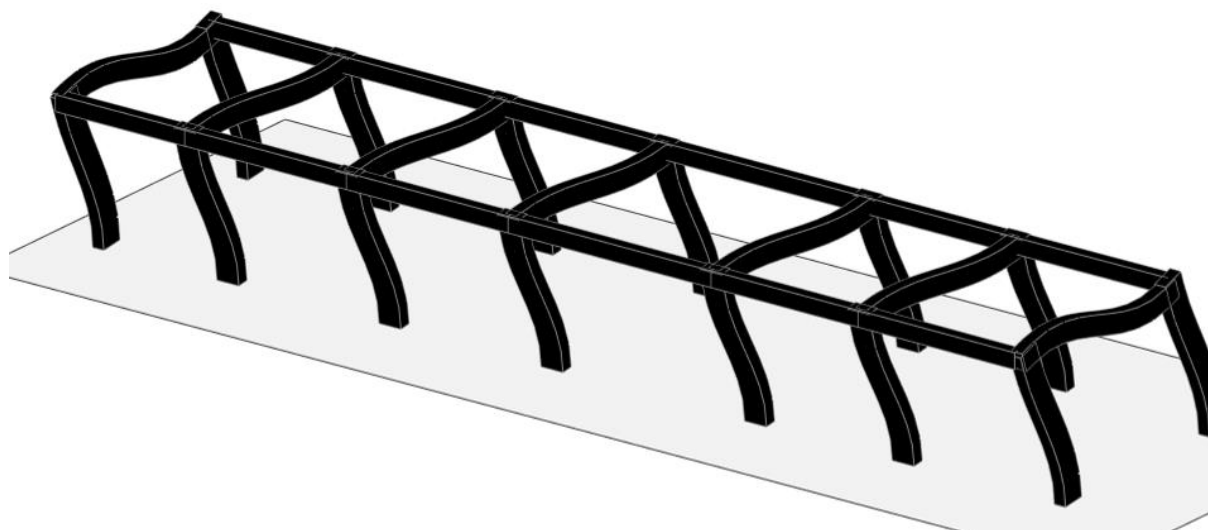
%Mx = Percentuale massa partecipante in dir. X

%My = Percentuale massa partecipante in dir. Y

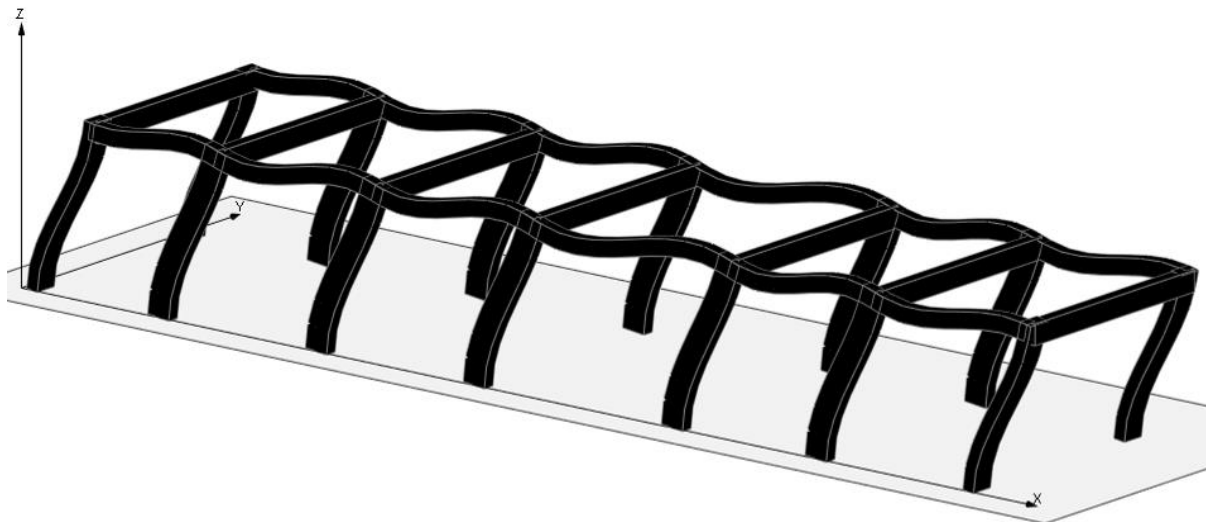
%Mz = Percentuale massa partecipante in dir. Z

%Jpz = Percentuale momento d'inerzia polare partecipante intorno all'asse Z

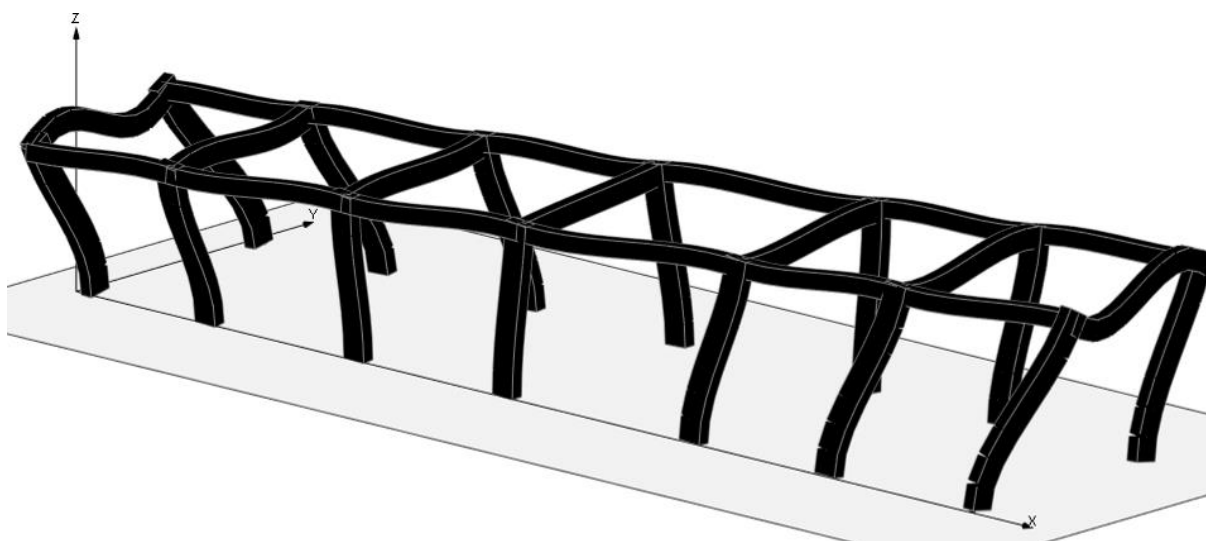
Modo	C	T	Diff.	Φ_x	Φ_y	Φ_z	%Mx	%My	%Mz	%Jpz
1*	0.20	25.73	-0.00	-122.31	0.00	0.00	99.97	0.00	0.03	
2*	0.16	8.54	122.33	-0.00	0.00	100.00	0.00	0.00	0.00	
3*	0.15	8.54	0.00	-2.17	0.00	0.00	0.03	0.00	99.97	
Tot.cons.							100.00	100.00	0.00	100.00



Modo 1



Modo 2



Modo 3

8 VERIFICHE STRUTTURALI

Di seguito si riportano le verifiche relative agli elementi strutturali principali della struttura.

8.1 SOLAIO DI COPERTURA

Il solaio si considera, a vantaggio di sicurezza, come una trave semplicemente appoggiata, con campata di luce pari a $L = 5.65$ m.

Con riferimento all'analisi dei carichi, di seguito si riportano le caratteristiche di sollecitazioni significative. La verifica viene condotta in riferimento al singolo travetto (interasse $i = 0.54$ m).

Si considera agente il peso proprio dell'intero solaio, il carico della neve, il carico del vento ed il sovraccarico variabile. Lo schema è quello di trave semplicemente appoggiata per il dimensionamento della sezione in campata e di trave doppiamente incastrata per le sezioni di appoggio.

Verifica di SLU a flessione

Geometria

Misure in centimetri

Tipo di solaio

Con blocchi in POLISTIROLO

Controllo limiti geometrici

Luce massima consigliata (snellezza 25) (m)
Larghezza dei blocchi calcolata (cm)
Larghezza max dei blocchi in laterizio (cm)
Larghezza min. nervature per blocchi in laterizio (cm)
Interasse max nervature per blocchi in laterizio (cm)

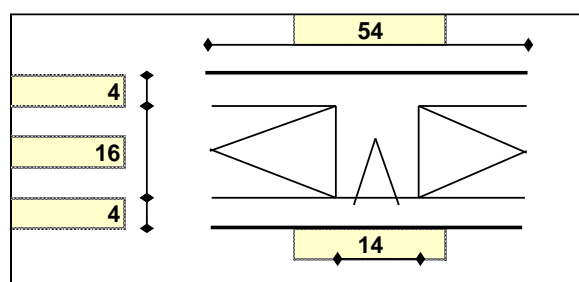
Luci e carichi

Luci (m)
Peso proprio solaio calcolato (daN/mq.)
Peso proprio solaio adottato (daN/mq.)
Sovr. perm. compiutamente definiti (daN/mq.)
Sovr. perm. non-compiutamente definiti (daN/mq.)
Sovr. variabili (daN/mq.)
Carichi totali (daN/m)

Momento d'incastro negativo alle due estremità

Categoria del carico variabile

Cat. H Coperture



L max	5,65
Largh.	40
Largh.	
b min	
i max	

L	5,65		
p.p. calc	328		
p.p.	328		
g1	0		
g2	260		
q	95		
tot	683		
x sx	36	36	x dx
Mg1 sx	-157	-157	Mg1 dx
Mg2 sx	-124	-124	Mg2 dx
Mq sx	-45	-45	Mq dx
Mtot sx	-327	-327	Mtot dx

ψ_0	0,0
ψ_1	0,0
ψ_2	0,0

Fabbricato IS-PPT - Tipologico M - Relazione di calcolo

COMMESSA	LOTTO	CODIFICA	DOCUMENTO	REV.	FOGLIO
RS3T	30 D 26	CL	FA00M0 001	C	45 di 104

1: COMBINAZIONE ULTIMA

Momenti Max -

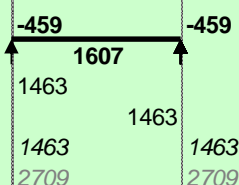
Momenti Max +

Tagli dx Max

Tagli sx Max

Reazioni Max

Reazioni Max per fascia di un metro



2: COMBINAZIONE RARA

Momenti Max -

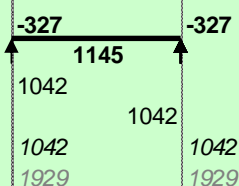
Momenti Max +

Tagli dx Max

Tagli sx Max

Reazioni Max

Reazioni Max per fascia di un metro



3: COMBINAZIONE QUASI PERMANENTE

Momenti Max -

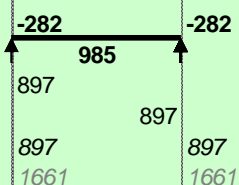
Momenti Max +

Tagli dx Max

Tagli sx Max

Reazioni Max

Reazioni Max per fascia di un metro



4: COMBINAZIONE FREQUENTE

Momenti Max -

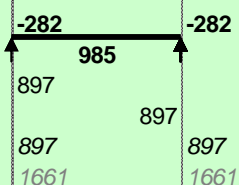
Momenti Max +

Tagli dx Max

Tagli sx Max

Reazioni Max

Reazioni Max per fascia di un metro



Materiali

Calcestruzzo

Classe C30/37

Acciaio

Tipo B450C

Dati geometrici

Diametro delle barre longitudinali superiori (mm)

φ 14 14

Diametro delle barre longitudinali inferiori (mm)

φ 14 14

Armatura appoggi

	ϕ	n.	n.	c
	-	-	-	2,0
sup.	$\phi 14$	1	1	2,0
inf.	$\phi 14$	1	1	2,0
	-	-	-	2,0

1: VERIFICHE IN COMBINAZIONE ULTIMA

mm	B	140	140
mm	H	240	240
mm	c	27	27
mm ²	As compr	154	154
mm ²	As tesa	154	154
MPa	fcd	17,40	17,40
MPa	fyd	391,3	391,3
N	Ned	0	0
Moment	Med	459	459
Moment	Mrd	1194	1194
fattore di sicurezza	f	2,60	2,60
Asse neutro (cm)	xc	3	3
Sforzo acciaio (daN/cm ²)	σ_s	3913	3913
Sforzo calcestruzzo (daN/cm ²)	σ_c	-172,4	-172,4
Deformazione acciaio	ϵ_s	1,000%	1,000%
Deformazione calcestruzzo	ϵ_c	-0,181%	-0,181%
Campo di rottura	n.	2	2
Ridistribuzione massima consentita	1- δ	0%	0%
Controllo	1- δ	si	si

2: VERIFICHE IN COMBINAZIONE RARA

	B	14	14
	d	21,30	21,30
	h'	2,7	2,7
	M	327	327
	As tesa	1,54	1,54
	As compr	1,54	1,54
	y	6,19	6,19
	Jci	6657	6657
	σ limite	3600	3600
	σ	1113	1113
fattore di sicurezza lato acciaio	f	3,23	3,23
	σ limite	184,3	184,3
	σ	30,4	30,4
fattore di sicurezza lato cls	f	6,06	6,06

3: VERIFICHE IN COMBINAZIONE QUASI PERMANENTE

	B	14	14
	d	21,30	21,30
	h'	2,7	2,7
	M	282	282
	As tesa	1,54	1,54
	As compr	1,54	1,54
	y	6,19	6,19
	Jci	6657	6657
	σ limite	138,2	138,2
	σ	26,2	26,2
fattore di sicurezza lato cls	f	5,28	5,28

Armatura campate

	ϕ	n .	c
	-	-	2,0
sup.	$\phi 14$	-	2,0
inf.	$\phi 14$	2	2,0
	-	-	2,0

1: VERIFICHE IN COMBINAZIONE ULTIMA

mm	B	540
mm	H	240
mm	c	27
mm ²	As compr	0
mm ²	As tesa	308
MPa	fcd	13,92
MPa	fyd	391,3
N	Ned	0
Momento sollecitante (daN*m)	Med	1607
Momento resistente (daN*m)	Mrd	2441
fattore di sicurezza	f	1,52
Asse neutro (cm)	xc	3
Sforzo acciaio (daN/cm ²)	σ_s	3913
Sforzo calcestruzzo (daN/cm ²)	σ_c	-131,3
Deformazione acciaio	ϵ_s	1,000%
Deformazione calcestruzzo	ϵ_c	-0,152%
Campo di rottura	n.	2

2: VERIFICHE IN COMBINAZIONE RARA

	B	54
	d	21,3
	h'	0,0
	M	1145
	As tesa	3,08
	As compr	0,00
	y	5,24
	Jci	14495
	σ limite	3600
	σ	1902
fattore di sicurezza lato acciaio	f	1,89
	σ limite	147,4
	σ	41,4
fattore di sicurezza lato cls	f	3,56

3: VERIFICHE IN COMBINAZIONE QUASI PERMANENTE

	B	54
	d	21,3
	h'	0,0
	M	985
	As tesa	3,08
	As compr	0,00
	y	5,24
	Jci	14495
	σ limite	110,6
	σ	35,6
fattore di sicurezza lato cls	f	3,10

4: VERIFICHE IN COMBINAZIONE FREQUENTE

σ	1638
σ	1638

Verifica di SLU a taglio

La verifica a taglio si effettua considerando la larghezza effettiva del travetto centrale $b_w=13\text{cm}$.

La verifica di resistenza (SLU) si pone con

$$V_{Rd} \geq V_{Ed} \quad (4.1.13)$$

dove V_{Ed} è il valore di calcolo dello sforzo di taglio agente.

Con riferimento all'elemento fessurato da momento flettente, la resistenza al taglio si valuta con

$$V_{Rd} = \left\{ 0,18 \cdot k \cdot (100 \cdot \rho_1 \cdot f_{tk})^{1/3} / \gamma_c + 0,15 \cdot \sigma_{cp} \right\} \cdot b_w \cdot d \geq (v_{min} + 0,15 \cdot \sigma_{cp}) \cdot b_w \cdot d \quad (4.1.14)$$

con

$$k = 1 + (200/d)^{1/2} \leq 2$$

$$v_{min} = 0,035 k^{3/2} f_{tk}^{1/2}$$

e dove

d è l'altezza utile della sezione (in mm);

$\rho_1 = A_{s1} / (b_w \cdot d)$ è il rapporto geometrico di armatura longitudinale ($\leq 0,02$);

$\sigma_{cp} = N_{Ed} / A_c$ è la tensione media di compressione nella sezione ($\leq 0,2 f_{cd}$);

b_w è la larghezza minima della sezione (in mm).

Verifiche a taglio

2: con fasce piene e barre longitudinali tese

fck	307		
b	140		
d (mm)	213		
k calc	1,97		
k	1,97		
v min	0,54		
ρ_1 calc	0,0052		
ρ_1	0,0052		
VRd1	1770		
VRd2	1598		
ρ_1 calc	0,0052		
ρ_1	0,0052		
VRd1	1770		
VRd2	1598		
ϕ	n.	n.	
sup.	$\phi 14$	1	1
inf.	$\phi 14$	1	1
Tagli resistenti sx (daN)	VRd	1770	
fascia piena (dall'asse dell'appoggio)	d1	-	
Tagli resistenti dx (daN)	VRd	1770	
fascia piena (dall'asse dell'appoggio)	d2	-	

Verifica delle tensioni in esercizio

Si calcolano le massime tensioni sia nel calcestruzzo sia nelle armature; si deve verificare che tali tensioni siano inferiori ai massimi valori consentiti di seguito riportati.

 ITALFERR GRUPPO FERROVIE DELLO STATO ITALIANE	DIRETTRICE FERROVIARIA MESSINA – CATANIA – PALERMO NUOVO COLLEGAMENTO PALERMO – CATANIA TRATTA LERCARA DIR – CALTANISSETTA XIRBI (LOTTO 3) FABBRICATI					
	Fabbricato IS-PPT - Tipologico M - Relazione di calcolo	COMMESSA RS3T	LOTTO 30 D 26	CODIFICA CL	DOCUMENTO FA00M0 001	REV. C

La massima tensione di compressione del calcestruzzo σ_c , deve rispettare la limitazione seguente:

$\sigma_c < 0,60 f_{ck} = 16,80 \text{ N/mm}^2$ per combinazione caratteristica (rara);

Verifiche di fessurazione			
CONDIZ. AMBIENTALI ORDINARIE			
Appoggi			
	diametro armature superiori	ϕ	14
	combinazione frequente	σ_s	959
	comb. frequente CONDIZ. AMBIENTALI ORDINARIE	f	2,86
	combinazione quasi permanente	σ_s	959
	comb. quasi perm. CONDIZ. AMBIENTALI ORDINARIE	f	2,29
Campate			
	diametro armature inferiori	ϕ	14
	combinazione frequente	σ_s	1638
	comb. frequente CONDIZ. AMBIENTALI ORDINARIE	f	2,80
	combinazione quasi permanente	σ_s	1638
	comb. quasi perm. CONDIZ. AMBIENTALI ORDINARIE	f	2,24

Verifica di deformabilità

Il calcolo della deformazione flessionale di solai e travi si effettua in genere mediante integrazione delle curvature tenendo conto della viscosità del calcestruzzo e, se del caso, degli effetti del ritiro.

Per il calcolo delle deformazioni flessionali si considera lo stato non fessurato (sezione interamente reagente) per tutte le parti della struttura per le quali, nelle condizioni di carico considerate, le tensioni di trazione nel calcestruzzo non superano la sua resistenza media f_{ctm} a trazione. Per le altre parti si fa riferimento allo stato fessurato, potendosi considerare l'effetto irrigidente del calcestruzzo teso fra le fessure.

Al riguardo detto p_f il valore assunto dal parametro di deformazione nella membratura interamente fessurata e p il valore assunto da detto parametro nella membratura interamente reagente, il valore di calcolo p^* del parametro è dato da

$$p^* = \zeta * p_f + (1 - \zeta) * p$$

in cui:

$$\zeta = 1 - c\beta^2.$$

Nell'equazione precedente il fattore β è il rapporto tra il momento di fessurazione M_f e il momento flettente effettivo, $\beta = M_f / M$, o il rapporto tra la forza normale di fessurazione N_f e la forza normale effettiva, $\beta = N_f / N$, a seconda che la membratura sia soggetta a flessione o a trazione, e il coefficiente c assume il valore 1, nel caso di applicazione di un singolo carico di breve durata, o il valore 0,50 nel caso di carichi permanenti o per cicli di carico ripetuti.

Per quanto riguarda la salvaguardia dell'aspetto e della funzionalità dell'opera, le frecce a lungo termine di travi e solai, calcolate sotto la condizione quasi permanente dei carichi, non dovrebbero superare il limite di 1/250 della luce.

Si procede al calcolo considerando in favore di sicurezza il travetto centrale della predalle tipo, la cui rappresentazione grafica è riportata qui di seguito:

Verifiche di deformabilità

PER L'ASPETTO E LA FUNZIONALITA'

Coefficiente di viscosità (11.2.10.7)

$\phi(\text{inf})$ 1,6

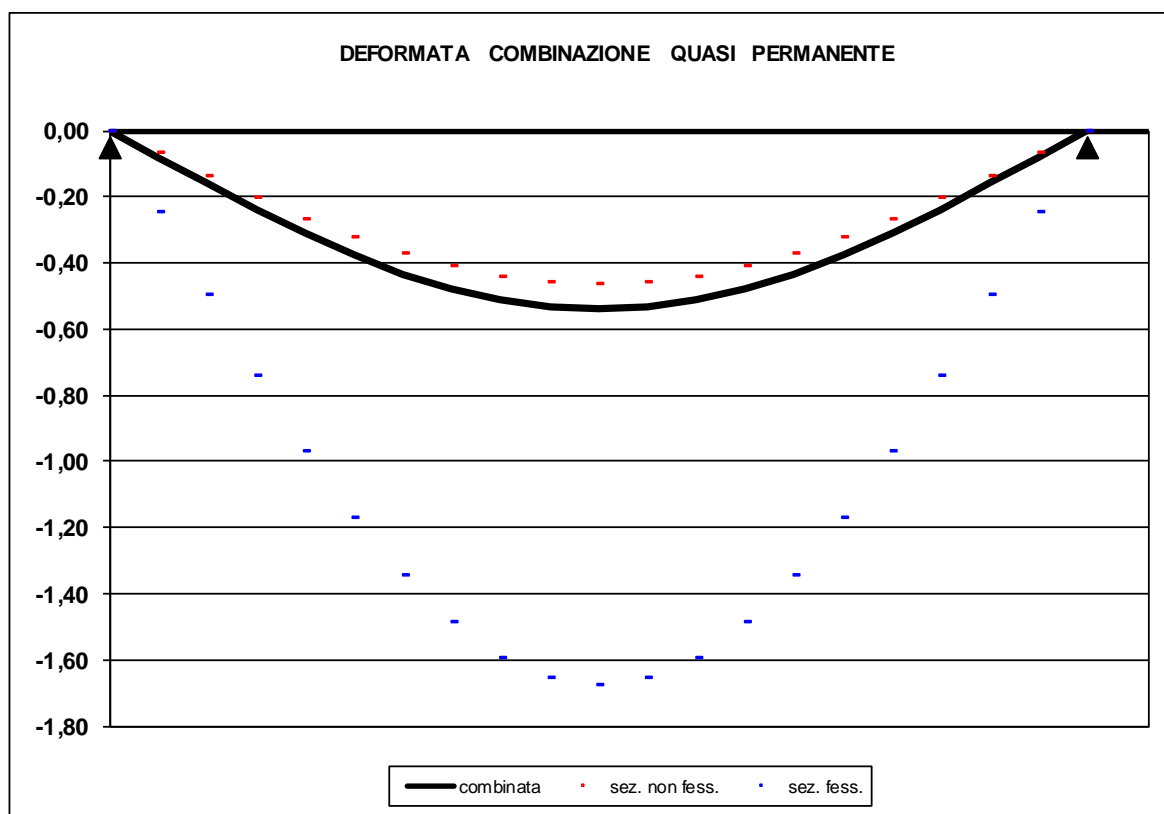
Freccia massima sez. non-fessurata (cm) f max 0,47

Freccia massima sez. fessurata (cm) f max 1,68

Freccia massima combinata (cm) f max 0,54

Freccia limite (cm) f lim 2,26

Fattore di sicurezza f **4,19**



 ITALFERR GRUPPO FERROVIE DELLO STATO ITALIANE	DIRETTRICE FERROVIARIA MESSINA – CATANIA – PALERMO NUOVO COLLEGAMENTO PALERMO – CATANIA TRATTA LERCARA DIR – CALTANISSETTA XIRBI (LOTTO 3) FABBRICATI					
	Fabbricato IS-PPT - Tipologico M - Relazione di calcolo	COMMESSA RS3T	LOTTO 30 D 26	CODIFICA CL	DOCUMENTO FA00M0 001	REV. C

8.2 VERIFICHE DEGLI ELEMENTI NON STRUTTURALI E DEGLI IMPIANTI

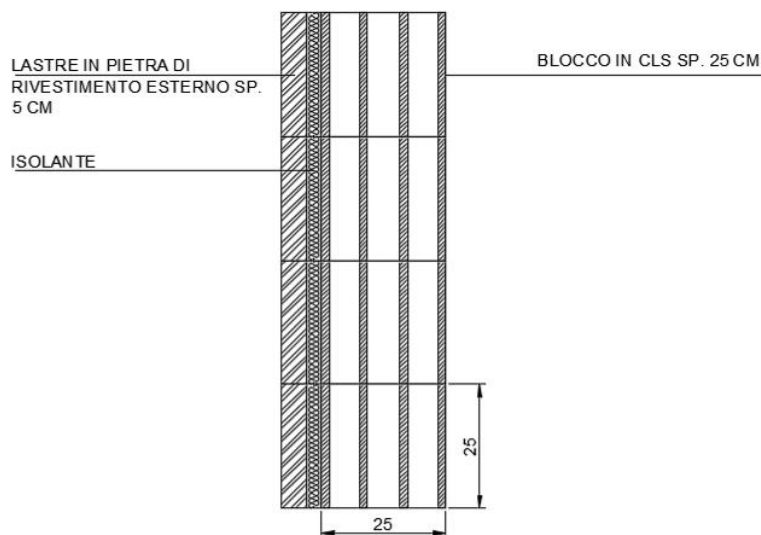
Al § 7.3.6 in Tab. 7.3.III le NTC 2018 specificano come per le costruzioni ricadenti in Classe d'Uso III sia necessario operare una verifica di stabilità per gli elementi NON Strutturali soggetti all'azione sismica valutata per lo SLV.

In particolare, secondo quanto riportato al § 7.3.6.2 della stessa norma, per gli elementi costruttivi senza funzione strutturale devono essere adottati magisteri atti ad evitare collassi fragili e prematuri e la possibile espulsione sotto l'azione della F_a (v. § 7.2.3) corrispondente allo SLV.

Considerando la stratigrafia della muratura esterna riportata in Figura 17.1, si assume che la funzione portante della parete sia svolta dal blocco in calcestruzzo prefabbricato interno, di spessore pari a 25 cm, il cui peso è pari a 350 Kg/m^2 , desunto da schede tecniche di alcuni prefabbricatori.

A questo si aggiunge il peso del rivestimento esterno in pietra di spessore 5 cm, dunque $P = 2000 \times 0.05 = 100 \text{ Kg/m}^2$, dell'intonaco interno, pari a 30 Kg/m^2 e dell'isolante, valutato in $p' = 20 \text{ Kg/m}^2$. Ai fini del calcolo il peso complessivo della tamponatura è pari a $W = 500 \text{ Kg/m}^2$.

Per garantire la resistenza dell'intero tamponamento alle azioni orizzontali, si prevede di inserire all'interno di questa muratura, ogni due corsi di forati, dei tralicci in acciaio inglobati nei letti di malta. Per solidarizzare la lastra di rivestimento esterna di spessore pari a 5 cm allo strato portante interno della parete, si prevede la disposizione di collegamenti puntuali diffusi.



La forza orizzontale F_a applicata sulla tamponatura può essere valutata con la seguente formula, riportata al § 7.2.3 della norma:

$$F_a = (S_a \cdot W_a) / q_a$$

in cui:

 ITALFERR GRUPPO FERROVIE DELLO STATO ITALIANE	DIRETTRICE FERROVIARIA MESSINA – CATANIA – PALERMO NUOVO COLLEGAMENTO PALERMO – CATANIA TRATTA LERCARA DIR – CALTANISSETTA XIRBI (LOTTO 3) FABBRICATI					
	Fabbricato IS-PPT - Tipologico M - Relazione di calcolo	COMMESSA RS3T	LOTTO 30 D 26	CODIFICA CL	DOCUMENTO FA00M0 001	REV. C

Fa = forza sismica orizzontale distribuita o agente nel centro di massa dell'elemento non strutturale, nella direzione più sfavorevole, risultante delle forze distribuite proporzionali alla massa;

Wa = peso dell'elemento;

Sa = accelerazione massima, adimensionalizzata rispetto a quella di gravità, che l'elemento strutturale subisce durante il sisma e corrisponde allo stato limite in esame (v. § 3.2.1 NTC 2018)

qa = fattore di comportamento dell'elemento non strutturale.

In assenza di specifiche determinazioni, per Sa e qa si può fare utile riferimento a quanto riportato nella Circolare n.7/2019; in particolare, per il fattore di struttura qa si può assumere un valore pari a 2, valido per tramezzature e facciate (vedi Tabella C7.2.I), mentre per la definizione dell'accelerazione massima Sa si può ricorrere alle formulazioni semplificate valide per costruzioni con struttura a telai di seguito riportate.

$$S_a = \begin{cases} \alpha \cdot S \cdot \left(1 + \frac{Z}{H}\right) \cdot \left[\frac{a_p}{1 + (a_p - 1) \cdot \left(1 - \frac{T_a}{a \cdot T_1}\right)^2} \right] \geq \alpha \cdot S & \text{per } T_a < a \cdot T_1 \\ \alpha \cdot S \cdot \left(1 + \frac{Z}{H}\right) \cdot a_p & \text{per } a \cdot T_1 < T_a < b \cdot T_1 \\ \alpha \cdot S \cdot \left(1 + \frac{Z}{H}\right) \cdot \left[\frac{a_p}{1 + (a_p - 1) \cdot \left(1 - \frac{T_a}{b \cdot T_1}\right)^2} \right] \geq \alpha \cdot S & \text{per } T_a \geq b \cdot T_1 \end{cases}$$

In cui:

α = rapporto tra accelerazione massima del terreno ag su sottosuolo di tipo A da considerare per lo stato limite in esame e l'accelerazione di gravità g;

S = coefficiente che tiene conto della categoria di sottosuolo e delle condizioni topografiche secondo quanto riportato nel § 3.2.3.2.1 delle NTC 2018;

Ta = periodo fondamentale di vibrazione dell'elemento non strutturale;

T1 = periodo fondamentale di vibrazione dell'edificio nella direzione considerata;

Z = quota del baricentro dell'elemento non strutturale misurata a partire dal piano di fondazione;

H = altezza della costruzione misurata a partire dal piano di fondazione.

a, b, ap = parametri definiti in accordo con il primo periodo di vibrazione della costruzione T1, vedi Tab. C7.2.II della circolare.

Di seguito si riportano i calcoli effettuati per la tamponatura esterna più estesa dell'edificio, che rappresenta il caso più gravoso, essendo la parete in esame caratterizzata da specchiatura e massa

maggiori. Si assume pertanto di poter estendere le considerazioni seguenti anche alle restanti tipologie di pareti presenti all'interno dell'edificio.

PROGETTO TAMPONATURA

DATI TAMPONATURA

H=	3,25	m	altezza tamponature
z=	1,625	m	quota baricentro
s=	25	cm	spessore blocco
L=	6,5	m	interasse tra due pilastri
W=	500	kg/m ²	peso specifico blocco muratura, intonaco interno e rivestimento esterno
W _{tamponatura} =	10562,5	kg	peso complessivo tamponatura (al netto delle aperture)
E=	20000	N/mm ²	modulo elastico muratura
J=Ls ³ /12=	8463541667	mm ⁴	momento d'inerzia muratura
K=3EJ/H ³ =	14792,899	N/mm	rigidezza
Ta=2π*√(m/k)=	0,1679	s	periodo d'oscillazione della tamponatura T = 2P (m/K) ^{0.5}

DATI SISMICI

α=ag/g=	0,112		accelerazione su suolo di tipo A
F ₀ =	2,645		
S _s =	1,50		suolo C
St=	1,00		categoria topografica T1
S=S _s *St=	1,50		
T1=	0,375	s	Periodo fondamentale struttura nella direzione considerata
q=	2		Fattore di comportamento per tamponature
a=	0,8		Parametro a da tab. C7.2.II - Circ. n. 7 del 21/01/2019
b=	1,4		Parametro a da tab. C7.2.II - Circ. n. 7 del 21/01/2019
ap=	5		Parametro a da tab. C7.2.II - Circ. n. 7 del 21/01/2019
aT1	0,3	s	
bT1	0,525	s	

PROGETTO (C7.2.II Circolare 7 NTC 2018)

Sa=	0,222	Accelerazione elemento non strutturale
Fh=W*Sa/q=	11,70 KN	Forza sismica compressiva agente sulla tamponatura
interasse armature	0,38 m	interasse armature orizzontali
FH i	4,45 KN	Forza sismica orizzontale agente sul traliccio i-esimo
MED = Fh x H / 8	3,61 KNxm	Momento flettente orizzontale
Interasse i=	6,5 m	Interasse tra i pilastri
Z	1,625 m	Altezza baricentro tamponatura dal piano di fondaz.
H	5,1 m	Altezza complessiva costruzione

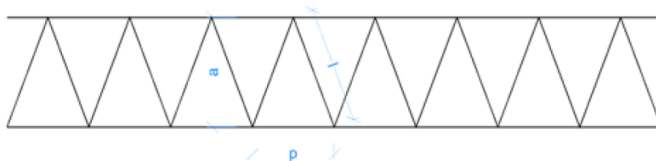
MOMENTO RESISTENTE TRALICCIO

fyk	450 N/mm ²	
g _s	1,15	
fyd	391,30 N/mm ²	
a orizz	250 mm	
∅ orizz	8 mm	
A _{res}	50,27 mm ²	
M _{RD}	4,92 KNxm	
F.S. M _{RD} /M _{ED}	1,361 >	1,00

CALCOLO INCIDENZA ARMATURA TRALICCI A METRO QUADRO DI PARETE

∅	8 mm	Diametro armatura traliccio
a	250 mm	Larghezza traliccio orizzontale
p	150 mm	Passo armatura diagonale traliccio
l	261 mm	Lunghezza diagonale traliccio
L _{TOT_1m}	5480 mm	Lunghezza diagonale barre di acciaio in un metro di traliccio
A _{s_TOT_1m}	275,46 mm ²	Area di acciaio componente un metro di singolo traliccio
W _{s_TOT_1m}	2,16 kg/m	Peso di acciaio componente un metro di singolo traliccio
W _{s_TOT}	5,69 kg/m ²	Peso di acciaio presente in un metro quadrato di parete (ipotizzando di disporre un traliccio ogni due corsi di muratura)

Schema traliccio inserito nei letti di malta delle tamponature



8.3 TRAVI DI BORDO 30X40

Si riportano di seguito le verifiche strutturali della trave di bordo avente sezione rettangolare di dimensioni 30x40 cm. Le verifiche saranno condotte per i differenti stati limite ed in corrispondenza delle sezioni maggiormente sollecitate dell'elemento per effetto della combinazioni di carico più gravose.

Di seguito si riportano le tabelle delle sollecitazioni più gravose ottenute allo SLU (statico e sismico) e agli SLE (Rara, Frequente e Quasi Permanente):

CC	TCC	X <m>	N <kN>	Ty <kN>	Mz <kNm>	Tz <kN>	My <kNm>	Mx <kNm>
25	SLU	0.15	-1485870	0.000	0.000	9449	-2338	-7915
25	SLU	1.50	-1485870	0.000	0.000	0.137	4130	-7915
25	SLU	3.30	-1485870	0.000	0.000	-12286	-6808	-7915
29	SLU	0.15	-1485870	0.000	0.000	9384	-2248	-8925
29	SLU	1.49	-1485870	0.000	0.000	0.128	4132	-8925
29	SLU	3.30	-1485870	0.000	0.000	-12351	-6922	-8925
30	SLU	0.15	-1485870	0.000	0.000	9410	-2284	-8521
30	SLU	1.49	-1485870	0.000	0.000	0.141	4130	-8521
30	SLU	3.30	-1485870	0.000	0.000	-12325	-6876	-8521
36	SLU	0.15	-1485870	0.000	0.000	13105	-7115	-7915
36	SLU	2.04	-1485870	0.000	0.000	0.037	5330	-7915
36	SLU	3.30	-1485870	0.000	0.000	-8630	-0.067	-7915
37	SLU	0.15	-1485870	0.000	0.000	11642	-5204	-7915
37	SLU	1.84	-1485870	0.000	0.000	-0.000	4618	-7915
37	SLU	3.30	-1485870	0.000	0.000	-10093	-2763	-7915
25	SLU	0.30	-1485870	0.000	0.000	13384	-8203	-1360
25	SLU	2.24	-1485870	0.000	0.000	0.006	4778	-1360
25	SLU	4.20	-1485870	0.000	0.000	-13526	-8479	-1360
29	SLU	0.30	-1485870	0.000	0.000	13369	-8177	-1401
29	SLU	2.24	-1485870	0.000	0.000	0.005	4774	-1401
29	SLU	4.20	-1485870	0.000	0.000	-13541	-8513	-1401
30	SLU	0.30	-1485870	0.000	0.000	13375	-8188	-1384
30	SLU	2.24	-1485870	0.000	0.000	0.005	4776	-1384
30	SLU	4.20	-1485870	0.000	0.000	-13535	-8499	-1384
36	SLU	0.30	-1485870	0.000	0.000	17100	-15482	-1360
36	SLU	2.77	-1485870	0.000	0.000	0.042	5708	-1360
36	SLU	4.20	-1485870	0.000	0.000	-9810	-1265	-1360
37	SLU	0.30	-1485870	0.000	0.000	15614	-12570	-1360
37	SLU	2.56	-1485870	0.000	0.000	-0.000	5096	-1360

Fabbricato IS-PPT - Tipologico M - Relazione di calcolo

COMMESSA	LOTTO	CODIFICA	DOCUMENTO	REV.	FOGLIO
RS3T	30 D 26	CL	FA00M0 001	C	56 di 104

37	SLU	4.20	-1485870	0.000	0.000	-11296	-4151	-1360
----	-----	------	----------	-------	-------	--------	-------	-------

CC	TCC	X <m>	N <kN>	Ty <kN>	Mz <kNm>	Tz <kN>	My <kNm>	Mx <kNm>
26	SLE R	0.15	-990582	0.000	0.000	6846	-1693	-5690
26	SLE R	1.50	-990582	0.000	0.000	0.100	2992	-5690
26	SLE R	3.30	-990582	0.000	0.000	-8904	-4936	-5690
31	SLE R	0.15	-990582	0.000	0.000	6802	-1633	-6363
31	SLE R	1.49	-990582	0.000	0.000	0.094	2994	-6363
31	SLE R	3.30	-990582	0.000	0.000	-8948	-5011	-6363
32	SLE R	0.15	-990582	0.000	0.000	6820	-1657	-6094
32	SLE R	1.49	-990582	0.000	0.000	0.102	2993	-6094
32	SLE R	3.30	-990582	0.000	0.000	-8930	-4981	-6094
38	SLE R	0.15	-990582	0.000	0.000	9283	-4877	-5690
38	SLE R	2.01	-990582	0.000	0.000	-0.000	3741	-5690
38	SLE R	3.30	-990582	0.000	0.000	-6467	-0.442	-5690
39	SLE R	0.15	-990582	0.000	0.000	8308	-3603	-5690
39	SLE R	1.81	-990582	0.000	0.000	-0.000	3299	-5690
39	SLE R	3.30	-990582	0.000	0.000	-7442	-2239	-5690
26	SLE R	0.30	-990582	0.000	0.000	9698	-5944	-0.972
26	SLE R	2.24	-990582	0.000	0.000	0.004	3462	-0.972
26	SLE R	4.20	-990582	0.000	0.000	-9802	-6145	-0.972
31	SLE R	0.30	-990582	0.000	0.000	9688	-5927	-0.999
31	SLE R	2.24	-990582	0.000	0.000	0.004	3460	-0.999
31	SLE R	4.20	-990582	0.000	0.000	-9812	-6168	-0.999
32	SLE R	0.30	-990582	0.000	0.000	9692	-5933	-0.988
32	SLE R	2.24	-990582	0.000	0.000	0.004	3461	-0.988
32	SLE R	4.20	-990582	0.000	0.000	-9808	-6158	-0.988
38	SLE R	0.30	-990582	0.000	0.000	12176	-10796	-0.972
38	SLE R	2.73	-990582	0.000	0.000	0.035	4029	-0.972
38	SLE R	4.20	-990582	0.000	0.000	-7324	-1335	-0.972
39	SLE R	0.30	-990582	0.000	0.000	11185	-8855	-0.972
39	SLE R	2.54	-990582	0.000	0.000	-0.000	3655	-0.972
39	SLE R	4.20	-990582	0.000	0.000	-8315	-3259	-0.972

CC	TCC	X <m>	N <kN>	Ty <kN>	Mz <kNm>	Tz <kN>	My <kNm>	Mx <kNm>
27	SLE F	0.15	-495291	0.000	0.000	6820	-1659	-5098
27	SLE F	1.49	-495291	0.000	0.000	0.102	2991	-5098

Fabbricato IS-PPT - Tipologico M - Relazione di calcolo

COMMESSA	LOTTO	CODIFICA	DOCUMENTO	REV.	FOGLIO
RS3T	30 D 26	CL	FA00M0 001	C	57 di 104

27	SLE F	3.30	-495291	0.000	0.000	-8930	-4983	-5098
33	SLE F	0.15	-495291	0.000	0.000	6811	-1647	-5232
33	SLE F	1.49	-495291	0.000	0.000	0.098	2991	-5232
33	SLE F	3.30	-495291	0.000	0.000	-8939	-4998	-5232
34	SLE F	0.15	-495291	0.000	0.000	6820	-1659	-5098
34	SLE F	1.49	-495291	0.000	0.000	0.102	2991	-5098
34	SLE F	3.30	-495291	0.000	0.000	-8930	-4983	-5098
40	SLE F	0.15	-495291	0.000	0.000	7307	-2296	-5098
40	SLE F	1.61	-495291	0.000	0.000	0.021	3044	-5098
40	SLE F	3.30	-495291	0.000	0.000	-8443	-4084	-5098
41	SLE F	0.15	-495291	0.000	0.000	6820	-1659	-5098
41	SLE F	1.49	-495291	0.000	0.000	0.102	2991	-5098
41	SLE F	3.30	-495291	0.000	0.000	-8930	-4983	-5098
27	SLE F	0.30	-495291	0.000	0.000	9699	-5948	-0.867
27	SLE F	2.24	-495291	0.000	0.000	0.004	3460	-0.867
27	SLE F	4.20	-495291	0.000	0.000	-9801	-6145	-0.867
33	SLE F	0.30	-495291	0.000	0.000	9697	-5945	-0.872
33	SLE F	2.24	-495291	0.000	0.000	0.004	3459	-0.872
33	SLE F	4.20	-495291	0.000	0.000	-9803	-6150	-0.872
34	SLE F	0.30	-495291	0.000	0.000	9699	-5948	-0.867
34	SLE F	2.24	-495291	0.000	0.000	0.004	3460	-0.867
34	SLE F	4.20	-495291	0.000	0.000	-9801	-6145	-0.867
40	SLE F	0.30	-495291	0.000	0.000	10195	-6919	-0.867
40	SLE F	2.34	-495291	0.000	0.000	-0.000	3475	-0.867
40	SLE F	4.20	-495291	0.000	0.000	-9305	-5183	-0.867
41	SLE F	0.30	-495291	0.000	0.000	9699	-5948	-0.867
41	SLE F	2.24	-495291	0.000	0.000	0.004	3460	-0.867
41	SLE F	4.20	-495291	0.000	0.000	-9801	-6145	-0.867

CC	TCC	X <m>	N <kN>	Ty <kN>	Mz <kNm>	Tz <kN>	My <kNm>	Mx <kNm>
28	SLE Q	0.15	0.000	0.000	0.000	6813	-1650	-4950
28	SLE Q	1.49	0.000	0.000	0.000	0.099	2991	-4950
28	SLE Q	3.30	0.000	0.000	0.000	-8937	-4995	-4950
35	SLE Q	0.15	0.000	0.000	0.000	6813	-1650	-4950
35	SLE Q	1.49	0.000	0.000	0.000	0.099	2991	-4950
35	SLE Q	3.30	0.000	0.000	0.000	-8937	-4995	-4950
42	SLE Q	0.15	0.000	0.000	0.000	6813	-1650	-4950
42	SLE Q	1.49	0.000	0.000	0.000	0.099	2991	-4950

42	SLE Q	3.30	0.000	0.000	0.000	-8937	-4995	-4950
28	SLE Q	0.30	0.000	0.000	0.000	9700	-5949	-0.841
28	SLE Q	2.24	0.000	0.000	0.000	0.004	3459	-0.841
28	SLE Q	4.20	0.000	0.000	0.000	-9800	-6145	-0.841
35	SLE Q	0.30	0.000	0.000	0.000	9700	-5949	-0.841
35	SLE Q	2.24	0.000	0.000	0.000	0.004	3459	-0.841
35	SLE Q	4.20	0.000	0.000	0.000	-9800	-6145	-0.841
42	SLE Q	0.30	0.000	0.000	0.000	9700	-5949	-0.841
42	SLE Q	2.24	0.000	0.000	0.000	0.004	3459	-0.841
42	SLE Q	4.20	0.000	0.000	0.000	-9800	-6145	-0.841

8.3.1 Verifica a flessione

Si riportano di seguito le verifiche a flessione, in corrispondenza della sezione d'appoggio e della sezione di campata (convenzione sui segni: compressione negativa (-), momento flettente che tende le fibre superiori negativo (-)).

In funzione delle sollecitazioni si è dimensionata opportunamente l'armatura longitudinale delle travi:

1) Zone d'appoggio:

- Armatura superiore 3 Φ 16
- Armatura inferiore 3 Φ 16

2) Campata:

- Armatura superiore 3 Φ 16
- Armatura inferiore 3 Φ 16

In aggiunta, fuori calcolo, andranno disposti 2 Φ 12 come ferri di parete.

Le verifiche di resistenza a flessione allo SLU ed agli SLE (NTC2018 – 4.1.2.1.2.4) per le sezioni di appoggio e di campata sono state condotte con il supporto del MODEST considerando le sollecitazioni riportate nel prospetto precedente.

Essendo la sezione armata in maniera simmetrica in campata ed in appoggio si esegue la verifica di una sola sezione in cui le sollecitazioni calcolate in appoggio sono invertite di segno.

Travata n. 101

Nodi: 101 102 103 104 105 106 107 108 109

Simbologia

Fabbricato IS-PPT - Tipologico M - Relazione di calcolo

COMMESSA	LOTTO	CODIFICA	DOCUMENTO	REV.	FOGLIO
RS3T	30 D 26	CL	FA00M0 001	C	59 di 104

Caso = Caso di verifica

Xg = Coordinata progressiva (dal primo nodo) in cui viene effettuato il progetto/verifica

CC = Combinazione delle condizioni di carico elementari
c = momento fittizio in campata
a = momento fittizio agli appoggi
TG = taglio da gerarchia delle resistenze
TGND = taglio non dissipativo limitante la gerarchia
T = momento traslato per taglio
e = eccentricità aggiuntiva in caso di compressione o pressoflessione

TCC = Tipo di combinazione di carico
SLU = Stato limite ultimo
SLU S = Stato limite ultimo (azione sismica)
SLE R = Stato limite d'esercizio, combinazione rara
SLE F = Stato limite d'esercizio, combinazione frequente
SLE Q = Stato limite d'esercizio, combinazione quasi permanente
SLD = Stato limite di danno
SLV = Stato limite di salvaguardia della vita
SLC = Stato limite di prevenzione del collasso
SLO = Stato limite di operatività
SLU I = Stato limite di resistenza al fuoco
SND = Stato limite di salvaguardia della vita (non dissipativo)

El = Elemento (asta) in cui viene effettuato il progetto/verifica (progressivo sul numero di aste)

Sez. = Numero della sezione

Crit. = Numero del criterio di progetto

X = Coordinata progressiva rispetto al nodo iniziale

AfE S = Area di ferro effettiva totale presente nel punto di verifica, superiore
AfE I = Area di ferro effettiva totale presente nel punto di verifica, inferiore
AfEP S = Area di ferro effettiva parziale presente nella CC considerata, per la sollecitazione indicata, superiore
AfEP I = Area di ferro effettiva parziale presente nella CC considerata, per la sollecitazione indicata, inferiore

My = Momento flettente intorno all'asse Y

MRdy = Momento resistente allo stato limite ultimo intorno all'asse Y

Sic. = Sicurezza a rottura

σ_{fdd} = Tensione di distacco della fibra di estremità (modo 1)

$\Delta\%$ = Incremento percentuale sicurezza

$\sigma_{\text{f sup}}$ = Tensione nel ferro - superiore
 $\sigma_{\text{f inf}}$ = Tensione nel ferro - inferiore
 σ_{c} = Tensione nel calcestruzzo

X0 = Coordinata progressiva (dal nodo iniziale) dell'inizio del tratto
X1 = Coordinata progressiva (dal nodo iniziale) della fine del tratto

Lung. = Lunghezza del tratto di progettazione

Staff. = Staffatura adottata

AfE St. = Area di ferro effettiva della staffatura (d'anima per travi a T o L)

bw = Larghezza membratura resistente al taglio

Vsdu = Taglio agente nella direzione del momento ultimo
ctg θ = Cotangente dell'angolo di inclinazione dei puntoni di calcestruzzo

VRsd = Taglio ultimo lato armatura
VRcd = Taglio ultimo lato calcestruzzo
Vrdu = Taglio ultimo assorbibile dal solo calcestruzzo

Sic.T = Sicurezza a rottura per taglio
c = Ricoprimento dell'armatura
s = Distanza minima tra le barre
K3 = Coefficiente di forma del diagramma delle tensioni prima della fessurazione
s_{em} = Distanza media tra le fessure
 Φ = Diametro della barra
As = Area complessiva dei ferri nell'area di calcestruzzo efficace
As_{eff} = Area di calcestruzzo efficace

Fabbricato IS-PPT - Tipologico M - Relazione di calcolo

COMMESSA	LOTTO	CODIFICA	DOCUMENTO	REV.	FOGLIO
RS3T	30 D 26	CL	FA00M0 001	C	60 di 104

σ_a = Tensione nell'acciaio nella sezione fessurata
 σ_{ar} = Tensione nell'acciaio corrispondente al raggiungimento della resistenza a trazione nel calcestruzzo
 ϵ_{sm} = Deformazione unitaria media dell'armatura (*1000)
 W_k = Apertura delle fessure
Tipo = Tipologia
2C = Doppia C lato labbri
2Cdx = Doppia C lato costola
2I = Doppia I
2L = Doppia L lato labbri
2Ldx = Doppia L lato costole
C = Sezione a C
Cdx = C destra
Cir. = Circolare
Cir.c = Circolare cava
I = Sezione a I
L = Sezione a L
Ldx = L destra
Om. = Omega
Pg = Pi greco
Pr = Poligono regolare
Prc = Poligono regolare cavo
Pc = Per coordinate
Ia = Inerzie assegnate
R = Rettangolare
Rc = Rettangolare cava
T = Sezione a T
U = Sezione a U
Ur = U rovescia
V = Sezione a V
Vr = V rovescia
Z = Sezione a Z
Zdx = Z destra
Ts = T stondata
Ls = L stondata
Cs = C stondata
Is = I stondata
Dis. = Disegnata
B = Base
H = Altezza
Cf sup = Copriferro superiore
Cf inf = Copriferro inferiore
Cls = Tipo di calcestruzzo
Fck = Resistenza caratteristica cilindrica a compressione del calcestruzzo
Fctk = Resistenza caratteristica a trazione del calcestruzzo
Fcd = Resistenza di calcolo a compressione del calcestruzzo
Fctd = Resistenza di calcolo a trazione del calcestruzzo
Tp = Tipo di acciaio
Fyk = Tensione caratteristica di snervamento dell'acciaio
Fyd = Resistenza di calcolo dell'acciaio

Caratteristiche delle sezioni e dei materiali utilizzati

Sez.	Tipo	B <cm>	H <cm>	Cf sup <cm>	Cf inf <cm>	Cls	Fck <daN/cmq>	Fctk <daN/cmq>	Fcd <daN/cmq>	Fctd <daN/cmq>	Tp	Fyk <daN/cmq>	Fyd <daN/cmq>
2	R	30.00	40.00	5.50	5.50	C30/37	307.10	20.59	174.02	13.73	B450C	4500.00	3913.04

Stato limite ultimo - Verifiche a flessione/pressoflessione

Fabbricato IS-PPT - Tipologico M - Relazione di calcolo

COMMESSA	LOTTO	CODIFICA	DOCUMENTO	REV.	FOGLIO
RS3T	30 D 26	CL	FA00M0 001	C	61 di 104

Xg <m>	CC	TCC	El	X <cm>	AfE S <cmq>	AfE I <cmq>	AfEP S <cmq>	AfEP I <cmq>	My <daNm>	MRdy <daNm>	Sic.
0.15	13	SLV	1	15.00	6.03	6.03	6.03	6.03	-3499.06	-7591.97	2.170
3.75	1	SLV	1	375.00	6.03	6.03	6.03	6.03	-4295.82	-7591.97	1.767
4.05	1	SLV	1	405.00	6.03	6.03	6.03	6.03	-4295.82	-7591.97	1.767
4.65	13	SLV	2	30.00	6.03	6.03	6.03	6.03	-4949.24	-7591.97	1.534
8.25	1	SLV	2	390.00	6.03	6.03	6.03	6.03	-4793.33	-7591.97	1.584
8.85	13	SLV	3	30.00	6.03	6.03	6.03	6.03	-4738.32	-7591.97	1.602
12.12	1	SLV	3	357.27	6.03	6.03	6.03	6.03	-4745.29	-7591.97	1.600
12.45	1	SLV	3	390.00	6.03	6.03	6.03	6.03	-4745.29	-7591.97	1.600
13.05	13	SLV	4	30.00	6.03	6.03	6.03	6.03	-4750.29	-7591.97	1.598
16.65	1	SLV	4	390.00	6.03	6.03	6.03	6.03	-4727.67	-7591.97	1.606
17.25	13	SLV	5	30.00	6.03	6.03	6.03	6.03	-4835.76	-7591.97	1.570
20.55	1	SLV	5	360.00	6.03	6.03	6.03	6.03	-4957.40	-7591.97	1.531
20.85	1	SLV	5	390.00	6.03	6.03	6.03	6.03	-4957.40	-7591.97	1.531
21.45	13	SLV	6	30.00	6.03	6.03	6.03	6.03	-3934.80	-7591.97	1.929
25.20	1	SLV	6	405.00	6.03	6.03	6.03	6.03	-3077.02	-7591.97	2.467
25.50	13	SLV	7	15.00	6.03	6.03	6.03	6.03	-2096.87	-7591.97	3.621
28.75	1	SLV	7	340.00	12.06	12.06	12.06	12.06	-1857.84	-14455.40	7.781
29.40	1	SLV	7	405.00	6.03	6.03	6.03	6.03	-2312.90	-7591.97	3.282
29.70	13	SLV	8	15.00	6.03	6.03	6.03	6.03	-2939.63	-7591.97	2.583
33.44	1	SLV	8	388.85	6.03	6.03	6.03	6.03	-3046.04	-7591.97	2.492
33.75	1	SLV	8	420.00	6.03	6.03	6.03	6.03	-3046.04	-7591.97	2.492

Stato limite d'esercizio - Verifiche tensionali

Xg <m>	CC	TCC	El	X <cm>	AfE S <cmq>	AfE I <cmq>	My <daNm>	σ_f sup <daN/cmq>	σ_f inf <daN/cmq>	σ_c <daN/cmq>
0.15	38	SLE R	1	15.00	6.03	6.03	-706.34	383.49	-82.44	11.39
0.15	28	SLE Q	1	15.00	6.03	6.03	-312.42	169.62	-36.46	5.04
3.75	31	SLE R	1	375.00	6.03	6.03	-753.58	409.14	-87.95	12.15
3.75	28	SLE Q	1	375.00	6.03	6.03	-697.99	378.96	-81.47	11.25
4.05	31	SLE R	1	405.00	6.03	6.03	-753.58	409.14	-87.95	12.15
4.05	28	SLE Q	1	405.00	6.03	6.03	-697.99	378.96	-81.47	11.25
4.65	38	SLE R	2	30.00	6.03	6.03	-1221.38	663.12	-142.56	19.69
4.65	28	SLE Q	2	30.00	6.03	6.03	-567.84	308.30	-66.28	9.15
8.25	31	SLE R	2	390.00	6.03	6.03	-571.64	310.36	-66.72	9.22
8.25	28	SLE Q	2	390.00	6.03	6.03	-501.20	272.12	-58.50	8.08
8.85	38	SLE R	3	30.00	6.03	6.03	-1143.96	621.08	-133.52	18.44
8.85	28	SLE Q	3	30.00	6.03	6.03	-522.01	283.41	-60.93	8.42
12.12	31	SLE R	3	357.27	6.03	6.03	-587.84	319.15	-68.61	9.48
12.12	28	SLE Q	3	357.27	6.03	6.03	-519.12	281.85	-60.59	8.37
12.45	31	SLE R	3	390.00	6.03	6.03	-587.84	319.15	-68.61	9.48
12.45	28	SLE Q	3	390.00	6.03	6.03	-519.12	281.85	-60.59	8.37
13.05	38	SLE R	4	30.00	6.03	6.03	-1149.72	624.21	-134.19	18.54
13.05	28	SLE Q	4	30.00	6.03	6.03	-526.64	285.93	-61.47	8.49
16.65	31	SLE R	4	390.00	6.03	6.03	-585.05	317.64	-68.28	9.43
16.65	28	SLE Q	4	390.00	6.03	6.03	-516.53	280.44	-60.29	8.33

Fabbricato IS-PPT - Tipologico M - Relazione di calcolo

COMMESSA	LOTTO	CODIFICA	DOCUMENTO	REV.	FOGLIO
RS3T	30 D 26	CL	FA00M0 001	C	62 di 104

17.25	38	SLE R	5	30.00	6.03	6.03	-1165.50	632.78	-136.03	18.79
17.25	28	SLE Q	5	30.00	6.03	6.03	-522.74	283.81	-61.01	8.43
20.55	31	SLE R	5	360.00	6.03	6.03	-597.61	324.46	-69.75	9.63
20.55	28	SLE Q	5	360.00	6.03	6.03	-525.19	285.14	-61.30	8.47
20.85	31	SLE R	5	390.00	6.03	6.03	-597.61	324.46	-69.75	9.63
20.85	28	SLE Q	5	390.00	6.03	6.03	-525.19	285.14	-61.30	8.47
21.45	38	SLE R	6	30.00	6.03	6.03	-996.31	540.92	-116.28	16.06
21.45	28	SLE Q	6	30.00	6.03	6.03	-558.80	303.39	-65.22	9.01
25.20	31	SLE R	6	405.00	6.03	6.03	-621.47	337.42	-72.54	10.02
25.20	28	SLE Q	6	405.00	6.03	6.03	-583.05	316.55	-68.05	9.40
25.50	38	SLE R	7	15.00	6.03	6.03	-592.09	321.46	-69.11	9.55
25.50	28	SLE Q	7	15.00	6.03	6.03	-589.98	320.31	-68.86	9.51
28.75	31	SLE R	7	340.00	12.06	12.06	-468.52	130.50	-45.51	5.26
28.75	28	SLE Q	7	340.00	12.06	12.06	-447.42	124.62	-43.46	5.02
29.40	31	SLE R	7	405.00	6.03	6.03	-716.86	389.20	-83.67	11.56
29.40	28	SLE Q	7	405.00	6.03	6.03	-692.49	375.97	-80.82	11.16
29.70	38	SLE R	8	15.00	6.03	6.03	-917.45	498.11	-107.08	14.79
29.70	28	SLE Q	8	15.00	6.03	6.03	-758.73	411.94	-88.56	12.23
33.44	38	SLE R	8	388.85	6.03	6.03	418.01	-48.79	226.95	6.74
33.44	28	SLE Q	8	388.85	6.03	6.03	-339.32	184.22	-39.60	5.47
33.75	31	SLE R	8	420.00	6.03	6.03	-384.40	208.70	-44.87	6.20
33.75	28	SLE Q	8	420.00	6.03	6.03	-339.32	184.22	-39.60	5.47

Stato limite d'esercizio - Verifiche a fessurazione

Caso	Xg <m>	CC	TCC	El	Sez.	Crit.	X <cm>	My <daNm>	c <mm>	s <mm>	K3	S _{rm} <mm>	Φ	A _s <cmq>	A _{c eff} <cmq>	σ _s <daN/cmq>	σ _{sr} <daN/cmq>	ε _{sm}	Wk <mm>
31	0.15	28	SLE Q	1	2	1	15.00	-312.42	47.00	95.00	0.15	188.24	16.00	6.03	486.13	169.62	1898.01	0.03	0.01
37	0.15	40	SLE F	1	2	1	15.00	-391.20	47.00	95.00	0.15	188.24	16.00	6.03	486.13	212.39	1898.01	0.04	0.01
71	3.75	28	SLE Q	1	2	1	375.00	-697.99	47.00	95.00	0.15	188.24	16.00	6.03	486.13	378.96	1898.01	0.07	0.02
75	3.75	33	SLE F	1	2	1	375.00	-709.11	47.00	95.00	0.15	188.24	16.00	6.03	486.13	384.99	1898.01	0.07	0.02
108	4.05	28	SLE Q	1	2	1	405.00	-697.99	47.00	95.00	0.15	188.24	16.00	6.03	486.13	378.96	1898.01	0.07	0.02
112	4.05	33	SLE F	1	2	1	405.00	-709.11	47.00	95.00	0.15	188.24	16.00	6.03	486.13	384.99	1898.01	0.07	0.02
143	4.65	28	SLE Q	2	2	1	30.00	-567.84	47.00	95.00	0.15	188.24	16.00	6.03	486.13	308.30	1898.01	0.06	0.02
149	4.65	40	SLE F	2	2	1	30.00	-698.55	47.00	95.00	0.15	188.24	16.00	6.03	486.13	379.26	1898.01	0.07	0.02
180	8.25	28	SLE Q	2	2	1	390.00	-501.20	47.00	95.00	0.15	188.24	16.00	6.03	486.13	272.12	1898.01	0.05	0.02
184	8.25	33	SLE F	2	2	1	390.00	-515.29	47.00	95.00	0.15	188.24	16.00	6.03	486.13	279.76	1898.01	0.05	0.02
215	8.85	28	SLE Q	3	2	1	30.00	-522.01	47.00	95.00	0.15	188.24	16.00	6.03	486.13	283.41	1898.01	0.06	0.02
221	8.85	40	SLE F	3	2	1	30.00	-646.40	47.00	95.00	0.15	188.24	16.00	6.03	486.13	350.95	1898.01	0.07	0.02
252	12.12	28	SLE Q	3	2	1	357.27	-519.12	47.00	95.00	0.15	188.24	16.00	6.03	486.13	281.85	1898.01	0.05	0.02
256	12.12	33	SLE F	3	2	1	357.27	-532.87	47.00	95.00	0.15	188.24	16.00	6.03	486.13	289.31	1898.01	0.06	0.02
290	12.45	28	SLE Q	3	2	1	390.00	-519.12	47.00	95.00	0.15	188.24	16.00	6.03	486.13	281.85	1898.01	0.05	0.02
294	12.45	33	SLE F	3	2	1	390.00	-532.87	47.00	95.00	0.15	188.24	16.00	6.03	486.13	289.31	1898.01	0.06	0.02
325	13.05	28	SLE Q	4	2	1	30.00	-526.64	47.00	95.00	0.15	188.24	16.00	6.03	486.13	285.93	1898.01	0.06	0.02
331	13.05	40	SLE F	4	2	1	30.00	-651.26	47.00	95.00	0.15	188.24	16.00	6.03	486.13	353.59	1898.01	0.07	0.02
362	16.65	28	SLE Q	4	2	1	390.00	-516.53	47.00	95.00	0.15	188.24	16.00	6.03	486.13	280.44	1898.01	0.05	0.02
366	16.65	33	SLE F	4	2	1	390.00	-530.24	47.00	95.00	0.15	188.24	16.00	6.03	486.13	287.88	1898.01	0.06	0.02
397	17.25	28	SLE Q	5	2	1	30.00	-522.74	47.00	95.00	0.15	188.24	16.00	6.03	486.13	283.81	1898.01	0.06	0.02
403	17.25	40	SLE F	5	2	1	30.00	-651.29	47.00	95.00	0.15	188.24	16.00	6.03	486.13	353.60	1898.01	0.07	0.02

Fabbricato IS-PPT - Tipologico M - Relazione di calcolo

COMMESSA	LOTTO	CODIFICA	DOCUMENTO	REV.	FOGLIO
RS3T	30 D 26	CL	FA00M0 001	C	63 di 104

434	20.55	28	SLE Q	5	2	1	360.00	-525.19	47.00	95.00	0.15	188.24	16.00	6.03	486.13	285.14	1898.01	0.06	0.02
438	20.55	33	SLE F	5	2	1	360.00	-539.67	47.00	95.00	0.15	188.24	16.00	6.03	486.13	293.00	1898.01	0.06	0.02
472	20.85	28	SLE Q	5	2	1	390.00	-525.19	47.00	95.00	0.15	188.24	16.00	6.03	486.13	285.14	1898.01	0.06	0.02
476	20.85	33	SLE F	5	2	1	390.00	-539.67	47.00	95.00	0.15	188.24	16.00	6.03	486.13	293.00	1898.01	0.06	0.02
507	21.45	28	SLE Q	6	2	1	30.00	-558.80	47.00	95.00	0.15	188.24	16.00	6.03	486.13	303.39	1898.01	0.06	0.02
513	21.45	40	SLE F	6	2	1	30.00	-646.30	47.00	95.00	0.15	188.24	16.00	6.03	486.13	350.90	1898.01	0.07	0.02
542	25.20	28	SLE Q	6	2	1	405.00	-583.05	47.00	95.00	0.15	188.24	16.00	6.03	486.13	316.55	1898.01	0.06	0.02
546	25.20	33	SLE F	6	2	1	405.00	-590.73	47.00	95.00	0.15	188.24	16.00	6.03	486.13	320.72	1898.01	0.06	0.02
577	25.50	28	SLE Q	7	2	1	15.00	-589.98	47.00	95.00	0.15	188.24	16.00	6.03	486.13	320.31	1898.01	0.06	0.02
583	25.50	40	SLE F	7	2	1	15.00	-590.40	47.00	95.00	0.15	188.24	16.00	6.03	486.13	320.54	1898.01	0.06	0.02
623	28.75	28	SLE Q	7	2	1	340.00	-447.42	47.00	38.00	0.15	139.65	16.00	12.06	491.69	124.62	1160.79	0.02	0.01
631	28.75	33	SLE F	7	2	1	340.00	-451.64	47.00	38.00	0.15	139.65	16.00	12.06	491.69	125.80	1160.79	0.02	0.01
666	29.40	28	SLE Q	7	2	1	405.00	-692.49	47.00	95.00	0.15	188.24	16.00	6.03	486.13	375.97	1898.01	0.07	0.02
670	29.40	33	SLE F	7	2	1	405.00	-697.36	47.00	95.00	0.15	188.24	16.00	6.03	486.13	378.62	1898.01	0.07	0.02
700	29.70	28	SLE Q	8	2	1	15.00	-758.73	47.00	95.00	0.15	188.24	16.00	6.03	486.13	411.94	1898.01	0.08	0.03
706	29.70	40	SLE F	8	2	1	15.00	-790.47	47.00	95.00	0.15	188.24	16.00	6.03	486.13	429.17	1898.01	0.08	0.03
745	33.44	28	SLE Q	8	2	1	388.85	-339.32	47.00	95.00	0.15	188.24	16.00	6.03	486.13	184.22	1898.01	0.04	0.01
753	33.44	33	SLE F	8	2	1	388.85	-348.33	47.00	95.00	0.15	188.24	16.00	6.03	486.13	189.12	1898.01	0.04	0.01
792	33.75	28	SLE Q	8	2	1	420.00	-339.32	47.00	95.00	0.15	188.24	16.00	6.03	486.13	184.22	1898.01	0.04	0.01
796	33.75	33	SLE F	8	2	1	420.00	-348.33	47.00	95.00	0.15	188.24	16.00	6.03	486.13	189.12	1898.01	0.04	0.01

Stato limite d'esercizio - Verifiche a fessurazione con combinazione rara

Le verifiche sono condotte in ottemperanza a quanto prescritto dal Manuale di Progettazione delle Opere Civili - RFIDTCSIPSMIAIFS001C al §2.5.1.8.3.2.4

VERIFICA A SLE FESSURAZIONE, TENSIONI DI ESERCIZIO - RARA

B	30 cm	Mmax	12,21 KNm
H	40 cm	Rck	37
c	5 cm	fck	30,71
d	35 cm	1,2xfctm	3,60 N/mm ²
nbarre	3	fsd	374 N/mm ²
dmedio	1,60 cm	fyk	430 N/mm ²
c'	4,20 cm		
deff1	16,2 cm		
deff2	14,68 cm		
deff	14,7 cm		

 ITALFERR GRUPPO FERROVIE DELLO STATO ITALIANE	DIRETTRICE FERROVIARIA MESSINA – CATANIA – PALERMO NUOVO COLLEGAMENTO PALERMO – CATANIA TRATTA LERCARA DIR – CALTANISSETTA XIRBI (LOTTO 3) FABBRICATI					
	Fabbricato IS-PPT - Tipologico M - Relazione di calcolo	COMMESSA RS3T	LOTTO 30 D 26	CODIFICA CL	DOCUMENTO FA00M0 001	REV. C

determinazione ϵ_{sm}			
β_1	1	c	4,2 cm
β_2	0,5	s	10,00 cm
E_s	206000 N/mm²	k2	0,4
		k3	0,125
$\epsilon_{sm} =$	-0,106%	ϕ	1,6 cm
		n	3
$s_{rm} =$	16,242736	A_s	6,031858 cm ²
		b	30 cm
		$A_{c,eff}$	440,53 cm ²
		ρ_r	0,013692
determinazione w_k			
$w_k =$ 0,294 mm $w_{lim} =$ 0,3 mm OK			

8.3.2 Verifica a taglio e torsione

Al fine di escludere la formazione di meccanismi inelastici dovuti al taglio, le sollecitazioni di taglio di calcolo V_{Ed} si ottengono sommando il contributo dovuto ai carichi gravitazionali agenti sulla trave, considerata incernierata agli estremi, alle sollecitazioni di taglio corrispondenti alla formazione di cerniere plastiche nella trave e prodotte dai momenti resistenti (ultimi) delle due sezioni di plasticizzazione (generalmente quelle di estremità) amplificati del fattore di sovra resistenza γ_{Rd} assunto pari a 1.0 per CDB.

Deve risultare (NTC2018 – 4.1.2.1.3.2):

$$V_{Rd} > V_d$$

dove:

V_d = Valore di calcolo del taglio agente;

$$V_{Rd} = \min (V_{Rsd}, V_{Rcd})$$

Con riferimento all'armatura trasversale, la resistenza di calcolo a "taglio trazione" si calcola con:

$$V_{Rsd} = 0.9 \cdot d \cdot \frac{A_{sw}}{s} \cdot f_{yd} \cdot (\text{ctg}\alpha + \text{ctg}\theta) \cdot \sin\alpha$$

Con riferimento al calcestruzzo d'anima, la resistenza di calcolo a "taglio compressione" si calcola con:

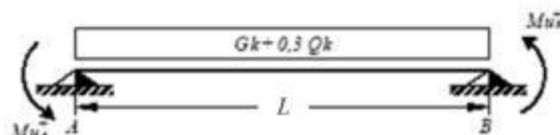
$$V_{Rcd} = 0.9 \cdot d \cdot b_w \cdot \alpha_c \cdot f'_{cd} \cdot (\text{ctg}\alpha + \text{ctg}\theta) / (1 + \text{ctg}^2\theta)$$

dove:

α : Angolo d'inclinazione dell'armatura trasversale rispetto all'asse dell'elemento;

θ : Angolo d'inclinazione dei puntoni in calcestruzzo rispetto all'asse dell'elemento.

• **1° Schema:**

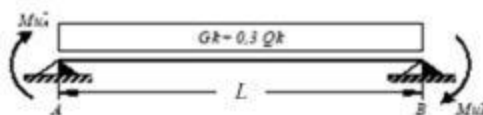


Il taglio è variabile linearmente lungo la trave ed è pari a:

$$V_A = \gamma_{Rd} \frac{Mu^+_A + Mu^+_B}{l_{trave}} + \frac{(G_k + 0,3Q_k) \cdot l_{trave}}{2}$$

$$V_B = \gamma_{Rd} \frac{Mu^+_A + Mu^+_B}{l_{trave}} - \frac{(G_k + 0,3Q_k) \cdot l_{trave}}{2}$$

• **2° Schema:**



Il taglio è variabile linearmente lungo la trave ed è pari a:

$$V_A = \gamma_{Rd} \frac{Mu^-_A + Mu^-_B}{l_{trave}} + \frac{(G_k + 0,3Q_k) \cdot l_{trave}}{2}$$

$$V_B = \gamma_{Rd} \frac{Mu^-_A + Mu^-_B}{l_{trave}} - \frac{(G_k + 0,3Q_k) \cdot l_{trave}}{2}$$

La verifica di resistenza nei confronti della torsione (SLU) (NTC2018 – 4.1.2.1.4) consiste nel controllare che:

$$T_{Rd} \geq T_{Ed}$$

dove T_{Ed} è il valore di calcolo del momento torcente.

Per elementi prismatici sottoposti a torsione semplice o combinata con altre sollecitazioni, che abbiano sezione piena o cava, lo schema resistente è costituito da un traliccio periferico in cui gli sforzi di

 ITALFERR GRUPPO FERROVIE DELLO STATO ITALIANE	DIRETTRICE FERROVIARIA MESSINA – CATANIA – PALERMO NUOVO COLLEGAMENTO PALERMO – CATANIA TRATTA LERCARA DIR – CALTANISSETTA XIRBI (LOTTO 3) FABBRICATI					
	Fabbricato IS-PPT - Tipologico M - Relazione di calcolo	COMMESSA RS3T	LOTTO 30 D 26	CODIFICA CL	DOCUMENTO FA00M0 001	REV. C

trazione sono affidati alle armature longitudinali e trasversali ivi contenute e gli sforzi di compressione sono affidati alle bielle di calcestruzzo.

Con riferimento al calcestruzzo la resistenza si calcola con:

$$T_{Rcd} = 2 \cdot A \cdot t \cdot f'_{cd} \cdot \text{ctg}\theta / (1 + \text{ctg}\theta)$$

dove t è lo spessore della sezione cava; per sezioni piene $t = A_c/u$ dove A_c è l'area della sezione ed u è il suo perimetro; t deve essere assunta comunque ≥ 2 volte la distanza fra il bordo e il centro dell'armatura longitudinale.

Le armature longitudinali e trasversali del traliccio resistente devono essere poste entro lo spessore t del profilo periferico. Le barre longitudinali possono essere distribuite lungo detto profilo, ma comunque una barra deve essere presente su tutti i suoi spigoli.

Con riferimento alle staffe trasversali la resistenza si calcola con:

$$T_{Rsd} = 2 \cdot A \cdot (A_s/s) \cdot f_{yd} \cdot \text{ctg}\theta$$

Con riferimento all'armatura longitudinale la resistenza si calcola con:

$$T_{Rsd} = 2 \cdot A \cdot (\Sigma A_l/u_m) \cdot f_{yd} / \text{ctg}\theta$$

dove si è posto:

A area racchiusa dalla fibra media del profilo periferico;

A_s area delle staffe;

u_m perimetro medio del nucleo resistente;

s passo delle staffe;

ΣA_l area complessiva delle barre longitudinali.

L'inclinazione θ delle bielle compresse di calcestruzzo rispetto all'asse della trave deve rispettare i limiti seguenti:

$$0,4 \leq \text{ctg}\theta \leq 2,5$$

Entro questi limiti, nel caso di torsione pura, può porsi $\text{ctg}\theta = (a_l/a_s)^{1/2}$

con: $a_l = \Sigma A_l / u_m$

$$a_s = A_s / s$$

La resistenza alla torsione della trave è la minore delle tre sopra definite.

Si riporta di seguito un prospetto riepilogativo con i valori delle sollecitazioni taglianti e torcenti ottenute seguendo la metodologia descritta e riportata negli schemi precedenti:

Poiché il valore del taglio determinato mediante la procedura sopra riportata non è maggiore del taglio di calcolo ottenuto a valle dell'analisi strutturale mediante il MODEST ($V_2=33.29$ kN) si procede alla verifica di resistenza considerando il seguente valore del taglio massimo:

$$V_{Ed-max} = 33.29 \text{ kN}$$

Staffe - Verifiche armatura

CC	X0 <m>	X1 <m>	Lung. <m>	Staff.	AfE St. <cmq/m>	bw <m>	Vsdu <daN>	ctgθ	VRsd <daN>	VRcd <daN>	Vrdu <daN>	Sic. T
13 SLV	0.15	0.55	0.40	ø8/ 5 2 br.	20.11	0.30	2615.75	1.52	37191.80	37191.80	37191.80	14.22
1 SLV	0.55	3.65	3.10	ø8/20 2 br.	5.03	0.30	2613.47	2.50	15268.10	27948.80	15268.10	5.84
1 SLV	3.65	4.05	0.40	ø8/ 5 2 br.	20.11	0.30	2813.47	1.52	37191.80	37191.80	37191.80	13.22
13 SLV	4.65	5.05	0.40	ø8/ 5 2 br.	20.11	0.30	3327.83	1.52	37191.80	37191.80	37191.80	11.18
13 SLV	5.05	7.85	2.80	ø8/20 2 br.	5.03	0.30	3127.82	2.50	15268.10	27948.80	15268.10	4.88
1 SLV	7.85	8.25	0.40	ø8/ 5 2 br.	20.11	0.30	3290.80	1.52	37191.80	37191.80	37191.80	11.30
13 SLV	8.85	9.25	0.40	ø8/ 5 2 br.	20.11	0.30	3245.94	1.52	37191.80	37191.80	37191.80	11.46
13 SLV	9.25	12.05	2.80	ø8/20 2 br.	5.03	0.30	3045.93	2.50	15268.10	27948.80	15268.10	5.01
1 SLV	12.05	12.45	0.40	ø8/ 5 2 br.	20.11	0.30	3244.33	1.52	37191.80	37191.80	37191.80	11.46
13 SLV	13.05	13.45	0.40	ø8/ 5 2 br.	20.11	0.30	3245.80	1.52	37191.80	37191.80	37191.80	11.46
13 SLV	13.45	16.25	2.80	ø8/20 2 br.	5.03	0.30	3045.80	2.50	15268.10	27948.80	15268.10	5.01
1 SLV	16.25	16.65	0.40	ø8/ 5 2 br.	20.11	0.30	3240.19	1.52	37191.80	37191.80	37191.80	11.48
13 SLV	17.25	17.65	0.40	ø8/ 5 2 br.	20.11	0.30	3328.55	1.52	37191.80	37191.80	37191.80	11.17
1 SLV	17.65	20.45	2.80	ø8/20 2 br.	5.03	0.30	3129.91	2.50	15268.10	27948.80	15268.10	4.88
1 SLV	20.45	20.85	0.40	ø8/ 5 2 br.	20.11	0.30	3329.91	1.52	37191.80	37191.80	37191.80	11.17
13 SLV	21.45	21.85	0.40	ø8/ 5 2 br.	20.11	0.30	2496.36	1.52	37191.80	37191.80	37191.80	14.90
1 SLV	21.85	24.80	2.95	ø8/20 2 br.	5.03	0.30	2309.29	2.50	15268.10	27948.80	15268.10	6.61
1 SLV	24.80	25.20	0.40	ø8/ 5 2 br.	20.11	0.30	2509.29	1.52	37191.80	37191.80	37191.80	14.82
13 SLV	25.50	25.90	0.40	ø8/ 5 2 br.	20.11	0.30	1750.59	1.52	37191.80	37191.80	37191.80	21.25
1 SLV	25.90	29.00	3.10	ø8/20 2 br.	5.03	0.30	1603.16	2.50	15268.10	27948.80	15268.10	9.52
1 SLV	29.00	29.40	0.40	ø8/ 5 2 br.	20.11	0.30	1803.16	1.52	37191.80	37191.80	37191.80	20.63
13 SLV	29.70	30.10	0.40	ø8/ 5 2 br.	20.11	0.30	2322.88	1.52	37191.80	37191.80	37191.80	16.01
13 SLV	30.10	33.35	3.25	ø8/20 2 br.	5.03	0.30	2122.88	2.50	15268.10	27948.80	15268.10	7.19
1 SLV	33.35	33.75	0.40	ø8/ 5 2 br.	20.11	0.30	2115.76	1.52	37191.80	37191.80	37191.80	17.58

Si adatteranno nelle zone d'appoggio, per un tratto pari ad 55 cm dal filo esterno del pilastro, staffe $\Phi 8/5$ cm, per il rispetto dei limiti normativi, mentre nelle zone centrali di campata staffe $\Phi 8 / 20$ cm.

8.3.3 Verifica limitazioni armatura

In ogni sezione della trave, il rapporto geometrico ρ relativo all'armatura tesa, indipendentemente dal fatto che l'armatura tesa sia quella al lembo superiore della sezione A_s o quella al lembo inferiore della sezione A_i , deve essere compreso entro i seguenti limiti:

$$\frac{1,4}{f_{yk}} < \rho < \rho_{comp} + \frac{3,5}{f_{yk}}$$

 ITALFERR GRUPPO FERROVIE DELLO STATO ITALIANE	DIRETTRICE FERROVIARIA MESSINA – CATANIA – PALERMO NUOVO COLLEGAMENTO PALERMO – CATANIA TRATTA LERCARA DIR – CALTANISSETTA XIRBI (LOTTO 3) FABBRICATI					
	Fabbricato IS-PPT - Tipologico M - Relazione di calcolo	COMMESSA	LOTTO	CODIFICA	DOCUMENTO	REV.
	RS3T	30 D 26	CL	FA00M0 001	C	68 di 104

dove:

$\rho = A_s / (bh)$ Rapporto geometrico relativo all'armatura tesa

$\rho_{comp} = A_s' / (bh)$ Rapporto geometrico relativo all'armatura compressa

Dati Geometrici

Trave:

Base	b=	30cm	ok
altezza	h=	40cm	ok
allargamento	dsx =	0cm	ok
allargamento	ddx =	0cm	ok
copriferro	c=	5cm	

Valori max	Limit. geometriche 7.4.6.1.1	
30cm	$b \geq 20cm$	$b \leq 2lp$
120cm	$b/h \geq 0,25$	
20cm	$dsx \leq h/2$	
20cm	$ddx \leq h/2$	

Dati di armatura

Tipo CLS	C30/37	(min C20/25)	D.M.(7.4.2.1)
Tipo Acciaio	B450C	(B450C)	D.M.(7.4.2.2)

$R_{ck} = 37$ N/mm²

fck=	30,71	fcd=	17,40	D.M.(4.1.2.1.1.1)	fctm=	2,94	D.M.(11.2.10.2)
fyk=	450	fyd=	391,30	D.M.(4.1.2.1.1.3)			

Diametro min. armatura long. $\geq \Phi 14$ D.M.(7.4.6.2.1)

Diametro staffe $\geq \Phi 6$ D.M.(7.4.6.2.1)

N° braccia staffe

Armatura longitudinale

In campata	n°ferri_tesi	<input type="text" value="3"/>	As=	<input type="text" value="4,02cm<sup>2</sup>"/>	As=	4,02cm ²
	n°ferri_comp.	<input type="text" value="3"/>	A's=	<input type="text" value="4,02cm<sup>2</sup>"/>	A's=	4,02cm ²
zona critica	n°ferri_tesi	<input type="text" value="3"/>	As=	<input type="text" value="4,02cm<sup>2</sup>"/>	As=	4,02cm ²
	n°ferri_comp.	<input type="text" value="3"/>	A's=	<input type="text" value="4,02cm<sup>2</sup>"/>	A's=	4,02cm ²

Limitazioni Armatura longitudinale 7.4.6.2.1

In campata:	ρ ; ρ_{comp}	Arm. min.	Arm. max.	limitazioni	
	0,00335	3,7cm ²	13,4cm ²	$.4/fyk < \rho < (\rho_{comp} + (3.5/fyk))$	OK
	0,00335	1,0cm ²		$\rho_{comp} \geq 0,25\rho$	OK
zona critica:	0,00335	3,7cm ²	13,4cm ²	$1.4/fyk < \rho < (\rho_{comp} + (3.5/fyk))$	OK
	0,00335	2,0cm ²		$\rho_{comp} \geq 0,5\rho$	OK

In ogni caso almeno il 50% dell'armatura necessaria per il taglio deve essere costituita da staffe.

Per gli elementi in esame l'armatura trasversale è costituita solo da staffe.

8.4 TRAVI 30X50

Si riportano di seguito le verifiche strutturali delle travi interne aventi sezione rettangolare di dimensioni 30x50 cm. Le verifiche saranno condotte per i differenti stati limite ed in corrispondenza delle sezioni maggiormente sollecitate dell'elemento per effetto della combinazioni di carico più gravose.

Di seguito si riportano le tabelle delle sollecitazioni più gravose ottenute allo SLU (statico e sismico) e agli SLE (Rara, Frequente e Quasi Permanente).

CC	TCC	X <m>	N <kN>	Ty <kN>	Mz <kNm>	Tz <kN>	My <kNm>	Mx <kNm>
25	SLU	0.15	-1857340	0.000	0.000	144912	-70082	0.000
25	SLU	2.85	-1857340	0.000	0.000	-0.000	125549	0.000
25	SLU	5.55	-1857340	0.000	0.000	-144912	-70082	0.000
29	SLU	0.15	-1857340	0.000	0.000	146819	-75231	-0.008
29	SLU	2.89	-1857340	0.000	0.000	-0.000	125583	-0.008
29	SLU	5.55	-1857340	0.000	0.000	-143005	-64932	-0.008
30	SLU	0.15	-1857340	0.000	0.000	146056	-73172	-0.005
30	SLU	2.87	-1857340	0.000	0.000	-0.000	125562	-0.005
30	SLU	5.55	-1857340	0.000	0.000	-143768	-66992	-0.005
36	SLU	0.15	-1857340	0.000	-0.000	144912	-70082	0.000
36	SLU	2.85	-1857340	0.000	0.000	-0.000	125549	0.000
36	SLU	5.55	-1857340	0.000	0.000	-144912	-70082	0.000
37	SLU	0.15	-1857340	0.000	-0.000	144912	-70082	0.000
37	SLU	2.85	-1857340	0.000	0.000	-0.000	125549	0.000
37	SLU	5.55	-1857340	0.000	0.000	-144912	-70082	0.000

CC	TCC	X <m>	N <kN>	Ty <kN>	Mz <kNm>	Tz <kN>	My <kNm>	Mx <kNm>
26	SLE R	0.15	-1238230	0.000	0.000	103987	-50287	0.000
26	SLE R	2.85	-1238230	0.000	0.000	-0.000	90096	0.000
26	SLE R	5.55	-1238230	0.000	0.000	-103987	-50287	0.000
31	SLE R	0.15	-1238230	0.000	0.000	105259	-53720	-0.005
31	SLE R	2.88	-1238230	0.000	0.000	-0.000	90117	-0.005
31	SLE R	5.55	-1238230	0.000	0.000	-102716	-46854	-0.005
32	SLE R	0.15	-1238230	0.000	0.000	104750	-52347	-0.003
32	SLE R	2.87	-1238230	0.000	0.000	-0.000	90103	-0.003
32	SLE R	5.55	-1238230	0.000	0.000	-103224	-48227	-0.003
38	SLE R	0.15	-1238230	0.000	-0.000	103987	-50287	0.000
38	SLE R	2.85	-1238230	0.000	0.000	-0.000	90096	0.000

Fabbricato IS-PPT - Tipologico M - Relazione di calcolo

COMMESSA	LOTTO	CODIFICA	DOCUMENTO	REV.	FOGLIO
RS3T	30 D 26	CL	FA00M0 001	C	70 di 104

38	SLE R	5.55	-1238230	0.000	0.000	-103987	-50287	0.000
39	SLE R	0.15	-1238230	0.000	-0.000	103987	-50287	0.000
39	SLE R	2.85	-1238230	0.000	0.000	-0.000	90096	0.000
39	SLE R	5.55	-1238230	0.000	0.000	-103987	-50287	0.000

CC	TCC	X <m>	N <kN>	Ty <kN>	Mz <kNm>	Tz <kN>	My <kNm>	Mx <kNm>
27	SLE F	0.15	-619114	0.000	0.000	93573	-45247	0.000
27	SLE F	2.85	-619114	0.000	0.000	-0.000	81077	0.000
27	SLE F	5.55	-619114	0.000	0.000	-93573	-45247	0.000
33	SLE F	0.15	-619114	0.000	0.000	93828	-45934	-0.001
33	SLE F	2.86	-619114	0.000	0.000	-0.000	81078	-0.001
33	SLE F	5.55	-619114	0.000	0.000	-93319	-44560	-0.001
34	SLE F	0.15	-619114	0.000	0.000	93573	-45247	0.000
34	SLE F	2.85	-619114	0.000	0.000	-0.000	81077	0.000
34	SLE F	5.55	-619114	0.000	0.000	-93573	-45247	0.000
40	SLE F	0.15	-619114	0.000	-0.000	93573	-45247	0.000
40	SLE F	2.85	-619114	0.000	0.000	-0.000	81077	0.000
40	SLE F	5.55	-619114	0.000	0.000	-93573	-45247	0.000
41	SLE F	0.15	-619114	0.000	0.000	93573	-45247	0.000
41	SLE F	2.85	-619114	0.000	0.000	-0.000	81077	0.000
41	SLE F	5.55	-619114	0.000	0.000	-93573	-45247	0.000

CC	TCC	X <m>	N <kN>	Ty <kN>	Mz <kNm>	Tz <kN>	My <kNm>	Mx <kNm>
28	SLE Q	0.15	0.000	0.000	0.000	90970	-43987	0.000
28	SLE Q	2.85	0.000	0.000	0.000	-0.000	78822	0.000
28	SLE Q	5.55	0.000	0.000	0.000	-90970	-43987	0.000
35	SLE Q	0.15	0.000	0.000	0.000	90970	-43987	0.000
35	SLE Q	2.85	0.000	0.000	0.000	-0.000	78822	0.000
35	SLE Q	5.55	0.000	0.000	0.000	-90970	-43987	0.000
42	SLE Q	0.15	0.000	0.000	0.000	90970	-43987	0.000
42	SLE Q	2.85	0.000	0.000	0.000	-0.000	78822	0.000
42	SLE Q	5.55	0.000	0.000	0.000	-90970	-43987	0.000

 ITALFERR GRUPPO FERROVIE DELLO STATO ITALIANE	DIRETTRICE FERROVIARIA MESSINA – CATANIA – PALERMO NUOVO COLLEGAMENTO PALERMO – CATANIA TRATTA LERCARA DIR – CALTANISSETTA XIRBI (LOTTO 3) FABBRICATI					
	Fabbricato IS-PPT - Tipologico M - Relazione di calcolo	COMMESSA	LOTTO	CODIFICA	DOCUMENTO	REV.
	RS3T	30 D 26	CL	FA00M0 001	C	71 di 104

8.4.1 Verifica a flessione

Si riportano di seguito le verifiche a flessione, in corrispondenza della sezione d'appoggio e della sezione di campata (convenzione sui segni: compressione negativa (-), momento flettente che tende le fibre superiori negativo (-)).

In funzione delle sollecitazioni si è dimensionata opportunamente l'armatura longitudinale delle travi:

1) Zone d'appoggio:

- Armatura superiore 5 Φ 16
- Armatura inferiore 3 Φ 16

2) Campata:

- Armatura superiore 3 Φ 16
- Armatura inferiore 5 Φ 16

In aggiunta, fuori calcolo, andranno disposti 2 Φ 12 come ferri di parete.

Le verifiche di resistenza a flessione allo SLU ed agli SLE (NTC2018 – 4.1.2.1.2.4) per le sezioni di appoggio e di campata sono state condotte con il supporto del MODEST considerando le sollecitazioni riportate nel prospetto precedente.

Essendo la sezione armata in maniera simmetrica in campata ed in appoggio si esegue la verifica di una sola sezione in cui le sollecitazioni calcolate in appoggio sono invertite di segno.

Travata n. 107

Nodi: 104 111

Simbologia

Caso = Caso di verifica
 Xg = Coordinata progressiva (dal primo nodo) in cui viene effettuato il progetto/verifica
 CC = Combinazione delle condizioni di carico elementari
 c = momento fittizio in campata
 a = momento fittizio agli appoggi
 TG = taglio da gerarchia delle resistenze
 TGND = taglio non dissipativo limitante la gerarchia
 T = momento traslato per taglio
 e = eccentricità aggiuntiva in caso di compressione o pressoflessione
 TCC = Tipo di combinazione di carico
 SLU = Stato limite ultimo
 SLU S = Stato limite ultimo (azione sismica)
 SLE R = Stato limite d'esercizio, combinazione rara
 SLE F = Stato limite d'esercizio, combinazione frequente

Fabbricato IS-PPT - Tipologico M - Relazione di calcolo

COMMESSA	LOTTO	CODIFICA	DOCUMENTO	REV.	FOGLIO
RS3T	30 D 26	CL	FA00M0 001	C	72 di 104

SLE Q = Stato limite d'esercizio, combinazione quasi permanente

SLD = Stato limite di danno

SLV = Stato limite di salvaguardia della vita

SLC = Stato limite di prevenzione del collasso

SLO = Stato limite di operatività

SLU I = Stato limite di resistenza al fuoco

SND = Stato limite di salvaguardia della vita (non dissipativo)

El = Elemento (asta) in cui viene effettuato il progetto/verifica (progressivo sul numero di aste)

Sez. = Numero della sezione

Crit. = Numero del criterio di progetto

X = Coordinata progressiva rispetto al nodo iniziale

AfE S = Area di ferro effettiva totale presente nel punto di verifica, superiore

AfE I = Area di ferro effettiva totale presente nel punto di verifica, inferiore

AfEP S = Area di ferro effettiva parziale presente nella CC considerata, per la sollecitazione indicata, superiore

AfEP I = Area di ferro effettiva parziale presente nella CC considerata, per la sollecitazione indicata, inferiore

My = Momento flettente intorno all'asse Y

M'ymdy = Momento resistente massimo in campo sostanzialmente elastico intorno all'asse Y

MRdy = Momento resistente allo stato limite ultimo intorno all'asse Y

Sic. = Sicurezza a rottura

σ_{add} = Tensione di distacco della fibra di estremità (modo I)

$\Delta\%$ = Incremento percentuale sicurezza

σ_s sup = Tensione nel ferro - superiore

σ_s inf = Tensione nel ferro - inferiore

σ_c = Tensione nel calcestruzzo

X0 = Coordinata progressiva (dal nodo iniziale) dell'inizio del tratto

X1 = Coordinata progressiva (dal nodo iniziale) della fine del tratto

Lung. = Lunghezza del tratto di progettazione

Staff. = Staffatura adottata

AfE St. = Area di ferro effettiva della staffatura (d'anima per travi a T o L)

bw = Larghezza membratura resistente al taglio

Vsdu = Taglio agente nella direzione del momento ultimo

ctg θ = Cotangente dell'angolo di inclinazione dei puntoni di calcestruzzo

VRsd = Taglio ultimo lato armatura

VRcd = Taglio ultimo lato calcestruzzo

Vrdu = Taglio ultimo assorbibile dal solo calcestruzzo

Sic.T = Sicurezza a rottura per taglio

c = Ricoprimento dell'armatura

s = Distanza minima tra le barre

K3 = Coefficiente di forma del diagramma delle tensioni prima della fessurazione

S_{fm} = Distanza media tra le fessure

Φ = Diametro della barra

A_s = Area complessiva dei ferri nell'area di calcestruzzo efficace

A_{c eff} = Area di calcestruzzo efficace

σ_s = Tensione nell'acciaio nella sezione fessurata

σ_{sr} = Tensione nell'acciaio corrispondente al raggiungimento della resistenza a trazione nel calcestruzzo

ϵ_{sm} = Deformazione unitaria media dell'armatura (*1000)

Wk = Apertura delle fessure

Tipo = Tipologia

2C = Doppia C lato labbri

2Cdx = Doppia C lato costola

2I = Doppia I

2L = Doppia L lato labbri

2Ldx = Doppia L lato costole

C = Sezione a C

Cdx = C destra

Cir. = Circolare

Fabbricato IS-PPT - Tipologico M - Relazione di calcolo

COMMESSA	LOTTO	CODIFICA	DOCUMENTO	REV.	FOGLIO
RS3T	30 D 26	CL	FA00M0 001	C	73 di 104

Cir.c = Circolare cava

I = Sezione a I

L = Sezione a L

Ldx = L destra

Om. = Omega

Eg = Pi greco

Pr = Poligono regolare

Prc = Poligono regolare cavo

Pc = Per coordinate

Ia = Inerzie assegnate

R = Rettangolare

Rc = Rettangolare cava

T = Sezione a T

U = Sezione a U

Ur = U rovescia

V = Sezione a V

Vr = V rovescia

Z = Sezione a Z

Zdx = Z destra

Ts = T stondata

Ls = L stondata

Cs = C stondata

Is = I stondata

Dis. = Disegnata

B = Base

H = Altezza

Cf sup = Copriferro superiore

Cf inf = Copriferro inferiore

Cls = Tipo di calcestruzzo

Fck = Resistenza caratteristica cilindrica a compressione del calcestruzzo

Fctk = Resistenza caratteristica a trazione del calcestruzzo

Fcd = Resistenza di calcolo a compressione del calcestruzzo

Fctd = Resistenza di calcolo a trazione del calcestruzzo

Tp = Tipo di acciaio

Fyk = Tensione caratteristica di snervamento dell'acciaio

Fyd = Resistenza di calcolo dell'acciaio

Caratteristiche delle sezioni e dei materiali utilizzati

Sez.	Tipo	B <cm>	H <cm>	Cf sup <cm>	Cf inf <cm>	Cls	Fck <daN/cmq>	Fctk <daN/cmq>	Fcd <daN/cmq>	Fctd <daN/cmq>	Tp	Fyk <daN/cmq>	Fyd <daN/cmq>
1	R	30.00	50.00	5.50	5.50	C30/37	307.10	20.59	174.02	13.73	B450C	4500.00	3913.04

Stato limite ultimo - Verifiche a flessione/pressoflessione

Xg <m>	CC	TCC	E1	X <cm>	AfE S <cmq>	AfE I <cmq>	AfEP S <cmq>	AfEP I <cmq>	My <daNm>	MRdy <daNm>	Sic.
0.15	29	SLU	1	15.00	6.03	10.05	6.03	10.05	-7523.15	-9951.92	1.323
2.42	29	SLU	1	241.82	6.03	10.05	6.03	10.05	13814.20	16106.10	1.166
5.55	25	SLU	1	555.00	6.03	10.05	6.03	10.05	-7008.15	-9951.92	1.420

Stato limite elastico - Verifiche a flessione/pressoflessione

Xg <m>	CC	TCC	E1	X <cm>	AfE S <cmq>	AfE I <cmq>	AfEP S <cmq>	AfEP I <cmq>	My <daNm>	M'ydy <daNm>	Sic.
0.15	7	SND	1	15.00	6.03	10.05	6.03	10.05	-8269.17	-9480.84	1.147
2.42	19	SND	1	241.82	6.03	10.05	6.03	10.05	9005.81	15423.00	1.713

Fabbricato IS-PPT - Tipologico M - Relazione di calcolo

COMMESSA	LOTTO	CODIFICA	DOCUMENTO	REV.	FOGLIO
RS3T	30 D 26	CL	FA00M0 001	C	74 di 104

5.55	19	SND	1	555.00	6.03	10.05	6.03	10.05	-8269.15	-9480.84	1.147
------	----	-----	---	--------	------	-------	------	-------	----------	----------	-------

Stato limite d'esercizio - Verifiche tensionali

Xg <m>	CC	TCC	El	X <cm>	Afe S <cmq>	Afe I <cmq>	My <daNm>	σ_e sup <daN/cmq>	σ_e inf <daN/cmq>	σ_c <daN/cmq>
0.15	31	SLE R	1	15.00	6.03	10.05	-5372.03	2220.57	-416.94	52.59
0.15	28	SLE Q	1	15.00	6.03	10.05	-4398.70	1818.23	-341.40	43.06
2.42	31	SLE R	1	241.82	6.03	10.05	9912.81	-842.55	2507.91	87.67
2.42	28	SLE Q	1	241.82	6.03	10.05	8670.44	-736.96	2193.60	76.68
5.55	26	SLE R	1	555.00	6.03	10.05	-5028.70	2078.65	-390.29	49.23
5.55	28	SLE Q	1	555.00	6.03	10.05	-4398.69	1818.23	-341.40	43.06

Stato limite d'esercizio - Verifiche a fessurazione

Caso	Xg <m>	CC	TCC	El	Sez.	Crit.	X <cm>	My <daNm>	c <mm>	s <mm>	K3	s_{zm} <mm>	Φ	A_s <cmq>	A_c eff <cmq>	σ_s <daN/cmq>	σ_{sr} <daN/cmq>	ϵ_{sm}	Wk <mm>
35	0.15	28	SLE Q	1	1	1	15.00	-4398.70	47.00	95.00	0.17	200.11	16.00	6.03	486.13	1818.24	2293.08	0.35	0.12
39	0.15	33	SLE F	1	1	1	15.00	-4593.37	47.00	95.00	0.17	200.11	16.00	6.03	486.13	1898.70	2293.08	0.37	0.13
69	2.42	28	SLE Q	1	1	1	241.82	8670.44	47.00	47.50	0.16	154.90	16.00	10.05	491.13	2193.60	1481.44	0.82	0.22
73	2.42	33	SLE F	1	1	1	241.82	8918.55	47.00	47.50	0.16	154.90	16.00	10.05	491.13	2256.37	1481.44	0.86	0.23
111	5.55	28	SLE Q	1	1	1	555.00	-4398.69	47.00	95.00	0.17	200.11	16.00	6.03	486.13	1818.23	2293.08	0.35	0.12
114	5.55	27	SLE F	1	1	1	555.00	-4524.69	47.00	95.00	0.17	200.11	16.00	6.03	486.13	1870.31	2293.08	0.36	0.12

Stato limite d'esercizio - Verifiche a fessurazione con combinazione rara

Le verifiche sono condotte in ottemperanza a quanto prescritto dal Manuale di Progettazione delle Opere Civili - RFIDTCSIPSMIAIFS001C al §2.5.1.8.3.2.4

VERIFICA A SLE FESSURAZIONE, TENSIONI DI ESERCIZIO - RARA

B	30 cm	Mmax	99,12 KNm
H	50 cm	Rck	37
c	5 cm	fck	30,71
d	45 cm	1,2xfctm	3,60 N/mm ²
nbarre	5	fsd	374 N/mm ²
dmedio	1,60 cm	fyk	430 N/mm ²
c'	4,20 cm		
deff1	16,2 cm		
deff2	17,32 cm		
deff	16,2 cm		

 ITALFERR GRUPPO FERROVIE DELLO STATO ITALIANE	DIRETTRICE FERROVIARIA MESSINA – CATANIA – PALERMO NUOVO COLLEGAMENTO PALERMO – CATANIA TRATTA LERCARA DIR – CALTANISSETTA XIRBI (LOTTO 3) FABBRICATI					
	Fabbricato IS-PPT - Tipologico M - Relazione di calcolo	COMMESSA	LOTTO	CODIFICA	DOCUMENTO	REV.
	RS3T	30 D 26	CL	FA00M0 001	C	75 di 104

determinazione ε_{sm}			
β_1	1	c	4,2 cm
β_2	0,5	s	5,00 cm
E_s	206000 N/mm ²	k2	0,4
		k3	0,125
$\varepsilon_{sm} =$	0,098%	ϕ	1,6 cm
		n	5
$s_{rm} =$	13,267465	A_s	10,0531 cm ²
		b	30 cm
		$A_{c,eff}$	486,00 cm ²
		ρ_r	0,020685
determinazione w_k			
$w_k =$ 0,220 mm $w_{lim} =$ 0,3 mm OK			

8.4.2 Verifica a taglio e torsione

Al fine di escludere la formazione di meccanismi inelastici dovuti al taglio, le sollecitazioni di taglio di calcolo V_{Ed} si ottengono sommando il contributo dovuto ai carichi gravitazionali agenti sulla trave, considerata incernierata agli estremi, alle sollecitazioni di taglio corrispondenti alla formazione di cerniere plastiche nella trave e prodotte dai momenti resistenti (ultimi) delle due sezioni di plasticizzazione (generalmente quelle di estremità) amplificati del fattore di sovra resistenza γ_{Rd} assunto pari a 1.0 per CDB.

Deve risultare (NTC2018 – 4.1.2.1.3.2):

$$V_{Rd} > V_d$$

dove:

V_d = Valore di calcolo del taglio agente;

$$V_{Rd} = \min (V_{Rsd}, V_{Rcd})$$

Con riferimento all'armatura trasversale, la resistenza di calcolo a "taglio trazione" si calcola con:

$$V_{Rsd} = 0.9 \cdot d \cdot \frac{A_{sw}}{s} \cdot f_{yd} \cdot (\text{ctg}\alpha + \text{ctg}\theta) \cdot \sin\alpha$$

Con riferimento al calcestruzzo d'anima, la resistenza di calcolo a "taglio compressione" si calcola con:

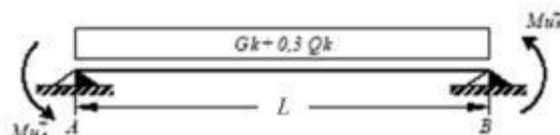
$$V_{Rcd} = 0.9 \cdot d \cdot b_w \cdot \alpha_c \cdot f'_{cd} \cdot (\text{ctg}\alpha + \text{ctg}\theta) / (1 + \text{ctg}^2\theta)$$

dove:

α : Angolo d'inclinazione dell'armatura trasversale rispetto all'asse dell'elemento;

θ : Angolo d'inclinazione dei puntoni in calcestruzzo rispetto all'asse dell'elemento.

• **1° Schema:**

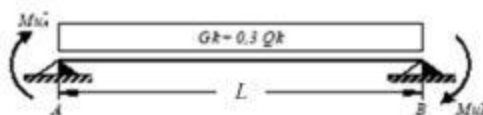


Il taglio è variabile linearmente lungo la trave ed è pari a:

$$V_A = \gamma_{Rd} \frac{Mu^+_A + Mu^+_B}{l_{trave}} + \frac{(G_k + 0,3Q_k) \cdot l_{trave}}{2}$$

$$V_B = \gamma_{Rd} \frac{Mu^+_A + Mu^+_B}{l_{trave}} - \frac{(G_k + 0,3Q_k) \cdot l_{trave}}{2}$$

• **2° Schema:**



Il taglio è variabile linearmente lungo la trave ed è pari a:

$$V_A = \gamma_{Rd} \frac{Mu^-_A + Mu^-_B}{l_{trave}} + \frac{(G_k + 0,3Q_k) \cdot l_{trave}}{2}$$

$$V_B = \gamma_{Rd} \frac{Mu^-_A + Mu^-_B}{l_{trave}} - \frac{(G_k + 0,3Q_k) \cdot l_{trave}}{2}$$

La verifica di resistenza nei confronti della torsione (SLU) (NTC2018 – 4.1.2.1.4) consiste nel controllare che:

$$T_{Rd} \geq T_{Ed}$$

dove T_{Ed} è il valore di calcolo del momento torcente.

Per elementi prismatici sottoposti a torsione semplice o combinata con altre sollecitazioni, che abbiano sezione piena o cava, lo schema resistente è costituito da un traliccio periferico in cui gli sforzi di

 ITALFERR GRUPPO FERROVIE DELLO STATO ITALIANE	DIRETTRICE FERROVIARIA MESSINA – CATANIA – PALERMO NUOVO COLLEGAMENTO PALERMO – CATANIA TRATTA LERCARA DIR – CALTANISSETTA XIRBI (LOTTO 3) FABBRICATI					
	Fabbricato IS-PPT - Tipologico M - Relazione di calcolo	COMMESSA RS3T	LOTTO 30 D 26	CODIFICA CL	DOCUMENTO FA00M0 001	REV. C

trazione sono affidati alle armature longitudinali e trasversali ivi contenute e gli sforzi di compressione sono affidati alle bielle di calcestruzzo.

Con riferimento al calcestruzzo la resistenza si calcola con:

$$T_{Rcd} = 2 \cdot A \cdot t \cdot f'_{cd} \cdot \text{ctg}\theta / (1 + \text{ctg}\theta)$$

dove t è lo spessore della sezione cava; per sezioni piene $t = A_c/u$ dove A_c è l'area della sezione ed u è il suo perimetro; t deve essere assunta comunque ≥ 2 volte la distanza fra il bordo e il centro dell'armatura longitudinale.

Le armature longitudinali e trasversali del traliccio resistente devono essere poste entro lo spessore t del profilo periferico. Le barre longitudinali possono essere distribuite lungo detto profilo, ma comunque una barra deve essere presente su tutti i suoi spigoli.

Con riferimento alle staffe trasversali la resistenza si calcola con:

$$T_{Rsd} = 2 \cdot A \cdot (A_s/s) \cdot f_{yd} \cdot \text{ctg}\theta$$

Con riferimento all'armatura longitudinale la resistenza si calcola con:

$$T_{Rsd} = 2 \cdot A \cdot (\Sigma A_l/u_m) \cdot f_{yd} / \text{ctg}\theta$$

dove si è posto:

A area racchiusa dalla fibra media del profilo periferico;

A_s area delle staffe;

u_m perimetro medio del nucleo resistente;

s passo delle staffe;

ΣA_l area complessiva delle barre longitudinali.

L'inclinazione θ delle bielle compresse di calcestruzzo rispetto all'asse della trave deve rispettare i limiti seguenti:

$$0,4 \leq \text{ctg}\theta \leq 2,5$$

Entro questi limiti, nel caso di torsione pura, può porsi $\text{ctg}\theta = (a_l/a_s)^{1/2}$

con: $a_l = \Sigma A_l / u_m$

$$a_s = A_s / s$$

La resistenza alla torsione della trave è la minore delle tre sopra definite.

Si riporta di seguito un prospetto riepilogativo con i valori delle sollecitazioni taglianti e torcenti ottenute seguendo la metodologia descritta e riportata negli schemi precedenti:

 ITALFERR GRUPPO FERROVIE DELLO STATO ITALIANE	DIRETTRICE FERROVIARIA MESSINA – CATANIA – PALERMO NUOVO COLLEGAMENTO PALERMO – CATANIA TRATTA LERCARA DIR – CALTANISSETTA XIRBI (LOTTO 3) FABBRICATI					
	Fabbricato IS-PPT - Tipologico M - Relazione di calcolo	COMMESSA	LOTTO	CODIFICA	DOCUMENTO	REV.
	RS3T	30 D 26	CL	FA00M0 001	C	78 di 104

Poiché il valore del taglio determinato mediante la procedura sopra riportata è maggiore del taglio di calcolo ottenuto a valle dell'analisi strutturale mediante il MODEST ($V_2=146.81$ kN) si procede alla verifica di resistenza considerando il seguente valore del taglio massimo:

$$V_{Ed-max} = 146.81 \text{ kN}$$

Staffe - Verifiche armatura

CC	X0 <m>	X1 <m>	Lung. <m>	Staff.	AfE St. <cmq/m>	bw <m>	Vsdu <daN>	ctg	VRsd <daN>	VRcd <daN>	Vrdu <daN>	Sic. T
29 SLU	0.15	0.65	0.50	ø8/10 2 br.	10.05	0.30	14681.90	2.37	37401.50	37401.50	37401.50	2.55
29 SLU	0.65	5.05	4.40	ø8/20 2 br.	5.03	0.30	11998.40	2.50	19693.70	36049.80	19693.70	1.64
25 SLU	5.05	5.55	0.50	ø8/10 2 br.	10.05	0.30	14491.20	2.37	37401.50	37401.50	37401.50	2.58

Si adotteranno nelle zone d'appoggio, per un tratto pari ad 65 cm dal filo esterno del pilastro, staffe $\Phi 8/10$ cm, per il rispetto dei limiti normativi, mentre nelle zone centrali di campata staffe $\Phi 8/20$ cm.

8.4.3 Verifica limitazioni armatura

In ogni sezione della trave, il rapporto geometrico ρ relativo all'armatura tesa, indipendentemente dal fatto che l'armatura tesa sia quella al lembo superiore della sezione A_s o quella al lembo inferiore della sezione A_i , deve essere compreso entro i seguenti limiti:

$$\frac{1,4}{f_{yk}} < \rho < \rho_{comp} + \frac{3,5}{f_{yk}}$$

dove:

$\rho = A_s / (bh)$ Rapporto geometrico relativo all'armatura tesa

$\rho_{comp} = A_s' / (bh)$ Rapporto geometrico relativo all'armatura compressa

Dati Geometrici

Trave:

Base	b=	30cm	ok
altezza	h=	50cm	ok
allargamento	dsx =	0cm	ok
allargamento	ddx =	0cm	ok
copriferro	c=	5cm	

Valori max	Limit. geometriche 7.4.6.1.1	
30cm	$b \geq 20cm$	$b \leq 2lp$
120cm	$b/h \geq 0,25$	
25cm	$dsx \leq h/2$	
25cm	$ddx \leq h/2$	

Dati di armatura

Tipo CLS	C30/37	(min C20/25)	D.M.(7.4.2.1)	$R_{ck} = 37$ N/mm ²			
Tipo Acciaio	B450C	(B450C)	D.M.(7.4.2.2)				
fck=	30,71	fcd=	17,40	D.M.(4.1.2.1.1.1)	fctm=	2,94	D.M.(11.2.10.2)
fyk=	450	fyd=	391,30	D.M.(4.1.2.1.1.3)			
Diametro min. armatura long.	16	$\geq \Phi 14$	D.M.(7.4.6.2.1)				
Diametro staffe	8	$\geq \Phi 6$	D.M.(7.4.6.2.1)				
N° braccia staffe	2						

Armatura longitudinale

In campata	n°ferri_tesi	5	As=	10,05cm ²	As=	10,05cm ²
	n°ferri_comp.	3	A's=	6,03cm ²	A's=	6,03cm ²
zona critica	n°ferri_tesi	3	As=	6,03cm ²	As=	6,03cm ²
	n°ferri_comp.	5	A's=	10,05cm ²	A's=	10,05cm ²

Limitazioni Armatura longitudinale 7.4.6.2.1

In campata:	ρ ; ρ_{comp}	Arm. min.	Arm. max.	limitazioni	
	0,00670	4,7cm ²	17,7cm ²	$.4/fyk < \rho < (\rho_{comp} + (3.5/fyk))$	OK
	0,00402	2,5cm ²		$\rho_{comp} \geq 0,25\rho$	OK
zona critica:	0,00402	4,7cm ²	21,7cm ²	$1.4/fyk < \rho < (\rho_{comp} + (3.5/fy))$	OK
	0,00670	3,0cm ²		$\rho_{comp} \geq 0,5\rho$	OK

In ogni caso almeno il 50% dell'armatura necessaria per il taglio deve essere costituita da staffe.

Per gli elementi in esame l'armatura trasversale è costituita solo da staffe.

 ITALFERR GRUPPO FERROVIE DELLO STATO ITALIANE	DIRETTRICE FERROVIARIA MESSINA – CATANIA – PALERMO NUOVO COLLEGAMENTO PALERMO – CATANIA TRATTA LERCARA DIR – CALTANISSETTA XIRBI (LOTTO 3) FABBRICATI					
	Fabbricato IS-PPT - Tipologico M - Relazione di calcolo	COMMESSA	LOTTO	CODIFICA	DOCUMENTO	REV.
	RS3T	30 D 26	CL	FA00M0 001	C	80 di 104

8.5 PILASTRI D'ANGOLO (30X60)

Si riportano di seguito le verifiche strutturali dei pilastri d'angolo aventi sezione rettangolare di dimensioni 30x60 cm. Le verifiche saranno condotte per i differenti stati limite ed in corrispondenza delle sezioni maggiormente sollecitate dell'elemento per effetto delle combinazioni di carico più gravose.

Preliminarmente alla verifica di resistenza dei pilastri allo SLU è necessario valutare la stabilità degli elementi snelli. Tali verifiche devono essere condotte attraverso un'analisi del secondo ordine che tenga conto degli effetti flessionali delle azioni assiali sulla configurazione deformata degli elementi stessi. In via approssimativa gli effetti del secondo ordine in pilastri singoli possono essere trascurati se la snellezza λ non supera il valore limite (4.1.2.1.7-NTC2018):

$$\lambda_{lim} = 15.4 \cdot \frac{C}{\sqrt{\nu}}$$

dove:

$\nu = N_{Ed} / (A_c \cdot f_{cd})$ è l'azione assiale adimensionale;

$C = 1,7 - r_m$ dipende dalla distribuzione dei momenti del primo ordine;

$r_m = M_{01} / M_{02}$ rapporto tra i momenti flettenti del primo ordine alle due estremità del pilastro (con $M_{02} \geq M_{01}$).

E' stata valutata la snellezza λ del pilastro:

SNELLEZZA LIMITE PILASTRI

NED =	97512	N
B =	300	mm
H =	600	mm
fcd =	17,40	N/mm ²
n	0,0311	
C	2,391	
Mtesta	41506000	Nxmm
Mpiede	60058000	Nxmm
r _m	0,6911	
l limite	208,669	
SNELLEZZA PILASTRO		
J min	1,35E+09	mm ⁴
r min	86,603	mm
b	1	
L0	4000	mm
l pilastro	46,188	

 ITALFERR GRUPPO FERROVIE DELLO STATO ITALIANE	DIRETTRICE FERROVIARIA MESSINA – CATANIA – PALERMO NUOVO COLLEGAMENTO PALERMO – CATANIA TRATTA LERCARA DIR – CALTANISSETTA XIRBI (LOTTO 3) FABBRICATI					
	Fabbricato IS-PPT - Tipologico M - Relazione di calcolo	COMMESSA	LOTTO	CODIFICA	DOCUMENTO	REV.
	RS3T	30 D 26	CL	FA00M0 001	C	81 di 104

La verifica risulta soddisfatta.

Per quanto concerne le non linearità geometriche sono prese in conto, quando necessario, attraverso il fattore θ di seguito definito. In particolare, per le costruzioni civili ed industriali esse possono essere trascurate nel caso in cui risulti:

$$\theta = \frac{P \cdot d_r}{V \cdot h} \leq 0.1$$

dove:

P è il carico verticale totale agente;

d_r è lo spostamento orizzontale medio d'interpiano;

V è la forza orizzontale totale agente;

h è l'altezza dell'elemento.

Si riporta di seguito la verifica delle non linearità geometriche facendo riferimento alle combinazioni di carico che producono lo spostamento orizzontale maggiore SLD_Y.

Elenco spostamenti e rigidezze teoriche di impalcato

Simbologia

Imp. = Numero dell'impalcato
 Sx = Spostamento impalcato in dir. X
 Rig X = Rigidezza teorica in direzione X
 Dif X % = Differenza percentuale della rigidezza X rispetto all'impalcato precedente
 Θ_x = Coefficiente Θ in dir. X
 Br X = Coordinata X della posizione baricentro rigidezze teorico
 Sy = Spostamento impalcato in dir. Y
 Rig Y = Rigidezza teorica in direzione Y
 Dif Y % = Differenza percentuale della rigidezza Y rispetto all'impalcato precedente
 Θ_y = Coefficiente Θ in dir. Y
 Br Y = Coordinata Y della posizione baricentro rigidezze teorico

Imp.	Sx <m>	Rig X <kN/m>	Dif X %	Θ_x	Br X <m>	Sy <m>	Rig Y <kN/m>	Dif Y %	Θ_y	Br Y <m>	
1	2.53E-03	195536.00	0.00	1.99E-03	13.37		5.26E-03	94246.10	0.00	4.12E-03	3.00

$$\Theta_y = 0.0042 < 0.1$$

8.5.1 Verifica a flessione

Nelle tabelle seguenti sono riportate le sollecitazioni ottenute agli SLU statico e simico ed agli SLE (rara, frequente e quasi permanente).

CC	TCC	X <m>	N <kN>	Ty <kN>	Mz <kNm>	Tz <kN>	My <kNm>	Mx <kNm>
25	SLU	0.00	-106530	-1369	1847	-25231	33623	-0.000
25	SLU	3.75	-84592	-1369	-3286	-25231	-60992	-0.000
29	SLU	0.00	-115620	-1332	1784	-48069	78692	0.013
29	SLU	3.75	-93683	-1332	-3211	-38225	-83107	0.013
30	SLU	0.00	-111984	-1347	1809	-38933	60665	0.008
30	SLU	3.75	-90047	-1347	-3241	-33027	-74261	0.008
36	SLU	0.00	-110186	-12156	15454	-25231	33623	-0.000
36	SLU	3.75	-88249	-0.906	-9036	-25231	-60992	-0.000
37	SLU	0.00	-108724	-7841	10011	-25231	33623	-0.000
37	SLU	3.75	-86786	-1091	-6736	-25231	-60992	-0.000

CC	TCC	X <m>	N <kN>	Ty <kN>	Mz <kNm>	Tz <kN>	My <kNm>	Mx <kNm>
26	SLE R	0.00	-77799	-0.991	1338	-18117	24143	-0.000
26	SLE R	3.75	-60923	-0.991	-2379	-18117	-43796	-0.000
31	SLE R	0.00	-83859	-0.967	1296	-33342	54190	0.008
31	SLE R	3.75	-66984	-0.967	-2330	-26780	-58539	0.008
32	SLE R	0.00	-81435	-0.977	1313	-27252	42171	0.005
32	SLE R	3.75	-64560	-0.977	-2350	-23315	-52642	0.005
38	SLE R	0.00	-80236	-8182	10409	-18117	24143	-0.000
38	SLE R	3.75	-63361	-0.682	-6213	-18117	-43796	-0.000
39	SLE R	0.00	-79261	-5306	6780	-18117	24143	-0.000
39	SLE R	3.75	-62386	-0.806	-4679	-18117	-43796	-0.000

CC	TCC	X <m>	N <kN>	Ty <kN>	Mz <kNm>	Tz <kN>	My <kNm>	Mx <kNm>
27	SLE F	0.00	-73874	-0.978	1320	-16698	22252	-0.000
27	SLE F	3.75	-56999	-0.978	-2347	-16698	-40365	-0.000
33	SLE F	0.00	-75086	-0.973	1312	-19743	28261	0.002
33	SLE F	3.75	-58211	-0.973	-2337	-18430	-43314	0.002
34	SLE F	0.00	-73874	-0.978	1320	-16698	22252	-0.000
34	SLE F	3.75	-56999	-0.978	-2347	-16698	-40365	-0.000
40	SLE F	0.00	-74362	-2416	3134	-16698	22252	-0.000
40	SLE F	3.75	-57486	-0.916	-3113	-16698	-40365	-0.000
41	SLE F	0.00	-73874	-0.978	1320	-16698	22252	-0.000
41	SLE F	3.75	-56999	-0.978	-2347	-16698	-40365	-0.000

CC	TCC	X <m>	N <kN>	Ty <kN>	Mz <kNm>	Tz <kN>	My <kNm>	Mx <kNm>
28	SLE Q	0.00	-72893	-0.974	1316	-16343	21779	-0.000
28	SLE Q	3.75	-56018	-0.974	-2339	-16343	-39507	-0.000
35	SLE Q	0.00	-72893	-0.974	1316	-16343	21779	-0.000
35	SLE Q	3.75	-56018	-0.974	-2339	-16343	-39507	-0.000
42	SLE Q	0.00	-72893	-0.974	1316	-16343	21779	-0.000
42	SLE Q	3.75	-56018	-0.974	-2339	-16343	-39507	-0.000

Pilastrati d'angolo

In funzione delle sollecitazioni si è dimensionata opportunamente l'armatura longitudinale del pilastro:

- Armatura lati corti 2 Φ 20
- Armatura lato lungo 5 Φ 20

Le verifiche di resistenza a flessione allo SLU ed agli SLE (NTC2018 – 4.1.2.1.2.4) per le sezioni di incastro e di campata sono state condotte con il supporto del MODEST considerando le sollecitazioni riportate nel prospetto precedente.

Essendo i pilastrati orientati in maniera diversa sono state eseguite le verifiche coerentemente con l'orientamento degli assi locali definiti nel modello di calcolo.

Pilastrata n. 1

Nodi: 1 101

Simbologia

Xg = Coordinata progressiva (dal primo nodo) in cui viene effettuato il progetto/verifica

CC = Combinazione delle condizioni di carico elementari

e = eccentricità aggiuntiva in caso di compressione o pressoflessione

α = amplificazione per gerarchia delle resistenze

TG = taglio da gerarchia delle resistenze

TCC = Tipo di combinazione di carico

SLU = Stato limite ultimo

SLU S = Stato limite ultimo (azione sismica)

SLE R = Stato limite d'esercizio, combinazione rara

SLE F = Stato limite d'esercizio, combinazione frequente

SLE Q = Stato limite d'esercizio, combinazione quasi permanente

SLD = Stato limite di danno

SLV = Stato limite di salvaguardia della vita

SLC = Stato limite di prevenzione del collasso

Fabbricato IS-PPT - Tipologico M - Relazione di calcolo

COMMESSA	LOTTO	CODIFICA	DOCUMENTO	REV.	FOGLIO
RS3T	30 D 26	CL	FA00M0 001	C	84 di 104

SLO = Stato limite di operatività

SLU I = Stato limite di resistenza al fuoco

SND = Stato limite di salvaguardia della vita (non dissipativo)

E1 = Elemento (asta) in cui viene effettuato il progetto/verifica (progressivo sul numero di aste)

Sez. = Numero della sezione

X = Coordinata progressiva rispetto al nodo iniziale

N = Sforzo normale

Mz = Momento flettente intorno all'asse Z

My = Momento flettente intorno all'asse Y

My ver. = Momento flettente di verifica intorno all'asse Y

c = Ricoprimento dell'armatura

s = Distanza minima tra le barre

K3 = Coefficiente di forma del diagramma delle tensioni prima della fessurazione

s_{rm} = Distanza media tra le fessure

Φ = Diametro della barra

A_s = Area complessiva dei ferri nell'area di calcestruzzo efficace

A_{c eff} = Area di calcestruzzo efficace

σ_s = Tensione nell'acciaio nella sezione fessurata

σ_{sr} = Tensione nell'acciaio corrispondente al raggiungimento della resistenza a trazione nel calcestruzzo

ε_{sm} = Deformazione unitaria media dell'armatura (*1000)

Wk = Apertura delle fessure

M = Momento flettente

MRd = Momento resistente allo stato limite ultimo

μΦ = Valore di progetto della duttilità di curvatura

Mz ver. = Momento flettente di verifica intorno all'asse Z

Nu = Sforzo normale ultimo

M'ydy = Momento resistente massimo in campo sostanzialmente elastico intorno all'asse Y

M'ydz = Momento resistente massimo in campo sostanzialmente elastico intorno all'asse Z

MRdy = Momento resistente allo stato limite ultimo intorno all'asse Y

MRdz = Momento resistente allo stato limite ultimo intorno all'asse Z

α = Angolo asse neutro a rottura

ε_y = Deformazione nell'acciaio (*1000)

Sic. = Sicurezza a rottura

AfT = Area di ferro tesa

AfC = Area di ferro compressa

σ_c = Tensione nel calcestruzzo

σ_f = Tensione nel ferro

X0 = Coordinata progressiva (dal nodo iniziale) dell'inizio del tratto

X1 = Coordinata progressiva (dal nodo iniziale) della fine del tratto

Staff. = Staffatura adottata

Br_y = Numero bracci in dir. Y locale

Br_z = Numero bracci in dir. Z locale

bw_y = Larghezza membratura resistente al taglio in dir. Y

Vsdu_y = Taglio agente in dir. Y

ctgθ_y = Cotangente dell'angolo di inclinazione dei puntoni di calcestruzzo in dir. Y

VRsd_y = Taglio ultimo lato armatura in dir. Y

VRcd_y = Taglio ultimo lato calcestruzzo in dir. Y

bw_z = Larghezza membratura resistente al taglio in dir. Z

Vsdu_z = Taglio agente in dir. Z

ctgθ_z = Cotangente dell'angolo di inclinazione dei puntoni di calcestruzzo in dir. Z

VRsd_z = Taglio ultimo lato armatura in dir. Z

Fabbricato IS-PPT - Tipologico M - Relazione di calcolo

COMMESSA	LOTTO	CODIFICA	DOCUMENTO	REV.	FOGLIO
RS3T	30 D 26	CL	FA00M0 001	C	85 di 104

VRcd,_z = Taglio ultimo lato calcestruzzo in dir. Z

Sic.T = Sicurezza a rottura per taglio

Nodo = Numero del nodo

Conf. = Nodo confinato

S = Sì

N = No

F. = Identificativo faccia del nodo

Y+ = Faccia sul lato positivo Y locale pilastro

Z+ = Faccia sul lato positivo Z locale pilastro

Y- = Faccia sul lato negativo Y locale pilastro

Z- = Faccia sul lato negativo Z locale pilastro

Mod. = Modalità di verifica faccia

I = Interna

E = Esterna

Br. = Numero bracci

As1 = Area di ferro superiore delle travi incidenti sulla faccia

As2 = Area di ferro inferiore delle travi incidenti sulla faccia

Bj = Larghezza effettiva utile del nodo

Hjc = Distanza tra armature pilastro

Hjw = Distanza tra armature trave

Ash = Area totale della sezione della staffa

Tipo = Tipologia

2C = Doppia C lato labbri

2Cdx = Doppia C lato costola

2I = Doppia I

2L = Doppia L lato labbri

2Ldx = Doppia L lato costole

C = Sezione a C

Cdx = C destra

Cir. = Circolare

Cir.c = Circolare cava

I = Sezione a I

L = Sezione a L

Ldx = L destra

Om. = Omega

Pg = Pi greco

Pr = Poligono regolare

Prc = Poligono regolare cavo

Pc = Per coordinate

Ia = Inerzie assegnate

R = Rettangolare

Rc = Rettangolare cava

T = Sezione a T

U = Sezione a U

Ur = U rovescia

V = Sezione a V

Vr = V rovescia

Z = Sezione a Z

Zdx = Z destra

Ts = T stondata

Ls = L stondata

Cs = C stondata

Fabbricato IS-PPT - Tipologico M - Relazione di calcolo

COMMESSA	LOTTO	CODIFICA	DOCUMENTO	REV.	FOGLIO
RS3T	30 D 26	CL	FA00M0 001	C	86 di 104

Is = I stondata

Dis. = Disegnata

B = Base

H = Altezza

Cf = Copriferro

Cls = Tipo di calcestruzzo

Fck = Resistenza caratteristica cilindrica a compressione del calcestruzzo

Fctk = Resistenza caratteristica a trazione del calcestruzzo

Fcd = Resistenza di calcolo a compressione del calcestruzzo

Fctd = Resistenza di calcolo a trazione del calcestruzzo

Tp = Tipo di acciaio

Fyk = Tensione caratteristica di snervamento dell'acciaio

Fyd = Resistenza di calcolo dell'acciaio

Caratteristiche delle sezioni e dei materiali utilizzati

Sez.	Tipo	B <cm>	H <cm>	Cf <cm>	Cls	Fck <daN/cm²>	Fctk <daN/cm²>	Fcd <daN/cm²>	Fctd <daN/cm²>	Tp	Fyk <daN/cm²>	Fyd <daN/cm²>
3R		30.00	60.00	5.80	C30/37	307.10	20.59	174.02	13.73	B450C	4500.00	3913.04

Stato limite ultimo - Verifiche a flessione/pressoflessione

Xg <m>	CC	TCC	El	Sez.	X <cm>	N <daN>	My <daNm>	My ver. <daNm>	Mz <daNm>	Mz ver. <daNm>	Nu <daN>	MRdy <daNm>	MRdz <daNm>	α <grad>	ε _y	Sic.
0.00	29(e)	SLU	1	3	0.00	-11562.00	7869.25	7869.25	178.44	239.91	-11562.00	29313.50	1359.85	11.25	7.12	3.727
0.00	29(e)	SLU	1	3	0.00	-11562.00	7869.25	7869.25	178.44	239.91	-11562.00	29313.50	1359.85	11.25	7.12	3.727
3.65	29	SLU	1	3	365.00	-9426.80	-7927.15		-307.80		-9426.80	-28972.70	-1383.29	191.25	7.28	3.656

Stato limite elastico - Verifiche a flessione/pressoflessione

Xg <m>	CC	TCC	El	Sez.	X <cm>	N <daN>	My <daNm>	My ver. <daNm>	Mz <daNm>	Mz ver. <daNm>	Nu <daN>	M'ydy <daNm>	M'ydz <daNm>	α <grad>	ε _y	Sic.
0.00	7	SND	1	3	0.00	-3970.68	17069.20		-802.45		-3970.68	19755.20	-1014.42	348.75	7.70	1.158
0.00	7	SND	1	3	0.00	-3970.68	17069.20		-802.45		-3970.68	19755.20	-1014.42	348.75	7.70	1.158
3.65	7	SND	1	3	365.00	-2328.18	-11378.70		-720.60		-2328.18	-19427.10	-1020.61	191.25	7.83	1.706

Stato limite d'esercizio - Verifiche tensionali

Xg <m>	CC	TCC	El	Sez.	X <cm>	N <daN>	Mz <daNm>	My <daNm>	AfT <cmq>	AfC <cmq>	σ _c <daN/cm²>	σ _f <daN/cm²>
0.00	31	SLE R	1	3	0.00	-8385.90	129.58	5418.97	18.85	12.57	41.83	811.12
0.00	28	SLE Q	1	3	0.00	-7289.28	131.56	2177.91	15.71	15.71	17.91	210.45
0.00	31	SLE R	1	3	0.00	-8385.90	129.58	5418.97	18.85	12.57	41.83	811.12
0.00	28	SLE Q	1	3	0.00	-7289.28	131.56	2177.91	15.71	15.71	17.91	210.45
3.65	31	SLE R	1	3	365.00	-6743.40	-223.29	-5585.27	18.85	12.57	44.54	917.52
3.65	28	SLE Q	1	3	365.00	-5646.78	-224.12	-3787.28	18.85	12.57	31.41	595.49

Stato limite d'esercizio - Verifiche a fessurazione

Xg <m>	CC	TCC	El	Sez.	X <cm>	N <daN>	My <daNm>	Mz <daNm>	c <mm>	s <mm>	K3	s _{zm} <mm>	Φ	A _s <cmq>	A _{o,eff} <cmq>	σ _s <daN/cm²>	σ _{sc} <daN/cm²>	ε _{sm}	w _k <mm>
0.00	28	SLE Q	1	3	0.00	-7289.28	2177.91	131.56	49.00	120.50	0.13	196.11	20.00	12.57	930.09	209.46	975.86	0.04	0.01
0.00	28	SLE Q	1	3	0.00	-7289.28	2177.91	131.56	49.00	120.50	0.13	196.11	20.00	12.57	930.09	209.46	975.86	0.04	0.01
3.65	28	SLE Q	1	3	365.00	-5646.78	-3787.28	-224.12	49.00	120.50	0.13	190.62	20.00	18.85	1291.59	595.49	1295.16	0.12	0.04

Staffe - Verifiche armatura

X0 <m>	X1 <m>	Staff.	Br _y	Br _z	CC	TCC	bw _{,y} <m>	Vsdu _{,y} <daN>	ctgθ _{,y}	VRsd _{,y} <daN>	VRcd _{,y} <daN>	bw _{,z} <m>	Vsdu _{,z} <daN>	ctgθ _{,z}	VRsd _{,z} <daN>	VRcd _{,z} <daN>	Sic. T
0.00	0.61	ø8/ 8	2	2	29	SLU	0.60	133.21	2.50	26663.90	40488.50	0.30	4806.85	2.12	50814.30	50814.30	10.57
0.00	0.61	ø8/ 8	2	2	36	SLU	0.60	1215.56	2.50	26663.90	40420.80	0.30	2523.07	2.12	50762.40	50762.40	20.12
0.00	0.61	ø8/ 8	2	2	10	SND	0.60	330.26	2.50	26663.90	40341.80	0.30	7793.95	2.12	50701.70	50701.80	6.51
0.00	0.61	ø8/ 8	2	2	16	SND	0.60	1403.56	2.50	26663.90	39991.20	0.30	751.20	2.11	50431.60	50431.60	19.00
0.00	0.61	ø8/ 8	2	2	13	SND	0.60	1409.85	2.50	26663.90	40231.10	0.30	2483.78	2.11	50616.60	50616.60	18.91
0.61	3.04	ø8/18	2	2	29	SLU	0.60	133.21	2.50	11850.60	40444.10	0.30	4647.16	2.50	26602.50	45394.80	5.72
0.61	3.04	ø8/18	2	2	36	SLU	0.60	1033.06	2.50	11850.60	40376.40	0.30	2523.07	2.50	26602.50	45318.70	10.54
0.61	3.04	ø8/18	2	2	10	SND	0.60	330.26	2.50	11850.60	40307.70	0.30	7793.94	2.50	26602.50	45241.60	3.41
0.61	3.04	ø8/18	2	2	7	SND	0.60	416.35	2.50	11850.60	40428.90	0.30	7793.94	2.50	26602.50	45377.70	3.41
0.61	3.04	ø8/18	2	2	16	SND	0.60	1403.56	2.50	11850.60	39957.10	0.30	751.20	2.50	26602.50	44848.10	8.44
0.61	3.04	ø8/18	2	2	13	SND	0.60	1409.85	2.50	11850.60	40197.00	0.30	2483.78	2.50	26602.50	45117.40	8.41
3.04	3.65	ø8/12	2	2	29	SLU	0.60	133.21	2.50	17776.00	40266.70	0.30	4008.41	2.50	39903.70	45195.60	9.96
3.04	3.65	ø8/12	2	2	36	SLU	0.60	303.06	2.50	17776.00	40199.00	0.30	2523.07	2.50	39903.70	45119.60	15.82
3.04	3.65	ø8/12	2	2	10	SND	0.60	330.26	2.50	17776.00	40171.20	0.30	7793.94	2.50	39903.70	45088.40	5.12
3.04	3.65	ø8/12	2	2	7	SND	0.60	416.35	2.50	17776.00	40292.40	0.30	7793.94	2.50	39903.70	45224.50	5.12
3.04	3.65	ø8/12	2	2	16	SND	0.60	1403.56	2.50	17776.00	39820.60	0.30	751.20	2.50	39903.70	44694.90	12.66
3.04	3.65	ø8/12	2	2	13	SND	0.60	1409.85	2.50	17776.00	40060.50	0.30	2483.78	2.50	39903.70	44964.10	12.61

8.5.2 Verifica limitazioni armatura

Resta da verificare che l'armatura determinata in funzione delle sollecitazioni agenti rispetti le limitazioni riportate nel punto 7.4.6.2.2 delle NTC2018:

- Per tutta la lunghezza del pilastro l'interasse tra le barre non deve essere superiore a 25 cm;
- Nella sezione corrente del pilastro, la percentuale geometrica ρ di armatura longitudinale, con ρ rapporto tra l'area dell'armatura longitudinale e l'area della sezione del pilastro, deve essere compresa entro i seguenti limiti:

$$1\% < \rho < 4\%$$

- Nelle zone critiche devono essere rispettate le condizioni seguenti: le barre disposte sugli angoli della sezione devono essere contenute dalle staffe; almeno una barra ogni due, di quelle disposte sui lati, deve essere trattenuta da staffe interne o legature; le barre non fissate si devono trovare a meno di 20 cm da una barra fissata per CDB.
- Il diametro delle staffe di contenimento e legature deve essere non inferiore a 6 mm ed il loro passo deve essere non superiore alla più piccola delle quantità seguenti:

 ITALFERR GRUPPO FERROVIE DELLO STATO ITALIANE	DIRETTRICE FERROVIARIA MESSINA – CATANIA – PALERMO NUOVO COLLEGAMENTO PALERMO – CATANIA TRATTA LERCARA DIR – CALTANISSETTA XIRBI (LOTTO 3) FABBRICATI					
	Fabbricato IS-PPT - Tipologico M - Relazione di calcolo	COMMESSA	LOTTO	CODIFICA	DOCUMENTO	REV.
	RS3T	30 D 26	CL	FA00M0 001	C	88 di 104

- 1/2 del lato minore della sezione trasversale per CDB;
- 175 mm (per CD"B");
- 8 volte il diametro minimo delle barre longitudinali che collegano (per CD"B")
- li devono disporre staffe in un quantitativo minimo non inferiore a:

$$\frac{A_{st}}{s} = 0.08 \frac{f_{cd} \cdot b_{st}}{f_{yd}}$$

Nel caso specifico risulta:

- Le staffe orizzontali presenti lungo l'altezza del nodo devono verificare la seguente condizione

Nella quale n_{st} e A_{st} sono rispettivamente il numero di bracci e l'area della sezione trasversale della barra della singola staffa orizzontale, i è l'interasse, e b_j è la larghezza utile del nodo determinata come segue:

- se la trave ha una larghezza b_w superiore a quella del pilastro b_c , allora b_j è il valore minimo fra b_w e $b_c + h_c/2$, essendo h_c la dimensione della sezione della colonna parallela alla trave;
- se la trave ha una larghezza b_w inferiore a quella del pilastro b_c , allora b_j è il valore minimo fra b_c e $b_w + h_c/2$.

Devono inoltre essere rispettati i limiti riportati al punto 4.1.6.1.2 delle NTC2018:

- Nel caso di elementi sottoposti a prevalente sforzo normale, le barre parallele all'asse devono avere diametro maggiore od uguale a 12 mm. Inoltre la loro area non deve essere inferiore a :

$$A_{s,min} = (0.10 \cdot \frac{N_{Ed}}{f_{yd}})$$

e comunque non minore di $0.003 A_c$;

dove:

N_{Ed} rappresenta lo sforzo di compressione assiale di calcolo;

A_c è l'area di calcestruzzo;

f_{yd} è il valore della resistenza di calcolo dell'armatura.

 ITALFERR GRUPPO FERROVIE DELLO STATO ITALIANE	DIRETTRICE FERROVIARIA MESSINA – CATANIA – PALERMO NUOVO COLLEGAMENTO PALERMO – CATANIA TRATTA LERCARA DIR – CALTANISSETTA XIRBI (LOTTO 3) FABBRICATI					
	Fabbricato IS-PPT - Tipologico M - Relazione di calcolo	COMMESSA RS3T	LOTTO 30 D 26	CODIFICA CL	DOCUMENTO FA00M0 001	REV. C

Nel caso in esame risulta:

Dati Geometrici

Pilastro:	Base	b=	30,0cm
	Altezza sez.	h=	60,0cm
	Copriferro	c=	5,0cm
	Altezza pil.	hp=	400,0cm
	Altezza libera	hl=	400,0cm

OK

Lim. Geom. 7.4.6.1.2	
b ≥	25cm

Dati di armatura

Tipo CLS	C30/37	(min C20/25)	D.M.(7.4.2.1)
Tipo Acciaio	B450C	(B450C)	D.M.(7.4.2.2)

$$R_{ck} = 37 \text{ N/mm}^2$$

fck=	30,71	fcd=	17,40	D.M.(4.1.2.1.1.1)	fctm=	2,94	D.M.(11.2.10.2)
fyk=	450	fyd=	391,30	D.M.(4.1.2.1.1.3)			

Diametro armatura long.	20	≥Φ12
Diametro staffe	8	≥Φ6

OK ≥(1/4)Φ_{long}

Armatura longitudinale

n°ferri "b"	n°ferri "h"
4	10
<i>tot sui due lati</i>	<i>tot sui due lati</i>

$$n^{\circ}\text{ferri}_{\text{tot}} = 10$$

$$A_s + A'_s = 31,40\text{cm}^2$$

Limitazioni Armatura longitudinale 7.4.6.2.2

ρ	Arm. min.	Arm. max.	limitazioni	
1,74%	18,0cm ²	72,00cm ²	1% ≤ ρ ≤ 4%	OK

Limitazioni Armatura longitudinale 4.1.6.1.2

Arm. min.	Arm. max.	
5,4	72	OK

Inter. Ferri "b"	24,0cm	OK	≤ 25	OK	≤ - O R 24J
Inter. Ferri "h"	13,5cm	OK	≤ 25	OK	≤ - O R 24J

Si riscontra, pertanto, che l'armatura dei pilastri rispetta i limiti prescritti dalle NTC2018.

 ITALFERR GRUPPO FERROVIE DELLO STATO ITALIANE	DIRETTRICE FERROVIARIA MESSINA – CATANIA – PALERMO NUOVO COLLEGAMENTO PALERMO – CATANIA TRATTA LERCARA DIR – CALTANISSETTA XIRBI (LOTTO 3) FABBRICATI					
	Fabbricato IS-PPT - Tipologico M - Relazione di calcolo	COMMESSA	LOTTO	CODIFICA	DOCUMENTO	REV.
	RS3T	30 D 26	CL	FA00M0 001	C	90 di 104

8.6 PILASTRI INTERNI (30X60)

Si riportano di seguito le verifiche strutturali dei pilastri interni aventi sezione rettangolare di dimensioni 30x60 cm. Le verifiche saranno condotte per i differenti stati limite ed in corrispondenza delle sezioni maggiormente sollecitate dell'elemento per effetto delle combinazioni di carico più gravose.

Preliminarmente alla verifica di resistenza dei pilastri allo SLU è necessario valutare la stabilità degli elementi snelli. Tali verifiche devono essere condotte attraverso un'analisi del secondo ordine che tenga conto degli effetti flessionali delle azioni assiali sulla configurazione deformata degli elementi stessi. In via approssimativa gli effetti del secondo ordine in pilastri singoli possono essere trascurati se la snellezza λ non supera il valore limite (4.1.2.1.7-NTC2018):

$$\lambda_{lim} = 15.4 \cdot \frac{C}{\sqrt{\nu}}$$

dove:

$\nu = N_{Ed} / (A_c \cdot f_{cd})$ è l'azione assiale adimensionale;

$C = 1,7 - r_m$ dipende dalla distribuzione dei momenti del primo ordine;

$r_m = M_{01} / M_{02}$ rapporto tra i momenti flettenti del primo ordine alle due estremità del pilastro (con $M_{02} \geq M_{01}$).

E' stata valutata la snellezza λ del pilastro:

SNELLEZZA LIMITE PILASTRI

NED =	111858	N
B=	300	mm
H=	600	mm
fcd=	17,40	N/mm ²
n	0,0357	
C	2,321	
Mtesta	41598000	Nxmm
Mpiede	66939000	Nxmm
rm	0,6214	
l limite	189,153	
SNELLEZZA PILASTRO		
J min	1,35E+09	mm ⁴
r min	86,603	mm
b	1	
L0	4000	mm
l pilastro	46,188	

La verifica risulta soddisfatta.

8.6.1 Verifica a flessione

Nelle tabelle seguenti sono riportate le sollecitazioni ottenute agli SLU statico e simico ed agli SLE (rara, frequente e quasi permanente).

CC	TCC	X <m>	N <kN>	Ty <kN>	Mz <kNm>	Tz <kN>	My <kNm>	Mx <kNm>
25	SLU	0.00	-119489	2238	-3055	-28122	37476	-0.000
25	SLU	3.75	-97552	2238	5337	-28122	-67982	-0.000
29	SLU	0.00	-128394	2242	-3074	-50471	81406	0.013
29	SLU	3.75	-106457	2242	5334	-40628	-89404	0.013
30	SLU	0.00	-124832	2240	-3066	-41532	63834	0.008
30	SLU	3.75	-102895	2240	5335	-35625	-80835	0.008
36	SLU	0.00	-116879	-8358	10293	-28122	37476	-0.000
36	SLU	3.75	-94942	2892	0.043	-28122	-67982	-0.000
37	SLU	0.00	-117923	-4120	4954	-28122	37476	-0.000
37	SLU	3.75	-95986	2630	2160	-28122	-67982	-0.000

CC	TCC	X <m>	N <kN>	Ty <kN>	Mz <kNm>	Tz <kN>	My <kNm>	Mx <kNm>
26	SLE R	0.00	-87065	1621	-2213	-20174	26885	-0.000
26	SLE R	3.75	-70190	1621	3866	-20174	-48769	-0.000
31	SLE R	0.00	-93001	1624	-2226	-35074	56172	0.008
31	SLE R	3.75	-76126	1624	3865	-28512	-63051	0.008
32	SLE R	0.00	-90627	1623	-2221	-29114	44457	0.005
32	SLE R	3.75	-73752	1623	3865	-25177	-57338	0.005
38	SLE R	0.00	-85325	-5443	6686	-20174	26885	-0.000
38	SLE R	3.75	-68450	2057	0.337	-20174	-48769	-0.000
39	SLE R	0.00	-86021	-2617	3126	-20174	26885	-0.000
39	SLE R	3.75	-69146	1883	1749	-20174	-48769	-0.000

CC	TCC	X <m>	N <kN>	Ty <kN>	Mz <kNm>	Tz <kN>	My <kNm>	Mx <kNm>
27	SLE F	0.00	-82339	1611	-2199	-18525	24687	-0.000
27	SLE F	3.75	-65464	1611	3843	-18525	-44782	-0.000
33	SLE F	0.00	-83526	1612	-2201	-21505	30544	0.002

33	SLE F	3.75	-66651	1612	3842	-20192	-47638	0.002
34	SLE F	0.00	-82339	1611	-2199	-18525	24687	-0.000
34	SLE F	3.75	-65464	1611	3843	-18525	-44782	-0.000
40	SLE F	0.00	-81991	0.198	-0.419	-18525	24687	-0.000
40	SLE F	3.75	-65116	1698	3137	-18525	-44782	-0.000
41	SLE F	0.00	-82339	1611	-2199	-18525	24687	-0.000
41	SLE F	3.75	-65464	1611	3843	-18525	-44782	-0.000

CC	TCC	X <m>	N <kN>	Ty <kN>	Mz <kNm>	Tz <kN>	My <kNm>	Mx <kNm>
28	SLE Q	0.00	-81157	1609	-2195	-18113	24137	-0.000
28	SLE Q	3.75	-64282	1609	3837	-18113	-43785	-0.000
35	SLE Q	0.00	-81157	1609	-2195	-18113	24137	-0.000
35	SLE Q	3.75	-64282	1609	3837	-18113	-43785	-0.000
42	SLE Q	0.00	-81157	1609	-2195	-18113	24137	-0.000
42	SLE Q	3.75	-64282	1609	3837	-18113	-43785	-0.000

Pilastrini interni

In funzione delle sollecitazioni si è dimensionata opportunamente l'armatura longitudinale del pilastro:

- Armatura lato corto 2 Φ 20
- Armatura lato lungo 5 Φ 20

Le verifiche di resistenza a flessione allo SLU ed agli SLE (NTC2018 – 4.1.2.1.2.4) per le sezioni di incastro e di campata sono state condotte con il supporto del MODEST considerando le sollecitazioni riportate nel prospetto precedente.

Essendo i pilastri orientati in maniera diversa sono state eseguite le verifiche coerentemente con l'orientamento degli assi locali definiti nel modello di calcolo.

Pilastrata n. 7

Nodi: 7 107

Simbologia

Xg = Coordinata progressiva (dal primo nodo) in cui viene effettuato il progetto/verifica

CC = Combinazione delle condizioni di carico elementari

e = eccentricità aggiuntiva in caso di compressione o pressoflessione

α = amplificazione per gerarchia delle resistenze

Fabbricato IS-PPT - Tipologico M - Relazione di calcolo

COMMESSA	LOTTO	CODIFICA	DOCUMENTO	REV.	FOGLIO
RS3T	30 D 26	CL	FA00M0 001	C	93 di 104

TG = taglio da gerarchia delle resistenze

TCC = Tipo di combinazione di carico

SLU = Stato limite ultimo

SLU S = Stato limite ultimo (azione sismica)

ombinazione rara

SLD = Stato limite di danno

SLV = Stato limite di salvaguardia della vita

SLC = Stato limite di prevenzione del collasso

SLO = Stato limite di operatività

SLU I = Stato limite di resistenza al fuoco

SND = Stato limite di salvaguardia della vita (non dissipativo)

El = Elemento (asta) in cui viene effettuato il progetto/verifica (progressivo sul numero di aste)

Sez. = Numero della sezione

X = Coordinata progressiva rispetto al nodo iniziale

N = Sforzo normale

Mz =

My =

My ver. = Momento flettente di verifi

c =

s = Distanza minima tra le barre

K3 = Coefficiente di forma del diagramma delle tensioni prima della fessurazione

s_{xm} = Distanza media tra le fessure

Φ = Diametro della barra

A_s =

$A_{c\ eff}$ = Area di calcestruzzo efficace

σ_s =

σ_{sr} = istenza a trazione nel calcestruzzo

ϵ_{sm} =

w_k = Apertura delle fessure

M = Momento flettente

MRd = Momento resistente allo stato limite ultimo

$\mu\Phi$ = Valore di progetto della duttilità di curvatura

Mz ver. =

Nu = Sforzo normale ultimo

=

=

MRdy = e Z

MRdz =

α = Angolo asse neutro a rottura

ϵ_y =

Sic. = Sicurezza a rottura

AfT = Area di ferro tesa

AfC = Area di ferro compressa

σ_c = Tensione nel calcestruzzo

σ_s = Tensione nel ferro

X0 = Coordinata progressiva (dal nodo in

X1 = Coordinata progressiva (dal nodo iniziale) della fine del tratto

Staff. = Staffatura adottata

Br_y = Numero bracci in dir. Y locale

Fabbricato IS-PPT - Tipologico M - Relazione di calcolo

COMMESSA	LOTTO	CODIFICA	DOCUMENTO	REV.	FOGLIO
RS3T	30 D 26	CL	FA00M0 001	C	94 di 104

Br_z = Numero bracci in dir. Z locale
 bw_y = Larghezza membratura resistente al taglio in dir. Y
 $Vsdu_y$ = Taglio agente in dir. Y
 $ctg\theta_y$ =
 $VRsd_y$ = Taglio ultimo lato armatura in dir. Y
 $VRcd_y$ = Taglio ultimo lato calcestruzzo in dir. Y
 bw_z = Larghezza membratura resistente al taglio in dir. Z
 $Vsdu_z$ = Taglio agente in dir. Z
 $ctg\theta_z$ =
 $VRsd_z$ = Taglio ultimo lato armatura in dir. Z
 $VRcd_z$ = Taglio ultimo lato calcestruzzo in dir. Z
 Sic.T = Sicurezza a rottura per taglio
 Nodo = Numero del nodo
 Conf. = Nodo confinato
 S = Si
 N = No
 F. = Identificativo faccia del nodo
 Y+ = Faccia sul lato positivo Y locale pilastro
 Z+ = Faccia sul lato positivo Z locale pilastro
 Y- = Faccia sul lato negativo Y locale pilastro
 Z- = Faccia sul lato negativo Z locale pilastro
 Mod. = Modalità di verifica faccia
 I = Interna
 E = Esterna
 Br. = Numero bracci
 As1 = Area di ferro superiore delle travi incidenti sulla faccia
 As2 = Area di ferro inferiore delle travi incidenti sulla faccia
 Bj = Larghezza effettiva utile del nodo
 Hjc = Distanza tra armature pilastro
 Hjw = Distanza tra armature trave
 Ash = Area totale della sezione della staffa
 Tipo = Tipologia
 2C = Doppia C lato labbri
 2Cdx = Doppia C lato costola
 2I = Doppia I
 2L = Doppia L lato labbri
 2Ldx = Doppia L lato costole
 C = Sezione a C
 Cdx = C destra
 Cir. = Circolare
 Cir.c = Circolare cava
 I = Sezione a I
 L = Sezione a L
 Ldx = L destra
 Om. = Omega
 Pg = Pi greco
 Pr = Poligono regolare
 Prc = Poligono regolare cavo
 Pc = Per coordinate
 Ia = Inerzie assegnate
 R = Rettangolare

Fabbricato IS-PPT - Tipologico M - Relazione di calcolo

COMMESSA	LOTTO	CODIFICA	DOCUMENTO	REV.	FOGLIO
RS3T	30 D 26	CL	FA00M0 001	C	95 di 104

Rc = Rettangolare cava

T = Sezione a T

U = Sezione a U

Ur = U rovescia

V = Sezione a V

Vr = V rovescia

Z = Sezione a Z

Zdx = Z destra

Ts = T stondata

Ls = L stondata

Cs = C stondata

Is = I stondata

Dis. = Disegnata

B = Base

H = Altezza

Cf = Copriferro

Cls = Tipo di calcestruzzo

Fck = Resistenza caratteristica cilindrica a compressione del calcestruzzo

Fctk = Resistenza caratteristica a trazione del calcestruzzo

Fcd = Resistenza di calcolo a compressione del calcestruzzo

Fctd = Resistenza di calcolo a trazione del calcestruzzo

Tp = Tipo di acciaio

Fyk = Tensione

Fyd =

Caratteristiche delle sezioni e dei materiali utilizzati

Sez.	Tipo	B <cm>	H <cm>	Cf <cm>	Cls	Fck <daN/cm ² >	Fctk <daN/cm ² >	Fcd <daN/cm ² >	Fctd <daN/cm ² >	Tp	Fyk <daN/cm ² >	Fyd <daN/cm ² >
3R		30.00	60.00	5.80	C30/37	307.10	20.59	174.02	13.73	B450C	4500.00	3913.04

Stato limite ultimo - Verifiche a flessione/pressoflessione

Xg <m>	CC	TCC	El	Sez.	X <cm>	N <daN>	My <daNm>	My ver. <daNm>	Mz <daNm>	Mz ver. <daNm>	Nu <daN>	MRdy <daNm>	MRdz <daNm>	α <grad>	ε _y	Sic.
0.00	29	SLU	1	3	0.00	-12839.40	8140.64		-307.39		-12839.40	29516.40	-1345.78	348.75	7.02	3.627
0.00	29	SLU	1	3	0.00	-12839.40	8140.64		-307.39		-12839.40	29516.40	-1345.78	348.75	7.02	3.627
3.65	29	SLU	1	3	365.00	-10704.20	-8532.85		511.01		-10704.20	-29176.70	1369.32	168.75	7.18	3.417

Stato limite elastico - Verifiche a flessione/pressoflessione

Xg <m>	CC	TCC	El	Sez.	X <cm>	N <daN>	My <daNm>	My ver. <daNm>	Mz <daNm>	Mz ver. <daNm>	Nu <daN>	M' ydy <daNm>	M' ydz <daNm>	α <grad>	ε _y	Sic.
0.00	19	SND	1	3	0.00	-4802.01	18094.10		-864.21		-4802.01	19909.90	-1010.52	348.75	7.63	1.101
0.00	19	SND	1	3	0.00	-4802.01	18094.10		-864.21		-4802.01	19909.90	-1010.52	348.75	7.63	1.101
3.65	19	SND	1	3	365.00	-3159.51	-12176.70		824.79		-3159.51	-19551.00	1015.35	168.75	7.76	1.604

Stato limite d'esercizio - Verifiche tensionali

Xg <m>	CC	TCC	El	Sez.	X <cm>	N <daN>	Mz <daNm>	My <daNm>	AfT <cmq>	AfC <cmq>	σ _c <daN/cm ² >	σ _f <daN/cm ² >
0.00	31	SLE R	1	3	0.00	-9300.13	-222.57	5617.18	18.85	12.57	44.81	833.18
0.00	28	SLE Q	1	3	0.00	-8115.74	-219.53	2413.71	15.71	15.71	20.89	242.66

Fabbricato IS-PPT - Tipologico M - Relazione di calcolo

COMMESSA	LOTTO	CODIFICA	DOCUMENTO	REV.	FOGLIO
RS3T	30 D 26	CL	FA00M0 001	C	96 di 104

0.00	31	SLE R	1	3	0.00	-9300.13	-222.57	5617.18	18.85	12.57	44.81	833.18
0.00	28	SLE Q	1	3	0.00	-8115.74	-219.53	2413.71	15.71	15.71	20.89	242.66
3.65	31	SLE R	1	3	365.00	-7657.63	370.23	-6019.12	18.85	12.57	50.15	995.78
3.65	28	SLE Q	1	3	365.00	-6473.24	367.59	-4197.34	18.85	12.57	36.74	671.83

Stato limite d'esercizio - Verifiche a fessurazione

Xg <m>	CC	TCC	El	Sez.	X <cm>	N <daN>	My <daNm>	Mz <daNm>	c <mm>	s <mm>	K3	s _{zm} <mm>	Φ	A _s <cmq>	A _{c eff} <cmq>	σ _s <daN/cmq>	σ _{sz} <daN/cmq>	ε _{sm}	wk <mm>
0.00	28	SLE Q	1	3	0.00	-8115.74	2413.71	-219.53	49.00	120.50	0.13	195.04	20.00	15.71	1145.71	241.81	946.73	0.05	0.02
0.00	28	SLE Q	1	3	0.00	-8115.74	2413.71	-219.53	49.00	120.50	0.13	195.04	20.00	15.71	1145.71	241.81	946.73	0.05	0.02
3.65	28	SLE Q	1	3	365.00	-6473.24	-4197.34	367.59	49.00	120.50	0.13	190.62	20.00	18.85	1291.59	671.83	1253.46	0.13	0.04

Staffe - Verifiche armatura

X0 <m>	X1 <m>	Staff.	Br _y	Br _z	CC	TCC	bw _y <cm>	Vsdu _y <daN>	ctgθ _y	VRsd _y <daN>	VRcd _y <daN>	bw _z <cm>	Vsdu _z <daN>	ctgθ _z	VRsd _z <daN>	VRcd _z <daN>	Sic. T
0.00	0.61	ø8/ 6	2	2	29	SLU	0.60	224.22	2.50	35551.90	40647.70	0.30	5047.14	1.77	56608.90	56608.90	11.22
0.00	0.61	ø8/ 6	2	2	36	SLU	0.60	835.84	2.50	35551.90	40504.20	0.30	2812.21	1.77	56477.10	56477.00	20.08
0.00	0.61	ø8/ 6	2	2	22	SND	0.60	229.37	2.50	35551.90	40487.10	0.30	8293.38	1.77	56461.40	56461.40	6.81
0.00	0.61	ø8/ 6	2	2	1	SND	0.60	1380.45	2.50	35551.90	40279.30	0.30	2732.26	1.76	56269.80	56269.80	20.59
0.61	3.04	ø8/18	2	2	29	SLU	0.60	224.22	2.50	11850.60	40603.40	0.30	4887.45	2.50	26602.50	45573.50	5.44
0.61	3.04	ø8/18	2	2	36	SLU	0.60	653.34	2.50	11850.60	40459.80	0.30	2812.21	2.50	26602.50	45412.40	9.46
0.61	3.04	ø8/18	2	2	22	SND	0.60	229.37	2.50	11850.60	40453.00	0.30	8293.38	2.50	26602.50	45404.70	3.21
0.61	3.04	ø8/18	2	2	19	SND	0.60	462.73	2.50	11850.60	40540.20	0.30	8293.38	2.50	26602.50	45502.60	3.21
0.61	3.04	ø8/18	2	2	1	SND	0.60	1380.45	2.50	11850.60	40245.20	0.30	2732.26	2.50	26602.50	45171.40	8.58
3.04	3.65	ø8/12	2	2	29	SLU	0.60	224.22	2.50	17776.00	40425.90	0.30	4248.70	2.50	39903.70	45374.30	9.39
3.04	3.65	ø8/12	2	2	36	SLU	0.60	259.16	2.50	17776.00	40282.40	0.30	2812.21	2.50	39903.70	45213.20	14.19
3.04	3.65	ø8/12	2	2	22	SND	0.60	229.37	2.50	17776.00	40316.50	0.30	8293.38	2.50	39903.70	45251.50	4.81
3.04	3.65	ø8/12	2	2	19	SND	0.60	462.73	2.50	17776.00	40403.70	0.30	8293.38	2.50	39903.70	45349.40	4.81
3.04	3.65	ø8/12	2	2	1	SND	0.60	1380.45	2.50	17776.00	40108.70	0.30	2732.26	2.50	39903.70	45018.20	12.88

8.6.2 Verifica limitazioni armatura

Resta da verificare che l'armatura determinata in funzione delle sollecitazioni agenti rispetti le limitazioni riportate nel punto 7.4.6.2.2 delle NTC2018:

- Per tutta la lunghezza del pilastro l'interasse tra le barre non deve essere superiore a 25 cm;
- Nella sezione corrente del pilastro, la percentuale geometrica ρ di armatura longitudinale, con ρ rapporto tra l'area dell'armatura longitudinale e l'area della sezione del pilastro, deve essere compresa entro i seguenti limiti:

$$1\% < \rho < 4\%$$

 ITALFERR GRUPPO FERROVIE DELLO STATO ITALIANE	DIRETTRICE FERROVIARIA MESSINA – CATANIA – PALERMO NUOVO COLLEGAMENTO PALERMO – CATANIA TRATTA LERCARA DIR – CALTANISSETTA XIRBI (LOTTO 3) FABBRICATI					
	Fabbricato IS-PPT - Tipologico M - Relazione di calcolo	COMMESSA	LOTTO	CODIFICA	DOCUMENTO	REV.
	RS3T	30 D 26	CL	FA00M0 001	C	97 di 104

- Nelle zone critiche devono essere rispettate le condizioni seguenti: le barre disposte sugli angoli della sezione devono essere contenute dalle staffe; almeno una barra ogni due, di quelle disposte sui lati, deve essere trattenuta da staffe interne o legature; le barre non fissate si devono trovare a meno di 20 cm da una barra fissata per CDB.
- Il diametro delle staffe di contenimento e legature deve essere non inferiore a 6 mm ed il loro passo deve essere non superiore alla più piccola delle quantità seguenti:
 - 1/2 del lato minore della sezione trasversale per CDB;
 - 175 mm (per CD"B");
 - 8 volte il diametro minimo delle barre longitudinali che collegano (per CD"B")
- li devono disporre staffe in un quantitativo minimo non inferiore a:

$$\frac{A_{st}}{s} = 0.08 \frac{f_{cd} \cdot b_{st}}{f_{yd}}$$

Nel caso specifico risulta:

- Le staffe orizzontali presenti lungo l'altezza del nodo devono verificare la seguente condizione
 Nella quale n_{st} e A_{st} sono rispettivamente il numero di bracci e l'area della sezione trasversale della barra della singola staffa orizzontale, i è l'interasse, e b_j è la larghezza utile del nodo determinata come segue:
 - se la trave ha una larghezza b_w superiore a quella del pilastro b_c , allora b_j è il valore minimo fra b_w e $b_c + h_c/2$, essendo h_c la dimensione della sezione della colonna parallela alla trave;
 - se la trave ha una larghezza b_w inferiore a quella del pilastro b_c , allora b_j è il valore minimo fra b_c e $b_w + h_c/2$.

Devono inoltre essere rispettati i limiti riportati al punto 4.1.6.1.2 delle NTC2018:

- Nel caso di elementi sottoposti a prevalente sforzo normale, le barre parallele all'asse devono avere diametro maggiore od uguale a 12 mm. Inoltre la loro area non deve essere inferiore a :

$$A_{s,min} = (0.10 \cdot \frac{N_{Ed}}{f_{yd}})$$

 ITALFERR GRUPPO FERROVIE DELLO STATO ITALIANE	DIRETTRICE FERROVIARIA MESSINA – CATANIA – PALERMO NUOVO COLLEGAMENTO PALERMO – CATANIA TRATTA LERCARA DIR – CALTANISSETTA XIRBI (LOTTO 3) FABBRICATI					
	Fabbricato IS-PPT - Tipologico M - Relazione di calcolo	COMMESSA RS3T	LOTTO 30 D 26	CODIFICA CL	DOCUMENTO FA00M0 001	REV. C

e comunque non minore di $0.003 A_c$;

dove:

N_{Ed} rappresenta lo sforzo di compressione assiale di calcolo;

A_c è l'area di calcestruzzo;

f_{yd} è il valore della resistenza di calcolo dell'armatura.

Nel caso in esame risulta:

Dati Geometrici

Pilastro:	Base	b=	30,0cm
	Altezza sez.	h=	60,0cm
	Copriferro	c=	5,0cm
	Altezza pil.	hp=	400,0cm
	Altezza libera	hl=	400,0cm

OK

Lim. Geom. 7.4.6.1.2	
b ≥	25cm

Dati di armatura

Tipo CLS	C30/37	(min C20/25)	D.M.(7.4.2.1)
Tipo Acciaio	B450C	(B450C)	D.M.(7.4.2.2)

$$R_{ck} = 37 \text{ N/mm}^2$$

fck=	30,71	fcd=	17,40	D.M.(4.1.2.1.1.1)	fctm=	2,94	D.M.(11.2.10.2)
fyk=	450	fyd=	391,30	D.M.(4.1.2.1.1.3)			

Diametro armatura long.	20	≥ Φ_{12}
Diametro staffe	8	≥ Φ_6

OK ≥ (1/4) Φ_{long}

Armatura longitudinale

n°ferri "b"	4	n°ferri "h"	10
tot sui due lati		tot sui due lati	

$$n^{\circ}\text{ferri}_{tot} = 10$$

$$A_s + A_s' = 31,40\text{cm}^2$$

Limitazioni Armatura longitudinale 7.4.6.2.2

ρ	Arm. min.	Arm. max.	limitazioni	
1,74%	18,0cm ²	72,00cm ²	1% ≤ ρ ≤ 4%	OK

Limitazioni Armatura longitudinale 4.1.6.1.2

Arm. min.	Arm. max.	
5,4	72	OK

Inter. Ferri "b"	24,0cm	OK	≤ 25	OK	≤ - OR Q J
Inter. Ferri "h"	13,5cm	OK	≤ 25	OK	≤ - OR Q J

Si riscontra, pertanto, che l'armatura dei pilastri rispetta i limiti prescritti dalle NTC2018.

 ITALFERR GRUPPO FERROVIE DELLO STATO ITALIANE	DIRETTRICE FERROVIARIA MESSINA – CATANIA – PALERMO NUOVO COLLEGAMENTO PALERMO – CATANIA TRATTA LERCARA DIR – CALTANISSETTA XIRBI (LOTTO 3) FABBRICATI					
	Fabbricato IS-PPT - Tipologico M - Relazione di calcolo	COMMESSA	LOTTO	CODIFICA	DOCUMENTO	REV.
	RS3T	30 D 26	CL	FA00M0 001	C	99 di 104

8.7 VERIFICA DEGLI ELEMENTI STRUTTURALI IN TERMINI DI CONTENIMENTO DEL DANNO AGLI ELEMENTI NON STRUTTURALI (SLO)

Per le costruzioni ricadenti in classe d'uso I e II si deve verificare che l'azione sismica di progetto non produca agli elementi costruttivi senza funzione strutturale danni tali da rendere la costruzione temporaneamente inagibile.

Nel caso delle costruzioni civili e industriali, qualora la temporanea inagibilità sia dovuta a spostamenti eccessivi d'interpiano, questa condizione si può ritenere soddisfatta quando gli spostamenti d'interpiano ottenuti dall'analisi in presenza di dell'azione sismica di progetto relativa allo SLD siano inferiori a:

$$d_r \leq 0,01h$$

per tamponamenti progettati in modo da non subire danni a seguito di spostamenti d'interpiano, per effetto della loro deformabilità intrinseca ovvero dei collegamenti alla struttura.

Considerando h altezza d'interpiano che vale 4,00 m si ottiene che deve essere:

$$d_r < 0,04 \text{ m.}$$

Per le costruzioni ricadenti in classe d'uso III e IV si deve verificare che l'azione sismica di progetto non produca danni agli elementi costruttivi senza funzione strutturale tali da rendere temporaneamente non operativa la costruzione.

Nel caso delle costruzioni civili e industriali questa condizione si può ritenere soddisfatta quando gli spostamenti interpiano ottenuti dall'analisi in presenza dell'azione sismica di progetto relativa allo SLO siano inferiori ai 2/3 dei limiti in precedenza indicati.

$$U1 = d_r = 0,0033 \text{ m} < 2 \cdot 0,01 \cdot h / 3 = 0,04 \cdot 2 / 3 = 0,0266 \text{ m.}$$

Si riporta di seguito la tabella degli spostamenti calcolati in testa ai pilastri nella combinazione più gravosa SLD_Uy.

N1	N2	h <m>	δ <cm>	δ/h	CC
1	101	4.15	0.30	0.71	24
5	105	4.15	0.30	0.71	21
9	109	4.15	0.29	0.70	9
13	113	4.15	0.31	0.75	12

N1	N2	h <m>	δ <cm>	δ/h	CC
2	102	4.15	0.29	0.70	24
6	106	4.15	0.31	0.75	21
10	110	4.15	0.28	0.68	9
14	114	4.15	0.33	0.79	12

N1	N2	h <m>	δ <cm>	δ/h	CC
3	103	4.15	0.28	0.68	24
7	107	4.15	0.33	0.79	21
11	111	4.15	0.28	0.67	9

N1	N2	h <m>	δ <cm>	δ/h	CC
4	104	4.15	0.28	0.66	24
8	108	4.15	0.30	0.72	9
12	112	4.15	0.29	0.71	12

Come si vede in tabella lo spostamento massimo 0.0079 m è inferiore di quello ammissibile.

9 REAZIONI VINCOLARI

Di seguito si riportano le reazioni vincolari alla base dei pilastri scaturite dalle analisi della struttura.

REAZIONI VINCOLARI APPLICATE IN CORRISPONDENZA DEI NODI DELLA SOVRASTRUTTURA CC13 - SND e SLV (coincidenti in quanto $q = 1.5$)

Nodo	CC	TCC	Fx <kN>	Fy <kN>	Fz <kN>	Mx <kNm>	My <kNm>	Mz <kNm>
2	13	SLV	37,855	19,892	124,041	-5,350	88,233	0,468
2	13	SLV	-33,379	8,300	110,952	-29,952	-78,746	0,409
9	13	SLV	34,194	12,235	127,248	38,318	79,760	0,468
9	13	SLV	-37,040	-23,827	114,158	13,716	-87,218	0,409
10	13	SLV	33,588	13,684	132,778	39,961	78,953	0,468
10	13	SLV	-37,543	-25,527	123,295	14,933	-87,888	0,409
3	13	SLV	37,234	23,409	131,305	-10,455	87,405	0,468
3	13	SLV	-33,897	11,565	121,822	-35,483	-79,436	0,409
4	13	SLV	36,648	26,345	149,950	-14,953	86,625	0,468
4	13	SLV	-30,431	14,384	130,128	-40,226	-74,817	0,409
11	13	SLV	33,188	14,621	150,668	40,728	78,421	0,468
11	13	SLV	-33,891	-26,582	130,845	15,455	-83,021	0,409
12	13	SLV	30,973	12,645	147,778	37,392	75,468	0,468
12	13	SLV	-38,250	-24,743	121,546	11,825	-88,830	0,409
5	13	SLV	34,532	26,862	150,149	-16,306	83,804	0,468
5	13	SLV	-34,691	14,764	123,917	-41,873	-80,494	0,409
6	13	SLV	38,107	24,852	134,312	-14,204	88,569	0,468
6	13	SLV	-32,752	12,771	113,358	-39,827	-77,910	0,409
13	13	SLV	34,474	8,986	132,047	31,790	80,134	0,468
13	13	SLV	-36,385	-21,068	111,094	6,167	-86,345	0,409
14	13	SLV	9,367	6,846	98,836	46,449	21,279	0,468
14	13	SLV	-13,805	27,323	55,267	-36,220	-28,227	0,409
7	13	SLV	10,587	43,071	107,048	-1,825	23,837	0,468
7	13	SLV	-12,584	8,902	63,479	-84,494	-25,670	0,409
8	13	SLV	12,800	7,848	102,470	79,430	25,946	0,468
8	13	SLV	-12,150	-40,198	50,815	1,206	-25,978	0,409
1	13	SLV	14,098	24,838	94,971	35,872	28,609	0,468
1	13	SLV	-10,851	-7,512	43,316	-42,352	-23,315	0,409

REAZIONI VINCOLARI APPLICATE IN CORRISPONDENZA DEI NODI DELLA SOVRASTRUTTURA CC29 - SLU

Nodo	CC	TCC	Fx <kN>	Fy <kN>	Fz <kN>	Mx <kNm>	My <kNm>	Mz <kNm>
2	29	SLU	0,516	42,544	181,187	-55,093	0,582	-0,013
9	29	SLU	0,670	-8,358	176,739	14,092	0,892	-0,013
10	29	SLU	-0,156	-12,292	190,297	19,460	-0,209	-0,013
3	29	SLU	-0,259	46,644	194,156	-60,645	-0,450	-0,013
4	29	SLU	1,855	49,775	214,609	-64,880	2,367	-0,013
11	29	SLU	1,956	-15,470	210,777	23,800	2,605	-0,013
12	29	SLU	-2,526	-14,320	203,703	22,264	-3,367	-0,013
5	29	SLU	-2,632	48,550	207,451	-63,189	-3,612	-0,013
6	29	SLU	1,121	43,842	186,789	-56,771	1,389	-0,013
13	29	SLU	1,192	-9,838	182,617	16,190	1,588	-0,013
14	29	SLU	2,234	-5,773	110,585	-6,454	-3,036	-0,013
7	29	SLU	2,242	50,471	128,394	-81,406	-3,074	-0,013
8	29	SLU	1,405	-2,393	97,439	-11,447	1,910	-0,013
1	29	SLU	1,332	48,069	115,620	-78,692	1,784	-0,013

 ITALFERR GRUPPO FERROVIE DELLO STATO ITALIANE	DIRETTRICE FERROVIARIA MESSINA – CATANIA – PALERMO NUOVO COLLEGAMENTO PALERMO – CATANIA TRATTA LERCARA DIR – CALTANISSETTA XIRBI (LOTTO 3) FABBRICATI					
	Fabbricato IS-PPT - Tipologico M - Relazione di calcolo	COMMESSA	LOTTO	CODIFICA	DOCUMENTO	REV.
	RS3T	30 D 26	CL	FA00M0 001	C	102 di 104

10 VERIFICHE AL FUOCO

Le verifiche di resistenza al fuoco sono state condotte secondo le prescrizioni dettate dal DM 16-02-2007 “Classificazione di resistenza al fuoco di prodotti ed elementi costruttivi di opere da costruzione” (GU n. 74 del 29-3-2007- Suppl. Ordinario n. 87);

Nello specifico si è proceduto per la classificazione della resistenza al fuoco delle varie parti della struttura tramite il metodo tabellare semplificato, tale metodo consente di omettere la verifica analitica di resistenza al fuoco della sezione adottando un opportuno copriferro baricentrico delle barre longitudinali in base alla funzione degli elementi portanti, della loro esposizione al calore e della Classe di capacità di prestazione R che si vuole garantire.

Tutte le zone: **R 120**

Si effettuerà la definizione del copriferro minimo da adottare in base alla classe di resistenza al fuoco **R** minima che dobbiamo garantire.

10.1 RESISTENZA AL FUOCO: TRAVI

Riportiamo di seguito il prospetto D.6.1 relativo alle Travi in calcestruzzo armato ordinario e precompresso:

Classe	Combinazioni possibili di b e a				b _w
30	b = 80 / a = 25	120 / 20	160 / 15	200 / 15	80
60	b = 120 / a = 40	160 / 35	200 / 30	300 / 25	100
90	b = 150 / a = 55	200 / 45	300 / 40	400 / 35	100
120	b = 200 / a = 65	240 / 60	300 / 55	500 / 50	120
180	b = 240 / a = 80	300 / 70	400 / 65	600 / 60	140
240	b = 280 / a = 90	350 / 80	500 / 75	700 / 70	160

I valori di a devono essere non inferiori ai minimi di regolamento per le opere di c.a. e c.a.p. In caso di armatura pre-tesa aumentare i valori di a di 15 mm. In presenza di intonaco i valori di b e a ne possono tenere conto nella maniera indicata nella tabella D.5.1. Per ricoprimenti di calcestruzzo superiori a 50 mm prevedere una armatura diffusa aggiuntiva che assicuri la stabilità del ricoprimento.

Classe di resistenza al fuoco R 120

Dal prospetto sopra si evince che per garantire la Classe R 120 è richiesta una larghezza minima delle travi pari a 300 mm con copriferro baricentrico pari a 55mm.

 ITALFERR GRUPPO FERROVIE DELLO STATO ITALIANE	DIRETTRICE FERROVIARIA MESSINA – CATANIA – PALERMO NUOVO COLLEGAMENTO PALERMO – CATANIA TRATTA LERCARA DIR – CALTANISSETTA XIRBI (LOTTO 3) FABBRICATI					
	Fabbricato IS-PPT - Tipologico M - Relazione di calcolo	COMMESSA	LOTTO	CODIFICA	DOCUMENTO	REV.
	RS3T	30 D 26	CL	FA00M0 001	C	103 di 104

10.2 RESISTENZA AL FUOCO: PILASTRI

Riportiamo di seguito il prospetto D.6.2 relativo ai Pilastri in calcestruzzo armato ordinario e precompresso:

Classe	Esposto su più lati		Esposto su un lato
30	B = 200 / a = 30	300 / 25-	160 / 25
60	B = 250 / a = 45	350 / 40	160 / 25
90	B = 350 / a = 50	450 / 40	160 / 25
120	B = 350 / a = 60	450 / 50	180 / 35
180	B = 450 / a = 70	-	230 / 55
240	-	-	300 / 70

I valori di a devono essere non inferiori ai minimi di regolamento per le opere di c.a. e c.a.p. In caso di armatura pre-tesa aumentare i valori di a di 15 mm. In presenza di intonaco i valori di a ne possono tenere conto nella maniera indicata nella tabella D.5.1. Per ricoprimenti di calcestruzzo superiori a 50 mm prevedere una armatura diffusa aggiuntiva che assicuri la stabilità del ricoprimento.

Si ricade nel caso di pilastri esposti su un lato.

Classe di resistenza al fuoco R 120

Dal prospetto sopra si evince che per garantire la Classe R 120 avendo pilastri esposti su un lato, è richiesta una larghezza minima dei pilastri pari a 180 mm e un copriferro baricentrico pari a 35 mm.

10.3 RESISTENZA AL FUOCO: SOLAI

Riportiamo di seguito il prospetto D.5.1 relativo alle solette e solai in calcestruzzo armato:

Classe	30	60	90	120	180	240
Solette piene con armatura monodirezionale	H = 80 / a = 10	120 / 20	120 / 30	160 / 40	200 / 55	240 / 65
Solai misti di lamiera di acciaio con riempimento di calcestruzzo (1)	H = 80 / a = 10	120 / 20	120 / 30	160 / 40	200 / 55	240 / 65
Solai a travetti con alleggerimento (2)	H = 160 / a = 15	200 / 30	240 / 35	240 / 45	300 / 60	300 / 75
Solai a lastra con alleggerimento (3)	H = 160 / a = 15	200 / 30	240 / 35	240 / 45	300 / 60	300 / 75

I valori di a devono essere non inferiori ai minimi di regolamento per le opere di c.a. e c.a.p. In caso di armatura pre-tesa aumentare i valori di a di 15 mm. In presenza di intonaco i valori di H e a ne devono tenere conto nella seguente maniera: 10 mm di intonaco normale (definizione in D.4.1) equivale ad 10 mm di calcestruzzo; 10 mm di intonaco protettivo antincendio (definizione in D.4.1) equivale a 20 mm di calcestruzzo. Per ricoprimenti di calcestruzzo superiori a 50 mm prevedere una armatura diffusa aggiuntiva che assicuri la stabilità del ricoprimento.

(1) In caso di lamiera grecata H rappresenta lo spessore medio della soletta. Il valore di a non comprende lo spessore della lamiera. La lamiera ha unicamente funzione di cassero. In caso contrario la lamiera va protetta secondo quanto indicato in D.7.1

(2) Deve essere sempre presente uno strato di intonaco normale di spessore non inferiore a 20 mm ovvero uno strato di intonaco isolante di spessore non inferiore a 10 mm.

(3) In caso di alleggerimento in polistirene o materiali affini prevedere opportuni sfoghi delle sovrappressioni.

 ITALFERR GRUPPO FERROVIE DELLO STATO ITALIANE	DIRETTRICE FERROVIARIA MESSINA – CATANIA – PALERMO NUOVO COLLEGAMENTO PALERMO – CATANIA TRATTA LERCARA DIR – CALTANISSETTA XIRBI (LOTTO 3) FABBRICATI												
Fabbricato IS-PPT - Tipologico M - Relazione di calcolo	<table border="1"> <thead> <tr> <th>COMMESSA</th> <th>LOTTO</th> <th>CODIFICA</th> <th>DOCUMENTO</th> <th>REV.</th> <th>FOGLIO</th> </tr> </thead> <tbody> <tr> <td>RS3T</td> <td>30 D 26</td> <td>CL</td> <td>FA00M0 001</td> <td>C</td> <td>104 di 104</td> </tr> </tbody> </table>	COMMESSA	LOTTO	CODIFICA	DOCUMENTO	REV.	FOGLIO	RS3T	30 D 26	CL	FA00M0 001	C	104 di 104
COMMESSA	LOTTO	CODIFICA	DOCUMENTO	REV.	FOGLIO								
RS3T	30 D 26	CL	FA00M0 001	C	104 di 104								

Classe di resistenza al fuoco R 120

Dal prospetto sopra si evince che per garantire la Classe R 120 per solai a travetti con alleggerimento, si deve avere uno spessore minimo pari a 240 mm ed un copri ferro baricentrico delle barre pari a 45 mm.

Si adotta solaio a predalle 4+16+4.

Copri ferro baricentrico delle barre dei travetti ($\varnothing 16$) = 40mm (predalle) + 8mm = 45mm.

11 CONCLUSIONI

Con la presente relazione si è proceduto al progetto e alla verifica delle strutture in elevazione e di fondazione allo stato limite ultimo e allo stato limite di esercizio del “Fabbricato IS-PPT – Tipologico M” da realizzare nelle seguenti ubicazioni lungo la tratta in progetto:

- PT51 - Fabbricato Stazione Villalba
- PT57 – Fabbricato – Imbocco lato Ovest galleria Trabona lato PA

Si riportano di seguito le incidenze di armatura dei principali elementi strutturali:

Fondazione Fabbricato	110 kg/m ³
Pilastrini Fabbricato	220 kg/m ³
Travi Fabbricato	130 kg/m ³

Introduzione

Sistemi di riferimento

Le coordinate, i carichi concentrati, i cedimenti, le reazioni vincolari e gli spostamenti dei NODI sono riferiti ad una terna destra cartesiana globale con l'asse Z verticale rivolto verso l'alto. I carichi in coordinate locali e le sollecitazioni delle ASTE sono riferite ad una terna destra cartesiana locale così definita:

- origine nel nodo iniziale dell'asta;
- asse X coincidente con l'asse dell'asta e con verso dal nodo iniziale al nodo finale;
- immaginando la trave a sezione rettangolare l'asse Y è parallelo alla base e l'asse Z è parallelo all'altezza.

La rotazione dell'asta comporta quindi una rotazione di tutta la terna locale.

Si può immaginare la terna locale di un'asta comunque disposta nello spazio come derivante da quella globale dopo una serie di trasformazioni:

- una rotazione intorno all'asse Z che porti l'asse X a coincidere con la proiezione dell'asse dell'asta sul piano orizzontale;
- una traslazione lungo il nuovo asse X così definito in modo da portare l'origine a coincidere con la proiezione del nodo iniziale dell'asta sul piano orizzontale;
- una traslazione lungo l'asse Z che porti l'origine a coincidere con il nodo iniziale dell'asta;
- una rotazione intorno all'asse Y così definito che porti l'asse X a coincidere con l'asse dell'asta;
- una rotazione intorno all'asse X così definito pari alla rotazione dell'asta.

In pratica le travi prive di rotazione avranno sempre l'asse Z rivolto verso l'alto e l'asse Y nel piano del solaio, mentre i pilastri privi di rotazione avranno l'asse Y parallelo all'asse Y globale e l'asse Z parallelo ma controverso all'asse X globale. Da notare quindi che per i pilastri la "base" è il lato parallelo a Y.

Le sollecitazioni ed i carichi in coordinate locali negli ELEMENTI BIDIMENSIONALI e nei MURI sono riferiti ad una terna destra cartesiana locale così definita:

- origine nel primo nodo dell'elemento;
- asse X coincidente con la congiungente il primo ed il secondo nodo dell'elemento;
- asse Y definito come prodotto vettoriale fra il versore dell'asse X e il versore della congiungente il primo e il quarto nodo. Asse Z a formare con gli altri due una terna destrorsa.

Praticamente un elemento verticale con l'asse X locale coincidente con l'asse X globale ha anche gli altri assi locali coincidenti con quelli globali.

Rotazioni e momenti

Seguendo il principio adottato per tutti i carichi che sono positivi se CONTROVERSI agli assi, anche i momenti concentrati e le rotazioni impresse in coordinate globali risultano positivi se CONTROVERSI al segno positivo delle rotazioni. Il segno positivo dei momenti e delle rotazioni è quello orario per l'osservatore posto nell'origine: X ruota su Y, Y ruota su Z, Z ruota su X. In pratica è sufficiente adottare la regola della mano destra: col pollice rivolto nella direzione dell'asse, la rotazione che porta a chiudere il palmo della mano corrisponde al segno positivo.

Normativa di riferimento

La normativa di riferimento è la seguente:

- Legge n. 64 del 2/2/1974 - Provvedimenti per le costruzioni con particolari prescrizioni per le zone sismiche.
- D.M. del 24/1/1986 - Norme tecniche relative alle costruzioni sismiche.
- Legge n. 1086 del 5/11/1971 - Norme per la disciplina delle opere di conglomerato cementizio armato, normale e precompresso ed a struttura metallica.
- D.M. del 14/2/1992 - Norme tecniche per l'esecuzione delle opere in c.a. normale e precompresso e per le strutture metalliche.
- D.M. del 9/1/1996 - Norme tecniche per l'esecuzione delle opere in c.a. normale e precompresso e per le strutture metalliche.
- D.M. del 16/1/1996 - Norme tecniche per le costruzioni in zone sismiche.
- Circolare n. 21745 del 30/7/1981 - Legge n. 219 del 14/5/1981 - Art. 10 - Istruzioni relative al rafforzamento degli edifici in muratura danneggiati dal sisma.
- Regione Autonoma Friuli Venezia Giulia - Legge Regionale n. 30 del 20/6/1977 - Documentazione tecnica per la progettazione e direzione delle opere di riparazione degli edifici - Documento Tecnico n. 2 - Raccomandazioni per la riparazione strutturale degli edifici in muratura.
- D.M. del 20/11/1987 - Norme Tecniche per la progettazione, esecuzione e collaudo degli edifici in muratura e per il loro consolidamento.
- Norme Tecniche C.N.R. n. 10011-85 del 18/4/1985 - Costruzioni di acciaio - Istruzioni per il calcolo, l'esecuzione, il collaudo e la manutenzione.
- Norme Tecniche C.N.R. n. 10025-84 del 14/12/1984 - Istruzioni per il progetto, l'esecuzione ed il controllo delle strutture prefabbricate in conglomerato cementizio e per le strutture costruite con sistemi industrializzati di acciaio - Istruzioni per il calcolo, l'esecuzione, il collaudo e la manutenzione.

Relazione di calcolo

- Circolare n. 65 del 10/4/1997 - Istruzioni per l'applicazione delle "Norme tecniche per le costruzioni in zone sismiche" di cui al D.M. del 16/1/1996.
- Eurocodice 5 - Progettazione delle strutture di legno.
- DIN 1052 - Metodi di verifica per il legno.
- D.M. del 17/1/2018 - Norme tecniche per le costruzioni.
- Documento Tecnico CNR-DT 200 R1/2012 - Istruzioni per la Progettazione, l'Esecuzione ed il Controllo di Interventi di Consolidamento Statico mediante l'utilizzo di Compositi Fibrorinforzati.
- Eurocodice 3 - Progettazione delle strutture in acciaio.

Unità di misura

Le unità di misura adottate sono le seguenti:

- lunghezze : m
- forze : daN
- masse : kg
- temperature : gradi centigradi
- angoli : gradi sessadecimali o radianti

Geometria

Elenco vincoli nodi

Simbologia

- Vn = Numero del vincolo nodo
 Comm. = Commento
 Sx = Spostamento in dir. X (L=libero, B=bloccato, E=elastico)
 Sy = Spostamento in dir. Y (L=libero, B=bloccato, E=elastico)
 Sz = Spostamento in dir. Z (L=libero, B=bloccato, E=elastico)
 Rx = Rotazione intorno all'asse X (L=libera, B=bloccata, E=elastica)
 Ry = Rotazione intorno all'asse Y (L=libera, B=bloccata, E=elastica)
 Rz = Rotazione intorno all'asse Z (L=libera, B=bloccata, E=elastica)
 RL = Rotazione libera
 Ly = Lunghezza (dir. Y locale)
 Lz = Larghezza (dir. Z locale)
 Kt = Coeff. di sottofondo su suolo elastico alla Winkler

Vn	Comm.	Sx	Sy	Sz	Rx	Ry	Rz	RL	Ly	Lz	Kt
		<m>	<m>	<m>	<m>	<m>	<m>	<m>	<m>	<m>	<daN/cmc>
1	Libero	L	L	L	L	L	L				
2	Incastro	B	B	B	B	B	B				

Elenco nodi

Simbologia

- Nodo = Numero del nodo
 X = Coordinata X del nodo
 Y = Coordinata Y del nodo
 Z = Coordinata Z del nodo
 Imp. = Numero dell'impalcato
 Vn = Numero del vincolo nodo

Nodo	X	Y	Z	Imp.	Vn	Nodo	X	Y	Z	Imp.	Vn	Nodo	X	Y	Z	Imp.	Vn	Nodo	X	Y	Z	Imp.	Vn
	<m>	<m>	<m>				<m>	<m>	<m>				<m>	<m>	<m>				<m>	<m>	<m>		
1	0.30	0.15	0.00	0	2	2	3.90	0.15	0.00	0	2	3	8.40	0.15	0.00	0	2	4	12.90	0.15	0.00	0	2
5	18.55	0.15	0.00	0	2	6	22.65	0.15	0.00	0	2	7	27.00	0.15	0.00	0	2	8	0.30	5.85	0.00	0	2
9	3.90	5.85	0.00	0	2	10	8.40	5.85	0.00	0	2	11	12.90	5.85	0.00	0	2	12	18.55	5.85	0.00	0	2
13	22.65	5.85	0.00	0	2	14	27.00	5.85	0.00	0	2	101	0.30	0.15	4.15	1	1	102	3.90	0.15	4.15	1	1
103	8.40	0.15	4.15	1	1	104	12.90	0.15	4.15	1	1	105	18.55	0.15	4.15	1	1	106	22.65	0.15	4.15	1	1
107	27.00	0.15	4.15	1	1	108	0.30	5.85	4.15	1	1	109	3.90	5.85	4.15	1	1	110	8.40	5.85	4.15	1	1
111	12.90	5.85	4.15	1	1	112	18.55	5.85	4.15	1	1	113	22.65	5.85	4.15	1	1	114	27.00	5.85	4.15	1	1

Elenco materiali

Simbologia

- Mat. = Numero del materiale
 Comm. = Commento
 P = Peso specifico
 E = Modulo elastico
 G = Modulo elastico tangenziale
 v = Coeff. di Poisson
 α = Coeff. di dilatazione termica

Mat.	Comm.	P	E	G	v	α
		<daN/mc>	<daN/cm ² >	<daN/cm ² >		
5	Calcestruzzo classe C25/30	2500	314472.00	142942.00	0.1	1.000000E-05
7	Calcestruzzo classe C30/37	2500	330194.00	150088.00	0.1	1.000000E-05

Elenco sezioni aste

Simbologia

- Sez. = Numero della sezione
- Comm. = Commento
- Tipo = Tipologia
 - 2C = Doppia C lato labbri
 - 2Cdx = Doppia C lato costola
 - 2I = Doppia I
 - 2L = Doppia L lato labbri
 - 2Ldx = Doppia L lato costole
 - C = Sezione a C
 - Cdx = C destra
 - Cir. = Circolare
 - Cir.c = Circolare cava
 - I = Sezione a I
 - L = Sezione a L
 - Ldx = L destra
 - Om. = Omega
 - Pg = Pi greco
 - Pr = Poligono regolare
 - Prc = Poligono regolare cavo
 - Pc = Per coordinate
 - Ia = Inerzie assegnate
 - R = Rettangolare
 - Rc = Rettangolare cava
 - T = Sezione a T
 - U = Sezione a U
 - Ur = U rovescia
 - V = Sezione a V
 - Vr = V rovescia
 - Z = Sezione a Z
 - Zdx = Z destra
 - Ts = T stondata
 - Ls = L stondata
 - Cs = C stondata
 - Is = I stondata
 - Dis. = Disegnata
- Mem. = Membratura
 - G = Generica
 - T = Trave
 - P = Pilastro
- Ver. = Verifica prevista
 - N = Nessuna
 - C = Cemento armato
 - A = Acciaio
 - L = Legno
- B = Base
- H = Altezza
- Ma = Numero del materiale
- C = Numero del criterio di progetto
- Crit. C.I. = Criterio di progetto collegamento iniziale
- Crit. C.F. = Criterio di progetto collegamento finale

Sez.	Comm.	Tipo	Mem.	Ver.	B <cm>	H <cm>	Ma	C	Crit. C.I.	Crit. C.F.
1	Trave 30x50	R	T	C	30.00	50.00	7	1		
2	Trave 30x40	R	T	C	30.00	40.00	7	1		
3	pilastro 30x60	R	P	C	30.00	60.00	7	1		

Elenco vincoli aste

Simbologia

- Va = Numero del vincolo asta
- Comm. = Commento
- Tipo = Tipologia
 - SVI = Definizione di vincolamenti interni
 - ELA = Vincolo su suolo elastico alla Winkler
 - BIE-RTC = Biella resistente a trazione e a compressione
 - BIE-RC = Biella resistente solo a compressione
 - BIE-RT = Biella resistente solo a trazione
- Ni = Sforzo normale nodo iniziale (0=sbloccato, 1=bloccato)
- Tyi = Taglio in dir. Y locale nodo iniziale (0=sbloccato, 1=bloccato)
- Tzi = Taglio in dir. Z locale nodo iniziale (0=sbloccato, 1=bloccato)
- Mxi = Momento intorno all'asse X locale nodo iniziale (0=sbloccato, 1=bloccato)
- Myi = Momento intorno all'asse Y locale nodo iniziale (0=sbloccato, 1=bloccato)
- Mzi = Momento intorno all'asse Z locale nodo iniziale (0=sbloccato, 1=bloccato)
- Nf = Sforzo normale nodo finale (0=sbloccato, 1=bloccato)
- Tyf = Taglio in dir. Y locale nodo finale (0=sbloccato, 1=bloccato)
- Tzf = Taglio in dir. Z locale nodo finale (0=sbloccato, 1=bloccato)
- Mxf = Momento intorno all'asse X locale nodo finale (0=sbloccato, 1=bloccato)
- Myf = Momento intorno all'asse Y locale nodo finale (0=sbloccato, 1=bloccato)

Relazione di calcolo

Mzf =Momento intorno all'asse Z locale nodo finale (0=sbloccato, 1=bloccato)
 Kt =Coeff. di sottofondo su suolo elastico alla Winkler

Va	Comm.	Tipo	Ni	Tyi	Tzi	Mxi	Myi	Mzi	Nf	Tyf	Tzf	Mxf	Myf	Mzf	Kt
															<daN/cm<
1	Inc+Inc	SVI	1	1	1	1	1	1	1	1	1	1	1	1	1

Elenco aste

Simbologia

Asta=Numero dell'asta
 N1 =Nodo iniziale
 N2 =Nodo finale
 Sez.=Numero della sezione
 Va =Numero del vincolo asta
 Par.=Numero dei parametri aggiuntivi
 Rot.=Rotazione
 FF =Filo fisso
 Dy1 =Scost. filo fisso Y1
 Dy2 =Scost. filo fisso Y2
 Dz1 =Scost. filo fisso Z1
 Dz2 =Scost. filo fisso Z2
 Kt =Coeff. di sottofondo su suolo elastico alla Winkler

Asta	N1	N2	Sez.	Va	Par.	Rot.	FF	Dy1	Dy2	Dz1	Dz2	Kt
							<grad>	<cm>	<cm>	<cm>	<cm>	<daN/cm<
1	1	101	3	1		90.00	55	0.00	0.00	-15.00	-15.00	
2	2	102	3	1		0.00	55	0.00	0.00	0.00	0.00	
3	3	103	3	1		0.00	55	0.00	0.00	0.00	0.00	
4	4	104	3	1		0.00	55	0.00	0.00	0.00	0.00	
5	5	105	3	1		0.00	55	0.00	0.00	0.00	0.00	
6	6	106	3	1		0.00	55	0.00	0.00	0.00	0.00	
7	7	107	3	1		90.00	55	0.00	0.00	-15.00	-15.00	
8	8	108	3	1		90.00	55	0.00	0.00	15.00	15.00	
9	9	109	3	1		0.00	55	0.00	0.00	0.00	0.00	
10	10	110	3	1		0.00	55	0.00	0.00	0.00	0.00	
11	11	111	3	1		0.00	55	0.00	0.00	0.00	0.00	
12	12	112	3	1		0.00	55	0.00	0.00	0.00	0.00	
13	13	113	3	1		0.00	55	0.00	0.00	0.00	0.00	
14	14	114	3	1		90.00	55	0.00	0.00	15.00	15.00	
101	101	102	2	1		0.00	22	0.00	0.00	0.00	0.00	
101	102	103	2	1		0.00	22	0.00	0.00	0.00	0.00	
101	103	104	2	1		0.00	22	0.00	0.00	0.00	0.00	
101	104	105	2	1		0.00	22	0.00	0.00	0.00	0.00	
101	105	106	2	1		0.00	22	0.00	0.00	0.00	0.00	
101	106	107	2	1		0.00	22	0.00	0.00	0.00	0.00	
103	108	109	2	1		0.00	22	0.00	0.00	0.00	0.00	
103	109	110	2	1		0.00	22	0.00	0.00	0.00	0.00	
103	110	111	2	1		0.00	22	0.00	0.00	0.00	0.00	
103	111	112	2	1		0.00	22	0.00	0.00	0.00	0.00	
103	112	113	2	1		0.00	22	0.00	0.00	0.00	0.00	
103	113	114	2	1		0.00	22	0.00	0.00	0.00	0.00	
104	101	108	1	1		0.00	22	0.00	0.00	0.00	0.00	
105	102	109	1	1		0.00	22	0.00	0.00	0.00	0.00	
106	103	110	1	1		0.00	22	0.00	0.00	0.00	0.00	
107	104	111	1	1		0.00	22	0.00	0.00	0.00	0.00	
108	105	112	1	1		0.00	22	0.00	0.00	0.00	0.00	
109	106	113	1	1		0.00	22	0.00	0.00	0.00	0.00	
110	107	114	1	1		0.00	22	0.00	0.00	0.00	0.00	

Elenco tipi solai

Simbologia

Ts =Numero del tipo solaio
 Comm. =Commento
 Rc =Ripartizione carichi
 UN = Unidirezionale
 PP = A piastra perimetrale
 PB = A piastra bisettrice
 Qps =Carico permanente strutturale
 Qpn =Carico permanente non strutturale
 QA =Primo carico accidentale
 QA2 =Secondo carico accidentale
 QA3 =Terzo carico accidentale
 Rip. ter. =Ripartizione su aste terminali
 Rip. int. =Ripartizione su aste interne
 Lf1 =Larghezza fascia laterale
 Zcv =Quota di riferimento del piano di campagna
 s =Coeff. di riduzione
 Hs =Altezza solaio
 Sc =Spessore cappa
 Crit. =Numero del criterio di progetto

Relazione di calcolo

Ts	Comm.	Rc	Qps <daN/mq>	Qpn <daN/mq>	QA <daN/mq>	QA2 <daN/mq>	QA3 <daN/mq>	Rip. ter.	Rip. int.	Lfl <m>	Zcv <m>	s	Hs <cm>	Sc <cm>	Crit.
1	Solaio copertura	UN	330.00	260.00	95.00	0.00	0.00	50.00	50.00	0.00	0.00	0.33	24.00	4.00	1

Elenco solai

Simbologia

Sol. = Numero del solaio
 Ts = Numero del tipo solaio
 Ord. = Orditura
 Nodi = Nodi del solaio

Sol.	Ts	Ord. <grad>	Nodi	Sol.	Ts	Ord. <grad>	Nodi	Sol.	Ts	Ord. <grad>	Nodi
100	1	0.00	101 102 109 108	101	1	0.00	102 103 110 109	102	1	0.00	103 104 111 110
103	1	0.00	104 105 112 111	104	1	0.00	105 106 113 112	105	1	0.00	106 107 114 113

Carichi

Condizioni di carico elementari

Simbologia

CCE = Numero della condizione di carico elementare
 Comm. = Commento
 Tipo CCE = Tipo di CCE per calcolo agli stati limite
 Sic. = Contributo alla sicurezza
 F = a favore
 S = a sfavore
 A = ambigua
 Var. = Tipo di variabilità
 B = di base
 I = indipendente
 A = ambigua
 Dir. = Direzione del vento
 Tipo = Tipologia di pressione vento
 M = Massimizzata
 E = Esterna
 I = Interna
 Mx = Moltiplicatore della massa in dir. X
 My = Moltiplicatore della massa in dir. Y
 Mz = Moltiplicatore della massa in dir. Z
 Jpx = Moltiplicatore del momento d'inerzia intorno all'asse X
 Jpy = Moltiplicatore del momento d'inerzia intorno all'asse Y
 Jpz = Moltiplicatore del momento d'inerzia intorno all'asse Z

CCE	Comm.	Tipo CCE	Sic.	Var.	Dir. <grad>	Tipo	Mx	My	Mz	Jpx	Jpy	Jpz
1	Peso proprio	1 D.M. 18 Permanenti strutturali	S	--	--	--	1.00	1.00	0.00	0.00	0.00	1.00
2	Peso proprio solai	1 D.M. 18 Permanenti strutturali	S	--	--	--	1.00	1.00	0.00	0.00	0.00	1.00
3	Permanente solai	2 D.M. 18 Permanenti non strutturali	S	--	--	--	1.00	1.00	0.00	0.00	0.00	1.00
4	Accidentali copertura	12 D.M. 18 Variabili Neve (a quota <= 1000 m s.l.m.)	S	B	--	--	1.00	1.00	0.00	0.00	0.00	1.00
5	Tamponature	2 D.M. 18 Permanenti non strutturali	S	--	--	--	1.00	1.00	0.00	0.00	0.00	1.00
6	Vento x	11 D.M. 18 Variabili Vento	S	A	0.00	M	0.00	0.00	0.00	0.00	0.00	0.00
7	Variazione termica	10 D.M. 18 Variabili Variazioni termiche	S	B	--	--	1.00	1.00	0.00	0.00	0.00	1.00
8	Vento Y	11 D.M. 18 Variabili Vento	S	A	90.00	M	0.00	0.00	0.00	0.00	0.00	0.00

Elenco carichi aste

Condizione di carico n. 1: Peso proprio

Elenco peso proprio aste

Simbologia

Sez. = Numero della sezione
 Comm. = Commento
 A = Area
 Mat. = Materiale
 P = Peso specifico
 PL = Peso specifico a metro lineare

Sez.	Comm.	A <cmq>	Mat.	P <daN/mc>	PL <daN/m>
1	Trave 30x50	1500.000000	Calcestruzzo classe C30/37	2500.00	375.00
2	Trave 30x40	1200.000000	Calcestruzzo classe C30/37	2500.00	300.00
3	pilastro 30x60	1800.000000	Calcestruzzo classe C30/37	2500.00	450.00

Elenco carichi aste

Condizione di carico n. 2: Peso proprio solai

Carichi distribuiti

Simbologia

Asta = Numero dell'asta
 N1 = Nodo iniziale
 N2 = Nodo finale

Relazione di calcolo

E =Elemento provenienza del carico
 S = Solaio
 T = Tamponatura
 NE =Numero elemento di provenienza del carico
 T =Tipo di carico
 QA = Primo carico accidentale
 QA2 = Secondo carico accidentale
 QA3 = Terzo carico accidentale
 QPS = Carico permanente strutturale
 QPN = Carico permanente non strutturale
 VE = Vento
 M = Manuale
 DC =Direzione del carico
 XG,YG,ZG = secondo gli assi globali
 XL,YL,ZL = secondo gli assi locali
 Xi =Distanza iniziale
 Qi =Carico iniziale
 Xf =Distanza finale
 Qf =Carico finale

Asta	N1	N2	E	NE	T	DC	Xi	Qi	Xf	Qf	Asta	N1	N2	E	NE	T	DC	Xi	Qi	Xf	Qf
							<m>	<daN/m>	<m>	<daN/m>								<m>	<daN/m>	<m>	<daN/m>
104	101	108	S	100	QPS	ZG	0.00	594.00	5.70	594.00	105	102	109	S	100	QPS	ZG	0.00	594.00	5.70	594.00
105	102	109	S	101	QPS	ZG	0.00	742.50	5.70	742.50	106	103	110	S	101	QPS	ZG	0.00	742.50	5.70	742.50
106	103	110	S	102	QPS	ZG	0.00	742.50	5.70	742.50	107	104	111	S	102	QPS	ZG	0.00	742.50	5.70	742.50
107	104	111	S	103	QPS	ZG	0.00	932.25	5.70	932.25	108	105	112	S	103	QPS	ZG	0.00	932.25	5.70	932.25
108	105	112	S	104	QPS	ZG	0.00	676.50	5.70	676.50	109	106	113	S	104	QPS	ZG	0.00	676.50	5.70	676.50
109	106	113	S	105	QPS	ZG	0.00	717.75	5.70	717.75	110	107	114	S	105	QPS	ZG	0.00	717.75	5.70	717.75

Elenco carichi aste

Condizione di carico n. 3: Permanente solai

Carichi distribuiti

Asta	N1	N2	E	NE	T	DC	Xi	Qi	Xf	Qf	Asta	N1	N2	E	NE	T	DC	Xi	Qi	Xf	Qf
							<m>	<daN/m>	<m>	<daN/m>								<m>	<daN/m>	<m>	<daN/m>
104	101	108	S	100	QPN	ZG	0.00	468.00	5.70	468.00	105	102	109	S	100	QPN	ZG	0.00	468.00	5.70	468.00
105	102	109	S	101	QPN	ZG	0.00	585.00	5.70	585.00	106	103	110	S	101	QPN	ZG	0.00	585.00	5.70	585.00
106	103	110	S	102	QPN	ZG	0.00	585.00	5.70	585.00	107	104	111	S	102	QPN	ZG	0.00	585.00	5.70	585.00
107	104	111	S	103	QPN	ZG	0.00	734.50	5.70	734.50	108	105	112	S	103	QPN	ZG	0.00	734.50	5.70	734.50
108	105	112	S	104	QPN	ZG	0.00	533.00	5.70	533.00	109	106	113	S	104	QPN	ZG	0.00	533.00	5.70	533.00
109	106	113	S	105	QPN	ZG	0.00	565.50	5.70	565.50	110	107	114	S	105	QPN	ZG	0.00	565.50	5.70	565.50

Elenco carichi aste

Condizione di carico n. 4: Accidentali copertura

Carichi distribuiti

Asta	N1	N2	E	NE	T	DC	Xi	Qi	Xf	Qf	Asta	N1	N2	E	NE	T	DC	Xi	Qi	Xf	Qf
							<m>	<daN/m>	<m>	<daN/m>								<m>	<daN/m>	<m>	<daN/m>
104	101	108	S	100	QA	ZG	0.00	171.00	5.70	171.00	105	102	109	S	100	QA	ZG	0.00	171.00	5.70	171.00
105	102	109	S	101	QA	ZG	0.00	213.75	5.70	213.75	106	103	110	S	101	QA	ZG	0.00	213.75	5.70	213.75
106	103	110	S	102	QA	ZG	0.00	213.75	5.70	213.75	107	104	111	S	102	QA	ZG	0.00	213.75	5.70	213.75
107	104	111	S	103	QA	ZG	0.00	268.38	5.70	268.38	108	105	112	S	103	QA	ZG	0.00	268.38	5.70	268.38
108	105	112	S	104	QA	ZG	0.00	194.75	5.70	194.75	109	106	113	S	104	QA	ZG	0.00	194.75	5.70	194.75
109	106	113	S	105	QA	ZG	0.00	206.63	5.70	206.63	110	107	114	S	105	QA	ZG	0.00	206.63	5.70	206.63

Elenco carichi aste

Condizione di carico n. 5: Tamponature

Carichi distribuiti

Asta	N1	N2	E	NE	T	DC	Xi	Qi	Xf	Qf	Asta	N1	N2	E	NE	T	DC	Xi	Qi	Xf	Qf
							<m>	<daN/m>	<m>	<daN/m>								<m>	<daN/m>	<m>	<daN/m>
101	101	102	S	--	M	ZG	0.00	200.00	3.60	200.00	101	102	103	S	--	M	ZG	0.00	200.00	4.50	200.00
101	103	104	S	--	M	ZG	0.00	200.00	4.50	200.00	101	104	105	S	--	M	ZG	0.00	200.00	5.65	200.00
101	105	106	S	--	M	ZG	0.00	200.00	4.10	200.00	101	106	107	S	--	M	ZG	0.00	200.00	4.35	200.00
103	108	109	S	--	M	ZG	0.00	200.00	3.60	200.00	103	109	110	S	--	M	ZG	0.00	200.00	4.50	200.00
103	110	111	S	--	M	ZG	0.00	200.00	4.50	200.00	103	111	112	S	--	M	ZG	0.00	200.00	5.65	200.00
103	112	113	S	--	M	ZG	0.00	200.00	4.10	200.00	103	113	114	S	--	M	ZG	0.00	200.00	4.35	200.00
104	101	108	S	--	M	ZG	0.00	200.00	5.70	200.00	110	107	114	S	--	M	ZG	0.00	200.00	5.70	200.00

Elenco carichi aste

Condizione di carico n. 6: Vento x

Carichi distribuiti

Asta	N1	N2	E	NE	T	DC	Xi	Qi	Xf	Qf	Asta	N1	N2	E	NE	T	DC	Xi	Qi	Xf	Qf
							<m>	<daN/m>	<m>	<daN/m>								<m>	<daN/m>	<m>	<daN/m>
1	1	101	S	--	M	YG	0.00	175.00	4.15	175.00	2	2	102	S	--	M	YG	0.00	350.00	4.15	350.00
3	3	103	S	--	M	YG	0.00	350.00	4.15	350.00	4	4	104	S	--	M	YG	0.00	350.00	4.15	350.00
5	5	105	S	--	M	YG	0.00	350.00	4.15	350.00	6	6	106	S	--	M	YG	0.00	350.00	4.15	350.00
7	7	107	S	--	M	YG	0.00	175.00	4.15	175.00	8	8	108	S	--	M	YG	0.00	175.00	4.15	175.00
9	9	109	S	--	M	YG	0.00	350.00	4.15	350.00	10	10	110	S	--	M	YG	0.00	350.00	4.15	350.00
11	11	111	S	--	M	YG	0.00	350.00	4.15	350.00	12	12	112	S	--	M	YG	0.00	350.00	4.15	350.00
13	13	113	S	--	M	YG	0.00	350.00	4.15	350.00	14	14	114	S	--	M	YG	0.00	175.00	4.15	175.00

Elenco carichi aste

Condizione di carico n. 7: Variazione termica

Carichi distribuiti

Simbologia

Asta = Numero dell'asta
 N1 = Nodo iniziale
 N2 = Nodo finale
 DT = Incremento di temperatura
 Gy = Gradiente termico in dir. Y
 Gz = Gradiente termico in dir. Z

Asta	N1	N2	DT <°C>	Gy <°C/m>	Gz <°C/m>	Asta	N1	N2	DT <°C>	Gy <°C/m>	Gz <°C/m>	Asta	N1	N2	DT <°C>	Gy <°C/m>	Gz <°C/m>
1	1	101	25.00			2	2	102	25.00			3	3	103	25.00		
4	4	104	25.00			5	5	105	25.00			6	6	106	25.00		
7	7	107	25.00			8	8	108	25.00			9	9	109	25.00		
10	10	110	25.00			11	11	111	25.00			12	12	112	25.00		
13	13	113	25.00			14	14	114	25.00			101	101	102	25.00		
101	102	103	25.00			101	103	104	25.00			101	104	105	25.00		
101	105	106	25.00			101	106	107	25.00			103	108	109	25.00		
103	109	110	25.00			103	110	111	25.00			103	111	112	25.00		
103	112	113	25.00			103	113	114	25.00			104	101	108	25.00		
105	102	109	25.00			106	103	110	25.00			107	104	111	25.00		
108	105	112	25.00			109	106	113	25.00			110	107	114	25.00		

Elenco carichi aste

Condizione di carico n. 8: vento Y

Carichi distribuiti

Asta	N1	N2	E	N	T	D	C	Xi <m>	Qi <daN/m>	Xf <m>	Qf <daN/m>	Asta	N1	N2	E	N	T	D	C	Xi <m>	Qi <daN/m>	Xf <m>	Qf <daN/m>
1	1	101	S	--	M	X	G	0.00	200.00	4.15	200.00	2	2	102	S	--	M	X	G	0.00	400.00	4.15	400.00
3	3	103	S	--	M	X	G	0.00	400.00	4.15	400.00	4	4	104	S	--	M	X	G	0.00	400.00	4.15	400.00
5	5	105	S	--	M	X	G	0.00	400.00	4.15	400.00	6	6	106	S	--	M	X	G	0.00	400.00	4.15	400.00
7	7	107	S	--	M	X	G	0.00	200.00	4.15	200.00	8	8	108	S	--	M	X	G	0.00	200.00	4.15	200.00
9	9	109	S	--	M	X	G	0.00	400.00	4.15	400.00	10	10	110	S	--	M	X	G	0.00	400.00	4.15	400.00
11	11	111	S	--	M	X	G	0.00	400.00	4.15	400.00	12	12	112	S	--	M	X	G	0.00	400.00	4.15	400.00
13	13	113	S	--	M	X	G	0.00	400.00	4.15	400.00	14	14	114	S	--	M	X	G	0.00	200.00	4.15	200.00

Risultati del calcolo

Parametri di calcolo

La modellazione della struttura e la rielaborazione dei risultati del calcolo sono stati effettuati con: ModeSt ver. 8.18, prodotto da Tecnisoft s.a.s. - Prato

La struttura è stata calcolata utilizzando come solutore agli elementi finiti: X finest ver. 2013, prodotto da Ce.A.S. S.r.l. - Milano

Tipo di normativa: stati limite D.M. 18
 Tipo di calcolo: analisi sismica dinamica
 Vincoli esterni: Considera sempre vincoli assegnati in modellazione
 Schematizzazione piani rigidi: metodo Master-Slave
 Modalità di recupero masse secondarie: trasferire le masse
 - All'impalcato più vicino in assoluto: No
 - Anche sui nodi degli impalcato non rigidi: No
 - Modificare coordinate baricentro impalcato rigidi: XY

Generazione combinazioni

- Lineari: Sì
 - Valuta spostamenti e non sollecitazioni: No
 - Buckling: No

Opzioni di calcolo

- Sono state considerate infinitamente rigide le zone di connessione fra travi, pilastri ed elementi bidimensionali con una riduzione del 20%
 - Calcolo con offset rigidi dai nodi: No
 - Uniformare i carichi variabili: No
 - Massimizzare i carichi variabili: No
 - Minimo carico da considerare: 0.00 <daN/m>
 - Recupero carichi zone rigide: taglio e momento flettente
 - Modalità di combinazione momento torcente: disaccoppiare le azioni

Opzioni del solutore

- Tipo di elemento bidimensionale: QF46
 - Calcolo sforzo nei nodi: No

Relazione di calcolo

- Trascura deformabilità a taglio delle aste: No
- Analisi dinamica con metodo di Lanczos: Si
- Check sequenza di Sturm: Si
- Soluzione matrice con metodo ver. 5.1: No
- Analisi non lineare con Newton modificato: No
- Usa formulazione secante per buckling: No
- Trascura buckling torsionale: No

Dati struttura

- Sito di costruzione: LON. 13.72033 LAT. 37.71659
- Contenuto tra ID reticolo: 46957 47179 46956 47178

Simbologia

TCC = Tipo di combinazione di carico

SLU = Stato limite ultimo

SLU S = Stato limite ultimo (azione sismica)

SLE R = Stato limite d'esercizio, combinazione rara

SLE F = Stato limite d'esercizio, combinazione frequente

SLE Q = Stato limite d'esercizio, combinazione quasi permanente

SLD = Stato limite di danno

SLV = Stato limite di salvaguardia della vita

SIC = Stato limite di prevenzione del collasso

SLO = Stato limite di operatività

SLU I = Stato limite di resistenza al fuoco

SND = Stato limite di salvaguardia della vita (non dissipativo)

T_R = Periodo di ritorno <anni>

A_g = Accelerazione orizzontale massima al sito

F_o = Valore massimo del fattore di amplificazione dello spettro in accelerazione orizzontale

T_c^* = Periodo di inizio del tratto a velocità costante dello spettro in accelerazione orizzontale <sec>

S_s = Coefficiente di amplificazione stratigrafica

C_c = Coefficiente funzione della categoria del suolo

TCC	T_R	A_g <g>	F_o	T_c^*	S_s	C_c
SLO	68	0.0450	2.44	0.28	1.50	1.60
SLD	113	0.0544	2.47	0.30	1.50	1.57
SLV	1068	0.1083	2.64	0.39	1.50	1.44

- Edificio esistente: No
- Tipo di opera: Opera ordinaria
- Vita nominale V_N : 75.00
- Classe d'uso: Classe III
- SL Esercizio: SLOPvr 81.00, SLDPvr 63.00
- SL Ultimi: SLVPvr 10.00, SLCPvr No
- Struttura dissipativa: Si
- Classe di duttilità: Classe B
- Quota di riferimento: 0.00 <m>
- Altezza della struttura: 4.15 <m>
- Numero piani edificio: 1
- Coefficiente θ : 0.00
- Edificio regolare in altezza: Si
- Edificio regolare in pianta: Si
- Forze orizzontali convenzionali per stati limite non sismici: No
- Genera stati limite per verifiche di resistenza al fuoco: No

Dati di piano

Simbologia

Imp. = Numero dell'impalcato

L_x = Dimensione del piano in dir. X

L_y = Dimensione del piano in dir. Y

E_x = Eccentricità in dir. X

E_y = Eccentricità in dir. Y

E_a = Eccentricità complessiva

Imp.	L_x <m>	L_y <m>	E_x <m>	E_y <m>	E_a <m>
1	26.70	5.70	1.33	0.28	1.37

Dati di calcolo

- Categoria del suolo di fondazione: C
- Tipologia strutturale: c.a. o prefabbricata a telaio a più piani e più campate

Periodo T_1	0.20155
Coeff. λ SLO	1.00
Coeff. λ SLD	1.00
Coeff. λ SLV	1.00
Rapporto di sovrarresistenza (α_u/α_1)	1.30
Valore di riferimento del fattore di struttura (q_0)	3.90

Relazione di calcolo

Fattore riduttivo (K_w)	1.00
Fattore riduttivo regolarità in altezza (KR)	1.00
Fattore di comportamento dissipativo (q)	1.50
Fattore di comportamento non dissipativo (q_{ND})	1.50
Fattore di comportamento per SLD (q_D)	1.50

- Categoria topografica: T1 - Superficie pianeggiante, pendii e rilievi isolati con inclinazione media $i \leq 15^\circ$
- Coeff. amplificazione topografica S_T : 1.00
- Fattore di comportamento per sisma verticale (q_v): 1.50
- Modalità di calcolo modi di vibrare: Autovalori
- Numero modi: 3
- Modi da considerare: Tali da movimentare una percentuale di massa pari a 85.00%
- Trascura modi con massa movimentata minore di: 5.00%
- Smorzamento spettro: 5.00%

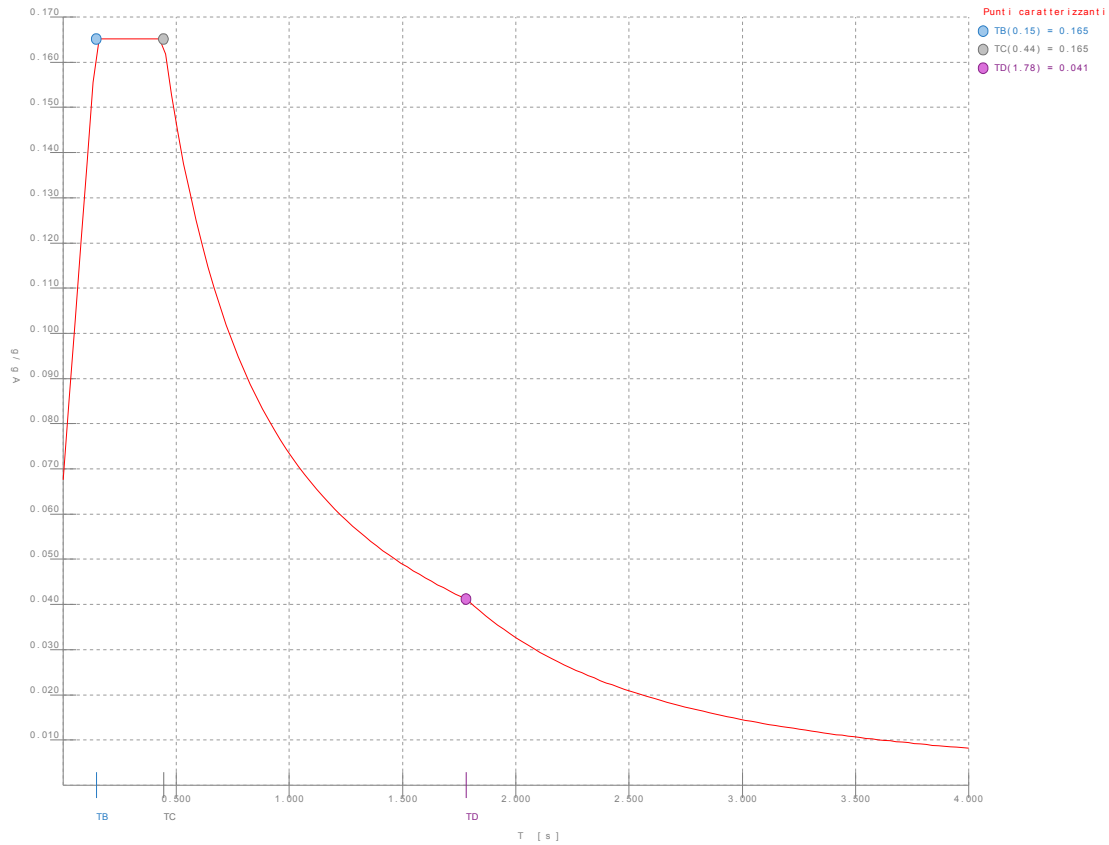


Figura numero 1: Spettro SLD

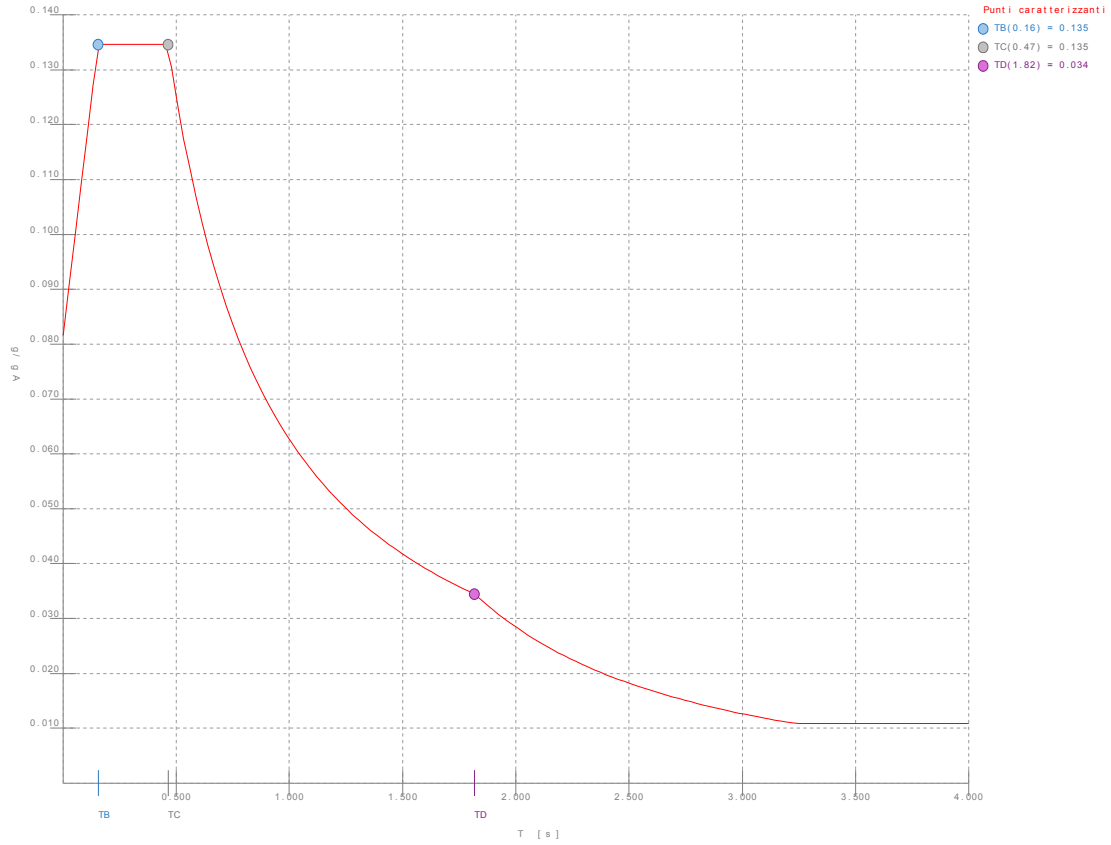


Figura numero 2: Spettro SLD

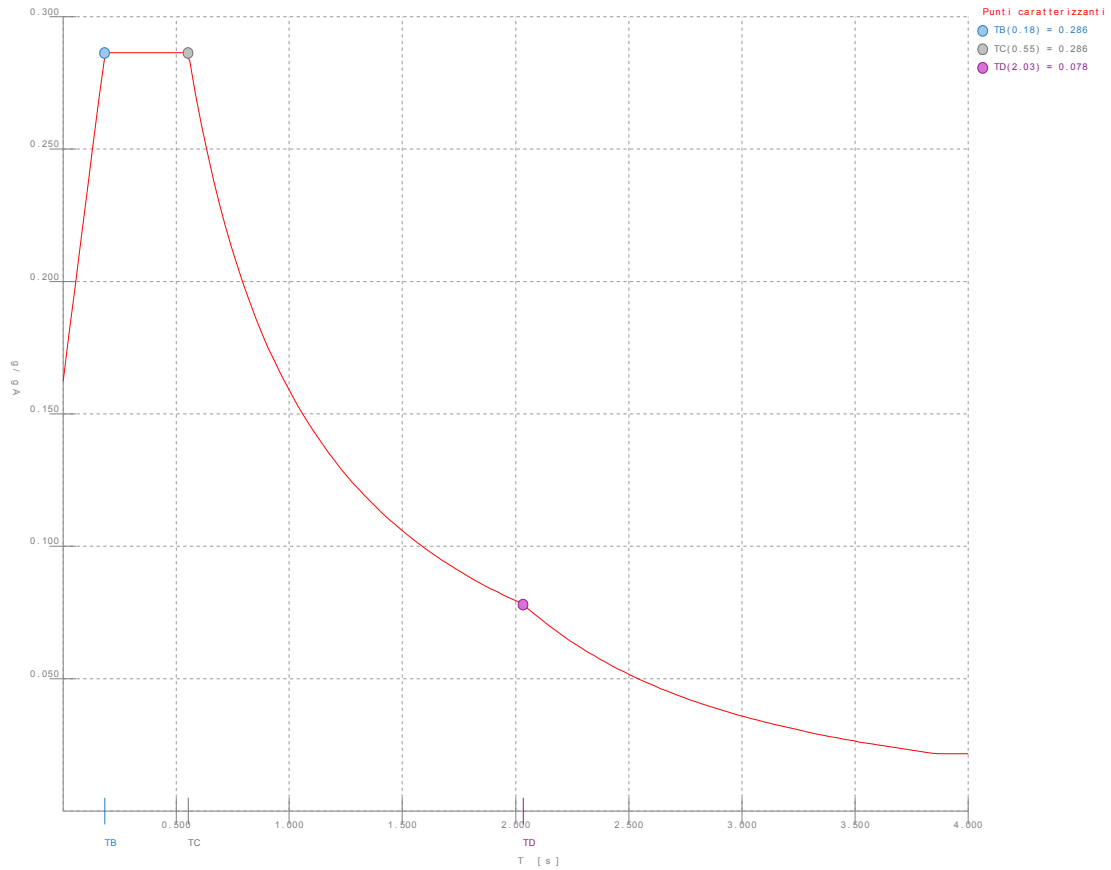


Figura numero 3: Spettro SLV

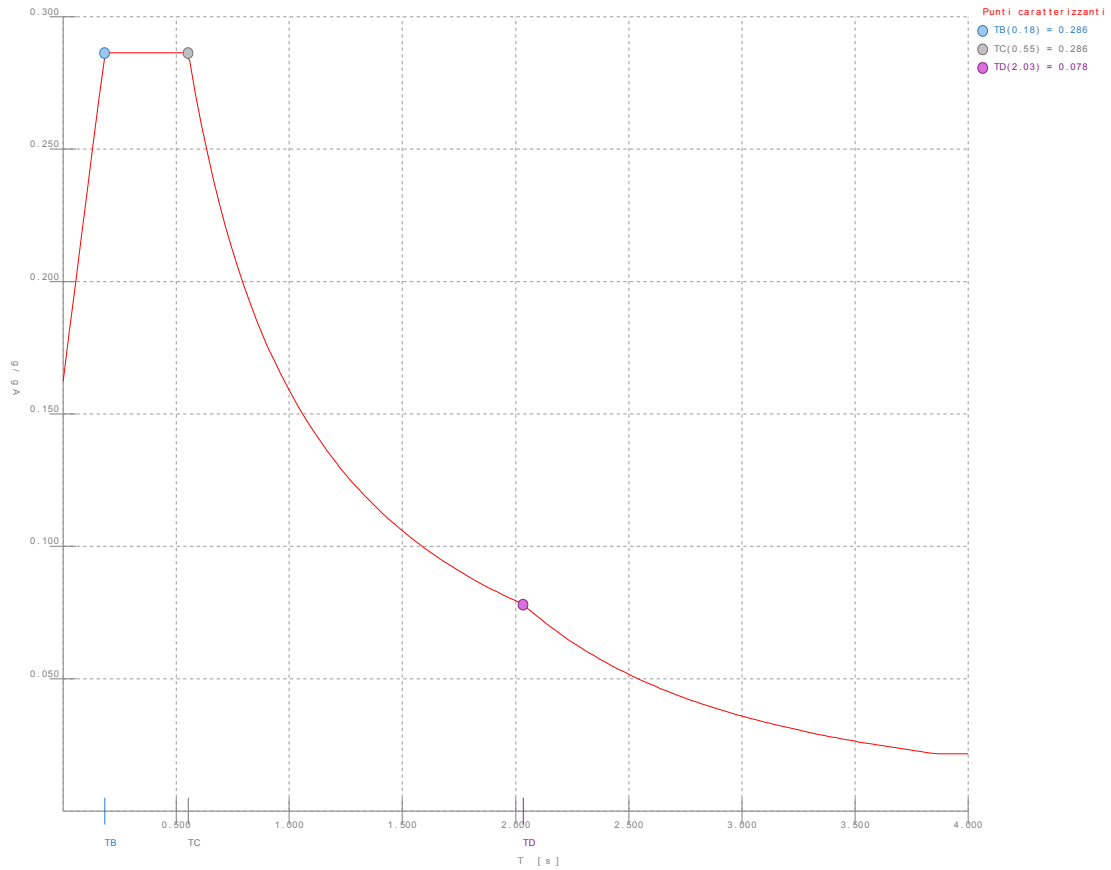


Figura numero 4: Spettro SND

- Angolo di ingresso del sisma: 0.00 <grad>

Condizioni di carico elementari

Simbologia

CCE = Numero della condizione di carico elementare

Comm. = Commento

Tipo CCE = Tipo di CCE per calcolo agli stati limite

Sic. = Contributo alla sicurezza

F = a favore

S = a sfavore

A = ambigua

Var. = Tipo di variabilità

B = di base

I = indipendente

A = ambigua

Dir. = Direzione del vento

Tipo = Tipologia di pressione vento

M = Massimizzata

E = Esterna

I = Interna

Mx = Moltiplicatore della massa in dir. X

My = Moltiplicatore della massa in dir. Y

Mz = Moltiplicatore della massa in dir. Z

Jpx = Moltiplicatore del momento d'inertia intorno all'asse X

Jpy = Moltiplicatore del momento d'inertia intorno all'asse Y

Jpz = Moltiplicatore del momento d'inertia intorno all'asse Z

CCE	Comm.	Tipo CCE	Sic.	Var.	Dir. <grad>	Tipo	Mx	My	Mz	Jpx	Jpy	Jpz
1	Peso proprio	1	S	--	--	--	1.00	1.00	0.00	0.00	0.00	1.00
2	Peso proprio solai	1	S	--	--	--	1.00	1.00	0.00	0.00	0.00	1.00
3	Permanente solai	2	S	--	--	--	1.00	1.00	0.00	0.00	0.00	1.00
4	Accidentali copertura	12	S	B	--	--	1.00	1.00	0.00	0.00	0.00	1.00
5	Tamponature	2	S	--	--	--	1.00	1.00	0.00	0.00	0.00	1.00
6	Vento x	11	S	A	0.00	M	0.00	0.00	0.00	0.00	0.00	0.00
7	Variazione termica	10	S	B	--	--	1.00	1.00	0.00	0.00	0.00	1.00
8	vento Y	11	S	A	90.00	M	0.00	0.00	0.00	0.00	0.00	0.00

Elenco tipi CCE definiti

Simbologia

Tipo CCE = Tipo condizione di carico elementare

Relazione di calcolo

Comm. = Commento
 Tipo = Tipologia
 G = Permanente
 Qv = Variabile vento
 Q = Variabile
 I = Da ignorare
 A = Azione eccezionale
 P = Precompressione
 Durata = Durata del carico
 N = Non definita
 P = Permanente
 L = Lunga
 M = Media
 B = Breve
 I = Istantanea
 γ min. = Coeff. γ min.
 γ max = Coeff. γ max
 Ψ_0 = Coeff. Ψ_0
 Ψ_1 = Coeff. Ψ_1
 Ψ_2 = Coeff. Ψ_2
 $\Psi_{0,s}$ = Coeff. Ψ_0 sismico (D.M. 96)

Tipo CCE	Comm.	Tipo	Durata	γ min.	γ max	Ψ_0	Ψ_1	Ψ_2	$\Psi_{0,s}$
1	D.M. 18 Permanenti strutturali	G	P	1.00	1.30				
2	D.M. 18 Permanenti non strutturali	G	L	0.80	1.50				
12	D.M. 18 Variabili Neve (a quota \leq 1000 m s.l.m.)	Q	M	0.00	1.50	0.50	0.20	0.00	0.00
11	D.M. 18 Variabili Vento	Qv	B	0.00	1.50	0.60	0.20	0.00	0.00
10	D.M. 18 Variabili Variazioni termiche	Q	M	0.00	1.50	0.60	0.50	0.00	0.00

Ambienti di carico

Simbologia

N = Numero
 Comm. = Commento
 1 = Peso proprio
 2 = Peso proprio solai
 3 = Permanente solai
 4 = Accidentali copertura
 5 = Tamponature
 6 = Vento x
 7 = Variazione termica
 8 = vento Y
 F = azioni orizzontali convenzionali
 SLU = Stato limite ultimo
 SLR = Stato limite per combinazioni rare
 SLF = Stato limite per combinazioni frequenti
 SLQ/D = Stato limite per combinazioni quasi permanenti o di danno
 S = Si
 N = No

N	Comm.	1	2	3	4	5	6	7	8	S	SLU	SLR	SLF	SLQ
1	Calcolo sismico	S	S	S	S	S	N	S	S	S	N	N	N	
2	Calcolo statico	S	S	S	S	S	N	N	S	S	S	S	S	
3	Vento da 0°	S	S	S	S	S	N	S	S	S	S	S	S	
4	Vento da 90°	S	S	S	S	N	S	S	S	S	S	S	S	

Elenco combinazioni di carico simboliche

Simbologia

CC = Numero della combinazione delle condizioni di carico elementari
 Comm. = Commento
 TCC = Tipo di combinazione di carico
 SLU = Stato limite ultimo
 SLU S = Stato limite ultimo (azione sismica)
 SLE R = Stato limite d'esercizio, combinazione rara
 SLE F = Stato limite d'esercizio, combinazione frequente
 SLE Q = Stato limite d'esercizio, combinazione quasi permanente
 SLD = Stato limite di danno
 SLV = Stato limite di salvaguardia della vita
 SLC = Stato limite di prevenzione del collasso
 SLO = Stato limite di operatività
 SLU I = Stato limite di resistenza al fuoco
 SND = Stato limite di salvaguardia della vita (non dissipativo)

CC	Comm.	TCC	1	2	3	4	5	6	7	8	S
1	Amb. 1 (Sisma)	SLU S	1	1	1	Ψ_2	1	-----	Ψ_2	-----	1
2	Amb. 2 (SLU)	SLU	γ max	γ max	γ max	γ max	γ max	-----	γ max	-----	-----
3	Amb. 2 (SLE R)	SLE R	1	1	1	1	1	-----	1	-----	-----
4	Amb. 2 (SLE F)	SLE F	1	1	1	Ψ_1	1	-----	Ψ_1	-----	-----
5	Amb. 2 (SLE Q)	SLE Q	1	1	1	Ψ_2	1	-----	Ψ_2	-----	-----
6	Amb. 3 (SLU)	SLU	γ max	γ max	γ max	γ max	γ max	γ max	γ max	-----	-----

Relazione di calcolo

7	Amb. 3 (SLU)	SLU	γ max	γ max	γ max	γ max	γ max	$\Psi_0 * \gamma$ max	γ max	-----	-----
8	Amb. 3 (SLE R)	SLE R	1	1	1	1	1	1	1	-----	-----
9	Amb. 3 (SLE R)	SLE R	1	1	1	1	1	Ψ_0	1	-----	-----
10	Amb. 3 (SLE F)	SLE F	1	1	1	Ψ_1	1	Ψ_1	Ψ_1	-----	-----
11	Amb. 3 (SLE F)	SLE F	1	1	1	Ψ_1	1	Ψ_2	Ψ_1	-----	-----
12	Amb. 3 (SLE Q)	SLE Q	1	1	1	Ψ_2	1	Ψ_2	Ψ_2	-----	-----
13	Amb. 4 (SLU)	SLU	γ max	γ max	γ max	γ max	γ max	-----	γ max	γ max	-----
14	Amb. 4 (SLU)	SLU	γ max	γ max	γ max	γ max	γ max	-----	γ max	$\Psi_0 * \gamma$ max	-----
15	Amb. 4 (SLE R)	SLE R	1	1	1	1	1	-----	1	1	-----
16	Amb. 4 (SLE R)	SLE R	1	1	1	1	1	-----	1	Ψ_0	-----
17	Amb. 4 (SLE F)	SLE F	1	1	1	Ψ_1	1	-----	Ψ_1	Ψ_1	-----
18	Amb. 4 (SLE F)	SLE F	1	1	1	Ψ_1	1	-----	Ψ_1	Ψ_2	-----
19	Amb. 4 (SLE Q)	SLE Q	1	1	1	Ψ_2	1	-----	Ψ_2	Ψ_2	-----

Genera le combinazioni con un solo carico di tipo variabile come di base: No

Considera sollecitazioni dinamiche con segno dei modi principali: No

Combinazioni delle CCE

Simbologia

CC = Numero della combinazione delle condizioni di carico elementari

Comm. = Commento

TCC = Tipo di combinazione di carico

SLU = Stato limite ultimo

SLU S = Stato limite ultimo (azione sismica)

SLE R = Stato limite d'esercizio, combinazione rara

SLE F = Stato limite d'esercizio, combinazione frequente

SLE Q = Stato limite d'esercizio, combinazione quasi permanente

SLD = Stato limite di danno

SLV = Stato limite di salvaguardia della vita

SLC = Stato limite di prevenzione del collasso

SLO = Stato limite di operatività

SLU I = Stato limite di resistenza al fuoco

SND = Stato limite di salvaguardia della vita (non dissipativo)

An. = Tipo di analisi

L = Lineare

NL = Non lineare

Bk = Buckling

S = Si

N = No

CC	Comm.	TCC	An.	Bk	1	2	3	4	5	6	7	8	Mt	±S X	±S Y
1	Amb. 1 (SLU S) S Mt+X+0.3Y	SLV+SND	L	N	1.00	1.00	1.00	0.00	1.00	0.00	0.00	0.00	1.00	1.00	0.30
2	Amb. 1 (SLE) S Mt+X+0.3Y	SLD	L	N	1.00	1.00	1.00	0.00	1.00	0.00	0.00	0.00	1.00	1.00	0.30
3	Amb. 1 (SLE) S Mt+X+0.3Y	SLO	L	N	1.00	1.00	1.00	0.00	1.00	0.00	0.00	0.00	1.00	1.00	0.30
4	Amb. 1 (SLU S) S Mt+X-0.3Y	SLV+SND	L	N	1.00	1.00	1.00	0.00	1.00	0.00	0.00	0.00	1.00	1.00	-0.30
5	Amb. 1 (SLE) S Mt+X-0.3Y	SLD	L	N	1.00	1.00	1.00	0.00	1.00	0.00	0.00	0.00	1.00	1.00	-0.30
6	Amb. 1 (SLE) S Mt+X-0.3Y	SLO	L	N	1.00	1.00	1.00	0.00	1.00	0.00	0.00	0.00	1.00	1.00	-0.30
7	Amb. 1 (SLU S) S Mt+0.3X+Y	SLV+SND	L	N	1.00	1.00	1.00	0.00	1.00	0.00	0.00	0.00	1.00	0.30	1.00
8	Amb. 1 (SLE) S Mt+0.3X+Y	SLD	L	N	1.00	1.00	1.00	0.00	1.00	0.00	0.00	0.00	1.00	0.30	1.00
9	Amb. 1 (SLE) S Mt+0.3X+Y	SLO	L	N	1.00	1.00	1.00	0.00	1.00	0.00	0.00	0.00	1.00	0.30	1.00
10	Amb. 1 (SLU S) S Mt-0.3X+Y	SLV+SND	L	N	1.00	1.00	1.00	0.00	1.00	0.00	0.00	0.00	1.00	-0.30	1.00
11	Amb. 1 (SLE) S Mt-0.3X+Y	SLD	L	N	1.00	1.00	1.00	0.00	1.00	0.00	0.00	0.00	1.00	-0.30	1.00
12	Amb. 1 (SLE) S Mt-0.3X+Y	SLO	L	N	1.00	1.00	1.00	0.00	1.00	0.00	0.00	0.00	1.00	-0.30	1.00
13	Amb. 1 (SLU S) S -Mt+X+0.3Y	SLV+SND	L	N	1.00	1.00	1.00	0.00	1.00	0.00	0.00	0.00	-1.00	1.00	0.30
14	Amb. 1 (SLE) S -Mt+X+0.3Y	SLD	L	N	1.00	1.00	1.00	0.00	1.00	0.00	0.00	0.00	-1.00	1.00	0.30
15	Amb. 1 (SLE) S -Mt+X+0.3Y	SLO	L	N	1.00	1.00	1.00	0.00	1.00	0.00	0.00	0.00	-1.00	1.00	0.30
16	Amb. 1 (SLU S) S -Mt+X-0.3Y	SLV+SND	L	N	1.00	1.00	1.00	0.00	1.00	0.00	0.00	0.00	-1.00	1.00	-0.30
17	Amb. 1 (SLE) S -Mt+X-0.3Y	SLD	L	N	1.00	1.00	1.00	0.00	1.00	0.00	0.00	0.00	-1.00	1.00	-0.30
18	Amb. 1 (SLE) S -Mt+X-0.3Y	SLO	L	N	1.00	1.00	1.00	0.00	1.00	0.00	0.00	0.00	-1.00	1.00	-0.30
19	Amb. 1 (SLU S) S -Mt+0.3X+Y	SLV+SND	L	N	1.00	1.00	1.00	0.00	1.00	0.00	0.00	0.00	-1.00	0.30	1.00
20	Amb. 1 (SLE) S -Mt+0.3X+Y	SLD	L	N	1.00	1.00	1.00	0.00	1.00	0.00	0.00	0.00	-1.00	0.30	1.00
21	Amb. 1 (SLE) S -Mt+0.3X+Y	SLO	L	N	1.00	1.00	1.00	0.00	1.00	0.00	0.00	0.00	-1.00	0.30	1.00
22	Amb. 1 (SLU S) S -Mt-0.3X+Y	SLV+SND	L	N	1.00	1.00	1.00	0.00	1.00	0.00	0.00	0.00	-1.00	-0.30	1.00
23	Amb. 1 (SLE) S -Mt-0.3X+Y	SLD	L	N	1.00	1.00	1.00	0.00	1.00	0.00	0.00	0.00	-1.00	-0.30	1.00
24	Amb. 1 (SLE) S -Mt-0.3X+Y	SLO	L	N	1.00	1.00	1.00	0.00	1.00	0.00	0.00	0.00	-1.00	-0.30	1.00
25	Amb. 2 (SLU)	SLU	L	N	1.30	1.30	1.50	1.50	1.50	0.00	1.50	0.00	0.00	0.00	0.00
26	Amb. 2 (SLE R)	SLE R	L	N	1.00	1.00	1.00	1.00	1.00	0.00	1.00	0.00	0.00	0.00	0.00
27	Amb. 2 (SLE F)	SLE F	L	N	1.00	1.00	1.00	0.20	1.00	0.00	0.50	0.00	0.00	0.00	0.00
28	Amb. 2 (SLE Q)	SLE Q	L	N	1.00	1.00	1.00	0.00	1.00	0.00	0.00	0.00	0.00	0.00	0.00
29	Amb. 3 (SLU)	SLU	L	N	1.30	1.30	1.50	1.50	1.50	1.50	1.50	0.00	0.00	0.00	0.00
30	Amb. 3 (SLU)	SLU	L	N	1.30	1.30	1.50	1.50	1.50	0.90	1.50	0.00	0.00	0.00	0.00
31	Amb. 3 (SLE R)	SLE R	L	N	1.00	1.00	1.00	1.00	1.00	1.00	1.00	0.00	0.00	0.00	0.00
32	Amb. 3 (SLE R)	SLE R	L	N	1.00	1.00	1.00	1.00	1.00	0.60	1.00	0.00	0.00	0.00	0.00
33	Amb. 3 (SLE F)	SLE F	L	N	1.00	1.00	1.00	0.20	1.00	0.20	0.50	0.00	0.00	0.00	0.00
34	Amb. 3 (SLE F)	SLE F	L	N	1.00	1.00	1.00	0.20	1.00	0.00	0.50	0.00	0.00	0.00	0.00
35	Amb. 3 (SLE Q)	SLE Q	L	N	1.00	1.00	1.00	0.00	1.00	0.00	0.00	0.00	0.00	0.00	0.00
36	Amb. 4 (SLU)	SLU	L	N	1.30	1.30	1.50	1.50	1.50	0.00	1.50	1.50	0.00	0.00	0.00
37	Amb. 4 (SLU)	SLU	L	N	1.30	1.30	1.50	1.50	1.50	0.00	1.50	0.90	0.00	0.00	0.00
38	Amb. 4 (SLE R)	SLE R	L	N	1.00	1.00	1.00	1.00	1.00	0.00	1.00	1.00	0.00	0.00	0.00

Relazione di calcolo

39	Amb. 4 (SLE R)	SLE R	L	N	1.00	1.00	1.00	1.00	1.00	0.00	1.00	0.60	0.00	0.00	0.00
40	Amb. 4 (SLE F)	SLE F	L	N	1.00	1.00	1.00	0.20	1.00	0.00	0.50	0.20	0.00	0.00	0.00
41	Amb. 4 (SLE F)	SLE F	L	N	1.00	1.00	1.00	0.20	1.00	0.00	0.50	0.00	0.00	0.00	0.00
42	Amb. 4 (SLE Q)	SLE Q	L	N	1.00	1.00	1.00	0.00	1.00	0.00	0.00	0.00	0.00	0.00	0.00

Elenco baricentri e masse impalcati

Simbologia

Imp. = Numero dell'impalcato
 X = Coordinata X
 Y = Coordinata Y
 Z = Coordinata Z
 Mo = Massa orizzontale
 Jpz = Massa rotazionale intorno all'asse Z

Imp.	X <m>	Y <m>	Z <m>	Mo <kg>	Jpz <kg*mq>
1	13.60	3.00	4.15	149650.00	10479900.00

Totali masse impalcati

Mo <kg>	Jpz <kg*mq>
149650.00	10479900.00

Elenco forze sismiche di impalcato allo SLO

Simbologia

Imp. = Numero dell'impalcato
 cx = Coeff. c in dir. X
 cy = Coeff. c in dir. Y
 Mz = Momento intorno all'asse Z

Imp.	cx	cy	Mz <daNm>
1	1.00	1.00	33108.80

Totali forze sismiche

Mz <daNm>
33108.80

Elenco forze sismiche di impalcato allo SLD

Imp.	cx	cy	Mz <daNm>
1	1.00	1.00	26977.70

Totali forze sismiche

Mz <daNm>
26977.70

Elenco forze sismiche di impalcato allo SLV

Imp.	cx	cy	Mz <daNm>
1	1.00	1.00	57390.60

Totali forze sismiche

Mz <daNm>
57390.60

Elenco forze sismiche di impalcato allo SND

Imp.	cx	cy	Mz <daNm>
1	1.00	1.00	57390.60

Totali forze sismiche

Mz <daNm>
57390.60

Elenco modi di vibrare, masse partecipanti e coefficienti di partecipazione

Simbologia

Modo = Numero del modo di vibrare
 C = * indica che il modo è stato considerato
 T = Periodo
 Diff. = Minima differenza percentuale dagli altri periodi
 Φ_x = Coefficiente di partecipazione in dir. X

Relazione di calcolo

Φ_y = Coefficiente di partecipazione in dir. Y
 Φ_z = Coefficiente di partecipazione in dir. Z
 $\%M_x$ = Percentuale massa partecipante in dir. X
 $\%M_y$ = Percentuale massa partecipante in dir. Y
 $\%M_z$ = Percentuale massa partecipante in dir. Z
 $\%J_{pz}$ = Percentuale momento d'inerzia polare partecipante intorno all'asse Z

Modo	C	T	Diff.	Φ_x	Φ_y	Φ_z	$\%M_x$	$\%M_y$	$\%M_z$	$\%J_{pz}$
1*	0.20	25.73	-0.00	-122.31	0.00	0.00	0.00	99.97	0.00	0.03
2*	0.16	8.54	122.33	-0.00	0.00	100.00	0.00	0.00	0.00	0.00
3*	0.15	8.54	0.00	-2.17	0.00	0.00	0.00	0.03	0.00	99.97
Tot.cons.							100.00	100.00	0.00	100.00

Elenco coefficienti di risposta

Simbologia

Modo = Numero del modo di vibrare

S_x = Coefficiente di risposta (moltiplicato per 100) in dir. X

S_y = Coefficiente di risposta (moltiplicato per 100) in dir. Y

Stato limite di operatività

Modo	S_x	S_y
1	16.52	16.52
2	16.52	16.52
3	16.50	16.50

Stato limite di danno

Modo	S_x	S_y
1	13.46	13.46
2	13.46	13.46
3	13.21	13.21

Stato limite di salvaguardia della vita

Modo	S_x	S_y
1	28.64	28.64
2	26.99	26.99
3	26.15	26.15

Domanda in duttilità di curvatura

Direzione X $\mu_{Edx}=25.27$

Direzione Y $\mu_{Edy}=20.35$

Spostamenti relativi massimi allo stato limite di operatività

Simbologia

N1 = Nodo1

N2 = Nodo2

h = Altezza teorica

δ = Spostamento relativo

δ/h = Rapporto (moltiplicato per 1000) tra lo spostamento relativo e l'altezza

CC = Numero della combinazione delle condizioni di carico elementari

I valori degli spostamenti relativi per CC di tipo sismico sono amplificati come da normativa

N1	N2	h	δ	δ/h	CC	N1	N2	h	δ	δ/h	CC	N1	N2	h	δ	δ/h	CC	N1	N2	h	δ	δ/h	CC
		<m>	<cm>					<m>	<cm>					<m>	<cm>					<m>	<cm>		
1	101	4.15	0.19	0.45	12	2	102	4.15	0.18	0.44	12	3	103	4.15	0.18	0.43	12	4	104	4.15	0.17	0.41	12
5	105	4.15	0.18	0.44	9	6	106	4.15	0.19	0.46	9	7	107	4.15	0.20	0.48	21	8	108	4.15	0.19	0.46	21
9	109	4.15	0.18	0.44	21	10	110	4.15	0.18	0.43	21	11	111	4.15	0.17	0.41	21	12	112	4.15	0.18	0.44	24
13	113	4.15	0.19	0.46	24	14	114	4.15	0.20	0.48	24												

Min = 0.41

Max = 0.48

Reazioni vincolari

Simbologia

Nodo = Numero del nodo

CC = Numero della combinazione delle condizioni di carico elementari

TCC = Tipo di combinazione di carico

SLU = Stato limite ultimo

SLU S = Stato limite ultimo (azione sismica)

SLE R = Stato limite d'esercizio, combinazione rara

SLE F = Stato limite d'esercizio, combinazione frequente

SLE Q = Stato limite d'esercizio, combinazione quasi permanente

SLD = Stato limite di danno

SLV = Stato limite di salvaguardia della vita

SLC = Stato limite di prevenzione del collasso

Relazione di calcolo

SLO = Stato limite di operatività

SLU I = Stato limite di resistenza al fuoco

SND = Stato limite di salvaguardia della vita (non dissipativo)

Fx = Reazione vincolare (forza) in dir. X

Fy = Reazione vincolare (forza) in dir. Y

Fz = Reazione vincolare (forza) in dir. Z

Mx = Reazione vincolare (momento) intorno all'asse X

My = Reazione vincolare (momento) intorno all'asse Y

Mz = Reazione vincolare (momento) intorno all'asse Z

Nodo	CC	TCC	Fx <daN>	CC	TCC	Fy <daN>	CC	TCC	Fz <daN>	CC	TCC	Mx <daNm>	CC	TCC	My <daNm>	CC	TCC	Mz <daNm>	
1	Max	13	SLV	1409.85	7	SLV	7793.95	29	SLV	11562.00	19	SLV	12713.40	13	SLV	2860.90	19	SLV	53.68
1	Min	1	SLV	-1214.96	19	SLV	-4525.35	19	SLV	3220.80	7	SLV	-17069.20	7	SLV	-2597.79	1	SLV	-53.68
2	Max	13	SLV	3785.49	29	SLV	4254.41	29	SLV	18118.70	19	SLV	2335.25	13	SLV	8823.25	19	SLV	53.68
2	Min	1	SLV	-3704.02	19	SLV	-522.36	19	SLV	10228.00	7	SLV	-6702.00	7	SLV	-8721.83	1	SLV	-53.68
3	Max	13	SLV	3723.37	29	SLV	4664.35	29	SLV	19415.60	19	SLV	1874.52	13	SLV	8740.48	19	SLV	53.68
3	Min	1	SLV	-3754.26	19	SLV	-225.18	19	SLV	11228.80	7	SLV	-6916.13	7	SLV	-8788.80	1	SLV	-53.68
4	Max	13	SLV	3664.85	29	SLV	4977.45	29	SLV	21460.90	19	SLV	1453.35	13	SLV	8662.51	19	SLV	53.68
4	Min	1	SLV	-3389.07	19	SLV	42.93	19	SLV	12414.60	7	SLV	-7021.44	7	SLV	-8302.14	1	SLV	-53.68
5	Max	13	SLV	3453.16	29	SLV	4854.97	36	SLV	20792.20	7	SLV	1800.25	13	SLV	8380.41	19	SLV	53.68
5	Min	1	SLV	-3824.97	7	SLV	-146.91	7	SLV	11752.30	19	SLV	-7170.05	7	SLV	-8883.03	1	SLV	-53.68
6	Max	13	SLV	3810.73	29	SLV	4384.16	29	SLV	18678.90	7	SLV	2372.67	13	SLV	8856.90	19	SLV	53.68
6	Min	1	SLV	-3638.47	7	SLV	-510.95	7	SLV	10480.00	19	SLV	-6972.03	7	SLV	-8634.49	1	SLV	-53.68
7	Max	13	SLV	1058.74	19	SLV	8293.38	29	SLV	12839.40	7	SLV	13266.70	13	SLV	2383.69	19	SLV	53.68
7	Min	1	SLV	-1380.45	7	SLV	-4670.88	7	SLV	3980.81	19	SLV	-18094.10	7	SLV	-2822.74	1	SLV	-53.68
8	Max	1	SLV	1409.85	7	SLV	4525.35	19	SLV	11357.80	19	SLV	17069.20	1	SLV	2860.90	19	SLV	53.68
8	Min	13	SLV	-1214.96	19	SLV	-7793.95	7	SLV	3220.80	7	SLV	-12713.40	13	SLV	-2597.79	1	SLV	-53.68
9	Max	1	SLV	3785.49	7	SLV	522.36	36	SLV	17902.30	19	SLV	6702.00	1	SLV	8823.25	19	SLV	53.68
9	Min	13	SLV	-3704.02	19	SLV	-3735.10	7	SLV	10228.00	7	SLV	-2335.25	13	SLV	-8721.83	1	SLV	-53.68
10	Max	1	SLV	3723.37	7	SLV	225.18	36	SLV	19231.10	19	SLV	6916.13	1	SLV	8740.48	19	SLV	53.68
10	Min	13	SLV	-3754.26	19	SLV	-3934.42	7	SLV	11228.80	7	SLV	-1874.52	13	SLV	-8788.80	1	SLV	-53.68
11	Max	1	SLV	3664.85	7	SLV	-42.93	25	SLV	21269.30	19	SLV	7021.44	1	SLV	8662.51	19	SLV	53.68
11	Min	13	SLV	-3389.07	19	SLV	-4053.66	7	SLV	12414.60	7	SLV	-1453.35	13	SLV	-8302.14	1	SLV	-53.68
12	Max	1	SLV	3453.16	19	SLV	146.91	36	SLV	20792.20	7	SLV	7170.05	1	SLV	8380.41	19	SLV	53.68
12	Min	13	SLV	-3824.97	7	SLV	-4097.60	19	SLV	11752.30	19	SLV	-1800.25	13	SLV	-8883.03	1	SLV	-53.68
13	Max	1	SLV	3810.73	19	SLV	510.95	25	SLV	18470.30	7	SLV	6972.03	1	SLV	8856.90	19	SLV	53.68
13	Min	13	SLV	-3638.47	7	SLV	-3894.82	19	SLV	10480.00	19	SLV	-2372.67	13	SLV	-8634.49	1	SLV	-53.68
14	Max	1	SLV	1058.74	19	SLV	4670.88	7	SLV	12250.70	7	SLV	18094.10	1	SLV	2383.69	19	SLV	53.68
14	Min	13	SLV	-1380.45	7	SLV	-8293.38	19	SLV	3980.81	19	SLV	-13266.70	13	SLV	-2822.74	1	SLV	-53.68

Sollecitazioni aste

Simbologia

Asta = Numero dell'asta

N1 = Nodo1

N2 = Nodo2

X = Coordinata progressiva rispetto al nodo iniziale

N = Sforzo normale

CC = Numero della combinazione delle condizioni di carico elementari

Ty = Taglio in dir. Y

Mz = Momento flettente intorno all'asse Z

Tz = Taglio in dir. Z

My = Momento flettente intorno all'asse Y

Mx = Momento torcente intorno all'asse X

Tipo di combinazione di carico: SLV

Asta	N1	N2	X <cm>	N <daN>	CC	Ty <daN>	CC	Mz <daNm>	CC	Tz <daN>	CC	My <daNm>	CC	Mx <daNm>	CC	
1	1	101	Max	0.00	-3220.80	19	1214.96	1	2860.90	13	4525.35	19	17069.20	7	53.68	7
1	1	101	Max	375.00	-1533.30	19	1214.96	1	1958.38	1	4525.34	19	4256.63	19	53.68	7
1	1	101	Min.	0.00	-11357.80	7	-1409.85	13	-2597.79	1	-7793.95	7	-12713.40	19	-53.68	19
1	1	101	Min.	375.00	-9670.26	7	-1409.85	13	-2426.12	13	-7793.94	7	-12158.10	7	-53.68	19
2	2	102	Max	0.00	-10228.00	19	3735.10	7	2335.25	19	3704.02	1	8823.25	13	53.68	7
2	2	102	Max	375.00	-8540.52	19	3735.10	7	7304.62	7	3704.02	1	5168.30	1	53.68	7
2	2	102	Min.	0.00	-13591.90	7	-522.36	19	-6702.00	7	-3785.49	13	-8721.83	1	-53.68	19
2	2	102	Min.	375.00	-11904.40	7	-522.36	19	376.38	19	-3785.49	13	-5372.40	13	-53.68	19
3	3	103	Max	0.00	-11228.80	19	3934.42	7	1874.52	19	3754.26	1	8740.48	13	53.68	7
3	3	103	Max	375.00	-9541.30	19	3934.42	7	7837.94	7	3754.26	1	5289.67	1	53.68	7
3	3	103	Min.	0.00	-14231.20	7	-225.18	19	-6916.13	7	-3723.37	13	-8788.80	1	-53.68	19
3	3	103	Min.	375.00	-12543.70	7	-225.18	19	1030.10	19	-3723.37	13	-5222.14	13	-53.68	19
4	4	104	Max	0.00	-12414.60	19	4053.66	7	1453.35	19	3389.07	1	8662.51	13	53.68	7
4	4	104	Max	375.00	-10727.10	19	4053.66	7	8179.78	7	3389.07	1	4406.89	1	53.68	7
4	4	104	Min.	0.00	-15664.90	7	42.93	19	-7021.44	7	-3664.85	13	-8302.14	1	-53.68	19
4	4	104	Min.	375.00	-13977.40	7	42.93	19	1614.34	19	-3664.85	13	-5080.69	13	-53.68	19
5	5	105	Max	0.00	-11752.30	7	4097.60	19	1800.25	7	3824.97	1	8380.41	13	53.68	7
5	5	105	Max	375.00	-10064.80	7	4097.60	19	8195.96	19	3824.97	1	5460.60	1	53.68	7
5	5	105	Min.	0.00	-15417.20	19	-146.91	7	-7170.05	19	-3453.16	13	-8883.03	1	-53.68	19
5	5	105	Min.	375.00	-13729.70	19	-146.90	7	1249.36	7	-3453.16	13	-4568.96	13	-53.68	19
6	6	106	Max	0.00	-10480.00	7	3894.82	19	2372.67	7	3638.47	1	8856.90	13	53.68	7
6	6	106	Max	375.00	-8792.50	7	3894.82	19	7633.55	19	3638.47	1	5009.79	1	53.68	7

Relazione di calcolo

6	6	106	Min.	0.00	-14060.50	19	-510.95	7	-6972.03	19	-3810.73	13	-8634.49	1	-53.68	19
6	6	106	Min.	375.00	-12373.00	19	-510.95	7	456.60	7	-3810.73	13	-5433.35	13	-53.68	19
7	7	107	Max	0.00	-3980.81	7	1380.45	1	2383.69	13	4670.88	7	18094.10	19	53.68	7
7	7	107	Max	375.00	-2293.31	7	1380.45	1	2353.94	1	4670.88	7	4249.11	7	53.68	7
7	7	107	Min.	0.00	-12250.70	19	-1058.74	13	-2822.74	1	-8293.38	19	-13266.70	7	-53.68	19
7	7	107	Min.	375.00	-10563.20	19	-1058.74	13	-1586.59	13	-8293.38	19	-13006.00	19	-53.68	19
8	8	108	Max	0.00	-3220.80	7	1214.96	13	2860.90	1	7793.95	19	12713.40	7	53.68	7
8	8	108	Max	375.00	-1533.30	7	1214.96	13	1958.38	13	7793.94	19	12158.10	19	53.68	7
8	8	108	Min.	0.00	-11357.80	19	-1409.85	1	-2597.79	13	-4525.35	7	-17069.20	19	-53.68	19
8	8	108	Min.	375.00	-9670.26	19	-1409.85	1	-2426.12	1	-4525.34	7	-4256.63	7	-53.68	19
9	9	109	Max	0.00	-10228.00	7	522.36	7	6702.00	19	3704.02	13	8823.25	1	53.68	7
9	9	109	Max	375.00	-8540.52	7	522.36	7	-376.38	7	3704.02	13	5168.30	13	53.68	7
9	9	109	Min.	0.00	-13591.90	19	-3735.10	19	-2335.25	7	-3785.49	1	-8721.83	13	-53.68	19
9	9	109	Min.	375.00	-11904.40	19	-3735.10	19	-7304.62	19	-3785.49	1	-5372.40	1	-53.68	19
10	10	110	Max	0.00	-11228.80	7	225.18	7	6916.13	19	3754.26	13	8740.48	1	53.68	7
10	10	110	Max	375.00	-9541.30	7	225.18	7	-1030.10	7	3754.26	13	5289.67	13	53.68	7
10	10	110	Min.	0.00	-14231.20	19	-3934.42	19	-1874.52	7	-3723.37	1	-8788.80	13	-53.68	19
10	10	110	Min.	375.00	-12543.70	19	-3934.42	19	-7837.94	19	-3723.37	1	-5222.14	1	-53.68	19
11	11	111	Max	0.00	-12414.60	7	-42.93	7	7021.44	19	3389.07	13	8662.51	1	53.68	7
11	11	111	Max	375.00	-10727.10	7	-42.93	7	-1614.34	7	3389.07	13	4406.89	13	53.68	7
11	11	111	Min.	0.00	-15664.90	19	-4053.66	19	-1453.35	7	-3664.85	1	-8302.14	13	-53.68	19
11	11	111	Min.	375.00	-13977.40	19	-4053.66	19	-8179.78	19	-3664.85	1	-5080.69	1	-53.68	19
12	12	112	Max	0.00	-11752.30	19	146.91	19	7170.05	7	3824.97	13	8380.41	1	53.68	7
12	12	112	Max	375.00	-10064.80	19	146.90	19	-1249.36	19	3824.97	13	5460.60	13	53.68	7
12	12	112	Min.	0.00	-15417.20	7	-4097.60	7	-1800.25	19	-3453.16	1	-8883.03	13	-53.68	19
12	12	112	Min.	375.00	-13729.70	7	-4097.60	7	-8195.96	7	-3453.16	1	-4568.96	1	-53.68	19
13	13	113	Max	0.00	-10480.00	19	510.95	19	6972.03	7	3638.47	13	8856.90	1	53.68	7
13	13	113	Max	375.00	-8792.50	19	510.95	19	-456.60	19	3638.47	13	5009.79	13	53.68	7
13	13	113	Min.	0.00	-14060.50	7	-3894.82	7	-2372.67	19	-3810.73	1	-8634.49	13	-53.68	19
13	13	113	Min.	375.00	-12373.00	7	-3894.82	7	-7633.55	7	-3810.73	1	-5433.35	1	-53.68	19
14	14	114	Max	0.00	-3980.81	19	1380.45	13	2383.69	1	8293.38	7	13266.70	19	53.68	7
14	14	114	Max	375.00	-2293.31	19	1380.45	13	2353.94	13	8293.38	7	13006.00	7	53.68	7
14	14	114	Min.	0.00	-12250.70	7	-1058.74	1	-2822.74	13	-4670.88	19	-18094.10	7	-53.68	19
14	14	114	Min.	375.00	-10563.20	7	-1058.74	1	-1586.59	1	-4670.88	19	-4249.11	19	-53.68	19
101	101	102	Max	15.00	0.00	7	0.00	1	0.00	1	2383.08	13	2282.58	1	-244.18	19
101	101	102	Max	36.26								670.94	7			
101	101	102	Max	330.00	0.00	7	0.00	1	0.00	1	808.08	13	2413.46	13	-244.18	19
101	101	102	Min.	15.00	0.00	7	0.00	1	0.00	1	-1020.42	1	-2612.62	13	-745.75	7
101	101	102	Min.	36.26								-544.02	7			
101	101	102	Min.	330.00	0.00	7	0.00	1	0.00	1	-2595.42	1	-3412.37	1	-745.75	7
101	102	103	Max	30.00	0.00	1	0.00	7	0.00	7	2445.73	13	2281.86	1	-65.90	19
101	102	103	Max	122.26								606.62	7			
101	102	103	Max	420.00	0.00	1	0.00	7	0.00	7	495.73	13	2264.18	13	-65.90	19
101	102	103	Min.	30.00	0.00	1	0.00	7	0.00	7	-505.79	1	-3471.67	13	-102.21	7
101	102	103	Min.	122.26								-292.91	7			
101	102	103	Min.	420.00	0.00	1	0.00	7	0.00	7	-2455.79	1	-3493.22	1	-102.21	7
101	103	104	Max	30.00	0.00	1	0.00	7	0.00	7	2475.38	13	2361.08	1	-51.94	19
101	103	104	Max	114.61								602.04	7			
101	103	104	Max	420.00	0.00	1	0.00	7	0.00	7	525.38	13	2321.41	13	-51.94	19
101	103	104	Min.	30.00	0.00	1	0.00	7	0.00	7	-581.44	1	-3530.07	13	-79.21	7
101	103	104	Min.	114.61								-374.37	7			
101	103	104	Min.	420.00	0.00	1	0.00	7	0.00	7	-2531.44	1	-3709.05	1	-79.21	7
101	104	105	Max	30.00	0.00	1	0.00	7	0.00	7	2200.92	13	1366.04	1	33.07	19
101	104	105	Max	96.57								1476.83	1			
101	104	105	Max	535.00	0.00	1	0.00	7	0.00	7	-324.08	13	1359.51	13	33.07	19
101	104	105	Min.	30.00	0.00	1	0.00	7	0.00	7	332.85	1	-3379.49	13	5.34	7
101	104	105	Min.	96.57								-1864.25	1			
101	104	105	Min.	535.00	0.00	1	0.00	7	0.00	7	-2192.15	1	-3328.71	1	5.34	7
101	105	106	Max	30.00	0.00	1	0.00	7	0.00	7	2748.52	13	2688.69	1	128.81	19
101	105	106	Max	334.70								641.26	19			
101	105	106	Max	380.00	0.00	1	0.00	7	0.00	7	998.52	13	2720.77	13	128.81	19
101	105	106	Min.	30.00	0.00	1	0.00	7	0.00	7	-962.35	1	-3836.55	13	84.31	7
101	105	106	Min.	334.70								-768.47	19			
101	105	106	Min.	380.00	0.00	1	0.00	7	0.00	7	-2712.35	1	-3742.03	1	84.31	7
101	106	107	Max	30.00	0.00	1	0.00	7	0.00	7	2300.26	13	1837.33	1	638.08	19
101	106	107	Max	329.42								672.88	19			
101	106	107	Max	420.00	0.00	1	0.00	7	0.00	7	350.26	13	1946.97	13	638.08	19
101	106	107	Min.	30.00	0.00	1	0.00	7	0.00	7	-154.72	1	-3221.54	13	192.53	7
101	106	107	Min.	329.42								-14.35	19			
101	106	107	Min.	420.00	0.00	1	0.00	7	0.00	7	-2104.72	1	-2568.60	1	192.53	7
103	108	109	Max	15.00	0.00	7	0.00	1	0.00	1	2383.08	1	2282.58	13	745.75	19
103	108	109	Max	36.26								670.94	19			
103	108	109	Max	330.00	0.00	7	0.00	1	0.00	1	808.08	1	2413.46	1	745.75	19
103	108	109	Min.	15.00	0.00	7	0.00	1	0.00	1	-1020.42	13	-2612.62	1	244.18	7
103	108	109	Min.	36.26								-544.05	19			
103	108	109	Min.	330.00	0.00	7	0.00	1	0.00	1	-2595.42	13	-3412.37	13	244.18	7
103	109	110	Max	30.00	0.00	1	0.00	7	0.00	7	2445.73	1	2281.86	13	102.21	19
103	109	110	Max	122.26								606.62	19			
103	109	110	Max	420.00	0.00	1	0.00	7	0.00	7	495.73	1	2264.18	1	102.21	19
103	109	110	Min.	30.00	0.00	1	0.00	7	0.00	7	-505.79	13	-3471.67	1	65.90	7
103	109	110	Min.	122.26								-292.91	19			
103	109	110	Min.	420.00	0.00	1	0.00	7	0.00	7	-2455.79	13	-3493.22	13	65.90	7

Relazione di calcolo

103	110	111	Max	30.00	0.00	1	0.00	7	0.00	7	2475.38	1	2361.08	13	79.21	19
103	110	111	Max	114.61									602.04	19		
103	110	111	Max	420.00	0.00	1	0.00	7	0.00	7	525.38	1	2321.41	1	79.21	19
103	110	111	Min.	30.00	0.00	1	0.00	7	0.00	7	-581.44	13	-3530.07	1	51.94	7
103	110	111	Min.	114.61									-374.37	19		
103	110	111	Min.	420.00	0.00	1	0.00	7	0.00	7	-2531.44	13	-3709.05	13	51.94	7
103	111	112	Max	30.00	0.00	1	0.00	7	0.00	7	2200.92	1	1366.04	13	-5.34	19
103	111	112	Max	96.57									1476.83	13		
103	111	112	Max	535.00	0.00	1	0.00	7	0.00	7	-324.08	1	1359.51	1	-5.34	19
103	111	112	Min.	30.00	0.00	1	0.00	7	0.00	7	332.85	13	-3379.49	1	-33.07	7
103	111	112	Min.	96.57									-1864.25	13		
103	111	112	Min.	535.00	0.00	1	0.00	7	0.00	7	-2192.15	13	-3328.71	13	-33.07	7
103	112	113	Max	30.00	0.00	1	0.00	7	0.00	7	2748.52	1	2688.69	13	-84.31	19
103	112	113	Max	334.70									641.26	7		
103	112	113	Max	380.00	0.00	1	0.00	7	0.00	7	998.52	1	2720.77	1	-84.31	19
103	112	113	Min.	30.00	0.00	1	0.00	7	0.00	7	-962.35	13	-3836.55	1	-128.81	7
103	112	113	Min.	334.70									-768.47	7		
103	112	113	Min.	380.00	0.00	1	0.00	7	0.00	7	-2712.35	13	-3742.03	13	-128.81	7
103	113	114	Max	30.00	0.00	1	0.00	7	0.00	7	2300.26	1	1837.33	13	-192.53	19
103	113	114	Max	329.42									672.88	7		
103	113	114	Max	420.00	0.00	1	0.00	7	0.00	7	350.26	1	1946.97	1	-192.53	19
103	113	114	Min.	30.00	0.00	1	0.00	7	0.00	7	-154.72	13	-3221.54	1	-638.08	7
103	113	114	Min.	329.42									-14.35	7		
103	113	114	Min.	420.00	0.00	1	0.00	7	0.00	7	-2104.72	13	-2568.60	13	-638.08	7
104	101	108	Max	45.00	0.00	1	0.00	1	0.00	1	7585.09	7	6599.33	19	19.30	19
104	101	108	Max	508.35									6622.01	7		
104	101	108	Max	525.00	0.00	1	0.00	1	0.00	1	-272.51	7	6599.32	7	19.30	19
104	101	108	Min.	45.00	0.00	1	0.00	1	0.00	1	272.51	19	-10950.80	7	-19.30	7
104	101	108	Min.	61.04									-7724.33	19		
104	101	108	Min.	525.00	0.00	1	0.00	1	0.00	1	-7585.09	19	-10950.80	19	-19.30	7
105	102	109	Max	15.00	0.00	1	0.00	1	0.00	1	9060.06	7	565.73	19	30.67	19
105	102	109	Max	227.27									6794.01	19		
105	102	109	Max	555.00	0.00	1	0.00	1	0.00	1	-5868.23	7	565.74	7	30.67	19
105	102	109	Min.	15.00	0.00	1	0.00	1	0.00	1	5868.24	19	-8052.21	7	-30.67	7
105	102	109	Min.	227.27									5124.31	19		
105	102	109	Min.	555.00	0.00	1	0.00	1	0.00	1	-9060.06	19	-8052.20	19	-30.67	7
106	103	110	Max	15.00	0.00	7	0.00	1	0.00	1	9670.29	7	87.99	19	29.66	19
106	103	110	Max	235.86									7477.25	19		
106	103	110	Max	555.00	0.00	7	0.00	1	0.00	1	-6691.70	7	87.99	7	29.66	19
106	103	110	Min.	15.00	0.00	7	0.00	1	0.00	1	6691.70	19	-7954.21	7	-29.66	7
106	103	110	Min.	334.15									6088.00	7		
106	103	110	Min.	555.00	0.00	7	0.00	1	0.00	1	-9670.29	19	-7954.20	19	-29.66	7
107	104	111	Max	15.00	0.00	1	0.00	1	0.00	1	10530.50	7	-528.24	19	31.92	19
107	104	111	Max	327.55									8187.17	7		
107	104	111	Max	555.00	0.00	1	0.00	1	0.00	1	-7663.46	7	-528.22	7	31.92	19
107	104	111	Min.	15.00	0.00	1	0.00	1	0.00	1	7663.47	19	-8269.17	7	-31.92	7
107	104	111	Min.	241.37									6943.61	19		
107	104	111	Min.	555.00	0.00	1	0.00	1	0.00	1	-10530.50	19	-8269.15	19	-31.92	7
108	105	112	Max	15.00	0.00	1	0.00	1	0.00	1	10297.90	19	-144.00	7	30.81	19
108	105	112	Max	331.74									7959.09	19		
108	105	112	Max	555.00	0.00	1	0.00	1	0.00	1	-7258.81	19	-143.99	19	30.81	19
108	105	112	Min.	15.00	0.00	1	0.00	1	0.00	1	7258.81	7	-8349.65	19	-30.81	7
108	105	112	Min.	237.64									6591.85	7		
108	105	112	Min.	555.00	0.00	1	0.00	1	0.00	1	-10297.90	7	-8349.63	7	-30.81	7
109	106	113	Max	15.00	0.00	13	0.00	1	0.00	1	9381.60	19	587.53	7	29.12	19
109	106	113	Max	227.86									7084.24	7		
109	106	113	Max	555.00	0.00	13	0.00	1	0.00	1	-6104.25	19	587.52	19	29.12	19
109	106	113	Min.	15.00	0.00	1	0.00	1	0.00	1	6104.25	7	-8261.30	19	-29.12	7
109	106	113	Min.	227.86									5374.83	7		
109	106	113	Min.	555.00	0.00	1	0.00	1	0.00	1	-9381.60	7	-8261.30	7	-29.12	7
110	107	114	Max	45.00	0.00	1	0.00	1	0.00	1	8318.63	19	6768.58	7	17.56	19
110	107	114	Max	492.66									6865.76	19		
110	107	114	Max	525.00	0.00	1	0.00	1	0.00	1	-600.98	19	6768.58	19	17.56	19
110	107	114	Min.	45.00	0.00	1	0.00	1	0.00	1	600.98	7	-11753.80	19	-17.56	7
110	107	114	Min.	76.73									-7265.10	7		
110	107	114	Min.	525.00	0.00	1	0.00	1	0.00	1	-8318.63	7	-11753.80	7	-17.56	7

Tipo di combinazione di carico: SND

Asta	N1	N2		X <cm>	N <daN>	CC	Ty <daN>	CC	Mz <daNm>	CC	Tz <daN>	CC	My <daNm>	CC	Mx <daNm>	CC
1	1	101	Max	0.00	-3220.80	19	1214.96	1	2860.90	13	4525.35	19	17069.20	7	53.68	7
1	1	101	Max	375.00	-1533.30	19	1214.96	1	1958.38	1	4525.34	19	4256.63	19	53.68	7
1	1	101	Min.	0.00	-11357.80	7	-1409.85	13	-2597.79	1	-7793.95	7	-12713.40	19	-53.68	19
1	1	101	Min.	375.00	-9670.26	7	-1409.85	13	-2426.12	13	-7793.94	7	-12158.10	7	-53.68	19
2	2	102	Max	0.00	-10228.00	19	3735.10	7	2335.25	19	3704.02	1	8823.25	13	53.68	7
2	2	102	Max	375.00	-8540.52	19	3735.10	7	7304.62	7	3704.02	1	5168.30	1	53.68	7
2	2	102	Min.	0.00	-13591.90	7	-522.36	19	-6702.00	7	-3785.49	13	-8721.83	1	-53.68	19
2	2	102	Min.	375.00	-11904.40	7	-522.36	19	376.38	19	-3785.49	13	-5372.40	13	-53.68	19
3	3	103	Max	0.00	-11228.80	19	3934.42	7	1874.52	19	3754.26	1	8740.48	13	53.68	7
3	3	103	Max	375.00	-9541.30	19	3934.42	7	7837.94	7	3754.26	1	5289.67	1	53.68	7
3	3	103	Min.	0.00	-14231.20	7	-225.18	19	-6916.13	7	-3723.37	13	-8788.80	1	-53.68	19

Relazione di calcolo

3	3	103	Min.	375.00	-12543.70	7	-225.18	19	1030.10	19	-3723.37	13	-5222.14	13	-53.68	19
4	4	104	Max	0.00	-12414.60	19	4053.66	7	1453.35	19	3389.07	1	8662.51	13	53.68	7
4	4	104	Max	375.00	-10727.10	19	4053.66	7	8179.78	7	3389.07	1	4406.89	1	53.68	7
4	4	104	Min.	0.00	-15664.90	7	42.93	19	-7021.44	7	-3664.85	13	-8302.14	1	-53.68	19
4	4	104	Min.	375.00	-13977.40	7	42.93	19	1614.34	19	-3664.85	13	-5080.69	13	-53.68	19
5	5	105	Max	0.00	-11752.30	7	4097.60	19	1800.25	7	3824.97	1	8380.41	13	53.68	7
5	5	105	Max	375.00	-10064.80	7	4097.60	19	8195.96	19	3824.97	1	5460.60	1	53.68	7
5	5	105	Min.	0.00	-15417.20	19	-146.91	7	-7170.05	19	-3453.16	13	-8883.03	1	-53.68	19
5	5	105	Min.	375.00	-13729.70	19	-146.90	7	1249.36	7	-3453.16	13	-4568.96	13	-53.68	19
6	6	106	Max	0.00	-10480.00	7	3894.82	19	2372.67	7	3638.47	1	8856.90	13	53.68	7
6	6	106	Max	375.00	-8792.50	7	3894.82	19	7633.55	19	3638.47	1	5009.79	1	53.68	7
6	6	106	Min.	0.00	-14060.50	19	-510.95	7	-6972.03	19	-3810.73	13	-8634.49	1	-53.68	19
6	6	106	Min.	375.00	-12373.00	19	-510.95	7	456.60	7	-3810.73	13	-5433.35	13	-53.68	19
7	7	107	Max	0.00	-3980.81	7	1380.45	1	2383.69	13	4670.88	7	18094.10	19	53.68	7
7	7	107	Max	375.00	-2293.31	7	1380.45	1	2353.94	1	4670.88	7	4249.11	7	53.68	7
7	7	107	Min.	0.00	-12250.70	19	-1058.74	13	-2822.74	1	-8293.38	19	-13266.70	7	-53.68	19
7	7	107	Min.	375.00	-10563.20	19	-1058.74	13	-1586.59	13	-8293.38	19	-13006.00	19	-53.68	19
8	8	108	Max	0.00	-3220.80	7	1214.96	13	2860.90	1	7793.95	19	12713.40	7	53.68	7
8	8	108	Max	375.00	-1533.30	7	1214.96	13	1958.38	13	7793.94	19	12158.10	19	53.68	7
8	8	108	Min.	0.00	-11357.80	19	-1409.85	1	-2597.79	13	-4525.35	7	-17069.20	19	-53.68	19
8	8	108	Min.	375.00	-9670.26	19	-1409.85	1	-2426.12	1	-4525.34	7	-4256.62	7	-53.68	19
9	9	109	Max	0.00	-10228.00	7	522.36	7	6702.00	19	3704.02	13	8823.25	1	53.68	7
9	9	109	Max	375.00	-8540.52	7	522.36	7	-376.38	7	3704.02	13	5168.30	13	53.68	7
9	9	109	Min.	0.00	-13591.90	19	-3735.10	19	-2335.25	7	-3785.49	1	-8721.83	13	-53.68	19
9	9	109	Min.	375.00	-11904.40	19	-3735.10	19	-7304.62	19	-3785.49	1	-5372.40	1	-53.68	19
10	10	110	Max	0.00	-11228.80	7	225.18	7	6916.13	19	3754.26	13	8740.48	1	53.68	7
10	10	110	Max	375.00	-9541.30	7	225.18	7	-1030.10	7	3754.26	13	5289.67	13	53.68	7
10	10	110	Min.	0.00	-14231.20	19	-3934.42	19	-1874.52	7	-3723.37	1	-8788.80	13	-53.68	19
10	10	110	Min.	375.00	-12543.70	19	-3934.42	19	-7837.94	19	-3723.37	1	-5222.14	1	-53.68	19
11	11	111	Max	0.00	-12414.60	7	-42.93	7	7021.44	19	3389.07	13	8662.51	1	53.68	7
11	11	111	Max	375.00	-10727.10	7	-42.93	7	-1614.34	7	3389.07	13	4406.89	13	53.68	7
11	11	111	Min.	0.00	-15664.90	19	-4053.66	19	-1453.35	7	-3664.85	1	-8302.14	13	-53.68	19
11	11	111	Min.	375.00	-13977.40	19	-4053.66	19	-8179.78	19	-3664.85	1	-5080.69	1	-53.68	19
12	12	112	Max	0.00	-11752.30	19	146.91	19	7170.05	7	3824.97	13	8380.41	1	53.68	7
12	12	112	Max	375.00	-10064.80	19	146.90	19	-1249.36	19	3824.97	13	5460.60	13	53.68	7
12	12	112	Min.	0.00	-15417.20	7	-4097.60	7	-1800.25	19	-3453.16	1	-8883.03	13	-53.68	19
12	12	112	Min.	375.00	-13729.70	7	-4097.60	7	-8195.96	7	-3453.16	1	-4568.96	1	-53.68	19
13	13	113	Max	0.00	-10480.00	19	510.95	19	6972.03	7	3638.47	13	8856.90	1	53.68	7
13	13	113	Max	375.00	-8792.50	19	510.95	19	-456.60	19	3638.47	13	5009.79	13	53.68	7
13	13	113	Min.	0.00	-14060.50	7	-3894.82	7	-2372.67	19	-3810.73	1	-8634.49	13	-53.68	19
13	13	113	Min.	375.00	-12373.00	7	-3894.82	7	-7633.55	7	-3810.73	1	-5433.35	1	-53.68	19
14	14	114	Max	0.00	-3980.81	19	1380.45	13	2383.69	1	8293.38	7	13266.70	19	53.68	7
14	14	114	Max	375.00	-2293.31	19	1380.45	13	2353.94	13	8293.38	7	13006.00	7	53.68	7
14	14	114	Min.	0.00	-12250.70	7	-1058.74	1	-2822.74	13	-4670.88	19	-18094.10	7	-53.68	19
14	14	114	Min.	375.00	-10563.20	7	-1058.74	1	-1586.59	1	-4670.88	19	-4249.11	19	-53.68	19
101	101	102	Max	15.00	0.00	7	0.00	1	0.00	1	2383.08	13	2282.58	1	-244.18	19
101	101	102	Max	36.26									670.94	7		
101	101	102	Max	330.00	0.00	7	0.00	1	0.00	1	808.08	13	2413.46	13	-244.18	19
101	101	102	Min.	15.00	0.00	7	0.00	1	0.00	1	-1020.42	1	-2612.62	13	-745.75	7
101	101	102	Min.	36.26									-544.02	7		
101	101	102	Min.	330.00	0.00	7	0.00	1	0.00	1	-2595.42	1	-3412.37	1	-745.75	7
101	102	103	Max	30.00	0.00	1	0.00	7	0.00	7	2445.73	13	2281.86	1	-65.90	19
101	102	103	Max	122.26									606.62	7		
101	102	103	Max	420.00	0.00	1	0.00	7	0.00	7	495.73	13	2264.18	13	-65.90	19
101	102	103	Min.	30.00	0.00	1	0.00	7	0.00	7	-505.79	1	-3471.67	13	-102.21	7
101	102	103	Min.	122.26									-292.91	7		
101	102	103	Min.	420.00	0.00	1	0.00	7	0.00	7	-2455.79	1	-3493.22	1	-102.21	7
101	103	104	Max	30.00	0.00	1	0.00	7	0.00	7	2475.38	13	2361.08	1	-51.94	19
101	103	104	Max	114.61									602.04	7		
101	103	104	Max	420.00	0.00	1	0.00	7	0.00	7	525.38	13	2321.41	13	-51.94	19
101	103	104	Min.	30.00	0.00	1	0.00	7	0.00	7	-581.44	1	-3530.07	13	-79.21	7
101	103	104	Min.	114.61									-374.37	7		
101	103	104	Min.	420.00	0.00	1	0.00	7	0.00	7	-2531.44	1	-3709.05	1	-79.21	7
101	104	105	Max	30.00	0.00	1	0.00	7	0.00	7	2200.92	13	1366.04	1	33.07	19
101	104	105	Max	96.57									1476.83	1		
101	104	105	Max	535.00	0.00	1	0.00	7	0.00	7	-324.08	13	1359.51	13	33.07	19
101	104	105	Min.	30.00	0.00	1	0.00	7	0.00	7	332.85	1	-3379.49	13	5.34	7
101	104	105	Min.	96.57									-1864.25	1		
101	104	105	Min.	535.00	0.00	1	0.00	7	0.00	7	-2192.15	1	-3328.71	1	5.34	7
101	105	106	Max	30.00	0.00	1	0.00	7	0.00	7	2748.52	13	2688.69	1	128.81	19
101	105	106	Max	334.70									641.26	19		
101	105	106	Max	380.00	0.00	1	0.00	7	0.00	7	998.52	13	2720.77	13	128.81	19
101	105	106	Min.	30.00	0.00	1	0.00	7	0.00	7	-962.35	1	-3836.55	13	84.31	7
101	105	106	Min.	334.70									-768.47	19		
101	105	106	Min.	380.00	0.00	1	0.00	7	0.00	7	-2712.35	1	-3742.03	1	84.31	7
101	106	107	Max	30.00	0.00	1	0.00	7	0.00	7	2300.26	13	1837.33	1	638.08	19
101	106	107	Max	329.42									672.88	19		
101	106	107	Max	420.00	0.00	1	0.00	7	0.00	7	350.26	13	1946.97	13	638.08	19
101	106	107	Min.	30.00	0.00	1	0.00	7	0.00	7	-154.72	1	-3221.54	13	192.53	7
101	106	107	Min.	329.42									-14.35	19		
101	106	107	Min.	420.00	0.00	1	0.00	7	0.00	7	-2104.72	1	-2568.60	1	192.53	7
103	108	109	Max	15.00	0.00	7	0.00	1	0.00	1	2383.08	1	2282.58	13	745.75	19

Relazione di calcolo

103	108	109	Max	36.26							670.94	19		
103	108	109	Max	330.00	0.00	7	0.00	1	0.00	1	808.08	1	2413.46	1 745.75 19
103	108	109	Min.	15.00	0.00	7	0.00	1	0.00	1	-1020.42	13	-2612.62	1 244.18 7
103	108	109	Min.	36.26									-544.05	19
103	108	109	Min.	330.00	0.00	7	0.00	1	0.00	1	-2595.42	13	-3412.37	13 244.18 7
103	109	110	Max	30.00	0.00	1	0.00	7	0.00	7	2445.73	1	2281.86	13 102.21 19
103	109	110	Max	122.26									606.62	19
103	109	110	Max	420.00	0.00	1	0.00	7	0.00	7	495.73	1	2264.18	1 102.21 19
103	109	110	Min.	30.00	0.00	1	0.00	7	0.00	7	-505.79	13	-3471.67	1 65.90 7
103	109	110	Min.	122.26									-292.91	19
103	109	110	Min.	420.00	0.00	1	0.00	7	0.00	7	-2455.79	13	-3493.22	13 65.90 7
103	110	111	Max	30.00	0.00	1	0.00	7	0.00	7	2475.38	1	2361.08	13 79.21 19
103	110	111	Max	114.61									602.04	19
103	110	111	Max	420.00	0.00	1	0.00	7	0.00	7	525.38	1	2321.41	1 79.21 19
103	110	111	Min.	30.00	0.00	1	0.00	7	0.00	7	-581.44	13	-3530.07	1 51.94 7
103	110	111	Min.	114.61									-374.37	19
103	110	111	Min.	420.00	0.00	1	0.00	7	0.00	7	-2531.44	13	-3709.05	13 51.94 7
103	111	112	Max	30.00	0.00	1	0.00	7	0.00	7	2200.92	1	1366.04	13 -5.34 19
103	111	112	Max	96.57									1476.83	13
103	111	112	Max	535.00	0.00	1	0.00	7	0.00	7	-324.08	1	1359.51	1 -5.34 19
103	111	112	Min.	30.00	0.00	1	0.00	7	0.00	7	332.85	13	-3379.49	1 -33.07 7
103	111	112	Min.	96.57									-1864.25	13
103	111	112	Min.	535.00	0.00	1	0.00	7	0.00	7	-2192.15	13	-3328.71	13 -33.07 7
103	112	113	Max	30.00	0.00	1	0.00	7	0.00	7	2748.52	1	2688.69	13 -84.31 19
103	112	113	Max	334.70									641.26	7
103	112	113	Max	380.00	0.00	1	0.00	7	0.00	7	998.52	1	2720.77	1 -84.31 19
103	112	113	Min.	30.00	0.00	1	0.00	7	0.00	7	-962.35	13	-3836.55	1 -128.81 7
103	112	113	Min.	334.70									-768.47	7
103	112	113	Min.	380.00	0.00	1	0.00	7	0.00	7	-2712.35	13	-3742.03	13 -128.81 7
103	113	114	Max	30.00	0.00	1	0.00	7	0.00	7	2300.26	1	1837.33	13 -192.53 19
103	113	114	Max	329.42									672.88	7
103	113	114	Max	420.00	0.00	1	0.00	7	0.00	7	350.26	1	1946.97	1 -192.53 19
103	113	114	Min.	30.00	0.00	1	0.00	7	0.00	7	-154.72	13	-3221.54	1 -638.08 7
103	113	114	Min.	329.42									-14.35	7
103	113	114	Min.	420.00	0.00	1	0.00	7	0.00	7	-2104.72	13	-2568.60	13 -638.08 7
104	101	108	Max	45.00	0.00	1	0.00	1	0.00	1	7585.09	7	6599.33	19 19.30 19
104	101	108	Max	508.35									6622.01	7
104	101	108	Max	525.00	0.00	1	0.00	1	0.00	1	-272.51	7	6599.32	7 19.30 19
104	101	108	Min.	45.00	0.00	1	0.00	1	0.00	1	272.51	19	-10950.80	7 -19.30 7
104	101	108	Min.	61.04									-7724.33	19
104	101	108	Min.	525.00	0.00	1	0.00	1	0.00	1	-7585.09	19	-10950.80	19 -19.30 7
105	102	109	Max	15.00	0.00	1	0.00	1	0.00	1	9060.06	7	565.73	19 30.67 19
105	102	109	Max	227.27									6794.01	19
105	102	109	Max	555.00	0.00	1	0.00	1	0.00	1	-5868.23	7	565.74	7 30.67 19
105	102	109	Min.	15.00	0.00	1	0.00	1	0.00	1	5868.24	19	-8052.21	7 -30.67 7
105	102	109	Min.	227.27									5124.31	19
105	102	109	Min.	555.00	0.00	1	0.00	1	0.00	1	-9060.06	19	-8052.20	19 -30.67 7
106	103	110	Max	15.00	0.00	7	0.00	1	0.00	1	9670.29	7	87.99	19 29.66 19
106	103	110	Max	235.86									7477.25	19
106	103	110	Max	555.00	0.00	7	0.00	1	0.00	1	-6691.70	7	87.99	7 29.66 19
106	103	110	Min.	15.00	0.00	7	0.00	1	0.00	1	6691.70	19	-7954.21	7 -29.66 7
106	103	110	Min.	334.15									6088.00	7
106	103	110	Min.	555.00	0.00	7	0.00	1	0.00	1	-9670.29	19	-7954.20	19 -29.66 7
107	104	111	Max	15.00	0.00	1	0.00	1	0.00	1	10530.50	7	-528.24	19 31.92 19
107	104	111	Max	327.55									8187.17	7
107	104	111	Max	555.00	0.00	1	0.00	1	0.00	1	-7663.46	7	-528.22	7 31.92 19
107	104	111	Min.	15.00	0.00	1	0.00	1	0.00	1	7663.47	19	-8269.17	7 -31.92 7
107	104	111	Min.	241.37									6943.61	19
107	104	111	Min.	555.00	0.00	1	0.00	1	0.00	1	-10530.50	19	-8269.15	19 -31.92 7
108	105	112	Max	15.00	0.00	1	0.00	1	0.00	1	10297.90	19	-144.00	7 30.81 19
108	105	112	Max	331.74									7959.09	19
108	105	112	Max	555.00	0.00	1	0.00	1	0.00	1	-7258.81	19	-143.99	19 30.81 19
108	105	112	Min.	15.00	0.00	1	0.00	1	0.00	1	7258.81	7	-8349.65	19 -30.81 7
108	105	112	Min.	237.64									6591.85	7
108	105	112	Min.	555.00	0.00	1	0.00	1	0.00	1	-10297.90	7	-8349.63	7 -30.81 7
109	106	113	Max	15.00	0.00	13	0.00	1	0.00	1	9381.60	19	587.53	7 29.12 19
109	106	113	Max	227.86									7084.24	7
109	106	113	Max	555.00	0.00	13	0.00	1	0.00	1	-6104.25	19	587.52	19 29.12 19
109	106	113	Min.	15.00	0.00	1	0.00	1	0.00	1	6104.25	7	-8261.30	19 -29.12 7
109	106	113	Min.	227.86									5374.83	7
109	106	113	Min.	555.00	0.00	1	0.00	1	0.00	1	-9381.60	7	-8261.30	7 -29.12 7
110	107	114	Max	45.00	0.00	1	0.00	1	0.00	1	8318.63	19	6768.58	7 17.56 19
110	107	114	Max	492.66									6865.76	19
110	107	114	Max	525.00	0.00	1	0.00	1	0.00	1	-600.98	19	6768.58	19 17.56 19
110	107	114	Min.	45.00	0.00	1	0.00	1	0.00	1	600.98	7	-11753.80	19 -17.56 7
110	107	114	Min.	76.73									-7265.10	7
110	107	114	Min.	525.00	0.00	1	0.00	1	0.00	1	-8318.63	7	-11753.80	7 -17.56 7

Tipo di combinazione di carico: SLD

Asta	N1	N2	X <cm>	N <daN>	CC	Ty <daN>	CC	Mz <daNm>	CC	Tz <daN>	CC	My <daNm>	CC	Mx <daNm>	CC
------	----	----	-----------	------------	----	-------------	----	--------------	----	-------------	----	--------------	----	--------------	----

Relazione di calcolo

1	1	101	Max	0.00	-5362.84	20	555.14	2	1488.72	14	1261.28	20	9178.15	8	25.30	8
1	1	101	Max	375.00	-3675.34	20	555.14	2	856.19	2	1261.28	20	-92.54	20	25.30	8
1	1	101	Min.	0.00	-9215.72	8	-750.03	14	-1225.61	2	-4529.88	8	-4822.33	20	-25.30	20
1	1	101	Min.	375.00	-7528.22	8	-750.03	14	-1323.92	14	-4529.88	8	-7808.89	8	-25.30	20
2	2	102	Max	0.00	-11117.40	20	2607.05	8	-59.25	20	1821.31	2	4412.87	14	25.30	8
2	2	102	Max	375.00	-9429.95	20	2607.05	8	5468.92	8	1821.31	2	2518.49	2	25.30	8
2	2	102	Min.	0.00	-12702.50	8	605.69	20	-4307.50	8	-1902.78	14	-4311.44	2	-25.30	20
2	2	102	Min.	375.00	-11015.00	8	605.69	20	2212.08	20	-1902.78	14	-2722.58	14	-25.30	20
3	3	103	Max	0.00	-12023.90	20	2832.28	8	-454.66	20	1874.48	2	4334.00	14	25.30	8
3	3	103	Max	375.00	-10336.40	20	2832.28	8	6034.12	8	1874.48	2	2646.99	2	25.30	8
3	3	103	Min.	0.00	-13436.10	8	876.95	20	-4586.94	8	-1843.59	14	-4382.31	2	-25.30	20
3	3	103	Min.	375.00	-11748.60	8	876.95	20	2833.91	20	-1843.59	14	-2579.46	14	-25.30	20
4	4	104	Max	0.00	-13271.00	20	2990.96	8	-792.16	20	1615.78	2	4397.93	14	25.30	8
4	4	104	Max	375.00	-11583.50	20	2990.96	8	6440.17	8	1615.78	2	2021.62	2	25.30	8
4	4	104	Min.	0.00	-14808.60	8	1105.63	20	-4775.92	8	-1891.56	14	-4037.56	2	-25.30	20
4	4	104	Min.	375.00	-13121.10	8	1105.63	20	3353.94	20	-1891.56	14	-2695.43	14	-25.30	20
5	5	105	Max	0.00	-12715.90	8	2972.95	20	-576.57	8	1995.33	2	4040.74	14	25.30	8
5	5	105	Max	375.00	-11028.40	8	2972.95	20	6355.35	20	1995.33	2	2939.14	2	25.30	8
5	5	105	Min.	0.00	-14453.70	20	977.75	8	-4793.23	20	-1623.53	14	-4543.36	2	-25.30	20
5	5	105	Min.	375.00	-12766.20	20	977.75	8	3089.97	8	-1623.53	14	-2047.49	14	-25.30	20
6	6	106	Max	0.00	-11423.60	8	2727.44	20	-103.36	8	1765.80	2	4459.89	14	25.30	8
6	6	106	Max	375.00	-9736.08	8	2727.44	20	5731.90	20	1765.80	2	2384.28	2	25.30	8
6	6	106	Min.	0.00	-13117.00	20	656.43	8	-4496.00	20	-1938.06	14	-4237.48	2	-25.30	20
6	6	106	Min.	375.00	-11429.50	20	656.43	8	2358.25	8	-1938.06	14	-2807.84	14	-25.30	20
7	7	107	Max	0.00	-6162.03	8	767.19	2	1074.79	14	1235.79	8	9784.57	20	25.30	8
7	7	107	Max	375.00	-4474.53	8	767.19	2	1363.12	2	1235.79	8	-322.93	8	25.30	8
7	7	107	Min.	0.00	-10069.50	20	-445.48	14	-1513.84	2	-4858.29	20	-4957.14	8	-25.30	20
7	7	107	Min.	375.00	-8381.96	20	-445.48	14	-595.76	14	-4858.29	20	-8434.01	20	-25.30	20
8	8	108	Max	0.00	-5362.84	8	555.14	14	1488.72	2	4529.88	20	4822.33	8	25.30	8
8	8	108	Max	375.00	-3675.34	8	555.14	14	856.19	14	4529.88	20	7808.89	20	25.30	8
8	8	108	Min.	0.00	-9215.72	20	-750.03	2	-1225.61	14	-1261.28	8	-9178.15	20	-25.30	20
8	8	108	Min.	375.00	-7528.22	20	-750.03	2	-1323.92	2	-1261.28	8	92.54	8	-25.30	20
9	9	109	Max	0.00	-11117.40	8	-605.69	8	4307.50	20	1821.31	14	4412.87	2	25.30	8
9	9	109	Max	375.00	-9429.95	8	-605.69	8	-2212.08	8	1821.31	14	2518.49	14	25.30	8
9	9	109	Min.	0.00	-12702.50	20	-2607.05	20	59.25	8	-1902.78	2	-4311.44	14	-25.30	20
9	9	109	Min.	375.00	-11015.00	20	-2607.05	20	-5468.92	20	-1902.78	2	-2722.58	2	-25.30	20
10	10	110	Max	0.00	-12023.90	8	-876.95	8	4586.94	20	1874.48	14	4334.00	2	25.30	8
10	10	110	Max	375.00	-10336.40	8	-876.95	8	-2833.91	8	1874.48	14	2646.99	14	25.30	8
10	10	110	Min.	0.00	-13436.10	20	-2832.28	20	454.66	8	-1843.59	2	-4382.31	14	-25.30	20
10	10	110	Min.	375.00	-11748.60	20	-2832.28	20	-6034.12	20	-1843.59	2	-2579.46	2	-25.30	20
11	11	111	Max	0.00	-13271.00	8	-1105.63	8	4775.92	20	1615.78	14	4397.93	2	25.30	8
11	11	111	Max	375.00	-11583.50	8	-1105.63	8	-3353.94	8	1615.78	14	2021.62	14	25.30	8
11	11	111	Min.	0.00	-14808.60	20	-2990.96	20	792.16	8	-1891.56	2	-4037.56	14	-25.30	20
11	11	111	Min.	375.00	-13121.10	20	-2990.96	20	-6440.17	20	-1891.56	2	-2695.43	2	-25.30	20
12	12	112	Max	0.00	-12715.90	20	-977.75	20	4793.23	8	1995.33	14	4040.74	2	25.30	8
12	12	112	Max	375.00	-11028.40	20	-977.75	20	-3089.97	20	1995.33	14	2939.14	14	25.30	8
12	12	112	Min.	0.00	-14453.70	8	-2972.95	8	576.57	20	-1623.53	2	-4543.36	14	-25.30	20
12	12	112	Min.	375.00	-12766.20	8	-2972.95	8	-6355.35	8	-1623.53	2	-2047.49	2	-25.30	20
13	13	113	Max	0.00	-11423.60	20	-656.43	20	4496.00	8	1765.80	14	4459.89	2	25.30	8
13	13	113	Max	375.00	-9736.08	20	-656.43	20	-2358.25	20	1765.80	14	2384.28	14	25.30	8
13	13	113	Min.	0.00	-13117.00	8	-2727.44	8	103.36	20	-1938.06	2	-4237.48	14	-25.30	20
13	13	113	Min.	375.00	-11429.50	8	-2727.44	8	-5731.90	8	-1938.06	2	-2807.84	2	-25.30	20
14	14	114	Max	0.00	-6162.03	20	767.19	14	1074.79	2	4858.29	8	4957.14	20	25.30	8
14	14	114	Max	375.00	-4474.53	20	767.19	14	1363.12	14	4858.29	8	8434.01	8	25.30	8
14	14	114	Min.	0.00	-10069.50	8	-445.48	2	-1513.84	14	-1235.79	20	-9784.57	8	-25.30	20
14	14	114	Min.	375.00	-8381.96	8	-445.48	2	-595.76	2	-1235.79	20	322.93	20	-25.30	20
101	101	102	Max	15.00	0.00	8	0.00	2	0.00	2	1527.73	14	1052.37	2	-377.07	20
101	101	102	Max	320.55									951.54	14		
101	101	102	Max	330.00	0.00	8	0.00	2	0.00	2	-47.27	14	949.31	14	-377.07	20
101	101	102	Min.	15.00	0.00	8	0.00	2	0.00	2	-165.07	2	-1382.42	14	-612.86	8
101	101	102	Min.	320.55									-1665.38	14		
101	101	102	Min.	330.00	0.00	8	0.00	2	0.00	2	-1740.07	2	-1948.22	2	-612.86	8
101	102	103	Max	30.00	0.00	2	0.00	8	0.00	8	1703.87	14	835.71	2	-75.51	20
101	102	103	Max	77.21									891.44	2		
101	102	103	Max	420.00	0.00	2	0.00	8	0.00	8	-246.13	14	817.07	14	-75.51	20
101	102	103	Min.	30.00	0.00	2	0.00	8	0.00	8	236.07	2	-2025.52	14	-92.60	8
101	102	103	Min.	77.21									-1182.53	2		
101	102	103	Min.	420.00	0.00	2	0.00	8	0.00	8	-1713.93	2	-2046.11	2	-92.60	8
101	103	104	Max	30.00	0.00	2	0.00	8	0.00	8	1707.06	14	880.37	2	-59.14	20
101	103	104	Max	66.85									915.28	2		
101	103	104	Max	420.00	0.00	2	0.00	8	0.00	8	-242.94	14	805.69	14	-59.14	20
101	103	104	Min.	30.00	0.00	2	0.00	8	0.00	8	186.87	2	-2049.36	14	-72.00	8
101	103	104	Min.	66.85									-1351.16	2		
101	103	104	Min.	420.00	0.00	2	0.00	8	0.00	8	-1763.13	2	-2193.33	2	-72.00	8
101	104	105	Max	30.00	0.00	2	0.00	8	0.00	8	1731.39	14	173.28	2	25.74	20
101	104	105	Max	190.47									817.09	2		
101	104	105	Max	535.00	0.00	2	0.00	8	0.00	8	-793.61	14	181.15	14	25.74	20
101	104	105	Min.	30.00	0.00	2	0.00	8	0.00	8	802.38	2	-2186.73	14	12.67	8
101	104	105	Min.	190.47									-14.36	2		
101	104	105	Min.	535.00	0.00	2	0.00	8	0.00	8	-1722.62	2	-2150.35	2	12.67	8
101	105	106	Max	30.00	0.00	2	0.00	8	0.00	8	1815.82	14	1048.61	2	117.02	20
101	105	106	Max	270.56									329.91	20		

Relazione di calcolo

101	105	106	Max	380.00	0.00	2	0.00	8	0.00	8	65.82	14	1096.40	14	117.02	20
101	105	106	Min.	30.00	0.00	2	0.00	8	0.00	8	-29.65	2	-2196.47	14	96.10	8
101	105	106	Min.	270.56									-22.38	20		
101	105	106	Min.	380.00	0.00	2	0.00	8	0.00	8	-1779.65	2	-2117.66	2	96.10	8
101	106	107	Max	30.00	0.00	2	0.00	8	0.00	8	1683.17	14	565.67	2	520.03	20
101	106	107	Max	366.02									883.17	14		
101	106	107	Max	420.00	0.00	2	0.00	8	0.00	8	-266.83	14	811.98	14	520.03	20
101	106	107	Min.	30.00	0.00	2	0.00	8	0.00	8	462.37	2	-1949.88	14	310.59	8
101	106	107	Min.	366.02									-636.71	14		
101	106	107	Min.	420.00	0.00	2	0.00	8	0.00	8	-1487.63	2	-1433.60	2	310.59	8
103	108	109	Max	15.00	0.00	8	0.00	2	0.00	2	1527.73	2	1052.37	14	612.86	20
103	108	109	Max	320.55									951.54	2		
103	108	109	Max	330.00	0.00	8	0.00	2	0.00	2	-47.27	2	949.31	2	612.86	20
103	108	109	Min.	15.00	0.00	8	0.00	2	0.00	2	-165.07	14	-1382.42	2	377.07	8
103	108	109	Min.	320.55									-1665.38	2		
103	108	109	Min.	330.00	0.00	8	0.00	2	0.00	2	-1740.07	14	-1948.22	14	377.07	8
103	109	110	Max	30.00	0.00	2	0.00	8	0.00	8	1703.87	2	835.71	14	92.60	20
103	109	110	Max	77.21									891.44	14		
103	109	110	Max	420.00	0.00	2	0.00	8	0.00	8	-246.13	2	817.07	2	92.60	20
103	109	110	Min.	30.00	0.00	2	0.00	8	0.00	8	236.07	14	-2025.52	2	75.51	8
103	109	110	Min.	77.21									-1182.53	14		
103	109	110	Min.	420.00	0.00	2	0.00	8	0.00	8	-1713.93	14	-2046.11	14	75.51	8
103	110	111	Max	30.00	0.00	2	0.00	8	0.00	8	1707.06	2	880.37	14	72.00	20
103	110	111	Max	66.85									915.28	14		
103	110	111	Max	420.00	0.00	2	0.00	8	0.00	8	-242.94	2	805.69	2	72.00	20
103	110	111	Min.	30.00	0.00	2	0.00	8	0.00	8	186.87	14	-2049.36	2	59.14	8
103	110	111	Min.	66.85									-1351.16	14		
103	110	111	Min.	420.00	0.00	2	0.00	8	0.00	8	-1763.13	14	-2193.33	14	59.14	8
103	111	112	Max	30.00	0.00	2	0.00	8	0.00	8	1731.39	2	173.28	14	-12.67	20
103	111	112	Max	190.47									817.09	14		
103	111	112	Max	535.00	0.00	2	0.00	8	0.00	8	-793.61	2	181.15	2	-12.67	20
103	111	112	Min.	30.00	0.00	2	0.00	8	0.00	8	802.38	14	-2186.73	2	-25.74	8
103	111	112	Min.	190.47									-14.36	14		
103	111	112	Min.	535.00	0.00	2	0.00	8	0.00	8	-1722.62	14	-2150.35	14	-25.74	8
103	112	113	Max	30.00	0.00	2	0.00	8	0.00	8	1815.82	2	1048.61	14	-96.10	20
103	112	113	Max	270.56									329.91	8		
103	112	113	Max	380.00	0.00	2	0.00	8	0.00	8	65.82	2	1096.40	2	-96.10	20
103	112	113	Min.	30.00	0.00	2	0.00	8	0.00	8	-29.65	14	-2196.47	2	-117.02	8
103	112	113	Min.	270.56									-22.38	8		
103	112	113	Min.	380.00	0.00	2	0.00	8	0.00	8	-1779.65	14	-2117.66	14	-117.02	8
103	113	114	Max	30.00	0.00	2	0.00	8	0.00	8	1683.17	2	565.67	14	-310.59	20
103	113	114	Max	366.02									883.17	2		
103	113	114	Max	420.00	0.00	2	0.00	8	0.00	8	-266.83	2	811.98	2	-310.59	20
103	113	114	Min.	30.00	0.00	2	0.00	8	0.00	8	462.37	14	-1949.88	2	-520.03	8
103	113	114	Min.	366.02									-636.70	2		
103	113	114	Min.	420.00	0.00	2	0.00	8	0.00	8	-1487.63	14	-1433.60	14	-520.03	8
104	101	108	Max	45.00	0.00	2	0.00	2	0.00	2	5647.58	8	1949.31	20	9.08	20
104	101	108	Max	390.00									3441.12	8		
104	101	108	Max	525.00	0.00	2	0.00	2	0.00	2	-2210.02	8	1949.30	8	9.08	20
104	101	108	Min.	45.00	0.00	2	0.00	2	0.00	2	2210.02	20	-6300.82	8	-9.08	8
104	101	108	Min.	179.34									259.35	20		
104	101	108	Min.	525.00	0.00	2	0.00	2	0.00	2	-5647.58	20	-6300.82	20	-9.08	8
105	102	109	Max	15.00	0.00	2	0.00	2	0.00	2	8214.36	8	-1717.67	20	14.45	20
105	102	109	Max	257.86									6435.16	20		
105	102	109	Max	555.00	0.00	2	0.00	2	0.00	2	-6713.94	8	-1717.66	8	14.45	20
105	102	109	Min.	15.00	0.00	2	0.00	2	0.00	2	6713.94	20	-5768.81	8	-14.45	8
105	102	109	Min.	257.86									6066.19	20		
105	102	109	Min.	555.00	0.00	2	0.00	2	0.00	2	-8214.36	20	-5768.81	20	-14.45	8
106	103	110	Max	15.00	0.00	8	0.00	2	0.00	2	8881.08	8	-2042.88	20	13.98	20
106	103	110	Max	261.89									7192.12	20		
106	103	110	Max	555.00	0.00	8	0.00	2	0.00	2	-7480.91	8	-2042.88	8	13.98	20
106	103	110	Min.	15.00	0.00	8	0.00	2	0.00	2	7480.92	20	-5823.33	8	-13.98	8
106	103	110	Min.	261.89									6885.13	20		
106	103	110	Min.	555.00	0.00	8	0.00	2	0.00	2	-8881.08	20	-5823.33	20	-13.98	8
107	104	111	Max	15.00	0.00	2	0.00	2	0.00	2	9770.83	8	-2579.30	20	15.05	20
107	104	111	Max	265.00									7949.60	20		
107	104	111	Max	555.00	0.00	2	0.00	2	0.00	2	-8423.12	8	-2579.29	8	15.05	20
107	104	111	Min.	15.00	0.00	2	0.00	2	0.00	2	8423.12	20	-6218.10	8	-15.05	8
107	104	111	Min.	265.00									7681.66	20		
107	104	111	Min.	555.00	0.00	2	0.00	2	0.00	2	-9770.82	20	-6218.08	20	-15.05	8
108	105	112	Max	15.00	0.00	2	0.00	2	0.00	2	9492.67	20	-2318.22	8	14.52	20
108	105	112	Max	263.03									7682.45	8		
108	105	112	Max	555.00	0.00	2	0.00	2	0.00	2	-8064.07	20	-2318.20	20	14.52	20
108	105	112	Min.	15.00	0.00	2	0.00	2	0.00	2	8064.08	8	-6175.43	20	-14.52	8
108	105	112	Min.	263.03									7384.29	8		
108	105	112	Min.	555.00	0.00	2	0.00	2	0.00	2	-9492.67	8	-6175.41	8	-14.52	8
109	106	113	Max	15.00	0.00	14	0.00	2	0.00	2	8513.21	20	-1757.12	8	13.73	20
109	106	113	Max	258.14									6719.51	8		
109	106	113	Max	555.00	0.00	14	0.00	2	0.00	2	-6972.64	20	-1757.12	20	13.73	20
109	106	113	Min.	15.00	0.00	2	0.00	2	0.00	2	6972.64	8	-5916.66	20	-13.73	8
109	106	113	Min.	258.14									6341.79	8		
109	106	113	Min.	555.00	0.00	2	0.00	2	0.00	2	-8513.21	8	-5916.66	8	-13.73	8

Relazione di calcolo

110	107	114	Max	45.00	0.00	2	0.00	2	0.00	2	6273.71	20	1860.78	8	8.31	20
110	107	114	Max	382.61									3744.47	20		
110	107	114	Max	525.00	0.00	2	0.00	2	0.00	2	-2645.89	20	1860.78	20	8.31	20
110	107	114	Min.	45.00	0.00	2	0.00	2	0.00	2	2645.89	8	-6845.98	20	-8.31	8
110	107	114	Min.	186.91									616.01	8		
110	107	114	Min.	525.00	0.00	2	0.00	2	0.00	2	-6273.71	8	-6845.98	8	-8.31	8

Tipo di combinazione di carico: SLO

Asta	N1	N2		X <cm>	N <daN>	CC	Ty <daN>	CC	Mz <daNm>	CC	Tz <daN>	CC	My <daNm>	CC	Mx <daNm>	CC
1	1	101	Max	0.00	-4925.01	21	703.46	3	1797.18	15	1919.38	21	10769.10	9	31.07	9
1	1	101	Max	375.00	-3237.51	21	703.46	3	1103.95	3	1919.38	21	784.34	21	31.07	9
1	1	101	Min.	0.00	-9653.55	9	-898.35	15	-1534.07	3	-5187.98	9	-6413.33	21	-31.07	21
1	1	101	Min.	375.00	-7966.05	9	-898.35	15	-1571.68	15	-5187.97	9	-8685.76	9	-31.07	21
2	2	102	Max	0.00	-10937.30	21	2834.47	9	423.51	21	2244.52	3	5404.30	15	31.07	9
2	2	102	Max	375.00	-9249.83	21	2834.47	9	5839.02	9	2244.52	3	3114.09	3	31.07	9
2	2	102	Min.	0.00	-12882.60	9	378.26	21	-4790.26	9	-2325.99	15	-5302.87	3	-31.07	21
2	2	102	Min.	375.00	-11195.10	9	378.26	21	1841.98	21	-2325.99	15	-3318.19	15	-31.07	21
3	3	103	Max	0.00	-11863.40	21	3054.48	9	14.91	21	2297.00	3	5324.52	15	31.07	9
3	3	103	Max	375.00	-10175.90	21	3054.48	9	6397.78	9	2297.00	3	3240.93	3	31.07	9
3	3	103	Min.	0.00	-13596.60	9	654.76	21	-5056.51	9	-2266.11	15	-5372.83	3	-31.07	21
3	3	103	Min.	375.00	-11909.10	9	654.76	21	2470.26	21	-2266.11	15	-3173.40	15	-31.07	21
4	4	104	Max	0.00	-13096.30	21	3205.20	9	-339.48	21	2014.36	3	5356.54	15	31.07	9
4	4	104	Max	375.00	-11408.80	21	3205.19	9	6790.87	9	2014.36	3	2557.67	3	31.07	9
4	4	104	Min.	0.00	-14983.30	9	891.39	21	-5228.61	9	-2290.14	15	-4996.17	3	-31.07	21
4	4	104	Min.	375.00	-13295.80	9	891.39	21	3003.24	21	-2290.14	15	-3231.47	15	-31.07	21
5	5	105	Max	0.00	-12518.40	9	3199.67	21	-97.43	9	2406.58	3	5016.24	15	31.07	9
5	5	105	Max	375.00	-10830.90	9	3199.67	21	6726.40	21	2406.58	3	3505.82	3	31.07	9
5	5	105	Min.	0.00	-14651.10	21	751.03	9	-5272.37	21	-2034.78	15	-5518.86	3	-31.07	21
5	5	105	Min.	375.00	-12963.60	21	751.03	9	2718.92	9	-2034.78	15	-2614.17	15	-31.07	21
6	6	106	Max	0.00	-11231.20	9	2962.77	21	395.78	9	2186.70	3	5448.25	15	31.07	9
6	6	106	Max	375.00	-9543.66	9	2962.77	21	6115.25	21	2186.70	3	2974.30	3	31.07	9
6	6	106	Min.	0.00	-13309.40	21	421.10	9	-4995.14	21	-2358.96	15	-5225.84	3	-31.07	21
6	6	106	Min.	375.00	-11621.90	21	421.10	9	1974.89	9	-2358.96	15	-3397.86	15	-31.07	21
7	7	107	Max	0.00	-5718.02	9	905.00	3	1368.96	15	1928.27	9	11459.70	21	31.07	9
7	7	107	Max	375.00	-4030.52	9	905.00	3	1585.72	3	1928.27	9	598.75	9	31.07	9
7	7	107	Min.	0.00	-10513.50	21	-583.29	15	-1808.01	3	-5550.77	21	-6632.26	9	-31.07	21
7	7	107	Min.	375.00	-8825.96	21	-583.29	15	-818.37	15	-5550.77	21	-9355.68	21	-31.07	21
8	8	108	Max	0.00	-4925.01	9	703.46	15	1797.18	3	5187.98	21	6413.33	9	31.07	9
8	8	108	Max	375.00	-3237.51	9	703.46	15	1103.95	15	5187.97	21	8685.76	21	31.07	9
8	8	108	Min.	0.00	-9653.55	21	-898.35	3	-1534.07	15	-1919.38	9	-10769.10	21	-31.07	21
8	8	108	Min.	375.00	-7966.05	21	-898.35	3	-1571.68	3	-1919.38	9	-784.34	9	-31.07	21
9	9	109	Max	0.00	-10937.30	9	-378.26	9	4790.26	21	2244.52	15	5404.30	3	31.07	9
9	9	109	Max	375.00	-9249.83	9	-378.26	9	-1841.98	9	2244.52	15	3114.09	15	31.07	9
9	9	109	Min.	0.00	-12882.60	21	-2834.47	21	-423.51	9	-2325.99	3	-5302.87	15	-31.07	21
9	9	109	Min.	375.00	-11195.10	21	-2834.47	21	-5839.02	21	-2325.99	3	-3318.19	3	-31.07	21
10	10	110	Max	0.00	-11863.40	9	-654.76	9	5056.51	21	2297.00	15	5324.52	3	31.07	9
10	10	110	Max	375.00	-10175.90	9	-654.76	9	-2470.26	9	2297.00	15	3240.93	15	31.07	9
10	10	110	Min.	0.00	-13596.60	21	-3054.48	21	-14.91	9	-2266.11	3	-5372.83	15	-31.07	21
10	10	110	Min.	375.00	-11909.10	21	-3054.48	21	-6397.78	21	-2266.11	3	-3173.40	3	-31.07	21
11	11	111	Max	0.00	-13096.30	9	-891.39	9	5228.61	21	2014.36	15	5356.54	3	31.07	9
11	11	111	Max	375.00	-11408.80	9	-891.39	9	-3003.24	9	2014.36	15	2557.67	15	31.07	9
11	11	111	Min.	0.00	-14983.30	21	-3205.20	21	339.48	9	-2290.14	3	-4996.17	15	-31.07	21
11	11	111	Min.	375.00	-13295.80	21	-3205.19	21	-6790.87	21	-2290.14	3	-3231.47	3	-31.07	21
12	12	112	Max	0.00	-12518.40	21	-751.03	21	5272.37	9	2406.58	15	5016.24	3	31.07	9
12	12	112	Max	375.00	-10830.90	21	-751.03	21	-2718.92	21	2406.58	15	3505.82	15	31.07	9
12	12	112	Min.	0.00	-14651.10	9	-3199.67	9	97.43	21	-2034.78	3	-5518.86	15	-31.07	21
12	12	112	Min.	375.00	-12963.60	9	-3199.67	9	-6726.40	9	-2034.78	3	-2614.17	3	-31.07	21
13	13	113	Max	0.00	-11231.20	21	-421.10	21	4995.14	9	2186.70	15	5448.25	3	31.07	9
13	13	113	Max	375.00	-9543.66	21	-421.10	21	-1974.89	21	2186.70	15	2974.30	15	31.07	9
13	13	113	Min.	0.00	-13309.40	9	-2962.77	9	-395.78	21	-2358.96	3	-5225.84	15	-31.07	21
13	13	113	Min.	375.00	-11621.90	9	-2962.77	9	-6115.25	9	-2358.96	3	-3397.86	3	-31.07	21
14	14	114	Max	0.00	-5718.02	21	905.00	15	1368.96	3	5550.77	9	6632.26	21	31.07	9
14	14	114	Max	375.00	-4030.52	21	905.00	15	1585.72	15	5550.77	9	9355.68	9	31.07	9
14	14	114	Min.	0.00	-10513.50	9	-583.29	3	-1808.01	15	-1928.27	21	-11459.70	9	-31.07	21
14	14	114	Min.	375.00	-8825.96	9	-583.29	3	-818.37	3	-1928.27	21	-598.75	21	-31.07	21
101	101	102	Max	15.00	0.00	9	0.00	3	0.00	3	1720.11	15	1329.08	3	-350.28	21
101	101	102	Max	80.47									446.45	9		
101	101	102	Max	330.00	0.00	9	0.00	3	0.00	3	145.11	15	1278.60	15	-350.28	21
101	101	102	Min.	15.00	0.00	9	0.00	3	0.00	3	-357.45	3	-1659.12	15	-639.66	9
101	101	102	Min.	78.00									-35.31	12		
101	101	102	Min.	330.00	0.00	9	0.00	3	0.00	3	-1932.45	3	-2277.51	3	-639.66	9
101	102	103	Max	30.00	0.00	3	0.00	9	0.00	9	1870.67	15	1160.85	3	-73.56	21
101	102	103	Max	43.33									1165.64	3		
101	102	103	Max	420.00	0.00	3	0.00	9	0.00	9	-79.33	15	1142.44	15	-73.56	21
101	102	103	Min.	30.00	0.00	3	0.00	9	0.00	9	69.27	3	-2350.67	15	-94.54	9
101	102	103	Min.	43.33									-1963.58	3		
101	102	103	Min.	420.00	0.00	3	0.00	9	0.00	9	-1880.73	3	-2371.48	3	-94.54	9
101	103	104	Max	30.00	0.00	3	0.00	9	0.00	9	1879.82	15	1213.30	3	-57.68	21
101	103	104	Max	32.43									1213.50	3		
101	103	104	Max	420.00	0.00	3	0.00	9	0.00	9	-70.18	15	1146.49	15	-57.68	21

Relazione di calcolo

101	103	104	Min.	30.00	0.00	3	0.00	9	0.00	9	14.12	3	-2382.29	15	-73.47	9
101	103	104	Min.	32.43									-2182.24	3		
101	103	104	Min.	420.00	0.00	3	0.00	9	0.00	9	-1935.88	3	-2534.14	3	-73.47	9
101	104	105	Max	30.00	0.00	3	0.00	9	0.00	9	1836.96	15	441.47	3	27.23	21
101	104	105	Max	168.84									927.00	3		
101	104	105	Max	535.00	0.00	3	0.00	9	0.00	9	-688.04	15	446.10	15	27.23	21
101	104	105	Min.	30.00	0.00	3	0.00	9	0.00	9	696.80	3	-2454.92	15	11.18	9
101	104	105	Min.	168.84									-329.41	3		
101	104	105	Min.	535.00	0.00	3	0.00	9	0.00	9	-1828.20	3	-2415.30	3	11.18	9
101	105	106	Max	30.00	0.00	3	0.00	9	0.00	9	2025.54	15	1417.38	3	119.40	21
101	105	106	Max	285.41									381.40	21		
101	105	106	Max	380.00	0.00	3	0.00	9	0.00	9	275.54	15	1461.64	15	119.40	21
101	105	106	Min.	30.00	0.00	3	0.00	9	0.00	9	-239.37	3	-2565.24	15	93.72	9
101	105	106	Min.	129.56									-150.71	9		
101	105	106	Min.	380.00	0.00	3	0.00	9	0.00	9	-1989.37	3	-2482.90	3	93.72	9
101	106	107	Max	30.00	0.00	3	0.00	9	0.00	9	1821.90	15	851.53	3	543.83	21
101	106	107	Max	394.38									1083.58	15		
101	106	107	Max	420.00	0.00	3	0.00	9	0.00	9	-128.10	15	1067.17	15	543.83	21
101	106	107	Min.	30.00	0.00	3	0.00	9	0.00	9	323.64	3	-2235.74	15	286.79	9
101	106	107	Min.	394.38									-1188.35	15		
101	106	107	Min.	420.00	0.00	3	0.00	9	0.00	9	-1626.36	3	-1688.79	3	286.79	9
103	108	109	Max	15.00	0.00	9	0.00	3	0.00	3	1720.11	3	1329.08	15	639.66	21
103	108	109	Max	80.47									446.45	21		
103	108	109	Max	330.00	0.00	9	0.00	3	0.00	3	145.11	3	1278.60	3	639.66	21
103	108	109	Min.	15.00	0.00	9	0.00	3	0.00	3	-357.45	15	-1659.12	3	350.28	9
103	108	109	Min.	78.00									-35.31	24		
103	108	109	Min.	330.00	0.00	9	0.00	3	0.00	3	-1932.45	15	-2277.51	15	350.28	9
103	109	110	Max	30.00	0.00	3	0.00	9	0.00	9	1870.67	3	1160.85	15	94.54	21
103	109	110	Max	43.33									1165.64	15		
103	109	110	Max	420.00	0.00	3	0.00	9	0.00	9	-79.33	3	1142.44	3	94.54	21
103	109	110	Min.	30.00	0.00	3	0.00	9	0.00	9	69.27	15	-2350.67	3	73.56	9
103	109	110	Min.	43.33									-1963.58	15		
103	109	110	Min.	420.00	0.00	3	0.00	9	0.00	9	-1880.73	15	-2371.48	15	73.56	9
103	110	111	Max	30.00	0.00	3	0.00	9	0.00	9	1879.82	3	1213.30	15	73.47	21
103	110	111	Max	32.43									1213.50	15		
103	110	111	Max	420.00	0.00	3	0.00	9	0.00	9	-70.18	3	1146.49	3	73.47	21
103	110	111	Min.	30.00	0.00	3	0.00	9	0.00	9	14.12	15	-2382.29	3	57.68	9
103	110	111	Min.	32.43									-2182.24	15		
103	110	111	Min.	420.00	0.00	3	0.00	9	0.00	9	-1935.88	15	-2534.14	15	57.68	9
103	111	112	Max	30.00	0.00	3	0.00	9	0.00	9	1836.96	3	441.47	15	-11.18	21
103	111	112	Max	168.84									927.00	15		
103	111	112	Max	535.00	0.00	3	0.00	9	0.00	9	-688.04	3	446.10	3	-11.18	21
103	111	112	Min.	30.00	0.00	3	0.00	9	0.00	9	696.80	15	-2454.92	3	-27.23	9
103	111	112	Min.	168.84									-329.41	15		
103	111	112	Min.	535.00	0.00	3	0.00	9	0.00	9	-1828.20	15	-2415.30	15	-27.23	9
103	112	113	Max	30.00	0.00	3	0.00	9	0.00	9	2025.54	3	1417.38	15	-93.72	21
103	112	113	Max	285.41									381.40	9		
103	112	113	Max	380.00	0.00	3	0.00	9	0.00	9	275.54	3	1461.64	3	-93.72	21
103	112	113	Min.	30.00	0.00	3	0.00	9	0.00	9	-239.37	15	-2565.24	3	-119.40	9
103	112	113	Min.	129.56									-150.71	21		
103	112	113	Min.	380.00	0.00	3	0.00	9	0.00	9	-1989.37	15	-2482.90	15	-119.40	9
103	113	114	Max	30.00	0.00	3	0.00	9	0.00	9	1821.90	3	851.53	15	-286.79	21
103	113	114	Max	394.38									1083.58	3		
103	113	114	Max	420.00	0.00	3	0.00	9	0.00	9	-128.10	3	1067.17	3	-286.79	21
103	113	114	Min.	30.00	0.00	3	0.00	9	0.00	9	323.64	15	-2235.74	3	-543.83	9
103	113	114	Min.	394.38									-1188.34	3		
103	113	114	Min.	420.00	0.00	3	0.00	9	0.00	9	-1626.36	15	-1688.79	15	-543.83	9
104	101	108	Max	45.00	0.00	3	0.00	3	0.00	3	6038.21	9	2886.84	21	11.15	21
104	101	108	Max	413.86									3897.88	9		
104	101	108	Max	525.00	0.00	3	0.00	3	0.00	3	-1819.39	9	2886.83	9	11.15	21
104	101	108	Min.	45.00	0.00	3	0.00	3	0.00	3	1819.39	21	-7238.35	9	-11.15	9
104	101	108	Min.	155.59									-884.80	21		
104	101	108	Min.	525.00	0.00	3	0.00	3	0.00	3	-6038.22	21	-7238.35	21	-11.15	9
105	102	109	Max	15.00	0.00	3	0.00	3	0.00	3	8384.86	9	-1257.31	21	17.74	21
105	102	109	Max	318.36									6486.69	9		
105	102	109	Max	555.00	0.00	3	0.00	3	0.00	3	-6543.43	9	-1257.30	9	17.74	21
105	102	109	Min.	15.00	0.00	3	0.00	3	0.00	3	6543.43	21	-6229.17	9	-17.74	9
105	102	109	Min.	318.36									5930.01	9		
105	102	109	Min.	555.00	0.00	3	0.00	3	0.00	3	-8384.86	21	-6229.17	21	-17.74	9
106	103	110	Max	15.00	0.00	9	0.00	3	0.00	3	9040.19	9	-1613.29	21	17.17	21
106	103	110	Max	256.64									7233.06	21		
106	103	110	Max	555.00	0.00	9	0.00	3	0.00	3	-7321.81	9	-1613.29	9	17.17	21
106	103	110	Min.	15.00	0.00	9	0.00	3	0.00	3	7321.81	21	-6252.92	9	-17.17	9
106	103	110	Min.	256.64									6770.68	21		
106	103	110	Min.	555.00	0.00	9	0.00	3	0.00	3	-9040.19	21	-6252.92	21	-17.17	9
107	104	111	Max	15.00	0.00	3	0.00	3	0.00	3	9923.97	9	-2165.82	21	18.48	21
107	104	111	Max	260.45									7983.71	21		
107	104	111	Max	555.00	0.00	3	0.00	3	0.00	3	-8269.97	9	-2165.80	9	18.48	21
107	104	111	Min.	15.00	0.00	3	0.00	3	0.00	3	8269.98	21	-6631.58	9	-18.48	9
107	104	111	Min.	260.45									7580.14	21		
107	104	111	Min.	555.00	0.00	3	0.00	3	0.00	3	-9923.96	21	-6631.57	21	-18.48	9
108	105	112	Max	15.00	0.00	3	0.00	3	0.00	3	9655.01	21	-1879.92	9	17.83	21

Relazione di calcolo

101	101	102	Min.	149.94								412.95	25			
101	101	102	Min.	330.00	-148587.00	25	0.00	25	0.00	25	-1235.12	29	-692.18	29	-892.47	29
101	102	103	Max	30.00	-148587.00	25	0.00	25	0.00	29	1710.04	36	-817.73	29	-136.00	25
101	102	103	Max	277.23									570.80	36		
101	102	103	Max	420.00	-148587.00	25	0.00	25	0.00	29	-980.96	36	-126.49	36	-136.00	25
101	102	103	Min.	30.00	-148587.00	25	0.00	25	0.00	25	1336.89	29	-1548.21	36	-140.05	29
101	102	103	Min.	223.68									477.40	29		
101	102	103	Min.	420.00	-148587.00	25	0.00	25	0.00	25	-1354.11	29	-851.30	29	-140.05	29
101	103	104	Max	30.00	-148587.00	25	0.00	25	0.00	29	1687.77	36	-804.25	29	-106.80	25
101	103	104	Max	274.22									523.80	36		
101	103	104	Max	420.00	-148587.00	25	0.00	25	0.00	25	-1003.23	36	-205.51	36	-106.80	25
101	103	104	Min.	30.00	-148587.00	25	0.00	29	0.00	25	1305.63	29	-1540.38	36	-107.26	29
101	103	104	Min.	219.27									430.91	25		
101	103	104	Min.	420.00	-148587.00	25	0.00	29	0.00	29	-1385.37	29	-959.75	29	-107.26	29
101	104	105	Max	30.00	-148587.00	25	0.00	25	0.00	29	1980.27	36	-1385.25	29	31.25	25
101	104	105	Max	317.00									862.97	36		
101	104	105	Max	535.00	-148587.00	25	0.00	25	0.00	25	-1504.23	36	-776.66	36	31.25	25
101	104	105	Min.	30.00	-148587.00	25	0.00	29	0.00	25	1746.79	29	-1978.68	36	31.02	29
101	104	105	Min.	283.34									825.80	25		
101	104	105	Min.	535.00	-148587.00	25	0.00	29	0.00	29	-1737.71	29	-1362.31	29	31.02	29
101	105	106	Max	30.00	-148587.00	25	0.00	25	0.00	29	1697.97	36	-784.92	29	175.75	29
101	105	106	Max	276.08									482.65	36		
101	105	106	Max	380.00	-148587.00	25	0.00	25	0.00	25	-717.03	36	110.08	36	175.75	29
101	105	106	Min.	30.00	-148587.00	25	0.00	29	0.00	25	1228.42	29	-1606.55	36	172.77	25
101	105	106	Min.	208.03									308.56	29		
101	105	106	Min.	380.00	-148587.00	25	0.00	29	0.00	29	-1186.59	29	-711.72	29	172.77	25
101	106	107	Max	30.00	-148587.00	25	0.00	29	0.00	29	1738.82	36	-949.40	25	745.27	29
101	106	107	Max	281.33									663.63	36		
101	106	107	Max	420.00	-148587.00	25	0.00	29	0.00	29	-952.18	36	6.66	36	745.27	29
101	106	107	Min.	30.00	-148587.00	25	0.00	25	0.00	25	1477.79	25	-1527.31	36	664.27	25
101	106	107	Min.	244.31									632.98	29		
101	106	107	Min.	420.00	-148587.00	25	0.00	25	0.00	25	-1213.21	25	-433.48	25	664.27	25
103	108	109	Max	15.00	-148587.00	25	0.00	25	0.00	25	1310.48	36	-233.84	25	791.51	25
103	108	109	Max	204.39									533.01	36		
103	108	109	Max	330.00	-148587.00	25	0.00	25	0.00	25	-863.02	36	-6.69	36	791.51	25
103	108	109	Min.	15.00	-148587.00	25	0.00	25	0.00	25	944.86	25	-711.45	36	690.54	29
103	108	109	Min.	149.94									412.95	25		
103	108	109	Min.	330.00	-148587.00	25	0.00	25	0.00	25	-1228.64	25	-680.80	25	690.54	29
103	109	110	Max	30.00	-148587.00	25	0.00	25	0.00	29	1710.04	36	-820.29	25	136.00	25
103	109	110	Max	277.23									570.80	36		
103	109	110	Max	420.00	-148587.00	25	0.00	25	0.00	29	-980.96	36	-126.49	36	136.00	25
103	109	110	Min.	30.00	-148587.00	25	0.00	25	0.00	25	1338.42	25	-1548.21	36	131.95	29
103	109	110	Min.	223.89									477.81	25		
103	109	110	Min.	420.00	-148587.00	25	0.00	25	0.00	25	-1352.58	25	-847.90	25	131.95	29
103	110	111	Max	30.00	-148587.00	25	0.00	25	0.00	29	1687.77	36	-808.29	25	106.80	25
103	110	111	Max	274.23									523.80	36		
103	110	111	Max	420.00	-148587.00	25	0.00	25	0.00	25	-1003.23	36	-205.51	36	106.80	25
103	110	111	Min.	30.00	-148587.00	25	0.00	29	0.00	25	1307.71	25	-1540.38	36	106.34	29
103	110	111	Min.	219.56									430.82	29		
103	110	111	Min.	420.00	-148587.00	25	0.00	29	0.00	29	-1383.29	25	-955.67	25	106.34	29
103	111	112	Max	30.00	-148587.00	25	0.00	25	0.00	29	1980.27	36	-1388.38	25	-31.25	25
103	111	112	Max	317.00									862.97	36		
103	111	112	Max	535.00	-148587.00	25	0.00	25	0.00	25	-1504.23	36	-776.66	36	-31.25	25
103	111	112	Min.	30.00	-148587.00	25	0.00	29	0.00	25	1748.02	25	-1978.68	36	-31.48	29
103	111	112	Min.	283.51									825.78	29		
103	111	112	Min.	535.00	-148587.00	25	0.00	29	0.00	29	-1736.48	25	-1359.24	25	-31.48	29
103	112	113	Max	30.00	-148587.00	25	0.00	25	0.00	29	1697.97	36	-789.58	25	-169.79	29
103	112	113	Max	276.08									482.65	36		
103	112	113	Max	380.00	-148587.00	25	0.00	25	0.00	25	-717.03	36	110.08	36	-169.79	29
103	112	113	Min.	30.00	-148587.00	25	0.00	29	0.00	25	1231.25	25	-1606.55	36	-172.77	25
103	112	113	Min.	208.44									308.96	25		
103	112	113	Min.	380.00	-148587.00	25	0.00	29	0.00	29	-1183.75	25	-706.44	25	-172.77	25
103	113	114	Max	30.00	-148587.00	25	0.00	29	0.00	29	1738.82	36	-947.29	29	-583.27	29
103	113	114	Max	281.32									663.63	36		
103	113	114	Max	420.00	-148587.00	25	0.00	29	0.00	29	-952.18	36	6.66	36	-583.27	29
103	113	114	Min.	30.00	-148587.00	25	0.00	25	0.00	25	1476.86	29	-1527.31	36	-664.27	25
103	113	114	Min.	244.17									633.11	25		
103	113	114	Min.	420.00	-148587.00	25	0.00	25	0.00	25	-1214.14	29	-434.98	29	-664.27	25
104	101	108	Max	45.00	-185734.00	25	0.00	36	0.00	25	6959.23	29	-3342.30	25	1.06	29
104	101	108	Max	321.36									4076.55	29		
104	101	108	Max	525.00	-185734.00	25	0.00	36	0.00	25	-5128.13	29	-1144.99	29	1.06	29
104	101	108	Min.	45.00	-185734.00	25	0.00	25	0.00	36	6043.68	25	-5539.61	29	0.00	36
104	101	108	Min.	284.42									3910.08	25		
104	101	108	Min.	525.00	-185734.00	25	0.00	25	0.00	36	-6043.68	25	-3342.30	25	0.00	36
105	102	109	Max	15.00	-185734.00	25	0.00	36	0.00	25	12047.70	29	-5934.48	25	0.00	25
105	102	109	Max	289.96									10041.80	29		
105	102	109	Max	555.00	-185734.00	25	0.00	36	0.00	36	-11612.80	29	-5347.44	29	0.00	25
105	102	109	Min.	15.00	-185734.00	25	0.00	25	0.00	36	11830.30	25	-6521.51	29	-0.24	29
105	102	109	Min.	285.00									10036.40	25		
105	102	109	Min.	555.00	-185734.00	25	0.00	25	0.00	25	-11830.20	25	-5934.47	25	-0.24	29
106	103	110	Max	15.00	-185734.00	25	0.00	36	0.00	25	13192.00	29	-6249.10	25	0.00	25
106	103	110	Max	289.02									11302.70	29		

Relazione di calcolo

106	103	110	Max	555.00	-185734.00	25	0.00	36	0.00	36	-12805.00	29	-5726.70	29	0.00	25
106	103	110	Min.	15.00	-185734.00	25	0.00	25	0.00	36	12998.50	25	-6771.49	29	-0.73	29
106	103	110	Min.	285.00									11298.80	25		
106	103	110	Min.	555.00	-185734.00	25	0.00	25	0.00	25	-12998.50	25	-6249.09	25	-0.73	29
107	104	111	Max	15.00	-185734.00	25	0.00	36	0.00	25	14681.90	29	-7008.18	25	0.00	25
107	104	111	Max	288.55									12558.30	29		
107	104	111	Max	555.00	-185734.00	25	0.00	36	0.00	36	-14300.50	29	-6493.18	29	0.00	25
107	104	111	Min.	15.00	-185734.00	25	0.00	25	0.00	36	14491.20	25	-7523.15	29	-0.76	29
107	104	111	Min.	285.00									12554.90	25		
107	104	111	Min.	555.00	-185734.00	25	0.00	25	0.00	25	-14491.20	25	-7008.15	25	-0.76	29
108	105	112	Max	15.00	-185734.00	25	0.00	36	0.00	25	14161.00	29	-6760.38	25	0.00	25
108	105	112	Max	288.65									12105.30	29		
108	105	112	Max	555.00	-185734.00	25	0.00	36	0.00	36	-13783.00	29	-6250.08	29	0.00	25
108	105	112	Min.	15.00	-185734.00	25	0.00	25	0.00	36	13972.00	25	-7270.66	29	-0.71	29
108	105	112	Min.	285.00									12101.80	25		
108	105	112	Min.	555.00	-185734.00	25	0.00	25	0.00	25	-13972.00	25	-6760.36	25	-0.71	29
109	106	113	Max	15.00	-185734.00	25	0.00	36	0.00	25	12489.40	29	-6088.08	25	0.00	36
109	106	113	Max	289.50									10500.70	29		
109	106	113	Max	555.00	-185734.00	25	0.00	36	0.00	36	-12079.70	29	-5535.01	29	0.00	36
109	106	113	Min.	15.00	-185734.00	25	0.00	25	0.00	36	12284.60	25	-6641.14	29	-1.04	29
109	106	113	Min.	285.00									10496.10	25		
109	106	113	Min.	555.00	-185734.00	25	0.00	25	0.00	25	-12284.60	25	-6088.07	25	-1.04	29
110	107	114	Max	45.00	-185734.00	25	0.00	36	0.00	25	7800.43	29	-3858.24	25	0.00	36
110	107	114	Max	315.96									4570.61	29		
110	107	114	Max	525.00	-185734.00	25	0.00	36	0.00	25	-6017.63	29	-1718.87	29	0.00	36
110	107	114	Min.	45.00	-185734.00	25	0.00	25	0.00	36	6909.03	25	-5997.60	29	-1.54	29
110	107	114	Min.	285.00									4432.60	25		
110	107	114	Min.	525.00	-185734.00	25	0.00	25	0.00	36	-6909.03	25	-3858.24	25	-1.54	29

Tipo di combinazione di carico: SLE R

Asta	N1	N2		X <cm>	N <daN>	CC	Ty <daN>	CC	Mz <daNm>	CC	Tz <daN>	CC	My <daNm>	CC	Mx <daNm>	CC
1	1	101	Max	0.00	-7779.85	26	-96.68	31	1040.90	38	-1811.72	26	5418.97	31	0.85	31
1	1	101	Max	375.00	-6092.35	26	-68.24	38	-232.96	31	-1811.72	26	-4379.60	26	0.85	31
1	1	101	Min.	0.00	-8385.90	31	-818.24	38	129.58	31	-3334.24	31	2414.34	26	0.00	26
1	1	101	Min.	375.00	-6698.40	31	-99.12	26	-621.26	38	-2677.99	31	-5853.94	31	0.00	26
2	2	102	Max	0.00	-13003.20	26	2968.68	31	-2486.16	26	-37.72	31	2623.55	38	0.85	31
2	2	102	Max	375.00	-11315.70	26	1829.13	26	4818.74	31	-37.72	31	-98.49	31	0.85	31
2	2	102	Min.	0.00	-13151.40	31	1829.13	26	-3852.87	31	-1752.97	38	42.96	31	0.00	26
2	2	102	Min.	375.00	-11463.90	31	1656.18	31	4373.08	26	-252.97	38	-1137.57	38	0.00	26
3	3	103	Max	0.00	-13949.10	26	3261.33	31	-2876.45	26	18.52	31	2563.91	38	0.85	31
3	3	103	Max	375.00	-12261.60	26	2116.28	26	5519.79	31	18.52	31	37.45	31	0.85	31
3	3	103	Min.	0.00	-14077.70	31	2116.28	26	-4249.27	31	-1708.21	38	-31.98	31	0.00	26
3	3	103	Min.	375.00	-12390.20	31	1948.83	31	5059.60	26	-208.21	38	-1029.37	38	0.00	26
4	4	104	Max	0.00	-15314.50	38	3484.57	31	-3181.99	26	-134.69	31	2719.14	38	0.85	31
4	4	104	Max	375.00	-13627.00	38	2341.07	26	6054.87	31	-134.69	31	-332.89	31	0.85	31
4	4	104	Min.	0.00	-15540.80	31	2341.07	26	-4551.32	31	-1824.69	38	172.18	31	0.00	26
4	4	104	Min.	375.00	-13853.30	31	2172.07	31	5597.03	26	-324.69	38	-1310.96	38	0.00	26
5	5	105	Max	0.00	-14904.10	26	3397.42	31	-3066.96	26	190.28	31	2313.13	38	0.85	31
5	5	105	Max	375.00	-13216.60	26	2256.44	26	5848.25	31	190.28	31	452.68	31	0.85	31
5	5	105	Min.	0.00	-15060.40	38	2256.44	26	-4431.15	31	-1520.02	38	-260.88	31	0.00	26
5	5	105	Min.	375.00	-13372.90	38	2084.92	31	5394.70	26	-20.03	38	-574.47	38	0.00	26
6	6	106	Max	0.00	-13276.00	38	3061.72	31	-2620.91	26	-81.58	31	2675.00	38	0.85	31
6	6	106	Max	375.00	-11588.50	38	1928.27	26	5046.90	31	-81.58	31	-204.52	31	0.85	31
6	6	106	Min.	0.00	-13552.20	31	1928.27	26	-3973.61	31	-1791.57	38	101.41	31	0.00	26
6	6	106	Min.	375.00	-11864.70	31	1749.22	31	4610.11	26	-291.57	38	-1230.89	38	0.00	26
7	7	107	Max	0.00	-8532.45	38	162.41	31	668.55	38	-2017.45	26	5617.18	31	0.85	31
7	7	107	Max	375.00	-6844.95	38	205.70	38	386.65	26	-2017.45	26	-4876.93	26	0.85	31
7	7	107	Min.	0.00	-9300.13	31	-544.30	38	-222.57	31	-3507.40	31	2688.50	26	0.00	26
7	7	107	Min.	375.00	-7612.63	31	162.12	26	33.69	38	-2851.15	31	-6305.11	31	0.00	26
8	8	108	Max	0.00	-7173.80	31	-99.12	26	1040.90	38	1811.72	26	590.29	31	0.85	31
8	8	108	Max	375.00	-5486.30	31	-68.24	38	-237.93	26	1811.72	26	4379.60	26	0.85	31
8	8	108	Min.	0.00	-8023.60	38	-818.24	38	133.77	26	289.20	31	-2414.34	26	0.00	26
8	8	108	Min.	375.00	-6336.10	38	-101.56	31	-621.26	38	945.45	31	2905.26	31	0.00	26
9	9	109	Max	0.00	-12854.90	31	-689.58	31	2486.16	26	-42.87	26	2623.55	38	0.85	31
9	9	109	Max	375.00	-11167.40	31	-1829.13	26	-3927.41	31	-42.87	26	-107.47	26	0.85	31
9	9	109	Min.	0.00	-13007.10	38	-1829.13	26	1119.45	31	-1752.97	38	53.30	26	0.00	26
9	9	109	Min.	375.00	-11319.60	38	-2002.08	31	-4373.08	26	-252.97	38	-1137.57	38	0.00	26
10	10	110	Max	0.00	-13820.50	31	-971.23	31	2876.45	26	15.09	26	2563.91	38	0.85	31
10	10	110	Max	375.00	-12133.00	31	-2116.28	26	-4599.40	31	15.09	26	32.65	26	0.85	31
10	10	110	Min.	0.00	-13954.70	38	-2116.28	26	1503.63	31	-1708.21	38	-23.94	26	0.00	26
10	10	110	Min.	375.00	-12267.20	38	-2283.73	31	-5059.60	26	-208.21	38	-1029.37	38	0.00	26
11	11	111	Max	0.00	-15285.30	31	-1197.58	31	3181.99	26	-138.04	26	2719.14	38	0.85	31
11	11	111	Max	375.00	-13597.80	31	-2341.07	26	-5139.20	31	-138.04	26	-337.52	26	0.85	31
11	11	111	Min.	0.00	-15413.10	26	-2341.07	26	1812.67	31	-1824.69	38	180.12	26	0.00	26
11	11	111	Min.	375.00	-13725.60	26	-2510.08	31	-5597.03	26	-324.69	38	-1310.96	38	0.00	26
12	12	112	Max	0.00	-14779.20	31	-1115.46	31	3066.96	26	186.76	26	2313.13	38	0.85	31
12	12	112	Max	375.00	-13091.70	31	-2256.44	26	-4941.15	31	186.76	26	447.65	26	0.85	31
12	12	112	Min.	0.00	-15060.40	38	-2256.44	26	1702.78	31	-1520.02	38	-252.72	26	0.00	26
12	12	112	Min.	375.00	-13372.90	38	-2427.96	31	-5394.70	26	-20.03	38	-574.47	38	0.00	26
13	13	113	Max	0.00	-13274.00	31	-794.82	31	2620.91	26	-83.95	26	2675.00	38	0.85	31

Relazione di calcolo

13	13	113	Max	375.00	-11586.50	31	-1928.27	26	-4173.31	31	-83.95	26	-206.76	26	0.85	31
13	13	113	Min.	0.00	-13413.10	26	-1928.27	26	1268.21	31	-1791.57	38	108.04	26	0.00	26
13	13	113	Min.	375.00	-11725.60	26	-2107.32	31	-4610.11	26	-291.57	38	-1230.89	38	0.00	26
14	14	114	Max	0.00	-8112.83	31	162.12	26	668.55	38	2017.45	26	240.18	31	0.85	31
14	14	114	Max	375.00	-6425.33	31	205.70	38	386.83	31	2017.45	26	4876.93	26	0.85	31
14	14	114	Min.	0.00	-8706.48	26	-544.30	38	-221.32	26	527.49	31	-2688.50	26	0.00	26
14	14	114	Min.	375.00	-7018.98	26	161.84	31	33.69	38	1183.74	31	3448.75	31	0.00	26
101	101	102	Max	15.00	-99058.20	26	0.00	26	0.00	26	928.30	38	-163.26	31	-569.02	26
101	101	102	Max	200.66									374.06	38		
101	101	102	Max	330.00	-99058.20	26	0.00	26	0.00	26	-646.70	38	-44.15	38	-569.02	26
101	101	102	Min.	15.00	-99058.20	26	0.00	26	0.00	26	680.24	31	-487.69	38	-636.34	31
101	101	102	Min.	149.91									299.24	26		
101	101	102	Min.	330.00	-99058.20	26	0.00	26	0.00	26	-894.76	31	-501.14	31	-636.34	31
101	102	103	Max	30.00	-99058.20	26	0.00	26	0.00	31	1217.59	38	-592.66	31	-97.22	26
101	102	103	Max	272.82									402.87	38		
101	102	103	Max	420.00	-99058.20	26	0.00	26	0.00	31	-732.41	38	-133.54	38	-97.22	26
101	102	103	Min.	30.00	-99058.20	26	0.00	26	0.00	26	968.82	31	-1079.64	38	-99.92	31
101	102	103	Min.	223.69									345.96	31		
101	102	103	Min.	420.00	-99058.20	26	0.00	26	0.00	26	-981.18	31	-616.75	31	-99.92	31
101	103	104	Max	30.00	-99058.20	26	0.00	26	0.00	31	1200.92	38	-582.89	31	-76.11	26
101	103	104	Max	269.65									368.56	38		
101	103	104	Max	420.00	-99058.20	26	0.00	26	0.00	26	-749.08	38	-192.56	38	-76.11	26
101	103	104	Min.	30.00	-99058.20	26	0.00	31	0.00	26	946.15	31	-1073.64	38	-76.42	31
101	103	104	Min.	218.99									312.25	26		
101	103	104	Min.	420.00	-99058.20	26	0.00	31	0.00	31	-1003.84	31	-695.38	31	-76.42	31
101	104	105	Max	30.00	-99058.20	26	0.00	26	0.00	31	1421.53	38	-1004.05	31	22.28	26
101	104	105	Max	314.31									621.09	38		
101	104	105	Max	535.00	-99058.20	26	0.00	26	0.00	26	-1103.47	38	-596.55	38	22.28	26
101	104	105	Min.	30.00	-99058.20	26	0.00	31	0.00	26	1265.88	31	-1399.67	38	22.13	31
101	104	105	Min.	283.34									598.39	26		
101	104	105	Min.	535.00	-99058.20	26	0.00	31	0.00	31	-1259.12	31	-986.98	31	22.13	31
101	105	106	Max	30.00	-99058.20	26	0.00	26	0.00	31	1203.47	38	-569.27	31	125.38	31
101	105	106	Max	268.32									331.19	38		
101	105	106	Max	380.00	-99058.20	26	0.00	26	0.00	26	-546.53	38	32.64	38	125.38	31
101	105	106	Min.	30.00	-99058.20	26	0.00	31	0.00	26	890.44	31	-1117.02	38	123.39	26
101	105	106	Min.	208.09									223.61	31		
101	105	106	Min.	380.00	-99058.20	26	0.00	31	0.00	31	-859.56	31	-515.23	31	123.39	26
101	106	107	Max	30.00	-99058.20	26	0.00	31	0.00	31	1244.94	38	-688.08	26	531.50	31
101	106	107	Max	278.27									476.51	38		
101	106	107	Max	420.00	-99058.20	26	0.00	31	0.00	31	-705.06	38	-20.59	38	531.50	31
101	106	107	Min.	30.00	-99058.20	26	0.00	26	0.00	26	1070.92	26	-1073.35	38	477.50	26
101	106	107	Min.	244.31									458.70	31		
101	106	107	Min.	420.00	-99058.20	26	0.00	26	0.00	26	-879.09	26	-314.01	26	477.50	26
103	108	109	Max	15.00	-99058.20	26	0.00	26	0.00	26	928.30	38	-169.28	26	569.02	26
103	108	109	Max	200.66									374.06	38		
103	108	109	Max	330.00	-99058.20	26	0.00	26	0.00	26	-646.70	38	-44.15	38	569.02	26
103	108	109	Min.	15.00	-99058.20	26	0.00	26	0.00	26	684.55	26	-487.69	38	501.71	31
103	108	109	Min.	149.91									299.24	26		
103	108	109	Min.	330.00	-99058.20	26	0.00	26	0.00	26	-890.45	26	-493.56	26	501.71	31
103	109	110	Max	30.00	-99058.20	26	0.00	26	0.00	31	1217.59	38	-594.36	26	97.22	26
103	109	110	Max	272.82									402.87	38		
103	109	110	Max	420.00	-99058.20	26	0.00	26	0.00	31	-732.41	38	-133.54	38	97.22	26
103	109	110	Min.	30.00	-99058.20	26	0.00	26	0.00	26	969.84	26	-1079.64	38	94.52	31
103	109	110	Min.	223.89									346.23	26		
103	109	110	Min.	420.00	-99058.20	26	0.00	26	0.00	26	-980.16	26	-614.48	26	94.52	31
103	110	111	Max	30.00	-99058.20	26	0.00	26	0.00	31	1200.92	38	-585.58	26	76.11	26
103	110	111	Max	269.65									368.56	38		
103	110	111	Max	420.00	-99058.20	26	0.00	26	0.00	26	-749.08	38	-192.56	38	76.11	26
103	110	111	Min.	30.00	-99058.20	26	0.00	31	0.00	26	947.54	26	-1073.64	38	75.80	31
103	110	111	Min.	219.53									312.19	31		
103	110	111	Min.	420.00	-99058.20	26	0.00	31	0.00	31	-1002.46	26	-692.67	26	75.80	31
103	111	112	Max	30.00	-99058.20	26	0.00	26	0.00	31	1421.53	38	-1006.13	26	-22.28	26
103	111	112	Max	314.31									621.09	38		
103	111	112	Max	535.00	-99058.20	26	0.00	26	0.00	26	-1103.47	38	-596.55	38	-22.28	26
103	111	112	Min.	30.00	-99058.20	26	0.00	31	0.00	26	1266.70	26	-1399.67	38	-22.43	31
103	111	112	Min.	283.50									598.38	31		
103	111	112	Min.	535.00	-99058.20	26	0.00	31	0.00	31	-1258.30	26	-984.93	26	-22.43	31
103	112	113	Max	30.00	-99058.20	26	0.00	26	0.00	31	1203.47	38	-572.37	26	-121.40	31
103	112	113	Max	268.32									331.19	38		
103	112	113	Max	380.00	-99058.20	26	0.00	26	0.00	26	-546.53	38	32.64	38	-121.40	31
103	112	113	Min.	30.00	-99058.20	26	0.00	31	0.00	26	892.33	26	-1117.02	38	-123.39	26
103	112	113	Min.	208.47									223.89	26		
103	112	113	Min.	380.00	-99058.20	26	0.00	31	0.00	31	-857.67	26	-511.71	26	-123.39	26
103	113	114	Max	30.00	-99058.20	26	0.00	31	0.00	31	1244.94	38	-686.68	31	-423.50	31
103	113	114	Max	278.27									476.51	38		
103	113	114	Max	420.00	-99058.20	26	0.00	31	0.00	31	-705.06	38	-20.59	38	-423.50	31
103	113	114	Min.	30.00	-99058.20	26	0.00	26	0.00	26	1070.30	31	-1073.35	38	-477.50	26
103	113	114	Min.	244.18									458.78	26		
103	113	114	Min.	420.00	-99058.20	26	0.00	26	0.00	26	-879.70	31	-315.01	31	-477.50	26
104	101	108	Max	45.00	-123823.00	26	0.00	38	0.00	26	4949.57	31	-2399.56	26	0.71	31
104	101	108	Max	318.76									2910.50	31		
104	101	108	Max	525.00	-123823.00	26	0.00	38	0.00	26	-3728.84	31	-934.69	31	0.71	31

Relazione di calcolo

104	101	108	Min.	45.00	-123823.00	26	0.00	26	0.00	38	4339.20	26	-3864.44	31	0.00	38
104	101	108	Min.	284.42									2807.45	26		
104	101	108	Min.	525.00	-123823.00	26	0.00	26	0.00	38	-4339.20	26	-2399.57	26	0.00	38
105	102	109	Max	15.00	-123823.00	26	0.00	38	0.00	26	8647.92	31	-4265.66	26	0.00	26
105	102	109	Max	289.60									7216.70	31		
105	102	109	Max	555.00	-123823.00	26	0.00	38	0.00	38	-8358.03	31	-3874.29	31	0.00	26
105	102	109	Min.	15.00	-123823.00	26	0.00	26	0.00	38	8502.97	26	-4657.01	31	-0.16	31
105	102	109	Min.	285.00									7213.36	26		
105	102	109	Min.	555.00	-123823.00	26	0.00	26	0.00	26	-8502.97	26	-4265.65	26	-0.16	31
106	103	110	Max	15.00	-123823.00	26	0.00	38	0.00	26	9464.24	31	-4488.04	26	0.00	26
106	103	110	Max	288.73									8116.96	31		
106	103	110	Max	555.00	-123823.00	26	0.00	38	0.00	38	-9206.26	31	-4139.77	31	0.00	26
106	103	110	Min.	15.00	-123823.00	26	0.00	26	0.00	38	9335.25	26	-4836.30	31	-0.49	31
106	103	110	Min.	285.00									8114.55	26		
106	103	110	Min.	555.00	-123823.00	26	0.00	26	0.00	26	-9335.25	26	-4488.03	26	-0.49	31
107	104	111	Max	15.00	-123823.00	26	0.00	38	0.00	26	10525.90	31	-5028.72	26	0.00	26
107	104	111	Max	288.30									9011.65	31		
107	104	111	Max	555.00	-123823.00	26	0.00	38	0.00	38	-10271.60	31	-4685.39	31	0.00	26
107	104	111	Min.	15.00	-123823.00	26	0.00	26	0.00	38	10398.70	26	-5372.03	31	-0.50	31
107	104	111	Min.	285.00									9009.55	26		
107	104	111	Min.	555.00	-123823.00	26	0.00	26	0.00	26	-10398.70	26	-5028.70	26	-0.50	31
108	105	112	Max	15.00	-123823.00	26	0.00	38	0.00	26	10154.80	31	-4852.28	26	0.00	26
108	105	112	Max	288.39									8688.76	31		
108	105	112	Max	555.00	-123823.00	26	0.00	38	0.00	38	-9902.81	31	-4512.08	31	0.00	26
108	105	112	Min.	15.00	-123823.00	26	0.00	26	0.00	38	10028.80	26	-5192.46	31	-0.47	31
108	105	112	Min.	285.00									8686.62	26		
108	105	112	Min.	555.00	-123823.00	26	0.00	26	0.00	26	-10028.80	26	-4852.26	26	-0.47	31
109	106	113	Max	15.00	-123823.00	26	0.00	38	0.00	26	8963.20	31	-4374.75	26	0.00	38
109	106	113	Max	289.18									7544.06	31		
109	106	113	Max	555.00	-123823.00	26	0.00	38	0.00	38	-8690.08	31	-4006.04	31	0.00	38
109	106	113	Min.	15.00	-123823.00	26	0.00	26	0.00	38	8826.64	26	-4743.46	31	-0.69	31
109	106	113	Min.	285.00									7541.21	26		
109	106	113	Min.	555.00	-123823.00	26	0.00	26	0.00	26	-8826.64	26	-4374.75	26	-0.69	31
110	107	114	Max	45.00	-123823.00	26	0.00	38	0.00	26	5549.97	31	-2767.27	26	0.00	38
110	107	114	Max	313.78									3265.08	31		
110	107	114	Max	525.00	-123823.00	26	0.00	38	0.00	26	-4361.43	31	-1341.03	31	0.00	38
110	107	114	Min.	45.00	-123823.00	26	0.00	26	0.00	38	4955.70	26	-4193.51	31	-1.03	31
110	107	114	Min.	285.00									3179.57	26		
110	107	114	Min.	525.00	-123823.00	26	0.00	26	0.00	38	-4955.70	26	-2767.27	26	-1.03	31

Tipo di combinazione di carico: SLE F

Asta	N1	N2		X <cm>	N <daN>	CC	Ty <daN>	CC	Mz <daNm>	CC	Tz <daN>	CC	My <daNm>	CC	Mx <daNm>	CC
1	1	101	Max	0.00	-7387.40	27	-97.29	33	313.42	40	-1669.78	27	2826.12	33	0.17	33
1	1	101	Max	375.00	-5699.90	27	-91.61	40	-233.69	33	-1669.78	27	-4036.49	27	0.17	33
1	1	101	Min.	0.00	-7508.61	33	-241.61	40	131.16	33	-1974.29	33	2225.19	27	0.00	27
1	1	101	Min.	375.00	-5821.11	33	-97.78	27	-311.35	40	-1843.04	33	-4331.36	33	0.00	27
2	2	102	Max	0.00	-12128.60	27	1878.83	33	-2243.93	27	-40.13	33	565.28	40	0.17	33
2	2	102	Max	375.00	-10441.10	27	1650.92	27	4036.15	33	-40.13	33	-101.34	33	0.17	33
2	2	102	Min.	0.00	-12158.30	33	1650.92	27	-2517.28	33	-383.18	40	49.16	33	0.00	27
2	2	102	Min.	375.00	-10470.80	33	1616.33	33	3947.02	27	-83.18	40	-309.15	40	0.00	27
3	3	103	Max	0.00	-12973.80	27	2135.96	33	-2591.93	27	16.06	33	493.46	40	0.17	33
3	3	103	Max	375.00	-11286.30	27	1906.95	27	4651.17	33	16.06	33	34.50	33	0.17	33
3	3	103	Min.	0.00	-12999.50	33	1906.95	27	-2866.50	33	-329.29	40	-25.72	33	0.00	27
3	3	103	Min.	375.00	-11312.00	33	1873.46	33	4559.13	27	-29.29	40	-178.86	40	0.00	27
4	4	104	Max	0.00	-14294.70	40	2335.55	33	-2863.63	27	-137.25	33	687.97	40	0.17	33
4	4	104	Max	375.00	-12607.20	40	2106.85	27	5128.62	33	-137.25	33	-336.10	33	0.17	33
4	4	104	Min.	0.00	-14340.00	33	2106.85	27	-3137.50	33	-475.25	40	178.58	33	0.00	27
4	4	104	Min.	375.00	-12652.50	33	2073.05	33	5037.05	27	-175.25	40	-531.71	40	0.00	27
5	5	105	Max	0.00	-13848.60	27	2259.76	33	-2761.31	27	186.78	33	261.58	40	0.17	33
5	5	105	Max	375.00	-12161.10	27	2031.57	27	4947.78	33	186.78	33	447.19	33	0.17	33
5	5	105	Min.	0.00	-13879.90	40	2031.57	27	-3034.15	33	-155.28	40	-253.22	33	0.00	27
5	5	105	Min.	375.00	-12192.40	40	1997.26	33	4857.07	27	144.72	40	241.76	40	0.00	27
6	6	106	Max	0.00	-12471.40	40	1965.89	33	-2363.93	27	-85.22	33	623.96	40	0.17	33
6	6	106	Max	375.00	-10783.90	40	1739.20	27	4245.44	33	-85.22	33	-210.33	33	0.17	33
6	6	106	Min.	0.00	-12526.60	33	1739.20	27	-2634.47	33	-427.22	40	109.25	33	0.00	27
6	6	106	Min.	375.00	-10839.10	33	1703.39	33	4158.08	27	-127.22	40	-415.60	40	0.00	27
7	7	107	Max	0.00	-8199.08	40	161.17	33	-41.91	40	-1852.49	27	3054.41	33	0.17	33
7	7	107	Max	375.00	-6511.59	40	169.82	40	384.27	27	-1852.49	27	-4478.16	27	0.17	33
7	7	107	Min.	0.00	-8352.62	33	19.82	40	-220.14	33	-2150.48	33	2468.67	27	0.00	27
7	7	107	Min.	375.00	-6665.12	33	161.11	27	313.68	40	-2019.23	33	-4763.79	33	0.00	27
8	8	108	Max	0.00	-7266.19	33	-97.78	27	313.42	40	1669.78	27	-1624.27	33	0.17	33
8	8	108	Max	375.00	-5578.69	33	-91.61	40	-234.68	27	1669.78	27	4036.49	27	0.17	33
8	8	108	Min.	0.00	-7436.15	40	-241.61	40	132.00	27	1365.28	33	-2225.19	27	0.00	27
8	8	108	Min.	375.00	-5748.65	40	-98.27	33	-311.35	40	1496.53	33	3741.62	33	0.00	27
9	9	109	Max	0.00	-12099.00	33	-1423.01	33	2243.93	27	-41.16	27	565.28	40	0.17	33
9	9	109	Max	375.00	-10411.50	33	-1650.92	27	-3857.88	33	-41.16	27	-103.13	27	0.17	33
9	9	109	Min.	0.00	-12129.40	40	-1650.92	27	1970.59	33	-383.18	40	51.23	27	0.00	27
9	9	109	Min.	375.00	-10441.90	40	-1685.51	33	-3947.02	27	-83.18	40	-309.15	40	0.00	27
10	10	110	Max	0.00	-12948.10	33	-1677.94	33	2591.93	27	15.37	27	493.46	40	0.17	33
10	10	110	Max	375.00	-11260.60	33	-1906.95	27	-4467.10	33	15.37	27	33.54	27	0.17	33

Relazione di calcolo

10	10	110	Min.	0.00	-12974.90	40	-1906.95	27	2317.37	33	-329.29	40	-24.11	27	0.00	27
10	10	110	Min.	375.00	-11287.40	40	-1940.44	33	-4559.13	27	-29.29	40	-178.86	40	0.00	27
11	11	111	Max	0.00	-14288.90	33	-1878.15	33	2863.63	27	-137.92	27	687.97	40	0.17	33
11	11	111	Max	375.00	-12601.40	33	-2106.85	27	-4945.48	33	-137.92	27	-337.02	27	0.17	33
11	11	111	Min.	0.00	-14314.40	27	-2106.85	27	2589.77	33	-475.25	40	180.17	27	0.00	27
11	11	111	Min.	375.00	-12626.90	27	-2140.65	33	-5037.05	27	-175.25	40	-531.71	40	0.00	27
12	12	112	Max	0.00	-13823.60	33	-1803.37	33	2761.31	27	186.07	27	261.58	40	0.17	33
12	12	112	Max	375.00	-12136.20	33	-2031.57	27	-4766.36	33	186.07	27	446.19	27	0.17	33
12	12	112	Min.	0.00	-13879.90	40	-2031.57	27	2488.47	33	-155.28	40	-251.59	27	0.00	27
12	12	112	Min.	375.00	-12192.40	40	-2065.87	33	-4857.07	27	144.72	40	241.76	40	0.00	27
13	13	113	Max	0.00	-12471.00	33	-1512.51	33	2363.93	27	-85.69	27	623.96	40	0.17	33
13	13	113	Max	375.00	-10783.50	33	-1739.20	27	-4070.72	33	-85.69	27	-210.78	27	0.17	33
13	13	113	Min.	0.00	-12498.80	27	-1739.20	27	2093.39	33	-427.22	40	110.57	27	0.00	27
13	13	113	Min.	375.00	-10811.30	27	-1775.01	33	-4158.08	27	-127.22	40	-415.60	40	0.00	27
14	14	114	Max	0.00	-8115.16	33	161.11	27	-41.91	40	1852.49	27	-1882.94	33	0.17	33
14	14	114	Max	375.00	-6427.66	33	169.82	40	384.31	33	1852.49	27	4478.16	27	0.17	33
14	14	114	Min.	0.00	-8233.89	27	19.82	40	-219.88	27	1554.50	33	-2468.67	27	0.00	27
14	14	114	Min.	375.00	-6546.39	27	161.05	33	313.68	40	1685.75	33	4192.52	33	0.00	27
101	101	102	Max	15.00	-49529.10	27	0.00	27	0.00	27	730.73	40	-164.67	33	-509.78	27
101	101	102	Max	160.72									304.40	40		
101	101	102	Max	330.00	-49529.10	27	0.00	27	0.00	27	-844.27	40	-408.39	40	-509.78	27
101	101	102	Min.	15.00	-49529.10	27	0.00	27	0.00	27	681.11	33	-229.56	40	-523.24	33
101	101	102	Min.	149.35									299.11	27		
101	101	102	Min.	330.00	-49529.10	27	0.00	27	0.00	27	-893.89	33	-499.79	33	-523.24	33
101	102	103	Max	30.00	-49529.10	27	0.00	27	0.00	33	1019.50	40	-594.46	33	-86.69	27
101	102	103	Max	233.90									347.52	40		
101	102	103	Max	420.00	-49529.10	27	0.00	27	0.00	33	-930.50	40	-518.32	40	-86.69	27
101	102	103	Min.	30.00	-49529.10	27	0.00	27	0.00	27	969.74	33	-691.86	40	-87.23	33
101	102	103	Min.	223.87									345.94	33		
101	102	103	Min.	420.00	-49529.10	27	0.00	27	0.00	27	-980.26	33	-614.97	33	-87.23	33
101	103	104	Max	30.00	-49529.10	27	0.00	27	0.00	33	997.76	40	-584.17	33	-67.68	27
101	103	104	Max	229.55									313.20	40		
101	103	104	Max	420.00	-49529.10	27	0.00	27	0.00	27	-952.24	40	-593.57	40	-67.68	27
101	103	104	Min.	30.00	-49529.10	27	0.00	33	0.00	27	946.80	33	-682.32	40	-67.74	33
101	103	104	Min.	218.89									312.25	27		
101	103	104	Min.	420.00	-49529.10	27	0.00	33	0.00	33	-1003.19	33	-694.13	33	-67.74	33
101	104	105	Max	30.00	-49529.10	27	0.00	27	0.00	33	1297.81	40	-1006.19	33	19.82	27
101	104	105	Max	289.56									599.00	40		
101	104	105	Max	535.00	-49529.10	27	0.00	27	0.00	27	-1227.19	40	-906.99	40	19.82	27
101	104	105	Min.	30.00	-49529.10	27	0.00	33	0.00	27	1266.68	33	-1085.31	40	19.79	33
101	104	105	Min.	283.37									598.29	27		
101	104	105	Min.	535.00	-49529.10	27	0.00	33	0.00	33	-1258.32	33	-985.08	33	19.79	33
101	105	106	Max	30.00	-49529.10	27	0.00	27	0.00	33	955.16	40	-573.00	33	110.32	33
101	105	106	Max	221.03									229.79	40		
101	105	106	Max	380.00	-49529.10	27	0.00	27	0.00	27	-794.84	40	-401.98	40	110.32	33
101	105	106	Min.	30.00	-49529.10	27	0.00	33	0.00	27	892.56	33	-682.55	40	109.93	27
101	105	106	Min.	208.51									223.66	33		
101	105	106	Min.	380.00	-49529.10	27	0.00	33	0.00	33	-857.45	33	-511.55	33	109.93	27
101	106	107	Max	30.00	-49529.10	27	0.00	33	0.00	33	1107.20	40	-691.30	27	438.55	33
101	106	107	Max	244.48									458.74	27		
101	106	107	Max	420.00	-49529.10	27	0.00	33	0.00	33	-842.80	40	-252.77	40	438.55	33
101	106	107	Min.	30.00	-49529.10	27	0.00	27	0.00	27	1072.40	27	-768.36	40	427.75	27
101	106	107	Min.	251.44									457.54	40		
101	106	107	Min.	420.00	-49529.10	27	0.00	27	0.00	27	-877.60	27	-311.45	27	427.75	27
103	108	109	Max	15.00	-49529.10	27	0.00	27	0.00	27	730.73	40	-165.87	27	509.78	27
103	108	109	Max	160.72									304.40	40		
103	108	109	Max	330.00	-49529.10	27	0.00	27	0.00	27	-844.27	40	-408.39	40	509.78	27
103	108	109	Min.	15.00	-49529.10	27	0.00	27	0.00	27	681.98	27	-229.56	40	496.32	33
103	108	109	Min.	149.43									299.08	33		
103	108	109	Min.	330.00	-49529.10	27	0.00	27	0.00	27	-893.02	27	-498.27	27	496.32	33
103	109	110	Max	30.00	-49529.10	27	0.00	27	0.00	33	1019.50	40	-594.80	27	86.69	27
103	109	110	Max	233.90									347.52	40		
103	109	110	Max	420.00	-49529.10	27	0.00	27	0.00	33	-930.50	40	-518.32	40	86.69	27
103	109	110	Min.	30.00	-49529.10	27	0.00	27	0.00	27	969.95	27	-691.86	40	86.15	33
103	109	110	Min.	223.91									346.00	27		
103	109	110	Min.	420.00	-49529.10	27	0.00	27	0.00	27	-980.05	27	-614.51	27	86.15	33
103	110	111	Max	30.00	-49529.10	27	0.00	27	0.00	33	997.76	40	-584.71	27	67.68	27
103	110	111	Max	229.55									313.20	40		
103	110	111	Max	420.00	-49529.10	27	0.00	27	0.00	27	-952.24	40	-593.57	40	67.68	27
103	110	111	Min.	30.00	-49529.10	27	0.00	33	0.00	27	947.08	27	-682.32	40	67.62	33
103	110	111	Min.	218.95									312.23	33		
103	110	111	Min.	420.00	-49529.10	27	0.00	33	0.00	33	-1002.92	27	-693.59	27	67.62	33
103	111	112	Max	30.00	-49529.10	27	0.00	27	0.00	33	1297.81	40	-1006.61	27	-19.82	27
103	111	112	Max	289.56									599.00	40		
103	111	112	Max	535.00	-49529.10	27	0.00	27	0.00	27	-1227.19	40	-906.99	40	-19.82	27
103	111	112	Min.	30.00	-49529.10	27	0.00	33	0.00	27	1266.84	27	-1085.31	40	-19.85	33
103	111	112	Min.	283.40									598.28	33		
103	111	112	Min.	535.00	-49529.10	27	0.00	33	0.00	33	-1258.16	27	-984.67	27	-19.85	33
103	112	113	Max	30.00	-49529.10	27	0.00	27	0.00	33	955.16	40	-573.62	27	-109.53	33
103	112	113	Max	221.03									229.79	40		
103	112	113	Max	380.00	-49529.10	27	0.00	27	0.00	27	-794.84	40	-401.98	40	-109.53	33
103	112	113	Min.	30.00	-49529.10	27	0.00	33	0.00	27	892.93	27	-682.55	40	-109.93	27

Relazione di calcolo

7	7	107	Min.	375.00	-6428.24	28	160.85	28	383.68	28	-1811.25	28	-4378.47	28	0.00	28
8	8	108	Max	0.00	-7289.28	28	-97.45	28	131.56	28	1634.30	28	-2177.91	28	0.00	28
8	8	108	Max	375.00	-5601.78	28	-97.45	28	-233.87	28	1634.30	28	3950.71	28	0.00	28
8	8	108	Min.	0.00	-7289.28	28	-97.45	28	131.56	28	1634.30	28	-2177.91	28	0.00	28
8	8	108	Min.	375.00	-5601.78	28	-97.45	28	-233.87	28	1634.30	28	3950.71	28	0.00	28
9	9	109	Max	0.00	-11910.00	28	-1606.37	28	2183.38	28	-40.74	28	50.71	28	0.00	28
9	9	109	Max	375.00	-10222.50	28	-1606.37	28	-3840.50	28	-40.74	28	-102.05	28	0.00	28
9	9	109	Min.	0.00	-11910.00	28	-1606.37	28	2183.38	28	-40.74	28	50.71	28	0.00	28
9	9	109	Min.	375.00	-10222.50	28	-1606.37	28	-3840.50	28	-40.74	28	-102.05	28	0.00	28
10	10	110	Max	0.00	-12730.00	28	-1854.62	28	2520.80	28	15.45	28	-24.16	28	0.00	28
10	10	110	Max	375.00	-11042.50	28	-1854.62	28	-4434.02	28	15.45	28	33.77	28	0.00	28
10	10	110	Min.	0.00	-12730.00	28	-1854.62	28	2520.80	28	15.45	28	-24.16	28	0.00	28
10	10	110	Min.	375.00	-11042.50	28	-1854.62	28	-4434.02	28	15.45	28	33.77	28	0.00	28
11	11	111	Max	0.00	-14039.80	28	-2048.29	28	2784.04	28	-137.89	28	180.18	28	0.00	28
11	11	111	Max	375.00	-12352.30	28	-2048.29	28	-4897.06	28	-137.89	28	-336.90	28	0.00	28
11	11	111	Min.	0.00	-14039.80	28	-2048.29	28	2784.04	28	-137.89	28	180.18	28	0.00	28
11	11	111	Min.	375.00	-12352.30	28	-2048.29	28	-4897.06	28	-137.89	28	-336.90	28	0.00	28
12	12	112	Max	0.00	-13584.80	28	-1975.35	28	2684.90	28	185.90	28	-251.31	28	0.00	28
12	12	112	Max	375.00	-11897.30	28	-1975.35	28	-4722.66	28	185.90	28	445.82	28	0.00	28
12	12	112	Min.	0.00	-13584.80	28	-1975.35	28	2684.90	28	185.90	28	-251.31	28	0.00	28
12	12	112	Min.	375.00	-11897.30	28	-1975.35	28	-4722.66	28	185.90	28	445.82	28	0.00	28
13	13	113	Max	0.00	-12270.30	28	-1691.93	28	2299.68	28	-86.13	28	111.20	28	0.00	28
13	13	113	Max	375.00	-10582.80	28	-1691.93	28	-4045.07	28	-86.13	28	-211.78	28	0.00	28
13	13	113	Min.	0.00	-12270.30	28	-1691.93	28	2299.68	28	-86.13	28	111.20	28	0.00	28
13	13	113	Min.	375.00	-10582.80	28	-1691.93	28	-4045.07	28	-86.13	28	-211.78	28	0.00	28
14	14	114	Max	0.00	-8115.74	28	160.85	28	-219.53	28	1811.25	28	-2413.71	28	0.00	28
14	14	114	Max	375.00	-6428.24	28	160.85	28	383.68	28	1811.25	28	4378.47	28	0.00	28
14	14	114	Min.	0.00	-8115.74	28	160.85	28	-219.53	28	1811.25	28	-2413.71	28	0.00	28
14	14	114	Min.	375.00	-6428.24	28	160.85	28	383.68	28	1811.25	28	4378.47	28	0.00	28
101	101	102	Max	15.00	0.00	28	0.00	28	0.00	28	681.33	28	-165.02	28	-494.97	28
101	101	102	Max	149.28									299.09	28		
101	101	102	Max	330.00	0.00	28	0.00	28	0.00	28	-893.67	28	-499.45	28	-494.97	28
101	101	102	Min.	15.00	0.00	28	0.00	28	0.00	28	681.33	28	-165.02	28	-494.97	28
101	101	102	Min.	149.28									299.09	28		
101	101	102	Min.	330.00	0.00	28	0.00	28	0.00	28	-893.67	28	-499.45	28	-494.97	28
101	102	103	Max	30.00	0.00	28	0.00	28	0.00	28	969.97	28	-594.91	28	-84.05	28
101	102	103	Max	223.91									345.94	28		
101	102	103	Max	420.00	0.00	28	0.00	28	0.00	28	-980.03	28	-614.52	28	-84.05	28
101	102	103	Min.	30.00	0.00	28	0.00	28	0.00	28	969.97	28	-594.91	28	-84.05	28
101	102	103	Min.	223.91									345.94	28		
101	102	103	Min.	420.00	0.00	28	0.00	28	0.00	28	-980.03	28	-614.52	28	-84.05	28
101	103	104	Max	30.00	0.00	28	0.00	28	0.00	28	946.97	28	-584.50	28	-65.57	28
101	103	104	Max	218.87									312.25	28		
101	103	104	Max	420.00	0.00	28	0.00	28	0.00	28	-1003.03	28	-693.82	28	-65.57	28
101	103	104	Min.	30.00	0.00	28	0.00	28	0.00	28	946.97	28	-584.50	28	-65.57	28
101	103	104	Min.	218.87									312.25	28		
101	103	104	Min.	420.00	0.00	28	0.00	28	0.00	28	-1003.03	28	-693.82	28	-65.57	28
101	104	105	Max	30.00	0.00	28	0.00	28	0.00	28	1266.88	28	-1006.72	28	19.20	28
101	104	105	Max	283.38									598.26	28		
101	104	105	Max	535.00	0.00	28	0.00	28	0.00	28	-1258.12	28	-984.60	28	19.20	28
101	104	105	Min.	30.00	0.00	28	0.00	28	0.00	28	1266.88	28	-1006.72	28	19.20	28
101	104	105	Min.	283.38									598.26	28		
101	104	105	Min.	535.00	0.00	28	0.00	28	0.00	28	-1258.12	28	-984.60	28	19.20	28
101	105	106	Max	30.00	0.00	28	0.00	28	0.00	28	893.09	28	-573.93	28	106.56	28
101	105	106	Max	208.62									223.67	28		
101	105	106	Max	380.00	0.00	28	0.00	28	0.00	28	-856.91	28	-510.63	28	106.56	28
101	105	106	Min.	30.00	0.00	28	0.00	28	0.00	28	893.09	28	-573.93	28	106.56	28
101	105	106	Min.	208.62									223.67	28		
101	105	106	Min.	380.00	0.00	28	0.00	28	0.00	28	-856.91	28	-510.63	28	106.56	28
101	106	107	Max	30.00	0.00	28	0.00	28	0.00	28	1072.77	28	-692.11	28	415.31	28
101	106	107	Max	244.55									458.73	28		
101	106	107	Max	420.00	0.00	28	0.00	28	0.00	28	-877.23	28	-310.81	28	415.31	28
101	106	107	Min.	30.00	0.00	28	0.00	28	0.00	28	1072.77	28	-692.11	28	415.31	28
101	106	107	Min.	244.55									458.73	28		
101	106	107	Min.	420.00	0.00	28	0.00	28	0.00	28	-877.23	28	-310.81	28	415.31	28
103	108	109	Max	15.00	0.00	28	0.00	28	0.00	28	681.33	28	-165.02	28	494.97	28
103	108	109	Max	149.28									299.09	28		
103	108	109	Max	330.00	0.00	28	0.00	28	0.00	28	-893.67	28	-499.45	28	494.97	28
103	108	109	Min.	15.00	0.00	28	0.00	28	0.00	28	681.33	28	-165.02	28	494.97	28
103	108	109	Min.	149.28									299.09	28		
103	108	109	Min.	330.00	0.00	28	0.00	28	0.00	28	-893.67	28	-499.45	28	494.97	28
103	109	110	Max	30.00	0.00	28	0.00	28	0.00	28	969.97	28	-594.91	28	84.05	28
103	109	110	Max	223.91									345.94	28		
103	109	110	Max	420.00	0.00	28	0.00	28	0.00	28	-980.03	28	-614.52	28	84.05	28
103	109	110	Min.	30.00	0.00	28	0.00	28	0.00	28	969.97	28	-594.91	28	84.05	28
103	109	110	Min.	223.91									345.94	28		
103	109	110	Min.	420.00	0.00	28	0.00	28	0.00	28	-980.03	28	-614.52	28	84.05	28
103	110	111	Max	30.00	0.00	28	0.00	28	0.00	28	946.97	28	-584.50	28	65.57	28
103	110	111	Max	218.87									312.25	28		
103	110	111	Max	420.00	0.00	28	0.00	28	0.00	28	-1003.03	28	-693.82	28	65.57	28
103	110	111	Min.	30.00	0.00	28	0.00	28	0.00	28	946.97	28	-584.50	28	65.57	28
103	110	111	Min.	218.87									312.25	28		

Relazione di calcolo

103	110	111	Min.	420.00	0.00	28	0.00	28	0.00	28	-1003.03	28	-693.82	28	65.57	28
103	111	112	Max	30.00	0.00	28	0.00	28	0.00	28	1266.88	28	-1006.72	28	-19.20	28
103	111	112	Max	283.38									598.26	28		
103	111	112	Max	535.00	0.00	28	0.00	28	0.00	28	-1258.12	28	-984.60	28	-19.20	28
103	111	112	Min.	30.00	0.00	28	0.00	28	0.00	28	1266.88	28	-1006.72	28	-19.20	28
103	111	112	Min.	283.38									598.26	28		
103	111	112	Min.	535.00	0.00	28	0.00	28	0.00	28	-1258.12	28	-984.60	28	-19.20	28
103	112	113	Max	30.00	0.00	28	0.00	28	0.00	28	893.09	28	-573.93	28	-106.56	28
103	112	113	Max	208.62									223.67	28		
103	112	113	Max	380.00	0.00	28	0.00	28	0.00	28	-856.91	28	-510.63	28	-106.56	28
103	112	113	Min.	30.00	0.00	28	0.00	28	0.00	28	893.09	28	-573.93	28	-106.56	28
103	112	113	Min.	208.62									223.67	28		
103	112	113	Min.	380.00	0.00	28	0.00	28	0.00	28	-856.91	28	-510.63	28	-106.56	28
103	113	114	Max	30.00	0.00	28	0.00	28	0.00	28	1072.77	28	-692.11	28	-415.31	28
103	113	114	Max	244.55									458.73	28		
103	113	114	Max	420.00	0.00	28	0.00	28	0.00	28	-877.23	28	-310.81	28	-415.31	28
103	113	114	Min.	30.00	0.00	28	0.00	28	0.00	28	1072.77	28	-692.11	28	-415.31	28
103	113	114	Min.	244.55									458.73	28		
103	113	114	Min.	420.00	0.00	28	0.00	28	0.00	28	-877.23	28	-310.81	28	-415.31	28
104	101	108	Max	45.00	0.00	28	0.00	28	0.00	28	3928.80	28	-2175.76	28	0.00	28
104	101	108	Max	284.42									2538.77	28		
104	101	108	Max	525.00	0.00	28	0.00	28	0.00	28	-3928.80	28	-2175.76	28	0.00	28
104	101	108	Min.	45.00	0.00	28	0.00	28	0.00	28	3928.80	28	-2175.76	28	0.00	28
104	101	108	Min.	284.42									2538.77	28		
104	101	108	Min.	525.00	0.00	28	0.00	28	0.00	28	-3928.80	28	-2175.76	28	0.00	28
105	102	109	Max	15.00	0.00	28	0.00	28	0.00	28	7464.15	28	-3743.24	28	0.00	28
105	102	109	Max	285.00									6333.36	28		
105	102	109	Max	555.00	0.00	28	0.00	28	0.00	28	-7464.15	28	-3743.23	28	0.00	28
105	102	109	Min.	15.00	0.00	28	0.00	28	0.00	28	7464.15	28	-3743.24	28	0.00	28
105	102	109	Min.	285.00									6333.36	28		
105	102	109	Min.	555.00	0.00	28	0.00	28	0.00	28	-7464.15	28	-3743.23	28	0.00	28
106	103	110	Max	15.00	0.00	28	0.00	28	0.00	28	8181.00	28	-3933.11	28	0.00	28
106	103	110	Max	285.00									7111.24	28		
106	103	110	Max	555.00	0.00	28	0.00	28	0.00	28	-8181.00	28	-3933.10	28	0.00	28
106	103	110	Min.	15.00	0.00	28	0.00	28	0.00	28	8181.00	28	-3933.11	28	0.00	28
106	103	110	Min.	285.00									7111.24	28		
106	103	110	Min.	555.00	0.00	28	0.00	28	0.00	28	-8181.00	28	-3933.10	28	0.00	28
107	104	111	Max	15.00	0.00	28	0.00	28	0.00	28	9096.97	28	-4398.70	28	0.00	28
107	104	111	Max	285.00									7882.22	28		
107	104	111	Max	555.00	0.00	28	0.00	28	0.00	28	-9096.97	28	-4398.69	28	0.00	28
107	104	111	Min.	15.00	0.00	28	0.00	28	0.00	28	9096.97	28	-4398.70	28	0.00	28
107	104	111	Min.	285.00									7882.22	28		
107	104	111	Min.	555.00	0.00	28	0.00	28	0.00	28	-9096.97	28	-4398.69	28	0.00	28
108	105	112	Max	15.00	0.00	28	0.00	28	0.00	28	8778.38	28	-4246.83	28	0.00	28
108	105	112	Max	285.00									7603.98	28		
108	105	112	Max	555.00	0.00	28	0.00	28	0.00	28	-8778.37	28	-4246.81	28	0.00	28
108	105	112	Min.	15.00	0.00	28	0.00	28	0.00	28	8778.38	28	-4246.83	28	0.00	28
108	105	112	Min.	285.00									7603.98	28		
108	105	112	Min.	555.00	0.00	28	0.00	28	0.00	28	-8778.37	28	-4246.81	28	0.00	28
109	106	113	Max	15.00	0.00	28	0.00	28	0.00	28	7742.92	28	-3836.89	28	0.00	28
109	106	113	Max	285.00									6616.06	28		
109	106	113	Max	555.00	0.00	28	0.00	28	0.00	28	-7742.92	28	-3836.89	28	0.00	28
109	106	113	Min.	15.00	0.00	28	0.00	28	0.00	28	7742.92	28	-3836.89	28	0.00	28
109	106	113	Min.	285.00									6616.06	28		
109	106	113	Min.	555.00	0.00	28	0.00	28	0.00	28	-7742.92	28	-3836.89	28	0.00	28
110	107	114	Max	45.00	0.00	28	0.00	28	0.00	28	4459.80	28	-2492.60	28	0.00	28
110	107	114	Max	285.00									2859.16	28		
110	107	114	Max	525.00	0.00	28	0.00	28	0.00	28	-4459.80	28	-2492.60	28	0.00	28
110	107	114	Min.	45.00	0.00	28	0.00	28	0.00	28	4459.80	28	-2492.60	28	0.00	28
110	107	114	Min.	285.00									2859.16	28		
110	107	114	Min.	525.00	0.00	28	0.00	28	0.00	28	-4459.80	28	-2492.60	28	0.00	28

Criteri di progetto utilizzati

Pilastrini in c.a.

Generali	
Parametri di progetto	
Pilastro prefabbricato	No
Progettazione dell'armatura con sollecitazioni più gravose	Si
Disaccoppia sovraresistenza	No
Limita fattore di sovraresistenza al massimo valore di struttura	No
Tipo verifica di stabilità	
-Per $N \cdot \Omega - M$ e per $N - c \cdot M$ (standard)	Si
-Per $N \cdot \Omega - c \cdot M$ (doppia)	No
-Per $N \cdot \Omega$ (sforzo normale e momento nullo)	No
-Per $c \cdot M$ (momento e sforzo normale nullo)	No
Max angolo di piegatura ferri <grad>	20.00
Progettazione armatura di ripresa	Si
Minimizzazione armatura di ripresa	No
Minimizzazione area di ferro totale nella sezione	No

Relazione di calcolo

Non progettare riprese ma estendi solo i ferri	Si
Verifiche in relazione	Minimizzate
Ancoraggi	
Lunghezza ancoraggi	
-Lunghezza minima come multiplo del diametro	40.00
Ancoraggi tutti uguali	Si
Piegatura ancoraggi per discontinuità	Si
Piegatura ancoraggi ferri di ripresa	Si
Armatura a taglio	
Staffatura a spirale pilastri circolari	Si
Cambiare le staffe nei nodi appartenenti all'impalcato 0 se sul nodo incidono elementi	Si
Considera solo la zona critica alla base della pilastrata (strutture pendolari)	No
Progetta a taglio con traliccio ad inclinazione variabile	Si
-Classe A	
-In zona critica limita ctg θ a	1.00
-In zona non critica limita ctg θ a	2.50
-Classe B	
-In zona critica limita ctg θ a	2.50
-In zona non critica limita ctg θ a	2.50
Verifiche a taglio per elementi esistenti come per elementi nuovi	Si
Estendi nel nodo staffe sottostanti anche se non richiesto dalla normativa	No
Parametri di disegno	
Scala disegno sezioni pilastri	25.00
Scala disegno viste pilastri	50.00
Creazione tabelle pilastri	Si
-Tipo di tabella	Armature disposte dal basso verso l'alto
-Max lunghezza tavole <cm>	70.00
-Max altezza tavole <cm>	50.00
Creazione viste pilastri	
-Disegno ferri dentro pilastro in vista	Si
-Disegno staffe dentro pilastro in vista	Si
-Modalità di individuazione ferri	
-Modalità di indicazione ferri	Mediante una tabella
-Minimizzazione riferimenti	Si
-Modalità di individuazione ferri	Per posizione
-Modalità di indicazione ferri	Mediante una tabella
-Minimizzazione riferimenti	Si

Specifici	1
Materiali	
-Considera come elemento esistente	No
-Calcestruzzo	
-Livello di conoscenza	LC2
-Fattore di confidenza	1.20
-Tipo di calcestruzzo	C30/37
-Rck calcestruzzo	370.00
-Modulo elastico <daN/cm ² >	330194.00
-Resistenza caratteristica cilindrica (Fck)	307.10
-Resistenza caratteristica a trazione (Fctk)	20.59
-Resistenza media (Fcm) <daN/cm ² >	387.10
-Resistenza media a trazione (Fctm) <daN/cm ² >	29.42
- σ amm. calcestruzzo <daN/cm ² >	115.00
-tc0 <daN/cm ² >	6.90
-tc1 <daN/cm ² >	20.30
-Riduci Fcd per tutte le verifiche secondo il D.M. 18	Si
- γ_c per stati limite ultimi	
-Automatico	x
-Pari a	
-Acciaio	
-Livello di conoscenza	LC2
-Fattore di confidenza	1.20
-Tipo di acciaio	B450C
-Modulo elastico <daN/cm ² >	2060000.00
-Tensione caratteristica di snervamento (Fyk) <daN/cm ² >	4500.00
-Tensione media di snervamento (Fym) <daN/cm ² >	4500.00
-Sigma amm. acciaio <daN/cm ² >	2600.00
-Sigma amm. reti e tralicci <daN/cm ² >	2600.00
-Allungamento per verifiche di duttilità (Agt) <%>	4.00
- γ_s per stati limite ultimi	
-Automatico	x
-Pari a	
-Coeff. di omogeneizzazione	15.00

Relazione di calcolo

Parametri per analisi pushover	
Numero fibre	200.00
Fattore di confinamento nucleo interno	1.00
Fattore di incrudimento acciaio <%>	0.10
Parametri per verifiche di duttilità	
Considera formulazione per pareti	No
Considera rotazione massima di esercizio per determinare SLO e SLD	No
Modalità di calcolo luce di taglio Lv	
-Lv=L/2	x
-Lv=M/V	
-Lv=Punto di nullo del momento flettente	
Capacità di rotazione alla corda al collasso	
-Formula C8A.6.1 con fattore di riduzione pari a	
-Formula C8A.6.5	x
Sforzo normale di verifica per analisi pushover	
-Gravitazionale	
-Dal calcolo	x
Parametri di calcolo	
Strategia di progetto	RETTANG
Copriferro reale al bordo staffa <cm>	4.00
Diametro staffa teorica <mm>	9.00
Continuità dei ferri nei nodi appartenenti all'impalcato 0	Si
Coeff. β in direzione Z locale	1.00
Coeff. β in direzione Y locale	1.00
Armatura secondo Circ. 65 del 10/04/97	No
-Raffittimento staffe in testa e al piede del pilastro	No
-Passo <cm>	
Parametri di progetto secondo il D.M. 18	
Elemento dissipativo	No
Trascura gerarchia	No
Limita verifica a pressoflessione ad elemento non dissipativo	Si
Limita verifica a taglio ad elemento non dissipativo	Si
Elemento secondario	No
Incremento percentuale per piano debole	No
Non effettuare verifiche dei nodi fra trave e pilastro	Si
Verifiche a pressoflessione deviata	Si
Per calcoli secondo il D.M. 18 usa espressione 4.1.19	No
Verifiche a taglio	
Verifiche a taglio per sezioni circolari	
-Usa formulazione sezioni generiche	
-Considera rettangolo inscritto con B/H pari a	1.00
Verifiche a taglio per sezioni generiche	
-Considera Vrdu minimo	
-Considera Vrdu calcolato in corrispondenza di bw minimo	
-Considera Vrdu in corrispondenza di bw medio	x
-Considera Vrdu in corrispondenza di bw massimo	
-Considera sempre Af Staffe non proiettata in direzione del taglio	Si
Armatura a pressoflessione	
Elenco diametri ferri longitudinali 1 <mm>	16
Elenco diametri ferri longitudinali 2 <mm>	20
Elenco diametri ferri longitudinali 3 <mm>	
Elenco diametri ferri longitudinali 4 <mm>	
Elenco diametri ferri longitudinali 5 <mm>	
Elenco diametri ferri longitudinali 6 <mm>	
Elenco diametri ferri longitudinali 7 <mm>	
Max distanza fra i ferri su un lato <cm>	25.00
Min. interferro ammissibile <cm>	7.00
Distanza fra i ferri di spigolo <cm>	3.00
Min. numero ferri per pilastri circolari	8.00
Reggistaffe aggiuntivi sezioni non rettangolari	Si
Fattore di riduzione τ_{c0} per ancoraggio ferri	1.00
Armatura a taglio	
Elenco diametri staffe 1 <mm>	8
Elenco diametri staffe 2 <mm>	
Elenco diametri staffe 3 <mm>	
Elenco diametri staffe 4 <mm>	
Elenco diametri staffe 5 <mm>	
Elenco diametri staffe 6 <mm>	
Elenco diametri staffe 7 <mm>	
Mantieni diametro costante nell'interpiano	Si
Passi staffe	4.00
-Minimo <cm>	Si
-Massimo <cm>	30.00
-Incremento <cm>	2.00
Tipo di minimizzazione staffatura	
-Minimizza il numero delle staffe	

Relazione di calcolo

-Minimizza il peso delle staffe	x
Max distanza fra ferri non collegati <cm>	20.00
Max numero ferri non collegati	2.00
Max distanza fra ferri nei nodi non collegati <cm>	7.00
Max numero ferri nei nodi non collegati	1.00
Collegamenti ferri	
Con spilli	
Con staffe rettangolari	
Con staffe poligonali	x
Ferri orizzontali pareti realizzati con staffe	No
Quote di alleggerimento armature pilastri prefabbricati	
Quota di alleggerimento n. 1 <m>	0.00
Quota di alleggerimento n. 2 <m>	0.00
Quota di alleggerimento n. 3 <m>	0.00
Quota di alleggerimento n. 4 <m>	0.00
Quota di alleggerimento n. 5 <m>	0.00
Quota di alleggerimento n. 6 <m>	0.00
Quota di alleggerimento n. 7 <m>	0.00
Dati per progettazione interattiva sezioni	
Distanza fra ferri su più strati <cm>	1.00
Integrare lo scorrimento lungo il tratto	Si
-Lunghezza del tratto <m>	1.00
Dati per progettazione agli stati limite	
Gruppo di esigenza	
-Ambiente poco aggressivo	x
-Ambiente moderatamente aggressivo	
-Ambiente molto aggressivo	
Usa dominio N-M per flessioni rette	No
-Ricerca della sicurezza con sforzo normale costante	
-Ricerca della sicurezza con eccentricità costante	
Controllo rapporto X/D	No
Barre da considerare tese per verifiche a taglio	
-Solo le barre con deformazione percentuale rispetto alla barra più tesa non inferiore al <%>	30.00
-Tutte le barre in trazione	
Dati per verifiche di resistenza al fuoco	
-Tempo di verifica (REI) <minuti>	120.00
Dimensione MESH <cm>	2.00
-Passo di calcolo <secondi>	10.00
-Temperatura ambiente <C°>	20.00
-Coeff. di convezione a temperatura ambiente <W/mq K>	9.00
Calcestruzzo	
-Tipo di aggregati	SILICEI
Massa volumica a secco <daN/mc>	2300.00
-Umidità iniziale <%>	3.00
-Fattore di interpolazione conducibilità	0.50
Dati per verifiche FRP	
Rinforzo longitudinale	
Tipo di fibra/resina	
-Vetro/Epossidica	
-Arammidica/Epossidica	
-Carbonio/Epossidica	x
Resistenza caratteristica (f_{fk}) <daN/cm ² >	49000.00
Modulo elastico (E_c) <daN/cm ² >	2500000.00
Deformazione caratteristica a rottura per trazione (ϵ_{fk}) <%>	2.00
Spessore equivalente (t_r) <mm>	0.17
Sistemi di rinforzo	
-Preformati	
-Impregnati in situ	x
Rinforzo trasversale	
Tipo di fibra/resina	
-Vetro/Epossidica	
-Arammidica/Epossidica	
-Carbonio/Epossidica	x
Resistenza caratteristica (f_{fk}) <daN/cm ² >	49000.00
Modulo elastico (E_c) <daN/cm ² >	2500000.00
Deformazione caratteristica a rottura per trazione (ϵ_{fk}) <%>	2.00
Spessore equivalente (t_r) <mm>	0.17
Sistemi di rinforzo	
-Preformati	
-Impregnati in situ	x
Trascura resistenza a taglio dei rinforzi	No
Modalità di carico	
-Lungo termine	x
-Ciclico	
Coeff. parziale di sicurezza per SLU di distacco (γ_{fd})	1.50

Relazione di calcolo

Fattore di conversione ambientale (η_a)	0.95
Raggio di arrotondamento spigoli (r_c) <cm>	2.00
Coeff. condizione di carico (K_q)	1.25
Dati per verifiche incamicature in acciaio non CAM	
Resistenza di progetto strisce di collegamento (F_{yd}) <daN/cmq>	2350.00

Travi in c.a.

Generali	
Parametri di progetto	
Passo di progettazione <m>	0.30
Tipo di sollecitazioni zone rigide	Costanti
Min. angolo per spinte a vuoto <grad>	10.00
Invertire i ferri anche in presenza di pilastro sottostante	Si
Max differenza larghezza travi continue <cm>	5.00
Progetta a taglio con traliccio ad inclinazione variabile	Si
-Classe A	
-In zona critica limita ctg θ a	1.00
-In zona non critica limita ctg θ a	2.50
-Classe B	
-In zona critica limita ctg θ a	2.50
-In zona non critica limita ctg θ a	2.50
Verifiche a taglio per elementi esistenti come per elementi nuovi	Si
Lunghezze e arrotondamenti	
Max lunghezza barre <m>	12.00
Arrotondamento lunghezza ferri <cm>	50.00
Lunghezza ferri nei muri d'estremità <m>	1.20
Min. interfero ammissibile <cm>	2.00
Elenco diametri minimizzazione interferri <mm>	14 16 18 20 24
Riduzione ancoraggi	
-Nella zona compressa per flessione	No
-Nei punti inferiori della travata	Si
Considerare nel calcolo degli ancoraggi i risvolti specificati nei criteri generali di disegno	No
Risvoltare i ferri per garantire l'ancoraggio agli estremi della trave	No
Reggistaffe	
Interruzione reggistaffe in campata	No
Modalità di sovrapposizione reggistaffe	Per garantire la copertura del momento negativo
Modalità di unificazione reggistaffe	Solo se la geometria della travata e la lunghezza totale delle barre lo consentono
Minimi di regolamento	
Min. percentuale di regolamento	
-Per le travi di fondazione	No
-Per le travi di elevazione	Si
Min. di armatura a taglio	
-Per le travi di fondazione	No
-Per le travi di elevazione	No
Tipo di armatura per taglio (T.A.)	Mista
Controllo passo e 12Fi	Si
Min. di regolamento a torsione nell'ala	No
Min. di regolamento nell'ala	No
Stampe	
Verifiche a flessione in relazione	Minimizzate
Verifiche a taglio in relazione	Max scorrimento per taglio e torsione
Parametri di disegno	
Scala disegno travi	50.00
Scala disegno sezioni	25.00
Campitura sezioni	Fitta
Disegno sezione travi in falso	Si
Disegna sezioni	Si
Campitura travi in falso	Fitta
Campitura muri	Rada
Tipo di quotatura luci nette trave	Con riferimento ai pilastri superiori
Lunghezza monconi di pilastro	Minimizzata
Linee di riferimento quote	Si
Quotatura zone di staffatura	No
Quotatura zone di staffatura	No
Indicazione numero bracci staffe	Solo se il numero è maggiore di due
Disegno ferri longitudinali	
Disegno ferri dentro la trave	Si
Disegno esploso ferri di parete	No

Relazione di calcolo

Distanza fra ferri esplosi <cm>	0.10
Disegno reggistaffe aggiuntivi per travi a T e L	Reggistaffe aggiuntivi tipo 3
Disegno staffe	
Posizione staffe esterne	In automatico
Disegno staffe dentro la sezione	Si

Specifici	1
Materiali	
-Considera come elemento esistente	No
-Calcestruzzo	
-Livello di conoscenza	LC2
-Fattore di confidenza	1.20
-Tipo di calcestruzzo	C30/37
-Rck calcestruzzo	370.00
-Modulo elastico <daN/cmq>	330194.00
-Resistenza caratteristica cilindrica (Fck)	307.10
-Resistenza caratteristica a trazione (Fctk)	20.59
-Resistenza media (Fcm) <daN/cmq>	387.10
-Resistenza media a trazione (Fctm) <daN/cmq>	29.42
-σ amm. calcestruzzo <daN/cmq>	115.00
-tc0 <daN/cmq>	6.90
-tc1 <daN/cmq>	20.30
-Riduci Fcd per tutte le verifiche secondo il D.M. 18	Si
-γc per stati limite ultimi	
-Automatico	x
-Pari a	
-Acciaio	
-Livello di conoscenza	LC2
-Fattore di confidenza	1.20
-Tipo di acciaio	B450C
-Modulo elastico <daN/cmq>	2060000.00
-Tensione caratteristica di snervamento (Fyk) <daN/cmq>	4500.00
-Tensione media di snervamento (Fym) <daN/cmq>	4500.00
-Sigma amm. acciaio <daN/cmq>	2600.00
-Sigma amm. reti e tralicci <daN/cmq>	2600.00
-Allungamento per verifiche di duttilità (Agt) <%>	4.00
-γs per stati limite ultimi	
-Automatico	x
-Pari a	
-Coeff. di omogeneizzazione	15.00
Parametri per analisi pushover	
Numero fibre	200.00
Fattore di confinamento nucleo interno	1.00
Fattore di incrudimento acciaio <%>	0.10
Parametri per verifiche di duttilità	
Considera rotazione massima di esercizio per determinare SLO e SLD	No
Modalità di calcolo luce di taglio Lv	
-Lv=L/2	x
-Lv=M/V	
-Lv=Punto di nullo del momento flettente	
Capacità di rotazione alla corda al collasso	
-Formula C8A.6.1 con fattore di riduzione pari a	
-Formula C8A.6.5	x
Sforzo normale di verifica per analisi pushover	
-Gravitazionale	
-Dal calcolo	x
Parametri di calcolo	
Progetto a pressoflessione	Si
-Per tutte le travi	
-Solo per travi inclinate	x
-Min. angolo per pressoflessione <grad>	10.00
-Compressione massima senza progetto a pressoflessione <%>	10.00
Progetto a torsione	No
-Trazione senza progetto a torsione<%>	
Armatura secondo Circ. 65 del 10/04/97	No
Parametri di progetto secondo il D.M. 18	
Elemento dissipativo	No
Trascura gerarchia	No
Limita verifica a taglio ad elemento non dissipativo	Si
Elemento secondario	No
Sollecitazioni dissipative amplificate per elementi di fondazione	Si
Escludi dal calcolo sovreresistenza per pilastri incidenti	No
Sollecitazioni complanari ad eventuali elementi bidimensionali	No
Copriferro teorico superiore <cm>	5.50
Copriferro teorico inferiore <cm>	5.50

Relazione di calcolo

Min. momento fittizio agli appoggi	No
-Denominatore	
Min. momento fittizio in campata	No
-Denominatore	
Incremento percentuale momento in campata <%>	10.00
Usa taglio max per traslazione momento (S.L.)	Si
Limitare momento traslato al valore max di appoggio (S.L.)	No
Limitare momento traslato al valore max di campata (S.L.)	No
Taglio da momento resistente in fondazione (S.L.)	No
Tipo di progetto in doppia armatura (T.A.)	
-Tensioni pari ai valori amm.	
-Tensioni pari ai valori amm. con AfComp/AfTesa minore o pari a	1.00
-Con AfComp/AfTesa pari a	
Parametri di progettazione armatura	
Max differenza fra diametri per unificazioni	2.00
Max distanza fra barre per unificazioni <m>	1.00
Denominatore per individuazione zona di campata	32.00
Fattore di copertura appoggi (0+1)	0.00
Fattore di riduzione per ancoraggio ferri	1.00
Minimizzazione momenti resistenti di appoggio (stati limite D.M. 18)	Si
-Tolleranza di copertura da sovrapposizione <%>	10.00
Tipo di distribuzione armatura eccedente in fase di verifica	
-Ripartita proporzionalmente per flessione, torsione e taglio	x
-Tutta agente per flessione	
-Tutta agente per taglio	
Armatura a flessione	
Elenco diametri ferri longitudinali 1 <mm>	16
Elenco diametri ferri longitudinali 2 <mm>	
Elenco diametri ferri longitudinali 3 <mm>	
Elenco diametri ferri longitudinali 4 <mm>	
Elenco diametri ferri longitudinali 5 <mm>	
Elenco diametri ferri longitudinali 6 <mm>	
Elenco diametri ferri longitudinali 7 <mm>	
Max differenza fra diametri nella trave	8.00
Max differenza fra diametri ferri accoppiati	4.00
Reggistaffe superiori	
-Numero	
-Automatico	
-Pari a	2.00
-Max mutua distanza <cm>	
-Diametro	
-Automatico	x
-Pari a <mm>	
-Minimo <mm>	
Reggistaffe inferiori	
-Numero	
-Automatico	
-Pari a	2.00
-Max mutua distanza <cm>	
-Diametro	
-Automatico	x
-Pari a <mm>	
-Minimo <mm>	
Armatura a taglio	
Scorrimento (T.A.)	
-Percentuale assorbita dalle staffe <%>	100.00
-Percentuale assorbita dai ferri piegati <%>	0.00
-Percentuale assorbita dai ferri di parete <%>	0
-Considerare il valore relativo alle staffe come minimo percentuale da adottare	No
Variabilità staffe	
-Staffe uguali a passo costante	
-Staffe diverse in tre parti della trave in funzione delle zone critiche	x
-Staffe diverse in tre parti della trave in funzione di un multiplo dell'altezza pari a	
Variabilità staffe ala	
-Passi uguali a passi anima	x
-Passi multipli di passi anima	
-Passi indipendenti da passi anima	
Min. lunghezza tratto centrale come multiplo dell'altezza della trave	1.10
Elenco diametri staffe 1 <mm>	8
Elenco diametri staffe 2 <mm>	
Elenco diametri staffe 3 <mm>	
Elenco diametri staffe 4 <mm>	
Elenco diametri staffe 5 <mm>	
Elenco diametri staffe 6 <mm>	
Elenco diametri staffe 7 <mm>	
Elenco numero bracci staffe 1	2
Elenco numero bracci staffe 2	
Elenco numero bracci staffe 3	

Relazione di calcolo

Elenco numero bracci staffe 4	
Elenco numero bracci staffe 5	
Passi staffe	
-Minimo <cm>	5.00
-Massimo <cm>	25.00
-Incremento <cm>	5.00
Elementi costanti	
-Diametro	Si
-Passo	No
-Bracci	Si
Tipo di minimizzazione staffatura	
-Minimizza il numero delle staffe	x
-Minimizza il peso delle staffe	
Raffittimento staffe all'estremità della trave	No
-Passo non superiore a	
Lunghezza max del tratto di calcolo scorrimento	
-Pari al tratto in cui $\tau > \tau_{c0}$	x
-Pari a <cm>	
-Come multiplo dell'altezza pari a	
Armatura a taglio e torsione	
Elenco diametri ferri piegati 1 <mm>	12
Elenco diametri ferri piegati 2 <mm>	14
Elenco diametri ferri piegati 3 <mm>	16
Elenco diametri ferri piegati 4 <mm>	18
Elenco diametri ferri piegati 5 <mm>	20
Elenco diametri ferri piegati 6 <mm>	
Elenco diametri ferri piegati 7 <mm>	
Angolo di piegatura <grad>	45.00
Posizione primo punto di piegatura	
-Pari al multiplo dell'altezza	
-Distanza <cm>	5.00
Interasse punti di piegatura	
-Pari al multiplo dell'altezza	
-Distanza <cm>	25.00
Tipo di ferri piegati	
-Solo sagomati	
-Solo cavallotti	
-Sia sagomati che cavallotti	x
Ferri di parete	Si
-Max distanza fra le barre <cm>	30.00
Elenco diametri ferri di parete 1 <mm>	12
Elenco diametri ferri di parete 2 <mm>	14
Elenco diametri ferri di parete 3 <mm>	16
Elenco diametri ferri di parete 4 <mm>	18
Elenco diametri ferri di parete 5 <mm>	20
Elenco diametri ferri di parete 6 <mm>	
Elenco diametri ferri di parete 7 <mm>	
Elenco diametri staffe orizzontali 1 <mm>	6
Elenco diametri staffe orizzontali 2 <mm>	8
Elenco diametri staffe orizzontali 3 <mm>	
Elenco diametri staffe orizzontali 4 <mm>	
Elenco diametri staffe orizzontali 5 <mm>	
Elenco diametri staffe orizzontali 6 <mm>	
Elenco diametri staffe orizzontali 7 <mm>	
Parametri di disegno	
Risolto ferri superiori	Si
-Pari a <cm>	
-Pari all'altezza della trave	x
-Pari alla minima altezza delle travi incidenti	
Risolto ferri inferiori	Si
-Pari a <cm>	
-Pari all'altezza della trave	x
-Pari alla minima altezza delle travi incidenti	
Risolto ferri laterali	Si
-Pari a <cm>	25.00
-Pari alla larghezza della trave	
Magrone	No
-Allargamento laterale <cm>	
-Altezza <cm>	
Dati per progettazione interattiva sezioni	
Copriferro reale al bordo staffa <cm>	2.50
Diametro staffa teorica <mm>	8.00
Distanza fra ferri su più strati <cm>	1.00
Integrare lo scorrimento lungo il tratto	Si
-Lunghezza del tratto <m>	1.00
Dati per progettazione agli stati limite	
Gruppo di esigenza	
-Ambiente poco aggressivo	x

Relazione di calcolo

-Ambiente moderatamente aggressivo	
-Ambiente molto aggressivo	
Usa dominio N-M per flessioni rette	Si
-Ricerca della sicurezza con sforzo normale costante	
-Ricerca della sicurezza con eccentricità costante	x
Controllo rapporto X/D	Si
Barre da considerare tese per verifiche a taglio	
-Solo le barre con deformazione percentuale rispetto alla barra più tesa non inferiore al <%>	30.00
-Tutte le barre in trazione	
Dati per verifiche di resistenza al fuoco	
-Tempo di verifica (REI) <minuti>	120.00
Dimensione MESH <cm>	2.00
-Passo di calcolo <secondi>	10.00
-Temperatura ambiente <C°>	20.00
-Coeff. di convezione a temperatura ambiente <W/mq K>	9.00
Calcestruzzo	
-Tipo di aggregati	SILICEI
Massa volumica a secco <daN/mc>	2300.00
-Umidità iniziale <%>	3.00
-Fattore di interpolazione conducibilità	0.50
Dati per verifiche FRP	
Rinforzo longitudinale	
Tipo di fibra/resina	
-Vetro/Epossidica	
-Arammidica/Epossidica	
-Carbonio/Epossidica	x
Resistenza caratteristica (f_{fk}) <daN/cm ² >	49000.00
Modulo elastico (E_c) <daN/cm ² >	2500000.00
Deformazione caratteristica a rottura per trazione (ϵ_{fk}) <%>	2.00
Spessore equivalente (t_f) <mm>	0.17
Sistemi di rinforzo	
-Preformati	
-Impregnati in situ	x
Rinforzo trasversale	
Tipo di fibra/resina	
-Vetro/Epossidica	
-Arammidica/Epossidica	
-Carbonio/Epossidica	x
Resistenza caratteristica (f_{fk}) <daN/cm ² >	49000.00
Modulo elastico (E_c) <daN/cm ² >	2500000.00
Deformazione caratteristica a rottura per trazione (ϵ_{fk}) <%>	2.00
Spessore equivalente (t_f) <mm>	0.17
Sistemi di rinforzo	
-Preformati	
-Impregnati in situ	x
Modalità di carico	
-Lungo termine	x
-Ciclico	
Coeff. parziale SLU di distacco (γ_{fd})	1.50
Fattore di conversione ambientale (η_a)	0.95
Raggio di arrotondamento spigoli (r_c) <cm>	2.00
Coeff. condizione di carico (K_q)	1.25

Verifiche e armature travi

Simbologia

- Caso = Caso di verifica
- Xg = Coordinata progressiva (dal primo nodo) in cui viene effettuato il progetto/verifica
- CC = Combinazione delle condizioni di carico elementari
 - c = momento fittizio in campata
 - a = momento fittizio agli appoggi
 - TG = taglio da gerarchia delle resistenze
 - TGND = taglio non dissipativo limitante la gerarchia
 - T = momento traslato per taglio
 - e = eccentricità aggiuntiva in caso di compressione o pressoflessione
- TCC = Tipo di combinazione di carico
 - SLU = Stato limite ultimo
 - SLU S = Stato limite ultimo (azione sismica)
 - SLE R = Stato limite d'esercizio, combinazione rara
 - SLE F = Stato limite d'esercizio, combinazione frequente
 - SLE Q = Stato limite d'esercizio, combinazione quasi permanente
 - SLD = Stato limite di danno
 - SLV = Stato limite di salvaguardia della vita
 - SLC = Stato limite di prevenzione del collasso
 - SLO = Stato limite di operatività
 - SLU I = Stato limite di resistenza al fuoco
 - SND = Stato limite di salvaguardia della vita (non dissipativo)
- El = Elemento (asta) in cui viene effettuato il progetto/verifica (progressivo sul numero di aste)
- Sez. = Numero della sezione
- Crit. = Numero del criterio di progetto
- X = Coordinata progressiva rispetto al nodo iniziale
- AfE S = Area di ferro effettiva totale presente nel punto di verifica, superiore
- AfE I = Area di ferro effettiva totale presente nel punto di verifica, inferiore
- AfEP S = Area di ferro effettiva parziale presente nella CC considerata, per la sollecitazione indicata, superiore
- AfEP I = Area di ferro effettiva parziale presente nella CC considerata, per la sollecitazione indicata, inferiore

Relazione di calcolo

My = Momento flettente intorno all'asse Y
 M'ydy = Momento resistente massimo in campo sostanzialmente elastico intorno all'asse Y
 MRdy = Momento resistente allo stato limite ultimo intorno all'asse Y
 Sic. = Sicurezza a rottura
 σ_f sup = Tensione nel ferro - superiore
 σ_f inf = Tensione nel ferro - inferiore
 σ_c = Tensione nel calcestruzzo
 X0 = Coordinata progressiva (dal nodo iniziale) dell'inizio del tratto
 X1 = Coordinata progressiva (dal nodo iniziale) della fine del tratto
 Lung. = Lunghezza del tratto di progettazione
 Staff. = Staffatura adottata
 AfE St. = Area di ferro effettiva della staffatura (d'anima per travi a T o L)
 bw = Larghezza membratura resistente al taglio
 Vsdu = Taglio agente nella direzione del momento ultimo
 ctg θ = Cotangente dell'angolo di inclinazione dei puntoni di calcestruzzo
 VRsd = Taglio ultimo lato armatura
 VRcd = Taglio ultimo lato calcestruzzo
 Vrdu = Taglio ultimo assorbibile dal solo calcestruzzo
 Sic.T = Sicurezza a rottura per taglio
 c = Ricoprimento dell'armatura
 s = Distanza minima tra le barre
 K3 = Coefficiente di forma del diagramma delle tensioni prima della fessurazione
 s_{m} = Distanza media tra le fessure
 ϕ = Diametro della barra
 A_s = Area complessiva dei ferri nell'area di calcestruzzo efficace
 $A_{s, eff}$ = Area di calcestruzzo efficace
 σ_s = Tensione nell'acciaio nella sezione fessurata
 σ_{st} = Tensione nell'acciaio corrispondente al raggiungimento della resistenza a trazione nel calcestruzzo
 ϵ_{sm} = Deformazione unitaria media dell'armatura (*1000)
 Wk = Apertura delle fessure
 Tipo = Tipologia
 2C = Doppia C lato labbri
 2Cdx = Doppia C lato costola
 2I = Doppia I
 2L = Doppia L lato labbri
 2Ldx = Doppia L lato costole
 C = Sezione a C
 Cdx = C destra
 Cir. = Circolare
 Cir.c = Circolare cava
 I = Sezione a I
 L = Sezione a L
 Ldx = L destra
 Om. = Omega
 Pg = Pi greco
 Pr = Poligono regolare
 Prc = Poligono regolare cavo
 Pc = Per coordinate
 Ia = Inerzie assegnate
 R = Rettangolare
 Rc = Rettangolare cava
 T = Sezione a T
 U = Sezione a U
 Ur = U rovescia
 V = Sezione a V
 Vr = V rovescia
 Z = Sezione a Z
 Zdx = Z destra
 Ts = T stondata
 Ls = L stondata
 Cs = C stondata
 Is = I stondata
 Dis. = Disegnata
 B = Base
 H = Altezza
 Cf sup = Coprifermo superiore
 Cf inf = Coprifermo inferiore
 Cls = Tipo di calcestruzzo
 Fck = Resistenza caratteristica cilindrica a compressione del calcestruzzo
 Fctk = Resistenza caratteristica a trazione del calcestruzzo
 Fcd = Resistenza di calcolo a compressione del calcestruzzo
 Fctd = Resistenza di calcolo a trazione del calcestruzzo
 Tp = Tipo di acciaio
 Fyk = Tensione caratteristica di snervamento dell'acciaio
 Fyd = Resistenza di calcolo dell'acciaio

Travata n. 101

Nodi: 101 102 103 104 105 106 107

Caratteristiche delle sezioni e dei materiali utilizzati

Sez.	Tipo	B <cm>	H <cm>	Cf sup <cm>	Cf inf <cm>	Cls	Fck <daN/cm ² >	Fctk <daN/cm ² >	Fcd <daN/cm ² >	Fctd <daN/cm ² >	Tp	Fyk <daN/cm ² >	Fyd <daN/cm ² >
2R		30.00	40.00	5.50	5.50	C30/37	307.10	20.59	174.02	13.73	B450C	4500.00	3913.04

Stato limite ultimo - Verifiche a flessione/pressoflessione

Xg <m>	CC	TCC	El	X <cm>	AfE S <cmq>	AfE I <cmq>	AfEP S <cmq>	AfEP I <cmq>	My <daNm>	MRdy <daNm>	Sic.
0.15	36	SLU	1	15.00	6.03	6.03	6.03	6.03	-711.45	-7591.97	10.671
2.98	29	SLU	1	298.50	6.03	6.03	6.03	6.03	-692.18	-7591.97	10.968
3.30	29	SLU	1	330.00	6.03	6.03	6.03	6.03	-692.18	-7591.97	10.968
3.90	36	SLU	2	30.00	6.03	6.03	6.03	6.03	-1548.21	-7591.97	4.904
7.80	29	SLU	2	420.00	6.03	6.03	6.03	6.03	-851.30	-7591.97	8.918
8.40	36	SLU	3	30.00	6.03	6.03	6.03	6.03	-1540.38	-7591.97	4.929
12.30	29	SLU	3	420.00	6.03	6.03	6.03	6.03	-959.75	-7591.97	7.910
12.90	36	SLU	4	30.00	6.03	6.03	6.03	6.03	-1978.68	-7591.97	3.837
13.22	36	SLU	4	61.56	6.03	6.03	6.03	6.03	-1978.68	-7591.97	3.837
17.95	29	SLU	4	535.00	6.03	6.03	6.03	6.03	-1362.31	-7591.97	5.573
18.55	36	SLU	5	30.00	6.03	6.03	6.03	6.03	-1606.55	-7591.97	4.726

Relazione di calcolo

21.73	29	SLU	5	348.18	6.03	6.03	6.03	6.03	-711.72	-7591.97	10.667
22.05	29	SLU	5	380.00	6.03	6.03	6.03	6.03	-711.72	-7591.97	10.667
22.65	36	SLU	6	30.00	6.03	6.03	6.03	6.03	-1527.31	-7591.97	4.971
26.17	36	SLU	6	381.51	6.03	6.03	6.03	6.03	590.22	7591.97	12.863
26.55	25	SLU	6	420.00	6.03	6.03	6.03	6.03	-433.48	-7591.97	17.514

Stato limite elastico - Verifiche a flessione/pressoflessione

Xg <m>	CC	TCC	El	X <cm>	AfE S <cmq>	AfE I <cmq>	AfEP S <cmq>	AfEP I <cmq>	My <daNm>	M'ydy <daNm>	Sic.
0.15	13	SND	1	15.00	6.03	6.03	6.03	6.03	-2612.62	-7208.01	2.759
2.98	1	SND	1	298.50	6.03	6.03	6.03	6.03	-3412.37	-7208.01	2.112
3.30	1	SND	1	330.00	6.03	6.03	6.03	6.03	-3412.37	-7208.01	2.112
3.90	13	SND	2	30.00	6.03	6.03	6.03	6.03	-3471.67	-7208.01	2.076
7.80	1	SND	2	420.00	6.03	6.03	6.03	6.03	-3493.22	-7208.01	2.063
8.40	13	SND	3	30.00	6.03	6.03	6.03	6.03	-3530.07	-7208.01	2.042
12.30	1	SND	3	420.00	6.03	6.03	6.03	6.03	-3709.05	-7208.01	1.943
12.90	13	SND	4	30.00	6.03	6.03	6.03	6.03	-3379.49	-7208.01	2.133
13.22	13	SND	4	61.56	6.03	6.03	6.03	6.03	-3379.49	-7208.01	2.133
17.95	1	SND	4	535.00	6.03	6.03	6.03	6.03	-3328.71	-7208.01	2.165
18.55	13	SND	5	30.00	6.03	6.03	6.03	6.03	-3836.55	-7208.01	1.879
21.73	1	SND	5	348.18	6.03	6.03	6.03	6.03	-3742.03	-7208.01	1.926
22.05	1	SND	5	380.00	6.03	6.03	6.03	6.03	-3742.03	-7208.01	1.926
22.65	13	SND	6	30.00	6.03	6.03	6.03	6.03	-3221.54	-7208.01	2.237
26.17	1	SND	6	381.51	6.03	6.03	6.03	6.03	-2568.60	-7208.01	2.806
26.55	1	SND	6	420.00	6.03	6.03	6.03	6.03	-2568.60	-7208.01	2.806

Stato limite d'esercizio - Verifiche tensionali

Xg <m>	CC	TCC	El	X <cm>	AfE S <cmq>	AfE I <cmq>	My <daNm>	σ _e sup <daN/cmq>	σ _e inf <daN/cmq>	σ _c <daN/cmq>
0.15	38	SLE R	1	15.00	6.03	6.03	-487.69	264.78	-56.92	7.86
0.15	28	SLE Q	1	15.00	6.03	6.03	-165.02	89.59	-19.26	2.66
2.98	31	SLE R	1	298.50	6.03	6.03	-501.14	272.08	-58.49	8.08
2.98	28	SLE Q	1	298.50	6.03	6.03	-499.45	271.17	-58.29	8.05
3.30	31	SLE R	1	330.00	6.03	6.03	-501.14	272.08	-58.49	8.08
3.30	28	SLE Q	1	330.00	6.03	6.03	-499.45	271.17	-58.29	8.05
3.90	38	SLE R	2	30.00	6.03	6.03	-1079.64	586.17	-126.01	17.41
3.90	28	SLE Q	2	30.00	6.03	6.03	-594.91	322.99	-69.44	9.59
7.80	31	SLE R	2	420.00	6.03	6.03	-616.75	334.85	-71.98	9.94
7.80	28	SLE Q	2	420.00	6.03	6.03	-614.52	333.64	-71.72	9.91
8.40	38	SLE R	3	30.00	6.03	6.03	-1073.64	582.91	-125.31	17.31
8.40	28	SLE Q	3	30.00	6.03	6.03	-584.50	317.34	-68.22	9.42
12.30	31	SLE R	3	420.00	6.03	6.03	-695.38	377.54	-81.16	11.21
12.30	28	SLE Q	3	420.00	6.03	6.03	-693.82	376.69	-80.98	11.19
12.90	38	SLE R	4	30.00	6.03	6.03	-1399.67	759.91	-163.36	22.56
12.90	28	SLE Q	4	30.00	6.03	6.03	-1006.72	546.58	-117.50	16.23
13.22	38	SLE R	4	61.56	6.03	6.03	-1399.67	759.91	-163.36	22.56
13.22	28	SLE Q	4	61.56	6.03	6.03	-1006.72	546.58	-117.50	16.23
17.95	31	SLE R	4	535.00	6.03	6.03	-986.98	535.86	-115.20	15.91
17.95	28	SLE Q	4	535.00	6.03	6.03	-984.60	534.57	-114.92	15.87
18.55	38	SLE R	5	30.00	6.03	6.03	-1117.02	606.46	-130.37	18.01
18.55	28	SLE Q	5	30.00	6.03	6.03	-573.93	311.60	-66.99	9.25
21.73	31	SLE R	5	348.18	6.03	6.03	-515.23	279.73	-60.14	8.31
21.73	28	SLE Q	5	348.18	6.03	6.03	-510.63	277.24	-59.60	8.23
22.05	31	SLE R	5	380.00	6.03	6.03	-515.23	279.73	-60.14	8.31
22.05	28	SLE Q	5	380.00	6.03	6.03	-510.63	277.24	-59.60	8.23
22.65	38	SLE R	6	30.00	6.03	6.03	-1073.35	582.75	-125.28	17.30
22.65	28	SLE Q	6	30.00	6.03	6.03	-692.11	375.76	-80.78	11.16
26.17	38	SLE R	6	381.51	6.03	6.03	412.57	-48.15	223.99	6.65
26.17	28	SLE Q	6	381.51	6.03	6.03	-310.81	168.75	-36.28	5.01
26.55	26	SLE R	6	420.00	6.03	6.03	-314.01	170.48	-36.65	5.06
26.55	28	SLE Q	6	420.00	6.03	6.03	-310.81	168.75	-36.28	5.01

Stato limite d'esercizio - Verifiche a fessurazione

Caso	Xg <m>	CC	TCC	El	Sez.	Crit.	X <cm>	My <daNm>	c <mm>	s <mm>	K3	s _{zm} <mm>	Φ	A _s <cmq>	A _c eff <cmq>	σ _s <daN/cmq>	σ _{sr} <daN/cmq>	ε _{sm}	Wk <mm>
34	0.15	28	SLE Q	1	2	1	15.00	-165.02	47.00	95.00	0.15	188.24	16.00	6.03	486.13	89.59	1898.01	0.02	0.01
46	0.15	40	SLE F	1	2	1	15.00	-229.56	47.00	95.00	0.15	188.24	16.00	6.03	486.13	124.63	1898.01	0.02	0.01
85	2.98	28	SLE Q	1	2	1	298.50	-499.45	47.00	95.00	0.15	188.24	16.00	6.03	486.13	271.17	1898.01	0.05	0.02
93	2.98	33	SLE F	1	2	1	298.50	-499.79	47.00	95.00	0.15	188.24	16.00	6.03	486.13	271.35	1898.01	0.05	0.02
131	3.30	28	SLE Q	1	2	1	330.00	-499.45	47.00	95.00	0.15	188.24	16.00	6.03	486.13	271.17	1898.01	0.05	0.02
135	3.30	33	SLE F	1	2	1	330.00	-499.79	47.00	95.00	0.15	188.24	16.00	6.03	486.13	271.35	1898.01	0.05	0.02
165	3.90	28	SLE Q	2	2	1	30.00	-594.91	47.00	95.00	0.15	188.24	16.00	6.03	486.13	322.99	1898.01	0.06	0.02
171	3.90	40	SLE F	2	2	1	30.00	-691.86	47.00	95.00	0.15	188.24	16.00	6.03	486.13	375.63	1898.01	0.07	0.02
201	7.80	28	SLE Q	2	2	1	420.00	-614.52	47.00	95.00	0.15	188.24	16.00	6.03	486.13	333.64	1898.01	0.06	0.02
205	7.80	33	SLE F	2	2	1	420.00	-614.97	47.00	95.00	0.15	188.24	16.00	6.03	486.13	333.88	1898.01	0.06	0.02
235	8.40	28	SLE Q	3	2	1	30.00	-584.50	47.00	95.00	0.15	188.24	16.00	6.03	486.13	317.34	1898.01	0.06	0.02
241	8.40	40	SLE F	3	2	1	30.00	-682.32	47.00	95.00	0.15	188.24	16.00	6.03	486.13	370.45	1898.01	0.07	0.02
272	12.30	28	SLE Q	3	2	1	420.00	-693.82	47.00	95.00	0.15	188.24	16.00	6.03	486.13	376.69	1898.01	0.07	0.02
276	12.30	33	SLE F	3	2	1	420.00	-694.13	47.00	95.00	0.15	188.24	16.00	6.03	486.13	376.86	1898.01	0.07	0.02
308	12.90	28	SLE Q	4	2	1	30.00	-1006.72	47.00	95.00	0.15	188.24	16.00	6.03	486.13	546.58	1898.01	0.11	0.03
314	12.90	40	SLE F	4	2	1	30.00	-1085.31	47.00	95.00	0.15	188.24	16.00	6.03	486.13	589.25	1898.01	0.11	0.04

Relazione di calcolo

346	13.22	28	SLE Q	4	2	1	61.56	-1006.72	47.00	95.00	0.15	188.24	16.00	6.03	486.13	546.58	1898.01	0.11	0.03
352	13.22	40	SLE F	4	2	1	61.56	-1085.31	47.00	95.00	0.15	188.24	16.00	6.03	486.13	589.25	1898.01	0.11	0.04
382	17.95	28	SLE Q	4	2	1	535.00	-984.60	47.00	95.00	0.15	188.24	16.00	6.03	486.13	534.57	1898.01	0.10	0.03
386	17.95	33	SLE F	4	2	1	535.00	-985.08	47.00	95.00	0.15	188.24	16.00	6.03	486.13	534.82	1898.01	0.10	0.03
416	18.55	28	SLE Q	5	2	1	30.00	-573.93	47.00	95.00	0.15	188.24	16.00	6.03	486.13	311.60	1898.01	0.06	0.02
422	18.55	40	SLE F	5	2	1	30.00	-682.55	47.00	95.00	0.15	188.24	16.00	6.03	486.13	370.57	1898.01	0.07	0.02
452	21.73	28	SLE Q	5	2	1	348.18	-510.63	47.00	95.00	0.15	188.24	16.00	6.03	486.13	277.24	1898.01	0.05	0.02
456	21.73	33	SLE F	5	2	1	348.18	-511.55	47.00	95.00	0.15	188.24	16.00	6.03	486.13	277.74	1898.01	0.05	0.02
489	22.05	28	SLE Q	5	2	1	380.00	-510.63	47.00	95.00	0.15	188.24	16.00	6.03	486.13	277.24	1898.01	0.05	0.02
493	22.05	33	SLE F	5	2	1	380.00	-511.55	47.00	95.00	0.15	188.24	16.00	6.03	486.13	277.74	1898.01	0.05	0.02
525	22.65	28	SLE Q	6	2	1	30.00	-692.11	47.00	95.00	0.15	188.24	16.00	6.03	486.13	375.76	1898.01	0.07	0.02
531	22.65	40	SLE F	6	2	1	30.00	-768.36	47.00	95.00	0.15	188.24	16.00	6.03	486.13	417.16	1898.01	0.08	0.03
568	26.17	28	SLE Q	6	2	1	381.51	-310.81	47.00	95.00	0.15	188.24	16.00	6.03	486.13	168.75	1898.01	0.03	0.01
574	26.17	27	SLE F	6	2	1	381.51	-311.45	47.00	95.00	0.15	188.24	16.00	6.03	486.13	169.09	1898.01	0.03	0.01
613	26.55	28	SLE Q	6	2	1	420.00	-310.81	47.00	95.00	0.15	188.24	16.00	6.03	486.13	168.75	1898.01	0.03	0.01
616	26.55	27	SLE F	6	2	1	420.00	-311.45	47.00	95.00	0.15	188.24	16.00	6.03	486.13	169.09	1898.01	0.03	0.01

Staffe - Verifiche armatura

CC	X0 <m>	X1 <m>	Lung. <m>	Staff.	AfE St. <cmq/m>	bw <m>	Vsdu <daN>	ctgθ	VRsd <daN>	VRcd <daN>	Vrdu <daN>	Sic. T
13 SND	0.15	0.55	0.40	ø8/ 5 2 br.	20.11	0.30	2383.08	1.52	37191.80	37191.80	37191.80	15.61
1 SND	0.55	2.90	2.35	ø8/20 2 br.	5.03	0.30	2395.42	2.50	15268.10	27948.80	15268.10	6.37
1 SND	2.90	3.30	0.40	ø8/ 5 2 br.	20.11	0.30	2595.42	1.52	37191.80	37191.80	37191.80	14.33
13 SND	3.90	4.30	0.40	ø8/ 5 2 br.	20.11	0.30	2445.73	1.52	37191.80	37191.80	37191.80	15.21
1 SND	4.30	7.40	3.10	ø8/20 2 br.	5.03	0.30	2255.79	2.50	15268.10	27948.80	15268.10	6.77
1 SND	7.40	7.80	0.40	ø8/ 5 2 br.	20.11	0.30	2455.79	1.52	37191.80	37191.80	37191.80	15.14
13 SND	8.40	8.80	0.40	ø8/ 5 2 br.	20.11	0.30	2475.38	1.52	37191.80	37191.80	37191.80	15.02
1 SND	8.80	11.90	3.10	ø8/20 2 br.	5.03	0.30	2331.44	2.50	15268.10	27948.80	15268.10	6.55
1 SND	11.90	12.30	0.40	ø8/ 5 2 br.	20.11	0.30	2531.44	1.52	37191.80	37191.80	37191.80	14.69
13 SND	12.90	13.30	0.40	ø8/ 5 2 br.	20.11	0.30	2200.92	1.52	37191.80	37191.80	37191.80	16.90
13 SND	13.30	17.55	4.25	ø8/20 2 br.	5.03	0.30	2000.91	2.50	15268.10	27948.80	15268.10	7.63
1 SND	17.55	17.95	0.40	ø8/ 5 2 br.	20.11	0.30	2192.15	1.52	37191.80	37191.80	37191.80	16.97
13 SND	18.55	18.95	0.40	ø8/ 5 2 br.	20.11	0.30	2748.52	1.52	37191.80	37191.80	37191.80	13.53
13 SND	18.95	21.65	2.70	ø8/20 2 br.	5.03	0.30	2548.52	2.50	15268.10	27948.80	15268.10	5.99
1 SND	21.65	22.05	0.40	ø8/ 5 2 br.	20.11	0.30	2712.35	1.52	37191.80	37191.80	37191.80	13.71
13 SND	22.65	23.05	0.40	ø8/ 5 2 br.	20.11	0.30	2300.26	1.52	37191.80	37191.80	37191.80	16.17
13 SND	23.05	26.15	3.10	ø8/20 2 br.	5.03	0.30	2100.26	2.50	15268.10	27948.80	15268.10	7.27
1 SND	26.15	26.55	0.40	ø8/ 5 2 br.	20.11	0.30	2104.72	1.52	37191.80	37191.80	37191.80	17.67

Travata n. 103

Nodi: 108 109 110 111 112 113 114

Caratteristiche delle sezioni e dei materiali utilizzati

Sez.	Tipo	B <cm>	H <cm>	Cf sup <cm>	Cf inf <cm>	Cls	Fck <daN/cmq>	Fctk <daN/cmq>	Fcd <daN/cmq>	Fctd <daN/cmq>	Tp	Fyk <daN/cmq>	Fyd <daN/cmq>
2R		30.00	40.00	5.50	5.50	C30/37	307.10	20.59	174.02	13.73	B450C	4500.00	3913.04

Stato limite ultimo - Verifiche a flessione/pressoflessione

Xg <m>	CC	TCC	El	X <cm>	AfE S <cmq>	AfE I <cmq>	AfEP S <cmq>	AfEP I <cmq>	My <daNm>	MRdy <daNm>	Sic.
0.15	36	SLU	1	15.00	4.02	4.02	4.02	4.02	-711.45	-5271.40	7.409
2.98	25	SLU	1	298.50	4.02	4.02	4.02	4.02	-680.80	-5271.40	7.743
3.30	25	SLU	1	330.00	4.02	4.02	4.02	4.02	-680.80	-5271.40	7.743
3.90	36	SLU	2	30.00	4.02	4.02	4.02	4.02	-1548.21	-5271.40	3.405
7.80	25	SLU	2	420.00	4.02	4.02	4.02	4.02	-847.90	-5271.40	6.217
8.40	36	SLU	3	30.00	4.02	4.02	4.02	4.02	-1540.38	-5271.40	3.422
12.30	25	SLU	3	420.00	4.02	4.02	4.02	4.02	-955.67	-5271.40	5.516
12.90	36	SLU	4	30.00	4.02	4.02	4.02	4.02	-1978.68	-5271.40	2.664
13.22	36	SLU	4	61.56	4.02	4.02	4.02	4.02	-1978.68	-5271.40	2.664
17.95	25	SLU	4	535.00	4.02	4.02	4.02	4.02	-1359.24	-5271.40	3.878
18.55	36	SLU	5	30.00	4.02	4.02	4.02	4.02	-1606.55	-5271.40	3.281
21.73	25	SLU	5	348.18	4.02	4.02	4.02	4.02	-706.44	-5271.40	7.462
22.05	25	SLU	5	380.00	4.02	4.02	4.02	4.02	-706.44	-5271.40	7.462
22.65	36	SLU	6	30.00	4.02	4.02	4.02	4.02	-1527.31	-5271.40	3.451
26.17	36	SLU	6	381.51	4.02	4.02	4.02	4.02	590.22	5271.40	8.931
26.55	29	SLU	6	420.00	4.02	4.02	4.02	4.02	-434.98	-5271.40	12.119

Stato limite elastico - Verifiche a flessione/pressoflessione

Xg <m>	CC	TCC	El	X <cm>	AfE S <cmq>	AfE I <cmq>	AfEP S <cmq>	AfEP I <cmq>	My <daNm>	M'ydy <daNm>	Sic.
0.15	1	SND	1	15.00	4.02	4.02	4.02	4.02	-2612.62	-4895.83	1.874
2.98	13	SND	1	298.50	4.02	4.02	4.02	4.02	-3412.37	-4895.83	1.435
3.30	13	SND	1	330.00	4.02	4.02	4.02	4.02	-3412.37	-4895.83	1.435
3.90	1	SND	2	30.00	4.02	4.02	4.02	4.02	-3471.67	-4895.83	1.410
7.80	13	SND	2	420.00	4.02	4.02	4.02	4.02	-3493.22	-4895.83	1.402
8.40	1	SND	3	30.00	4.02	4.02	4.02	4.02	-3530.07	-4895.83	1.387
12.30	13	SND	3	420.00	4.02	4.02	4.02	4.02	-3709.05	-4895.83	1.320
12.90	1	SND	4	30.00	4.02	4.02	4.02	4.02	-3379.49	-4895.83	1.449
13.22	1	SND	4	61.56	4.02	4.02	4.02	4.02	-3379.49	-4895.83	1.449

Relazione di calcolo

17.95	13	SND	4	535.00	4.02	4.02	4.02	4.02	-3328.71	-4895.83	1.471
18.55	1	SND	5	30.00	4.02	4.02	4.02	4.02	-3836.55	-4895.83	1.276
21.73	13	SND	5	348.18	4.02	4.02	4.02	4.02	-3742.03	-4895.83	1.308
22.05	13	SND	5	380.00	4.02	4.02	4.02	4.02	-3742.03	-4895.83	1.308
22.65	1	SND	6	30.00	4.02	4.02	4.02	4.02	-3221.54	-4895.83	1.520
26.17	13	SND	6	381.51	4.02	4.02	4.02	4.02	-2568.60	-4895.83	1.906
26.55	13	SND	6	420.00	4.02	4.02	4.02	4.02	-2568.60	-4895.83	1.906

Stato limite d'esercizio - Verifiche tensionali

Xg <m>	CC	TCC	El	X <cm>	AfE S <cmq>	AfE I <cmq>	My <daNm>	σ _e sup <daN/cmq>	σ _e inf <daN/cmq>	σ _c <daN/cmq>
0.15	38	SLE R	1	15.00	4.02	4.02	-487.69	390.66	-58.62	9.59
0.15	28	SLE Q	1	15.00	4.02	4.02	-165.02	132.19	-19.83	3.24
2.98	26	SLE R	1	298.50	4.02	4.02	-493.56	395.36	-59.32	9.70
2.98	28	SLE Q	1	298.50	4.02	4.02	-499.45	400.08	-60.03	9.82
3.30	26	SLE R	1	330.00	4.02	4.02	-493.56	395.36	-59.32	9.70
3.30	28	SLE Q	1	330.00	4.02	4.02	-499.45	400.08	-60.03	9.82
3.90	38	SLE R	2	30.00	4.02	4.02	-1079.64	864.84	-129.77	21.23
3.90	28	SLE Q	2	30.00	4.02	4.02	-594.91	476.55	-71.50	11.70
7.80	26	SLE R	2	420.00	4.02	4.02	-614.48	492.23	-73.86	12.08
7.80	28	SLE Q	2	420.00	4.02	4.02	-614.52	492.25	-73.86	12.08
8.40	38	SLE R	3	30.00	4.02	4.02	-1073.64	860.03	-129.04	21.11
8.40	28	SLE Q	3	30.00	4.02	4.02	-584.50	468.20	-70.25	11.49
12.30	26	SLE R	3	420.00	4.02	4.02	-692.67	554.86	-83.25	13.62
12.30	28	SLE Q	3	420.00	4.02	4.02	-693.82	555.78	-83.39	13.64
12.90	38	SLE R	4	30.00	4.02	4.02	-1399.67	1121.19	-168.23	27.52
12.90	28	SLE Q	4	30.00	4.02	4.02	-1006.72	806.43	-121.00	19.79
13.22	38	SLE R	4	61.56	4.02	4.02	-1399.67	1121.19	-168.23	27.52
13.22	28	SLE Q	4	61.56	4.02	4.02	-1006.72	806.43	-121.00	19.79
17.95	26	SLE R	4	535.00	4.02	4.02	-984.93	788.97	-118.38	19.36
17.95	28	SLE Q	4	535.00	4.02	4.02	-984.60	788.71	-118.34	19.36
18.55	38	SLE R	5	30.00	4.02	4.02	-1117.02	894.78	-134.26	21.96
18.55	28	SLE Q	5	30.00	4.02	4.02	-573.93	459.74	-68.98	11.28
21.73	26	SLE R	5	348.18	4.02	4.02	-511.71	409.90	-61.50	10.06
21.73	28	SLE Q	5	348.18	4.02	4.02	-510.63	409.04	-61.38	10.04
22.05	26	SLE R	5	380.00	4.02	4.02	-511.71	409.90	-61.50	10.06
22.05	28	SLE Q	5	380.00	4.02	4.02	-510.63	409.04	-61.38	10.04
22.65	38	SLE R	6	30.00	4.02	4.02	-1073.35	859.80	-129.01	21.10
22.65	28	SLE Q	6	30.00	4.02	4.02	-692.11	554.41	-83.19	13.61
26.17	38	SLE R	6	381.51	4.02	4.02	412.57	-49.59	330.49	8.11
26.17	28	SLE Q	6	381.51	4.02	4.02	-310.81	248.97	-37.36	6.11
26.55	31	SLE R	6	420.00	4.02	4.02	-315.01	252.34	-37.86	6.19
26.55	28	SLE Q	6	420.00	4.02	4.02	-310.81	248.97	-37.36	6.11

Stato limite d'esercizio - Verifiche a fessurazione

Caso	Xg <m>	CC	TCC	El	Sez.	Crit.	X <cm>	My <daNm>	c <mm>	s <mm>	K3	s _{cm} <mm>	Φ	A _s <cmq>	A _{c eff} <cmq>	σ _s <daN/cmq>	σ _{sr} <daN/cmq>	ε _{sm}	Wk <mm>
34	0.15	28	SLE Q	1	2	1	15.00	-165.02	47.00	190.00	0.15	239.47	16.00	4.02	462.92	132.19	2621.04	0.03	0.01
46	0.15	40	SLE F	1	2	1	15.00	-229.56	47.00	190.00	0.15	239.47	16.00	4.02	462.92	183.88	2621.04	0.04	0.01
85	2.98	28	SLE Q	1	2	1	298.50	-499.45	47.00	190.00	0.15	239.47	16.00	4.02	462.92	400.08	2621.04	0.08	0.03
91	2.98	27	SLE F	1	2	1	298.50	-498.27	47.00	190.00	0.15	239.47	16.00	4.02	462.92	399.14	2621.04	0.08	0.03
131	3.30	28	SLE Q	1	2	1	330.00	-499.45	47.00	190.00	0.15	239.47	16.00	4.02	462.92	400.08	2621.04	0.08	0.03
134	3.30	27	SLE F	1	2	1	330.00	-498.27	47.00	190.00	0.15	239.47	16.00	4.02	462.92	399.14	2621.04	0.08	0.03
165	3.90	28	SLE Q	2	2	1	30.00	-594.91	47.00	190.00	0.15	239.47	16.00	4.02	462.92	476.55	2621.04	0.09	0.04
171	3.90	40	SLE F	2	2	1	30.00	-691.86	47.00	190.00	0.15	239.47	16.00	4.02	462.92	554.20	2621.04	0.11	0.04
201	7.80	28	SLE Q	2	2	1	420.00	-614.52	47.00	190.00	0.15	239.47	16.00	4.02	462.92	492.25	2621.04	0.10	0.04
204	7.80	27	SLE F	2	2	1	420.00	-614.51	47.00	190.00	0.15	239.47	16.00	4.02	462.92	492.25	2621.04	0.10	0.04
235	8.40	28	SLE Q	3	2	1	30.00	-584.50	47.00	190.00	0.15	239.47	16.00	4.02	462.92	468.20	2621.04	0.09	0.04
241	8.40	40	SLE F	3	2	1	30.00	-682.32	47.00	190.00	0.15	239.47	16.00	4.02	462.92	546.57	2621.04	0.11	0.04
272	12.30	28	SLE Q	3	2	1	420.00	-693.82	47.00	190.00	0.15	239.47	16.00	4.02	462.92	555.78	2621.04	0.11	0.04
275	12.30	27	SLE F	3	2	1	420.00	-693.59	47.00	190.00	0.15	239.47	16.00	4.02	462.92	555.60	2621.04	0.11	0.04
308	12.90	28	SLE Q	4	2	1	30.00	-1006.72	47.00	190.00	0.15	239.47	16.00	4.02	462.92	806.43	2621.04	0.16	0.06
314	12.90	40	SLE F	4	2	1	30.00	-1085.31	47.00	190.00	0.15	239.47	16.00	4.02	462.92	869.38	2621.04	0.17	0.07
346	13.22	28	SLE Q	4	2	1	61.56	-1006.72	47.00	190.00	0.15	239.47	16.00	4.02	462.92	806.43	2621.04	0.16	0.06
352	13.22	40	SLE F	4	2	1	61.56	-1085.31	47.00	190.00	0.15	239.47	16.00	4.02	462.92	869.38	2621.04	0.17	0.07
382	17.95	28	SLE Q	4	2	1	535.00	-984.60	47.00	190.00	0.15	239.47	16.00	4.02	462.92	788.71	2621.04	0.15	0.06
385	17.95	27	SLE F	4	2	1	535.00	-984.67	47.00	190.00	0.15	239.47	16.00	4.02	462.92	788.76	2621.04	0.15	0.06
416	18.55	28	SLE Q	5	2	1	30.00	-573.93	47.00	190.00	0.15	239.47	16.00	4.02	462.92	459.74	2621.04	0.09	0.04
422	18.55	40	SLE F	5	2	1	30.00	-682.55	47.00	190.00	0.15	239.47	16.00	4.02	462.92	546.75	2621.04	0.11	0.04
452	21.73	28	SLE Q	5	2	1	348.18	-510.63	47.00	190.00	0.15	239.47	16.00	4.02	462.92	409.04	2621.04	0.08	0.03
455	21.73	27	SLE F	5	2	1	348.18	-510.85	47.00	190.00	0.15	239.47	16.00	4.02	462.92	409.21	2621.04	0.08	0.03
489	22.05	28	SLE Q	5	2	1	380.00	-510.63	47.00	190.00	0.15	239.47	16.00	4.02	462.92	409.04	2621.04	0.08	0.03
492	22.05	27	SLE F	5	2	1	380.00	-510.85	47.00	190.00	0.15	239.47	16.00	4.02	462.92	409.21	2621.04	0.08	0.03
525	22.65	28	SLE Q	6	2	1	30.00	-692.11	47.00	190.00	0.15	239.47	16.00	4.02	462.92	554.41	2621.04	0.11	0.04
531	22.65	40	SLE F	6	2	1	30.00	-768.36	47.00	190.00	0.15	239.47	16.00	4.02	462.92	615.49	2621.04	0.12	0.05
568	26.17	28	SLE Q	6	2	1	381.51	-310.81	47.00	190.00	0.15	239.47	16.00	4.02	462.92	248.97	2621.04	0.05	0.02
576	26.17	33	SLE F	6	2	1	381.51	-311.65	47.00	190.00	0.15	239.47	16.00	4.02	462.92	249.65	2621.04	0.05	0.02
613	26.55	28	SLE Q	6	2	1	420.00	-310.81	47.00	190.00	0.15	239.47	16.00	4.02	462.92	248.97	2621.04	0.05	0.02
617	26.55	33	SLE F	6	2	1	420.00	-311.65	47.00	190.00	0.15	239.47	16.00	4.02	462.92	249.65	2621.04	0.05	0.02

Staffe - Verifiche armatura

CC	X0 <m>	X1 <m>	Lung.	Staff.	AfE St.	bw <m>	Vsdu <daN>	ctgθ	VRsd <daN>	VRcd <daN>	Vrdu <daN>	Sic. T
----	-----------	-----------	-------	--------	---------	-----------	---------------	------	---------------	---------------	---------------	--------

Relazione di calcolo

			<m>		<cmq/m>								
1 SND	0.15	0.55	0.40	ø8/ 5 2 br.	20.11	0.30	2383.08	1.52	37191.80	37191.80	37191.80	15.61	
13 SND	0.55	2.90	2.35	ø8/20 2 br.	5.03	0.30	2395.42	2.50	15268.10	27948.80	15268.10	6.37	
13 SND	2.90	3.30	0.40	ø8/ 5 2 br.	20.11	0.30	2595.42	1.52	37191.80	37191.80	37191.80	14.33	
1 SND	3.90	4.30	0.40	ø8/ 5 2 br.	20.11	0.30	2445.73	1.52	37191.80	37191.80	37191.80	15.21	
13 SND	4.30	7.40	3.10	ø8/20 2 br.	5.03	0.30	2255.79	2.50	15268.10	27948.80	15268.10	6.77	
13 SND	7.40	7.80	0.40	ø8/ 5 2 br.	20.11	0.30	2455.79	1.52	37191.80	37191.80	37191.80	15.14	
1 SND	8.40	8.80	0.40	ø8/ 5 2 br.	20.11	0.30	2475.38	1.52	37191.80	37191.80	37191.80	15.02	
13 SND	8.80	11.90	3.10	ø8/20 2 br.	5.03	0.30	2331.44	2.50	15268.10	27948.80	15268.10	6.55	
13 SND	11.90	12.30	0.40	ø8/ 5 2 br.	20.11	0.30	2531.44	1.52	37191.80	37191.80	37191.80	14.69	
1 SND	12.90	13.30	0.40	ø8/ 5 2 br.	20.11	0.30	2200.92	1.52	37191.80	37191.80	37191.80	16.90	
1 SND	13.30	17.55	4.25	ø8/20 2 br.	5.03	0.30	2000.91	2.50	15268.10	27948.80	15268.10	7.63	
13 SND	17.55	17.95	0.40	ø8/ 5 2 br.	20.11	0.30	2192.15	1.52	37191.80	37191.80	37191.80	16.97	
1 SND	18.55	18.95	0.40	ø8/ 5 2 br.	20.11	0.30	2748.52	1.52	37191.80	37191.80	37191.80	13.53	
1 SND	18.95	21.65	2.70	ø8/20 2 br.	5.03	0.30	2548.52	2.50	15268.10	27948.80	15268.10	5.99	
13 SND	21.65	22.05	0.40	ø8/ 5 2 br.	20.11	0.30	2712.35	1.52	37191.80	37191.80	37191.80	13.71	
1 SND	22.65	23.05	0.40	ø8/ 5 2 br.	20.11	0.30	2300.26	1.52	37191.80	37191.80	37191.80	16.17	
1 SND	23.05	26.15	3.10	ø8/20 2 br.	5.03	0.30	2100.26	2.50	15268.10	27948.80	15268.10	7.27	
13 SND	26.15	26.55	0.40	ø8/ 5 2 br.	20.11	0.30	2104.72	1.52	37191.80	37191.80	37191.80	17.67	

Travata n. 104

Nodi: 101 108

Caratteristiche delle sezioni e dei materiali utilizzati

Sez.	Tipo	B <cm>	H <cm>	Cf sup <cm>	Cf inf <cm>	Cls	Fck <daN/cmq>	Fctk <daN/cmq>	Fcd <daN/cmq>	Fctd <daN/cmq>	Tp	Fyk <daN/cmq>	Fyd <daN/cmq>
1R		30.00	50.00	5.50	5.50	C30/37	307.10	20.59	174.02	13.73	B450C	4500.00	3913.04

Stato limite ultimo - Verifiche a flessione/pressoflessione

Xg <m>	CC	TCC	El	X <cm>	Afe S <cmq>	Afe I <cmq>	Afep S <cmq>	Afep I <cmq>	My <daNm>	MRdy <daNm>	Sic.
0.45	29	SLU	1	45.00	8.04	8.04	8.04	8.04	-5539.61	-13036.60	2.353
5.25	25	SLU	1	525.00	8.04	8.04	8.04	8.04	-3342.30	-13036.60	3.901

Stato limite elastico - Verifiche a flessione/pressoflessione

Xg <m>	CC	TCC	El	X <cm>	Afe S <cmq>	Afe I <cmq>	Afep S <cmq>	Afep I <cmq>	My <daNm>	M'ydy <daNm>	Sic.
0.45	7	SND	1	45.00	8.04	8.04	8.04	8.04	-10950.80	-12497.20	1.141
5.25	19	SND	1	525.00	8.04	8.04	8.04	8.04	-10950.80	-12497.20	1.141

Stato limite d'esercizio - Verifiche tensionali

Xg <m>	CC	TCC	El	X <cm>	Afe S <cmq>	Afe I <cmq>	My <daNm>	σ _f sup <daN/cmq>	σ _f inf <daN/cmq>	σ _c <daN/cmq>
0.45	31	SLE R	1	45.00	8.04	8.04	-3864.44	1209.61	-315.27	35.35
0.45	28	SLE Q	1	45.00	8.04	8.04	-2175.76	681.04	-177.50	19.91
5.25	26	SLE R	1	525.00	8.04	8.04	-2399.57	751.09	-195.76	21.95
5.25	28	SLE Q	1	525.00	8.04	8.04	-2175.76	681.04	-177.50	19.91

Stato limite d'esercizio - Verifiche a fessurazione

Caso	Xg <m>	CC	TCC	El	Sez.	Crit.	X <cm>	My <daNm>	c <mm>	s <mm>	K3	s _{sm} <mm>	φ	A _s <cmq>	A _c eff <cmq>	σ _s <daN/cmq>	σ _{sc} <daN/cmq>	ε _{sm}	Wk <mm>
29	0.45	28	SLE Q	1	1	1	45.00	-2175.76	47.00	63.33	0.17	171.65	16.00	8.04	489.88	681.04	1786.84	0.13	0.04
33	0.45	33	SLE F	1	1	1	45.00	-2513.49	47.00	63.33	0.17	171.65	16.00	8.04	489.88	786.75	1786.84	0.15	0.04
69	5.25	28	SLE Q	1	1	1	525.00	-2175.76	47.00	63.33	0.17	171.65	16.00	8.04	489.88	681.04	1786.84	0.13	0.04
72	5.25	27	SLE F	1	1	1	525.00	-2220.52	47.00	63.33	0.17	171.65	16.00	8.04	489.88	695.05	1786.84	0.13	0.04

Staffe - Verifiche armatura

CC	X0 <m>	X1 <m>	Lung. <cm>	Staff.	Afe St. <cmq/m>	bw <cm>	Vsdu <daN>	ctgθ	VRsd <daN>	VRcd <daN>	Vrdu <daN>	Sic. T
7 SND	0.45	0.95	0.50	ø8/10 2 br.	10.05	0.30	7585.09	2.37	37401.50	37401.50	37401.50	4.93
19 SND	0.95	4.75	3.80	ø8/20 2 br.	5.03	0.30	6766.58	2.50	19693.70	36049.80	19693.70	2.91
19 SND	4.75	5.25	0.50	ø8/10 2 br.	10.05	0.30	7585.09	2.37	37401.50	37401.50	37401.50	4.93

Travata n. 105

Nodi: 102 109

Caratteristiche delle sezioni e dei materiali utilizzati

Sez.	Tipo	B <cm>	H <cm>	Cf sup <cm>	Cf inf <cm>	Cls	Fck <daN/cmq>	Fctk <daN/cmq>	Fcd <daN/cmq>	Fctd <daN/cmq>	Tp	Fyk <daN/cmq>	Fyd <daN/cmq>
1R		30.00	50.00	5.50	5.50	C30/37	307.10	20.59	174.02	13.73	B450C	4500.00	3913.04

Stato limite ultimo - Verifiche a flessione/pressoflessione

Xg <m>	CC	TCC	El	X <cm>	Afe S <cmq>	Afe I <cmq>	Afep S <cmq>	Afep I <cmq>	My <daNm>	MRdy <daNm>	Sic.
-----------	----	-----	----	-----------	----------------	----------------	-----------------	-----------------	--------------	----------------	------

Relazione di calcolo

					<cmq>	<cmq>	<cmq>	<cmq>			
0.15	29	SLU	1	15.00	6.03	8.04	6.03	8.04	-6521.51	-9952.07	1.526
2.51	29	SLU	1	251.32	6.03	8.04	6.03	8.04	11045.90	13039.40	1.180
5.55	25	SLU	1	555.00	6.03	8.04	6.03	8.04	-5934.47	-9952.07	1.677

Stato limite elastico - Verifiche a flessione/pressoflessione

Xg <m>	CC	TCC	El	X <cm>	Afe S <cmq>	Afe I <cmq>	Afep S <cmq>	Afep I <cmq>	My <daNm>	M'ydy <daNm>	Sic.
0.15	7	SND	1	15.00	6.03	8.04	6.03	8.04	-8052.21	-9477.42	1.177
2.51	19	SND	1	251.32	6.03	8.04	6.03	8.04	7473.41	12475.70	1.669
5.55	19	SND	1	555.00	6.03	8.04	6.03	8.04	-8052.20	-9477.42	1.177

Stato limite d'esercizio - Verifiche tensionali

Xg <m>	CC	TCC	El	X <cm>	Afe S <cmq>	Afe I <cmq>	My <daNm>	σ_f sup <daN/cmq>	σ_f inf <daN/cmq>	σ_c <daN/cmq>
0.15	31	SLE R	1	15.00	6.03	8.04	-4657.01	1925.26	-384.60	47.36
0.15	28	SLE Q	1	15.00	6.03	8.04	-3743.24	1547.50	-309.14	38.06
2.51	31	SLE R	1	251.32	6.03	8.04	7938.37	-688.48	2487.99	75.76
2.51	28	SLE Q	1	251.32	6.03	8.04	6966.70	-604.21	2183.46	66.49
5.55	26	SLE R	1	555.00	6.03	8.04	-4265.65	1763.47	-352.28	43.38
5.55	28	SLE Q	1	555.00	6.03	8.04	-3743.23	1547.50	-309.14	38.06

Stato limite d'esercizio - Verifiche a fessurazione

Caso	Xg <m>	CC	TCC	El	Sez.	Crit.	X <cm>	My <daNm>	c <mm>	s <mm>	K3	s_{sm} <mm>	ϕ	A_s <cmq>	$A_{c\ eff}$ <cmq>	σ_s <daN/cmq>	σ_{st} <daN/cmq>	ϵ_{sm}	Wk <mm>
33	0.15	28	SLE Q	1	1	1	15.00	-3743.24	47.00	95.00	0.17	199.56	16.00	6.03	486.13	1547.50	2260.77	0.30	0.10
37	0.15	33	SLE F	1	1	1	15.00	-3925.99	47.00	95.00	0.17	199.56	16.00	6.03	486.13	1623.05	2260.77	0.32	0.11
67	2.51	28	SLE Q	1	1	1	251.32	6966.70	47.00	63.33	0.17	171.19	16.00	8.04	489.88	2183.46	1761.71	0.71	0.21
71	2.51	33	SLE F	1	1	1	251.32	7160.46	47.00	63.33	0.17	171.19	16.00	8.04	489.88	2244.18	1761.71	0.75	0.22
107	5.55	28	SLE Q	1	1	1	555.00	-3743.23	47.00	95.00	0.17	199.56	16.00	6.03	486.13	1547.50	2260.77	0.30	0.10
110	5.55	27	SLE F	1	1	1	555.00	-3847.72	47.00	95.00	0.17	199.56	16.00	6.03	486.13	1590.69	2260.77	0.31	0.10

Staffe - Verifiche armatura

CC	X0 <m>	X1 <m>	Lung. <m>	Staff.	Afe St. <cmq/m>	bw <m>	Vsdu <daN>	ctg θ	VRsd <daN>	VRcd <daN>	Vrdu <daN>	Sic. T	
29	SLU	0.15	0.65	0.50	$\emptyset 8/10$ 2 br.	10.05	0.30	12047.70	2.37	37401.50	37401.50	37401.50	3.10
29	SLU	0.65	5.05	4.40	$\emptyset 8/20$ 2 br.	5.03	0.30	9856.86	2.50	19693.70	36049.80	19693.70	2.00
25	SLU	5.05	5.55	0.50	$\emptyset 8/10$ 2 br.	10.05	0.30	11830.20	2.37	37401.50	37401.50	37401.50	3.16

Travata n. 106

Nodi: 103 110

Caratteristiche delle sezioni e dei materiali utilizzati

Sez.	Tipo	B <cm>	H <cm>	Cf sup <cm>	Cf inf <cm>	Cls	Fck <daN/cmq>	Fctk <daN/cmq>	Fcd <daN/cmq>	Fctd <daN/cmq>	Tp	Fyk <daN/cmq>	Fyd <daN/cmq>
1R		30.00	50.00	5.50	5.50	C30/37	307.10	20.59	174.02	13.73	B450C	4500.00	3913.04

Stato limite ultimo - Verifiche a flessione/pressoflessione

Xg <m>	CC	TCC	El	X <cm>	Afe S <cmq>	Afe I <cmq>	Afep S <cmq>	Afep I <cmq>	My <daNm>	MRdy <daNm>	Sic.
0.15	29	SLU	1	15.00	6.03	8.04	6.03	8.04	-6771.49	-9952.07	1.470
2.57	29	SLU	1	256.64	6.03	10.05	6.03	10.05	12433.00	16106.10	1.295
5.55	25	SLU	1	555.00	6.03	8.04	6.03	8.04	-6249.09	-9952.07	1.593

Stato limite elastico - Verifiche a flessione/pressoflessione

Xg <m>	CC	TCC	El	X <cm>	Afe S <cmq>	Afe I <cmq>	Afep S <cmq>	Afep I <cmq>	My <daNm>	M'ydy <daNm>	Sic.
0.15	7	SND	1	15.00	6.03	8.04	6.03	8.04	-7954.21	-9477.42	1.192
2.57	19	SND	1	256.64	6.03	10.05	6.03	10.05	8224.97	15423.00	1.875
5.55	19	SND	1	555.00	6.03	8.04	6.03	8.04	-7954.20	-9477.42	1.192

Stato limite d'esercizio - Verifiche tensionali

Xg <m>	CC	TCC	El	X <cm>	Afe S <cmq>	Afe I <cmq>	My <daNm>	σ_f sup <daN/cmq>	σ_f inf <daN/cmq>	σ_c <daN/cmq>
0.15	31	SLE R	1	15.00	6.03	8.04	-4836.30	1999.38	-399.41	49.18
0.15	28	SLE Q	1	15.00	6.03	8.04	-3933.11	1625.99	-324.82	40.00
2.57	31	SLE R	1	256.64	6.03	10.05	8928.65	-758.90	2258.92	78.97
2.57	28	SLE Q	1	256.64	6.03	10.05	7822.37	-664.87	1979.04	69.18
5.55	26	SLE R	1	555.00	6.03	8.04	-4488.03	1855.40	-370.65	45.64
5.55	28	SLE Q	1	555.00	6.03	8.04	-3933.10	1625.99	-324.82	40.00

Stato limite d'esercizio - Verifiche a fessurazione

Relazione di calcolo

Caso	Xg	CC	TCC	El	Sez.	Crit.	X	My	c	s	K3	s _m	Φ	A _s	A _{s eff}	σ _s	σ _{sz}	ε _{sm}	Wk
<mm>	<mm>						<cm>	<daNm>	<mm>	<mm>		<mm>		<cmq>	<cmq>	<daN/cmq>	<daN/cmq>		<mm>
33	0.15	28	SLE Q	1	1	1	15.00	-3933.11	47.00	95.00	0.17	199.56	16.00	6.03	486.13	1625.99	2260.77	0.32	0.11
37	0.15	33	SLE F	1	1	1	15.00	-4113.75	47.00	95.00	0.17	199.56	16.00	6.03	486.13	1700.67	2260.77	0.33	0.11
67	2.57	28	SLE Q	1	1	1	256.64	7822.37	47.00	47.50	0.16	154.90	16.00	10.05	491.13	1979.04	1481.44	0.69	0.18
71	2.57	33	SLE F	1	1	1	256.64	8043.21	47.00	47.50	0.16	154.90	16.00	10.05	491.13	2034.91	1481.44	0.73	0.19
109	5.55	28	SLE Q	1	1	1	555.00	-3933.10	47.00	95.00	0.17	199.56	16.00	6.03	486.13	1625.99	2260.77	0.32	0.11
112	5.55	27	SLE F	1	1	1	555.00	-4044.09	47.00	95.00	0.17	199.56	16.00	6.03	486.13	1671.87	2260.77	0.32	0.11

Staffe - Verifiche armatura

CC	X0	X1	Lung.	Staff.	AfE St.	bw	Vsdu	ctgθ	VRsd	VRcd	Vrdu	Sic.T
<mm>	<mm>	<mm>	<mm>		<cmq/m>	<mm>	<daN>		<daN>	<daN>	<daN>	
29 SLU	0.15	0.65	0.50	ø8/10 2 br.	10.05	0.30	13192.00	2.37	37401.50	37401.50	37401.50	2.84
29 SLU	0.65	5.05	4.40	ø8/20 2 br.	5.03	0.30	10784.80	2.50	19693.70	36049.80	19693.70	1.83
25 SLU	5.05	5.55	0.50	ø8/10 2 br.	10.05	0.30	12998.50	2.37	37401.50	37401.50	37401.50	2.88

Travata n. 107

Nodi: 104 111

Caratteristiche delle sezioni e dei materiali utilizzati

Sez.	Tipo	B	H	Cf sup	Cf inf	Cls	Fck	Fctk	Fcd	Fctd	Tp	Fyk	Fyd
		<cm>	<cm>	<cm>	<cm>		<daN/cmq>	<daN/cmq>	<daN/cmq>	<daN/cmq>		<daN/cmq>	<daN/cmq>
1R		30.00	50.00	5.50	5.50	C30/37	307.10	20.59	174.02	13.73	B450C	4500.00	3913.04

Stato limite ultimo - Verifiche a flessione/pressoflessione

Xg	CC	TCC	El	X	AfE S	AfE I	AfEP S	AfEP I	My	MRdy	Sic.
<mm>				<cm>	<cmq>	<cmq>	<cmq>	<cmq>	<daNm>	<daNm>	
0.15	29	SLU	1	15.00	6.03	10.05	6.03	10.05	-7523.15	-9951.92	1.323
2.42	29	SLU	1	241.82	6.03	10.05	6.03	10.05	13814.20	16106.10	1.166
5.55	25	SLU	1	555.00	6.03	10.05	6.03	10.05	-7008.15	-9951.92	1.420

Stato limite elastico - Verifiche a flessione/pressoflessione

Xg	CC	TCC	El	X	AfE S	AfE I	AfEP S	AfEP I	My	M'ydy	Sic.
<mm>				<cm>	<cmq>	<cmq>	<cmq>	<cmq>	<daNm>	<daNm>	
0.15	7	SND	1	15.00	6.03	10.05	6.03	10.05	-8269.17	-9480.84	1.147
2.42	19	SND	1	241.82	6.03	10.05	6.03	10.05	9005.81	15423.00	1.713
5.55	19	SND	1	555.00	6.03	10.05	6.03	10.05	-8269.15	-9480.84	1.147

Stato limite d'esercizio - Verifiche tensionali

Xg	CC	TCC	El	X	AfE S	AfE I	My	σ _f sup	σ _f inf	σ _c
<mm>				<cm>	<cmq>	<cmq>	<daNm>	<daN/cmq>	<daN/cmq>	<daN/cmq>
0.15	31	SLE R	1	15.00	6.03	10.05	-5372.03	2220.57	-416.94	52.59
0.15	28	SLE Q	1	15.00	6.03	10.05	-4398.70	1818.23	-341.40	43.06
2.42	31	SLE R	1	241.82	6.03	10.05	9912.81	-842.55	2507.91	87.67
2.42	28	SLE Q	1	241.82	6.03	10.05	8670.44	-736.96	2193.60	76.68
5.55	26	SLE R	1	555.00	6.03	10.05	-5028.70	2078.65	-390.29	49.23
5.55	28	SLE Q	1	555.00	6.03	10.05	-4398.69	1818.23	-341.40	43.06

Stato limite d'esercizio - Verifiche a fessurazione

Caso	Xg	CC	TCC	El	Sez.	Crit.	X	My	c	s	K3	s _m	Φ	A _s	A _{s eff}	σ _s	σ _{sz}	ε _{sm}	Wk
	<mm>						<cm>	<daNm>	<mm>	<mm>		<mm>		<cmq>	<cmq>	<daN/cmq>	<daN/cmq>		<mm>
35	0.15	28	SLE Q	1	1	1	15.00	-4398.70	47.00	95.00	0.17	200.11	16.00	6.03	486.13	1818.24	2293.08	0.35	0.12
39	0.15	33	SLE F	1	1	1	15.00	-4593.37	47.00	95.00	0.17	200.11	16.00	6.03	486.13	1898.70	2293.08	0.37	0.13
69	2.42	28	SLE Q	1	1	1	241.82	8670.44	47.00	47.50	0.16	154.90	16.00	10.05	491.13	2193.60	1481.44	0.82	0.22
73	2.42	33	SLE F	1	1	1	241.82	8918.55	47.00	47.50	0.16	154.90	16.00	10.05	491.13	2256.37	1481.44	0.86	0.23
111	5.55	28	SLE Q	1	1	1	555.00	-4398.69	47.00	95.00	0.17	200.11	16.00	6.03	486.13	1818.23	2293.08	0.35	0.12
114	5.55	27	SLE F	1	1	1	555.00	-4524.69	47.00	95.00	0.17	200.11	16.00	6.03	486.13	1870.31	2293.08	0.36	0.12

Staffe - Verifiche armatura

CC	X0	X1	Lung.	Staff.	AfE St.	bw	Vsdu	ctgθ	VRsd	VRcd	Vrdu	Sic.T
<mm>	<mm>	<mm>	<mm>		<cmq/m>	<mm>	<daN>		<daN>	<daN>	<daN>	
29 SLU	0.15	0.65	0.50	ø8/10 2 br.	10.05	0.30	14681.90	2.37	37401.50	37401.50	37401.50	2.55
29 SLU	0.65	5.05	4.40	ø8/20 2 br.	5.03	0.30	11998.40	2.50	19693.70	36049.80	19693.70	1.64
25 SLU	5.05	5.55	0.50	ø8/10 2 br.	10.05	0.30	14491.20	2.37	37401.50	37401.50	37401.50	2.58

Travata n. 108

Nodi: 105 112

Caratteristiche delle sezioni e dei materiali utilizzati

Sez.	Tipo	B	H	Cf sup	Cf inf	Cls	Fck	Fctk	Fcd	Fctd	Tp	Fyk	Fyd
		<cm>	<cm>	<cm>	<cm>		<daN/cmq>	<daN/cmq>	<daN/cmq>	<daN/cmq>		<daN/cmq>	<daN/cmq>
1R		30.00	50.00	5.50	5.50	C30/37	307.10	20.59	174.02	13.73	B450C	4500.00	3913.04

Stato limite ultimo - Verifiche a flessione/pressoflessione

Relazione di calcolo

Xg <m>	CC	TCC	El	X <cm>	Afe S <cmq>	Afe I <cmq>	Afep S <cmq>	Afep I <cmq>	My <daNm>	MRdy <daNm>	Sic.
0.15	29	SLU	1	15.00	6.03	10.05	6.03	10.05	-7270.66	-9951.92	1.369
2.58	29	SLU	1	258.04	6.03	10.05	6.03	10.05	13315.80	16106.10	1.210
5.55	25	SLU	1	555.00	6.03	10.05	6.03	10.05	-6760.36	-9951.92	1.472

Stato limite elastico - Verifiche a flessione/pressoflessione

Xg <m>	CC	TCC	El	X <cm>	Afe S <cmq>	Afe I <cmq>	Afep S <cmq>	Afep I <cmq>	My <daNm>	M'ydy <daNm>	Sic.
0.15	19	SND	1	15.00	6.03	10.05	6.03	10.05	-8349.65	-9480.84	1.135
2.58	7	SND	1	258.04	6.03	10.05	6.03	10.05	8754.93	15423.00	1.762
5.55	7	SND	1	555.00	6.03	10.05	6.03	10.05	-8349.63	-9480.84	1.135

Stato limite d'esercizio - Verifiche tensionali

Xg <m>	CC	TCC	El	X <cm>	Afe S <cmq>	Afe I <cmq>	My <daNm>	σ_f sup <daN/cmq>	σ_f inf <daN/cmq>	σ_c <daN/cmq>
0.15	31	SLE R	1	15.00	6.03	10.05	-5192.46	2146.34	-403.00	50.84
0.15	28	SLE Q	1	15.00	6.03	10.05	-4246.83	1755.46	-329.61	41.58
2.58	31	SLE R	1	258.04	6.03	10.05	9557.63	-812.36	2418.05	84.53
2.58	28	SLE Q	1	258.04	6.03	10.05	8364.38	-710.94	2116.16	73.98
5.55	26	SLE R	1	555.00	6.03	10.05	-4852.26	2005.72	-376.60	47.50
5.55	28	SLE Q	1	555.00	6.03	10.05	-4246.81	1755.45	-329.61	41.58

Stato limite d'esercizio - Verifiche a fessurazione

Caso	Xg <m>	CC	TCC	El	Sez.	Crit.	X <cm>	My <daNm>	c <mm>	s <mm>	K3	s_{zm} <mm>	Φ	A_s <cmq>	A_c eff <cmq>	σ_s <daN/cmq>	σ_{st} <daN/cmq>	ϵ_{sm}	Wk <mm>
35	0.15	28	SLE Q	1	1	1	15.00	-4246.83	47.00	95.00	0.17	200.11	16.00	6.03	486.13	1755.46	2293.08	0.34	0.12
39	0.15	33	SLE F	1	1	1	15.00	-4435.95	47.00	95.00	0.17	200.11	16.00	6.03	486.13	1833.63	2293.08	0.36	0.12
69	2.58	28	SLE Q	1	1	1	258.04	8364.38	47.00	47.50	0.16	154.90	16.00	10.05	491.13	2116.16	1481.44	0.78	0.20
73	2.58	33	SLE F	1	1	1	258.04	8602.67	47.00	47.50	0.16	154.90	16.00	10.05	491.13	2176.45	1481.44	0.81	0.21
112	5.55	28	SLE Q	1	1	1	555.00	-4246.81	47.00	95.00	0.17	200.11	16.00	6.03	486.13	1755.45	2293.08	0.34	0.12
115	5.55	27	SLE F	1	1	1	555.00	-4367.90	47.00	95.00	0.17	200.11	16.00	6.03	486.13	1805.50	2293.08	0.35	0.12

Staffe - Verifiche armatura

CC	X0 <m>	X1 <m>	Lung. <m>	Staff.	Afe St. <cmq/m>	bw <m>	Vsdu <daN>	ctg θ	VRsd <daN>	VRcd <daN>	Vrdu <daN>	Sic.T	
29	SLU	0.15	0.65	0.50	$\emptyset 8/10$ 2 br.	10.05	0.30	14161.00	2.37	37401.50	37401.50	37401.50	2.64
29	SLU	0.65	5.05	4.40	$\emptyset 8/20$ 2 br.	5.03	0.30	11573.60	2.50	19693.70	36049.80	19693.70	1.70
25	SLU	5.05	5.55	0.50	$\emptyset 8/10$ 2 br.	10.05	0.30	13972.00	2.37	37401.50	37401.50	37401.50	2.68

Travata n. 109

Nodi: 106 113

Caratteristiche delle sezioni e dei materiali utilizzati

Sez.	Tipo	B <cm>	H <cm>	Cf sup <cm>	Cf inf <cm>	Cls	Fck <daN/cmq>	Fctk <daN/cmq>	Fcd <daN/cmq>	Fctd <daN/cmq>	Tp	Fyk <daN/cmq>	Fyd <daN/cmq>
1R		30.00	50.00	5.50	5.50	C30/37	307.10	20.59	174.02	13.73	B450C	4500.00	3913.04

Stato limite ultimo - Verifiche a flessione/pressoflessione

Xg <m>	CC	TCC	El	X <cm>	Afe S <cmq>	Afe I <cmq>	Afep S <cmq>	Afep I <cmq>	My <daNm>	MRdy <daNm>	Sic.
0.15	29	SLU	1	15.00	6.03	8.04	6.03	8.04	-6641.14	-9952.07	1.499
2.52	29	SLU	1	251.65	6.03	8.04	6.03	8.04	11550.80	13039.40	1.129
5.55	25	SLU	1	555.00	6.03	8.04	6.03	8.04	-6088.07	-9952.07	1.635

Stato limite elastico - Verifiche a flessione/pressoflessione

Xg <m>	CC	TCC	El	X <cm>	Afe S <cmq>	Afe I <cmq>	Afep S <cmq>	Afep I <cmq>	My <daNm>	M'ydy <daNm>	Sic.
0.15	19	SND	1	15.00	6.03	8.04	6.03	8.04	-8261.30	-9477.42	1.147
2.52	7	SND	1	251.65	6.03	8.04	6.03	8.04	7792.66	12475.70	1.601
5.55	7	SND	1	555.00	6.03	8.04	6.03	8.04	-8261.30	-9477.42	1.147

Stato limite d'esercizio - Verifiche tensionali

Xg <m>	CC	TCC	El	X <cm>	Afe S <cmq>	Afe I <cmq>	My <daNm>	σ_f sup <daN/cmq>	σ_f inf <daN/cmq>	σ_c <daN/cmq>
0.15	31	SLE R	1	15.00	6.03	8.04	-4743.46	1961.00	-391.74	48.24
0.15	28	SLE Q	1	15.00	6.03	8.04	-3836.89	1586.21	-316.87	39.02
2.52	31	SLE R	1	251.65	6.03	8.04	8298.47	-719.71	2600.85	79.20
2.52	28	SLE Q	1	251.65	6.03	8.04	7277.66	-631.18	2280.92	69.46
5.55	26	SLE R	1	555.00	6.03	8.04	-4374.75	1808.57	-361.29	44.49
5.55	28	SLE Q	1	555.00	6.03	8.04	-3836.89	1586.21	-316.87	39.02

Stato limite d'esercizio - Verifiche a fessurazione

Caso	Xg <m>	CC	TCC	El	Sez.	Crit.	X <cm>	My <daNm>	c <mm>	s <mm>	K3	s _{sm} <mm>	Φ	A _s <cmq>	A _{c eff} <cmq>	σ _s <daN/cmq>	σ _{sr} <daN/cmq>	ε _{sm}	Wk <mm>
33	0.15	28	SLE Q	1	1	1	15.00	-3836.89	47.00	95.00	0.17	199.56	16.00	6.03	486.13	1586.21	2260.77	0.31	0.10
37	0.15	33	SLE F	1	1	1	15.00	-4018.20	47.00	95.00	0.17	199.56	16.00	6.03	486.13	1661.17	2260.77	0.32	0.11
67	2.52	28	SLE Q	1	1	1	251.65	7277.66	47.00	63.33	0.17	171.19	16.00	8.04	489.88	2280.92	1761.71	0.78	0.23
71	2.52	33	SLE F	1	1	1	251.65	7481.34	47.00	63.33	0.17	171.19	16.00	8.04	489.88	2344.75	1761.71	0.82	0.24
107	5.55	28	SLE Q	1	1	1	555.00	-3836.89	47.00	95.00	0.17	199.56	16.00	6.03	486.13	1586.21	2260.77	0.31	0.10
110	5.55	27	SLE F	1	1	1	555.00	-3944.46	47.00	95.00	0.17	199.56	16.00	6.03	486.13	1630.69	2260.77	0.32	0.11

Staffe - Verifiche armatura

CC	X0 <m>	X1 <m>	Lung. <m>	Staff.	AfE St. <cmq/m>	bw <m>	Vsdu <daN>	ctgθ	VRsd <daN>	VRcd <daN>	Vrdu <daN>	Sic.T
29 SLU	0.15	0.65	0.50	ø8/10 2 br.	10.05	0.30	12489.40	2.37	37401.50	37401.50	37401.50	2.99
29 SLU	0.65	5.05	4.40	ø8/20 2 br.	5.03	0.30	10214.50	2.50	19693.70	36049.80	19693.70	1.93
25 SLU	5.05	5.55	0.50	ø8/10 2 br.	10.05	0.30	12284.60	2.37	37401.50	37401.50	37401.50	3.04

Travata n. 110

Nodi: 107 114

Caratteristiche delle sezioni e dei materiali utilizzati

Sez.	Tipo	B <cm>	H <cm>	Cf sup <cm>	Cf inf <cm>	Cls	Fck <daN/cmq>	Fctk <daN/cmq>	Fcd <daN/cmq>	Fctd <daN/cmq>	Tp	Fyk <daN/cmq>	Fyd <daN/cmq>
1R		30.00	50.00	5.50	5.50	C30/37	307.10	20.59	174.02	13.73	B450C	4500.00	3913.04

Stato limite ultimo - Verifiche a flessione/pressoflessione

Xg <m>	CC	TCC	El	X <cm>	AfE S <cmq>	AfE I <cmq>	AfEP S <cmq>	AfEP I <cmq>	My <daNm>	MRdy <daNm>	Sic.
0.45	29	SLU	1	45.00	8.04	8.04	8.04	8.04	-5997.60	-13036.60	2.174
4.61	29	SLU	1	461.00	8.04	8.04	8.04	8.04	3599.54	13036.60	3.622
5.25	25	SLU	1	525.00	8.04	8.04	8.04	8.04	-3858.24	-13036.60	3.379

Stato limite elastico - Verifiche a flessione/pressoflessione

Xg <m>	CC	TCC	El	X <cm>	AfE S <cmq>	AfE I <cmq>	AfEP S <cmq>	AfEP I <cmq>	My <daNm>	M'ydy <daNm>	Sic.
0.45	19	SND	1	45.00	8.04	8.04	8.04	8.04	-11753.80	-12497.20	1.063
4.61	7	SND	1	461.00	8.04	8.04	8.04	8.04	-10612.40	-12497.20	1.178
5.25	7	SND	1	525.00	8.04	8.04	8.04	8.04	-11753.80	-12497.20	1.063

Stato limite d'esercizio - Verifiche tensionali

Xg <m>	CC	TCC	El	X <cm>	AfE S <cmq>	AfE I <cmq>	My <daNm>	σ _f sup <daN/cmq>	σ _f inf <daN/cmq>	σ _c <daN/cmq>
0.45	31	SLE R	1	45.00	8.04	8.04	-4193.51	1312.62	-342.11	38.36
0.45	28	SLE Q	1	45.00	8.04	8.04	-2492.60	780.21	-203.35	22.80
4.61	31	SLE R	1	461.00	8.04	8.04	2519.55	-205.55	788.65	23.05
4.61	28	SLE Q	1	461.00	8.04	8.04	-1889.06	591.30	-154.11	17.28
5.25	26	SLE R	1	525.00	8.04	8.04	-2767.27	866.19	-225.76	25.32
5.25	28	SLE Q	1	525.00	8.04	8.04	-2492.60	780.21	-203.35	22.80

Stato limite d'esercizio - Verifiche a fessurazione

Caso	Xg <m>	CC	TCC	El	Sez.	Crit.	X <cm>	My <daNm>	c <mm>	s <mm>	K3	s _{sm} <mm>	Φ	A _s <cmq>	A _{c eff} <cmq>	σ _s <daN/cmq>	σ _{sr} <daN/cmq>	ε _{sm}	Wk <mm>
29	0.45	28	SLE Q	1	1	1	45.00	-2492.60	47.00	63.33	0.17	171.65	16.00	8.04	489.88	780.21	1786.84	0.15	0.04
33	0.45	33	SLE F	1	1	1	45.00	-2832.78	47.00	63.33	0.17	171.65	16.00	8.04	489.88	886.69	1786.84	0.17	0.05
77	4.61	28	SLE Q	1	1	1	461.00	-1889.06	47.00	63.33	0.17	171.65	16.00	8.04	489.88	591.30	1786.84	0.11	0.03
83	4.61	27	SLE F	1	1	1	461.00	-1930.58	47.00	63.33	0.17	171.65	16.00	8.04	489.88	604.29	1786.84	0.12	0.03
125	5.25	28	SLE Q	1	1	1	525.00	-2492.60	47.00	63.33	0.17	171.65	16.00	8.04	489.88	780.21	1786.84	0.15	0.04
128	5.25	27	SLE F	1	1	1	525.00	-2547.53	47.00	63.33	0.17	171.65	16.00	8.04	489.88	797.41	1786.84	0.15	0.05

Staffe - Verifiche armatura

CC	X0 <m>	X1 <m>	Lung. <m>	Staff.	AfE St. <cmq/m>	bw <m>	Vsdu <daN>	ctgθ	VRsd <daN>	VRcd <daN>	Vrdu <daN>	Sic.T
19 SND	0.45	0.95	0.50	ø8/10 2 br.	10.05	0.30	8318.63	2.37	37401.50	37401.50	37401.50	4.50
7 SND	0.95	4.75	3.80	ø8/20 2 br.	5.03	0.30	7389.49	2.50	19693.70	36049.80	19693.70	2.67
19 SND	0.95	4.75	3.80	ø8/20 2 br.	5.03	0.30	7389.49	2.50	19693.70	36049.80	19693.70	2.67
7 SND	4.75	5.25	0.50	ø8/10 2 br.	10.05	0.30	8318.63	2.37	37401.50	37401.50	37401.50	4.50

Verifiche e armature pilastri

Simbologia

- Xg = Coordinata progressiva (dal primo nodo) in cui viene effettuato il progetto/verifica
- CC = Combinazione delle condizioni di carico elementari
- e = eccentricità aggiuntiva in caso di compressione o pressoflessione

Relazione di calcolo

α = amplificazione per gerarchia delle resistenze
 TG = taglio da gerarchia delle resistenze
 TCC = =Tipo di combinazione di carico
 SLU = Stato limite ultimo
 SLU S = Stato limite ultimo (azione sismica)
 SLE R = Stato limite d'esercizio, combinazione rara
 SLE F = Stato limite d'esercizio, combinazione frequente
 SLE Q = Stato limite d'esercizio, combinazione quasi permanente
 SLD = Stato limite di danno
 SLV = Stato limite di salvaguardia della vita
 SLC = Stato limite di prevenzione del collasso
 SLO = Stato limite di operatività
 SLU I = Stato limite di resistenza al fuoco
 SND = Stato limite di salvaguardia della vita (non dissipativo)
 El = Elemento (asta) in cui viene effettuato il progetto/verifica (progressivo sul numero di aste)
 Sez. = Numero della sezione
 X = Coordinata progressiva rispetto al nodo iniziale
 N = Sforzo normale
 Mz = Momento flettente intorno all'asse Z
 My = Momento flettente intorno all'asse Y
 My ver. = Momento flettente di verifica intorno all'asse Y
 c = Ricoprimento dell'armatura
 s = Distanza minima tra le barre
 K3 = Coefficiente di forma del diagramma delle tensioni prima della fessurazione
 s_{em} = Distanza media tra le fessure
 Φ = Diametro della barra
 A_s = Area complessiva dei ferri nell'area di calcestruzzo efficace
 $A_{c\text{ eff}}$ = Area di calcestruzzo efficace
 σ_s = Tensione nell'acciaio nella sezione fessurata
 σ_{sr} = Tensione nell'acciaio corrispondente al raggiungimento della resistenza a trazione nel calcestruzzo
 ϵ_{sm} = Deformazione unitaria media dell'armatura (*1000)
 Wk = Apertura delle fessure
 M = Momento flettente
 MRd = Momento resistente allo stato limite ultimo
 $\mu\Phi$ = Valore di progetto della duttilità di curvatura
 Mz ver. = Momento flettente di verifica intorno all'asse Z
 Nu = Sforzo normale ultimo
 M'ydy = Momento resistente massimo in campo sostanzialmente elastico intorno all'asse Y
 M'ydz = Momento resistente massimo in campo sostanzialmente elastico intorno all'asse Z
 MRdy = Momento resistente allo stato limite ultimo intorno all'asse Y
 MRdz = Momento resistente allo stato limite ultimo intorno all'asse Z
 α = Angolo asse neutro a rottura
 ϵ_r = Deformazione nell'acciaio (*1000)
 Sic. = Sicurezza a rottura
 AfT = Area di ferro tesa
 AfC = Area di ferro compressa
 σ_c = Tensione nel calcestruzzo
 σ_f = Tensione nel ferro
 X0 = Coordinata progressiva (dal nodo iniziale) dell'inizio del tratto
 X1 = Coordinata progressiva (dal nodo iniziale) della fine del tratto
 Staff. = Staffatura adottata
 Br_y = Numero bracci in dir. Y locale
 Br_z = Numero bracci in dir. Z locale
 bw_y = Larghezza membratura resistente al taglio in dir. Y
 Vsdu_y = Taglio agente in dir. Y
 ctg θ _y = Cotangente dell'angolo di inclinazione dei puntoni di calcestruzzo in dir. Y
 VRsd_y = Taglio ultimo lato armatura in dir. Y
 VRcd_y = Taglio ultimo lato calcestruzzo in dir. Y
 bw_z = Larghezza membratura resistente al taglio in dir. Z
 Vsdu_z = Taglio agente in dir. Z
 ctg θ _z = Cotangente dell'angolo di inclinazione dei puntoni di calcestruzzo in dir. Z
 VRsd_z = Taglio ultimo lato armatura in dir. Z
 VRcd_z = Taglio ultimo lato calcestruzzo in dir. Z
 Sic.T = Sicurezza a rottura per taglio
 Nodo = Numero del nodo
 Conf. = Nodo confinato
 S = Si
 N = No
 F. = Identificativo faccia del nodo
 Y+ = Faccia sul lato positivo Y locale pilastro
 Z+ = Faccia sul lato positivo Z locale pilastro
 Y- = Faccia sul lato negativo Y locale pilastro
 Z- = Faccia sul lato negativo Z locale pilastro
 Mod. = Modalità di verifica faccia
 I = Interna
 E = Esterna
 Br. = Numero bracci
 As1 = Area di ferro superiore delle travi incidenti sulla faccia
 As2 = Area di ferro inferiore delle travi incidenti sulla faccia
 Bj = Larghezza effettiva utile del nodo
 Hjc = Distanza tra armature pilastro
 Hwj = Distanza tra armature trave
 Ash = Area totale della sezione della staffa
 Tipo = Tipologia
 2C = Doppia C lato labbri
 2Cdx = Doppia C lato costola
 2I = Doppia I
 2L = Doppia L lato labbri
 2Ldx = Doppia L lato costole
 C = Sezione a C
 Cdx = C destra
 Cir. = Circolare
 Cir.c = Circolare cava
 I = Sezione a I

Relazione di calcolo

L = Sezione a L
 Ldx = L destra
 Om. = Omega
 Pg = Pi greco
 Pr = Poligono regolare
 Prc = Poligono regolare cavo
 Pc = Per coordinate
 Ia = Inerzie assegnate
 R = Rettangolare
 Rc = Rettangolare cava
 T = Sezione a T
 U = Sezione a U
 Ur = U rovescia
 V = Sezione a V
 Vr = V rovescia
 Z = Sezione a Z
 Zdx = Z destra
 Ts = T stondata
 Ls = L stondata
 Cs = C stondata
 Is = I stondata
 Dis. = Disegnata

B = Base
 H = Altezza
 Cf = Copriferro
 Cls = Tipo di calcestruzzo
 Fck = Resistenza caratteristica cilindrica a compressione del calcestruzzo
 Fctk = Resistenza caratteristica a trazione del calcestruzzo
 Fcd = Resistenza di calcolo a compressione del calcestruzzo
 Fctd = Resistenza di calcolo a trazione del calcestruzzo
 Tp = Tipo di acciaio
 Fyk = Tensione caratteristica di snervamento dell'acciaio
 Fyd = Resistenza di calcolo dell'acciaio

Pilastrata n. 1

Nodi: 1 101

Caratteristiche delle sezioni e dei materiali utilizzati

Sez.	Tipo	B	H	Cf	Cls	Fck	Fctk	Fcd	Fctd	Tp	Fyk	Fyd
		<cm>	<cm>	<cm>		<daN/cm²>	<daN/cm²>	<daN/cm²>	<daN/cm²>		<daN/cm²>	<daN/cm²>
3R		30.00	60.00	5.80	C30/37	307.10	20.59	174.02	13.73	B450C	4500.00	3913.04

Stato limite ultimo - Verifiche a flessione/pressoflessione

Xg	CC	TCC	El	Sez.	X	N	My	My ver.	Mz	Mz ver.	Nu	MRdy	MRdz	α	ε _r	Sic.
<cm>					<cm>	<daN>	<daNm>	<daNm>	<daNm>	<daNm>	<daN>	<daNm>	<daNm>	<grad>		
0.00	29(e)	SLU	1	3	0.00	-11562.00	7869.25	7869.25	178.44	239.91	-11562.00	29313.50	1359.85	11.25	7.12	3.727
0.00	29(e)	SLU	1	3	0.00	-11562.00	7869.25	7869.25	178.44	239.91	-11562.00	29313.50	1359.85	11.25	7.12	3.727
3.65	29	SLU	1	3	365.00	-9426.80	-7927.15		-307.80		-9426.80	-28972.70	-1383.29	191.25	7.28	3.656

Stato limite elastico - Verifiche a flessione/pressoflessione

Xg	CC	TCC	El	Sez.	X	N	My	My ver.	Mz	Mz ver.	Nu	M'ydy	M'ydz	α	ε _y	Sic.
<cm>					<cm>	<daN>	<daNm>	<daNm>	<daNm>	<daNm>	<daN>	<daNm>	<daNm>	<grad>		
0.00	7	SND	1	3	0.00	-3970.68	17069.20		-802.45		-3970.68	19755.20	-1014.42	348.75	7.70	1.158
0.00	7	SND	1	3	0.00	-3970.68	17069.20		-802.45		-3970.68	19755.20	-1014.42	348.75	7.70	1.158
3.65	7	SND	1	3	365.00	-2328.18	-11378.70		-720.60		-2328.18	-19427.10	-1020.61	191.25	7.83	1.706

Stato limite d'esercizio - Verifiche tensionali

Xg	CC	TCC	El	Sez.	X	N	Mz	My	AfT	AfC	σ _c	σ _f
<cm>					<cm>	<daN>	<daNm>	<daNm>	<cmq>	<cmq>	<daN/cm²>	<daN/cm²>
0.00	31	SLE R	1	3	0.00	-8385.90	129.58	5418.97	18.85	12.57	41.83	811.12
0.00	28	SLE Q	1	3	0.00	-7289.28	131.56	2177.91	15.71	15.71	17.91	210.45
0.00	31	SLE R	1	3	0.00	-8385.90	129.58	5418.97	18.85	12.57	41.83	811.12
0.00	28	SLE Q	1	3	0.00	-7289.28	131.56	2177.91	15.71	15.71	17.91	210.45
3.65	31	SLE R	1	3	365.00	-6743.40	-223.29	-5585.27	18.85	12.57	44.54	917.52
3.65	28	SLE Q	1	3	365.00	-5646.78	-224.12	-3787.28	18.85	12.57	31.41	595.49

Stato limite d'esercizio - Verifiche a fessurazione

Xg	CC	TCC	El	Sez.	X	N	My	Mz	c	s	K3	s _{sm}	φ	A _s	A _{c eff}	σ _s	σ _{sr}	ε _{sm}	Wk
<cm>					<cm>	<daN>	<daNm>	<daNm>	<mm>	<mm>		<mm>		<cmq>	<cmq>	<daN/cm²>	<daN/cm²>		<mm>
0.00	28	SLE Q	1	3	0.00	-7289.28	2177.91	131.56	49.00	120.50	0.13	196.11	20.00	12.57	930.09	209.46	975.86	0.04	0.01
0.00	28	SLE Q	1	3	0.00	-7289.28	2177.91	131.56	49.00	120.50	0.13	196.11	20.00	12.57	930.09	209.46	975.86	0.04	0.01
3.65	28	SLE Q	1	3	365.00	-5646.78	-3787.28	-224.12	49.00	120.50	0.13	190.62	20.00	18.85	1291.59	595.49	1295.16	0.12	0.04

Staffe - Verifiche armatura

X0	X1	Staff.	Br _y	Br _z	CC	TCC	bw _y	Vsdu _y	ctgθ _y	VRsd _y	VRcd _y	bw _z	Vsdu _z	ctgθ _z	VRsd _z	VRcd _z	Sic. T
<cm>	<cm>						<cm>	<daN>		<daN>	<daN>	<cm>	<daN>		<daN>	<daN>	
0.00	0.61	ø8/ 8	2	2	29	SLU	0.60	133.21	2.50	26663.90	40488.50	0.30	4806.85	2.12	50814.30	50814.30	10.57
0.00	0.61	ø8/ 8	2	2	36	SLU	0.60	1215.56	2.50	26663.90	40420.80	0.30	2523.07	2.12	50762.40	50762.40	20.12
0.00	0.61	ø8/ 8	2	2	10	SND	0.60	330.26	2.50	26663.90	40341.80	0.30	7793.95	2.12	50701.70	50701.80	6.51
0.00	0.61	ø8/ 8	2	2	16	SND	0.60	1403.56	2.50	26663.90	39991.20	0.30	751.20	2.11	50431.60	50431.60	19.00
0.00	0.61	ø8/ 8	2	2	13	SND	0.60	1409.85	2.50	26663.90	40231.10	0.30	2483.78	2.11	50616.60	50616.60	18.91
0.61	3.04	ø8/18	2	2	29	SLU	0.60	133.21	2.50	11850.60	40444.10	0.30	4647.16	2.50	26602.50	45394.80	5.72
0.61	3.04	ø8/18	2	2	36	SLU	0.60	1033.06	2.50	11850.60	40376.40	0.30	2523.07	2.50	26602.50	45318.70	10.54
0.61	3.04	ø8/18	2	2	10	SND	0.60	330.26	2.50	11850.60	40307.70	0.30	7793.94	2.50	26602.50	45241.60	3.41

Relazione di calcolo

0.61	3.04	ø8/18	2	2	7	SND	0.60	416.35	2.50	11850.60	40428.90	0.30	7793.94	2.50	26602.50	45377.70	3.41
0.61	3.04	ø8/18	2	2	16	SND	0.60	1403.56	2.50	11850.60	39957.10	0.30	751.20	2.50	26602.50	44848.10	8.44
0.61	3.04	ø8/18	2	2	13	SND	0.60	1409.85	2.50	11850.60	40197.00	0.30	2483.78	2.50	26602.50	45117.40	8.41
3.04	3.65	ø8/12	2	2	29	SLU	0.60	133.21	2.50	17776.00	40266.70	0.30	4008.41	2.50	39903.70	45195.60	9.96
3.04	3.65	ø8/12	2	2	36	SLU	0.60	303.06	2.50	17776.00	40199.00	0.30	2523.07	2.50	39903.70	45119.60	15.82
3.04	3.65	ø8/12	2	2	10	SND	0.60	330.26	2.50	17776.00	40171.20	0.30	7793.94	2.50	39903.70	45088.40	5.12
3.04	3.65	ø8/12	2	2	7	SND	0.60	416.35	2.50	17776.00	40292.40	0.30	7793.94	2.50	39903.70	45224.50	5.12
3.04	3.65	ø8/12	2	2	16	SND	0.60	1403.56	2.50	17776.00	39820.60	0.30	751.20	2.50	39903.70	44694.90	12.66
3.04	3.65	ø8/12	2	2	13	SND	0.60	1409.85	2.50	17776.00	40060.50	0.30	2483.78	2.50	39903.70	44964.10	12.61

Pilastrata n. 2

Nodi: 2 102

Caratteristiche delle sezioni e dei materiali utilizzati

Sez.	Tipo	B	H	Cf	Cls	Fck	Fctk	Fcd	Fctd	Tp	Fyk	Fyd
		<cm>	<cm>	<cm>		<daN/cmq>	<daN/cmq>	<daN/cmq>	<daN/cmq>		<daN/cmq>	<daN/cmq>
3R		30.00	60.00	5.80	C30/37	307.10	20.59	174.02	13.73	B450C	4500.00	3913.04

Stato limite ultimo - Verifiche a flessione/pressoflessione

Xg	CC	TCC	El	Sez.	X	N	My	My ver.	Mz	Mz ver.	Nu	MRdy	MRdz	α	ε _y	Sic.
<m>					<cm>	<daN>	<daNm>	<daNm>	<daNm>	<daNm>	<daN>	<daNm>	<daNm>	<grad>		
0.00	29(e)	SLU	1	3	0.00	-18118.70	58.22	-375.96	-5509.34	-5509.34	-18118.70	-639.92	-12247.80	269.47	8.58	2.221
0.00	29(e)	SLU	1	3	0.00	-18118.70	58.22	-375.96	-5509.34	-5509.34	-18118.70	-639.92	-12247.80	269.47	8.58	2.221
3.65	29(e)	SLU	1	3	365.00	-15983.40	-130.06	331.66	6522.08	6522.08	-15983.40	645.45	12052.20	89.47	8.76	1.848

Stato limite elastico - Verifiche a flessione/pressoflessione

Xg	CC	TCC	El	Sez.	X	N	My	My ver.	Mz	Mz ver.	Nu	M'ydy	M'ydz	α	ε _y	Sic.
<m>					<cm>	<daN>	<daNm>	<daNm>	<daNm>	<daNm>	<daN>	<daNm>	<daNm>	<grad>		
0.00	10	SND	1	3	0.00	-10679.30	2036.79		-6702.00		-10679.30	3460.52	-11753.70	272.81	8.18	1.749
0.00	10	SND	1	3	0.00	-10679.30	2036.79		-6702.00		-10679.30	3460.52	-11753.70	272.81	8.18	1.749
3.65	10	SND	1	3	365.00	-9036.75	-1203.14		6931.11		-9036.75	-1899.20	10698.80	91.58	8.88	1.545

Stato limite d'esercizio - Verifiche tensionali

Xg	CC	TCC	El	Sez.	X	N	Mz	My	AfT	AfC	σ _c	σ _f
<m>					<cm>	<daN>	<daNm>	<daNm>	<cmq>	<cmq>	<daN/cmq>	<daN/cmq>
0.00	38	SLE R	1	3	0.00	-13007.10	-2486.16	2623.55	12.57	12.57	59.90	787.35
0.00	31	SLE R	1	3	0.00	-13151.40	-3852.87	42.96	12.57	12.57	59.05	982.13
0.00	28	SLE Q	1	3	0.00	-11910.00	-2183.38	50.71	12.57	12.57	33.68	402.28
0.00	38	SLE R	1	3	0.00	-13007.10	-2486.16	2623.55	12.57	12.57	59.90	787.35
0.00	31	SLE R	1	3	0.00	-13151.40	-3852.87	42.96	12.57	12.57	59.05	982.13
0.00	28	SLE Q	1	3	0.00	-11910.00	-2183.38	50.71	12.57	12.57	33.68	402.28
3.65	38	SLE R	1	3	365.00	-11364.60	4190.17	-1110.27	12.57	12.57	74.06	1303.94
3.65	31	SLE R	1	3	365.00	-11508.90	4651.38	-94.71	12.57	12.57	71.48	1354.79
3.65	28	SLE Q	1	3	365.00	-10267.50	3679.86	-97.98	12.57	12.57	56.84	1030.24

Stato limite d'esercizio - Verifiche a fessurazione

Xg	CC	TCC	El	Sez.	X	N	My	Mz	c	s	K3	S _{sm}	φ	A _s	A _{c off}	σ _s	σ _{sr}	ε _{sm}	Wk
<m>					<cm>	<daN>	<daNm>	<daNm>	<mm>	<mm>		<mm>		<cmq>	<cmq>	<daN/cmq>	<daN/cmq>		<mm>
0.00	28	SLE Q	1	3	0.00	-11910.00	50.71	-2183.38	49.00	160.67	0.13	221.00	20.00	12.57	1141.85	402.28	981.99	0.08	0.03
0.00	28	SLE Q	1	3	0.00	-11910.00	50.71	-2183.38	49.00	160.67	0.13	221.00	20.00	12.57	1141.85	402.28	981.99	0.08	0.03
3.65	28	SLE Q	1	3	365.00	-10267.50	-97.98	3679.86	49.00	160.67	0.13	220.97	20.00	12.57	1141.54	1030.24	1256.97	0.20	0.08

Staffe - Verifiche armatura

X0	X1	Staff.	Br _y	Br _z	CC	TCC	bw _y	Vsdu _y	ctgθ _y	VRsd _y	VRcd _y	bw _z	Vsdu _z	ctgθ _z	VRsd _z	VRcd _z	Sic.	T
<m>	<m>						<cm>	<daN>		<daN>	<daN>	<cm>	<daN>		<daN>	<daN>		
0.00	0.61	ø8/ 6	2	2	36	SLU	0.60	2545.08	2.50	35551.90	41278.90	0.30	2624.46	1.79	57185.20	57185.20	13.97	
0.00	0.61	ø8/ 6	2	2	29	SLU	0.60	4254.41	2.50	35551.90	41305.80	0.30	51.58	1.79	57209.70	57209.70	8.36	
0.00	0.61	ø8/ 6	2	2	13	SND	0.60	1989.20	2.50	35551.90	40593.50	0.30	3785.49	1.77	56559.10	56559.10	14.94	
0.00	0.61	ø8/ 6	2	2	10	SND	0.60	3735.10	2.50	35551.90	40725.30	0.30	887.70	1.78	56680.10	56680.10	9.52	
0.00	0.61	ø8/ 6	2	2	7	SND	0.60	3735.10	2.50	35551.90	40741.50	0.30	1242.96	1.78	56695.00	56695.00	9.52	
0.61	3.04	ø8/18	2	2	36	SLU	0.60	2545.08	2.50	11850.60	41234.50	0.30	2259.46	2.50	26602.50	46281.90	4.66	
0.61	3.04	ø8/18	2	2	29	SLU	0.60	3935.03	2.50	11850.60	41261.50	0.30	51.58	2.50	26602.50	46312.10	3.01	
0.61	3.04	ø8/18	2	2	13	SND	0.60	1989.20	2.50	11850.60	40559.30	0.30	3785.49	2.50	26602.50	45524.10	5.96	
0.61	3.04	ø8/18	2	2	10	SND	0.60	3735.10	2.50	11850.60	40691.10	0.30	887.70	2.50	26602.50	45672.00	3.17	
0.61	3.04	ø8/18	2	2	7	SND	0.60	3735.10	2.50	11850.60	40707.40	0.30	1242.96	2.50	26602.50	45690.30	3.17	
3.04	3.65	ø8/12	2	2	36	SLU	0.60	2545.08	2.50	17776.00	41057.00	0.30	799.46	2.50	39903.70	46082.70	6.98	
3.04	3.65	ø8/12	2	2	29	SLU	0.60	2657.53	2.50	17776.00	41084.00	0.30	51.58	2.50	39903.70	46113.00	6.69	
3.04	3.65	ø8/12	2	2	13	SND	0.60	1989.20	2.50	17776.00	40422.90	0.30	3785.49	2.50	39903.70	45370.90	8.94	
3.04	3.65	ø8/12	2	2	10	SND	0.60	3735.10	2.50	17776.00	40554.60	0.30	887.70	2.50	39903.70	45518.80	4.76	
3.04	3.65	ø8/12	2	2	7	SND	0.60	3735.10	2.50	17776.00	40570.90	0.30	1242.96	2.50	39903.70	45537.10	4.76	

Pilastrata n. 3

Nodi: 3 103

Caratteristiche delle sezioni e dei materiali utilizzati

Sez.	Tipo	B	H	Cf	Cls	Fck	Fctk	Fcd	Fctd	Tp	Fyk	Fyd
		<cm>	<cm>	<cm>		<daN/cmq>	<daN/cmq>	<daN/cmq>	<daN/cmq>		<daN/cmq>	<daN/cmq>
3R		30.00	60.00	5.80	C30/37	307.10	20.59	174.02	13.73	B450C	4500.00	3913.04

Relazione di calcolo

Stato limite ultimo - Verifiche a flessione/pressoflessione

Xg <m>	CC	TCC	El	Sez.	X <cm>	N <daN>	My <daNm>	My ver. <daNm>	Mz <daNm>	Mz ver. <daNm>	Nu <daN>	MRdy <daNm>	MRdz <daNm>	α <grad>	ε _y	Sic.
0.00	29(e)	SLU	1	3	0.00	-19415.60	-44.98	-402.87	-6064.48	-6064.48	-19415.60	-636.75	-12365.10	269.47	8.48	2.037
0.00	29(e)	SLU	1	3	0.00	-19415.60	-44.98	-402.87	-6064.48	-6064.48	-19415.60	-636.75	-12365.10	269.47	8.48	2.037
3.65	29(e)	SLU	1	3	365.00	-17280.30	49.40	358.57	7463.23	7463.23	-17280.30	641.97	12171.30	89.47	8.64	1.631

Stato limite elastico - Verifiche a flessione/pressoflessione

Xg <m>	CC	TCC	El	Sez.	X <cm>	N <daN>	My <daNm>	My ver. <daNm>	Mz <daNm>	Mz ver. <daNm>	Nu <daN>	M'ydy <daNm>	M'ydz <daNm>	α <grad>	ε _y	Sic.
0.00	10	SND	1	3	0.00	-11406.40	1952.38		-6916.13		-11406.40	3408.53	-11676.10	272.81	8.12	1.693
0.00	10	SND	1	3	0.00	-11406.40	1952.38		-6916.13		-11406.40	3408.53	-11676.10	272.81	8.12	1.693
3.65	10	SND	1	3	365.00	-9763.92	-1056.73		7444.50		-9763.92	-1571.84	10588.80	91.41	8.91	1.424

Stato limite d'esercizio - Verifiche tensionali

Xg <m>	CC	TCC	El	Sez.	X <cm>	N <daN>	Mz <daNm>	My <daNm>	AfT <cmq>	AfC <cmq>	σ _c <daN/cmq>	σ _f <daN/cmq>
0.00	38	SLE R	1	3	0.00	-13954.70	-2876.45	2563.91	12.57	12.57	65.64	887.18
0.00	31	SLE R	1	3	0.00	-14077.70	-4249.27	-31.98	12.57	12.57	64.97	1097.26
0.00	28	SLE Q	1	3	0.00	-12730.00	-2520.80	-24.16	12.57	12.57	38.62	495.36
0.00	38	SLE R	1	3	0.00	-13954.70	-2876.45	2563.91	12.57	12.57	65.64	887.18
0.00	31	SLE R	1	3	0.00	-14077.70	-4249.27	-31.98	12.57	12.57	64.97	1097.26
0.00	28	SLE Q	1	3	0.00	-12730.00	-2520.80	-24.16	12.57	12.57	38.62	495.36
3.65	38	SLE R	1	3	365.00	-12312.20	4847.97	-1006.55	12.57	12.57	83.12	1507.53
3.65	31	SLE R	1	3	365.00	-12435.20	5323.16	35.60	12.57	12.57	81.05	1570.16
3.65	28	SLE Q	1	3	365.00	-11087.50	4248.56	32.22	12.57	12.57	64.81	1209.26

Stato limite d'esercizio - Verifiche a fessurazione

Xg <m>	CC	TCC	El	Sez.	X <cm>	N <daN>	My <daNm>	Mz <daNm>	c <mm>	s <mm>	K3	s _{sm} <mm>	φ	A _s <cmq>	A _{c eff} <cmq>	σ _s <daN/cmq>	σ _{sr} <daN/cmq>	ε _{sm}	Wk <mm>
0.00	28	SLE Q	1	3	0.00	-12730.00	-24.16	-2520.80	49.00	160.67	0.13	221.00	20.00	12.57	1141.85	495.36	1028.09	0.10	0.04
0.00	28	SLE Q	1	3	0.00	-12730.00	-24.16	-2520.80	49.00	160.67	0.13	221.00	20.00	12.57	1141.85	495.36	1028.09	0.10	0.04
3.65	28	SLE Q	1	3	365.00	-11087.50	32.22	4248.56	49.00	160.67	0.13	220.97	20.00	12.57	1141.54	1209.26	1278.45	0.26	0.10

Staffe - Verifiche armatura

X0 <m>	X1 <m>	Staff.	Br _y	Br _z	CC	TCC	b _w / y <mm>	V _{sdu} / y <daN>	ctgθ / y	VR _{sd} / y <daN>	VR _{cd} / y <daN>	b _w / z <mm>	V _{sdu} / z <daN>	ctgθ / z	VR _{sd} / z <daN>	VR _{cd} / z <daN>	Sic. T
0.00	0.61	ø8/ 6	2	2	36	SLU	0.60	2946.77	2.50	35551.90	41444.50	0.30	2564.22	1.80	57335.50	57335.50	12.06
0.00	0.61	ø8/ 6	2	2	29	SLU	0.60	4664.35	2.50	35551.90	41467.50	0.30	25.86	1.80	57356.40	57356.40	7.62
0.00	0.61	ø8/ 6	2	2	1	SND	0.60	2552.71	2.50	35551.90	40702.40	0.30	3754.26	1.77	56659.10	56659.10	13.93
0.00	0.61	ø8/ 6	2	2	10	SND	0.60	3934.42	2.50	35551.90	40817.50	0.30	824.42	1.78	56764.50	56764.50	9.04
0.00	0.61	ø8/ 6	2	2	7	SND	0.60	3934.42	2.50	35551.90	40821.20	0.30	1302.10	1.78	56767.90	56767.90	9.04
0.61	3.04	ø8/18	2	2	36	SLU	0.60	2946.77	2.50	11850.60	41400.10	0.30	2199.22	2.50	26602.50	46467.80	4.02
0.61	3.04	ø8/18	2	2	29	SLU	0.60	4344.97	2.50	11850.60	41423.10	0.30	25.86	2.50	26602.50	46493.60	2.73
0.61	3.04	ø8/18	2	2	1	SND	0.60	2552.71	2.50	11850.60	40668.30	0.30	3754.26	2.50	26602.50	45646.30	4.64
0.61	3.04	ø8/18	2	2	10	SND	0.60	3934.42	2.50	11850.60	40783.30	0.30	824.42	2.50	26602.50	45775.50	3.01
0.61	3.04	ø8/18	2	2	7	SND	0.60	3934.42	2.50	11850.60	40787.10	0.30	1302.10	2.50	26602.50	45779.70	3.01
3.04	3.65	ø8/12	2	2	36	SLU	0.60	2946.77	2.50	17776.00	41222.70	0.30	739.23	2.50	39903.70	46268.60	6.03
3.04	3.65	ø8/12	2	2	29	SLU	0.60	3067.47	2.50	17776.00	41245.70	0.30	25.86	2.50	39903.70	46294.40	5.79
3.04	3.65	ø8/12	2	2	1	SND	0.60	2552.71	2.50	17776.00	40531.80	0.30	3754.26	2.50	39903.70	45493.10	6.96
3.04	3.65	ø8/12	2	2	10	SND	0.60	3934.42	2.50	17776.00	40646.80	0.30	824.42	2.50	39903.70	45622.30	4.52
3.04	3.65	ø8/12	2	2	7	SND	0.60	3934.42	2.50	17776.00	40650.60	0.30	1302.10	2.50	39903.70	45626.50	4.52

Pilastrata n. 4

Nodi: 4 104

Caratteristiche delle sezioni e dei materiali utilizzati

Sez.	Tipo	B <cm>	H <cm>	Cf <cm>	Cls	F _{ck} <daN/cmq>	F _{ctk} <daN/cmq>	F _{cd} <daN/cmq>	F _{ctd} <daN/cmq>	Tp	F _{yk} <daN/cmq>	F _{yd} <daN/cmq>
3R		30.00	60.00	5.80	C30/37	307.10	20.59	174.02	13.73	B450C	4500.00	3913.04

Stato limite ultimo - Verifiche a flessione/pressoflessione

Xg <m>	CC	TCC	El	Sez.	X <cm>	N <daN>	My <daNm>	My ver. <daNm>	Mz <daNm>	Mz ver. <daNm>	Nu <daN>	MRdy <daNm>	MRdz <daNm>	α <grad>	ε _y	Sic.
0.00	29(e)	SLU	1	3	0.00	-21460.90	236.70	-445.31	-6488.00	-6488.00	-21460.90	-969.65	-12602.40	269.38	8.33	1.944
0.00	29(e)	SLU	1	3	0.00	-21460.90	236.70	-445.31	-6488.00	-6488.00	-21460.90	-969.65	-12602.40	269.38	8.33	1.944
3.65	29	SLU	1	3	365.00	-19325.70	-440.42		8182.56		-19325.70	-636.98	12356.90	90.53	8.48	1.510

Stato limite elastico - Verifiche a flessione/pressoflessione

Xg <m>	CC	TCC	El	Sez.	X <cm>	N <daN>	My <daNm>	My ver. <daNm>	Mz <daNm>	Mz ver. <daNm>	Nu <daN>	M'ydy <daNm>	M'ydz <daNm>	α <grad>	ε _y	Sic.
0.00	22	SND	1	3	0.00	-12753.80	-1731.36		-6971.22		-12753.80	-2859.40	-11603.90	267.54	8.12	1.664
0.00	22	SND	1	3	0.00	-12753.80	-1731.36		-6971.22		-12753.80	-2859.40	-11603.90	267.54	8.12	1.664
3.65	19	SND	1	3	365.00	-10772.10	751.56		7738.16		-10772.10	1093.24	10528.20	89.30	9.29	1.361

Stato limite d'esercizio - Verifiche tensionali

Relazione di calcolo

Xg <m>	CC	TCC	El	Sez.	X <cm>	N <daN>	Mz <daNm>	My <daNm>	AfT <cmq>	AfC <cmq>	σ _c <daN/cmq>	σ _f <daN/cmq>
0.00	38	SLE R	1	3	0.00	-15314.50	-3181.99	2719.14	12.57	12.57	71.64	970.17
0.00	31	SLE R	1	3	0.00	-15540.80	-4551.32	172.18	12.57	12.57	70.87	1173.48
0.00	28	SLE Q	1	3	0.00	-14039.80	-2784.04	180.18	12.57	12.57	43.95	563.56
0.00	38	SLE R	1	3	0.00	-15314.50	-3181.99	2719.14	12.57	12.57	71.64	970.17
0.00	31	SLE R	1	3	0.00	-15540.80	-4551.32	172.18	12.57	12.57	70.87	1173.48
0.00	28	SLE Q	1	3	0.00	-14039.80	-2784.04	180.18	12.57	12.57	43.95	563.56
3.65	38	SLE R	1	3	365.00	-13672.00	5362.93	-1276.49	12.57	12.57	93.48	1685.48
3.65	31	SLE R	1	3	365.00	-13898.30	5835.91	-319.43	12.57	12.57	91.57	1744.03
3.65	28	SLE Q	1	3	365.00	-12397.30	4692.23	-323.11	12.57	12.57	74.31	1363.05

Stato limite d'esercizio - Verifiche a fessurazione

Xg <m>	CC	TCC	El	Sez.	X <cm>	N <daN>	My <daNm>	Mz <daNm>	c <mm>	s <mm>	K3	s _m <mm>	φ	A _s <cmq>	A _{s eff} <cmq>	σ _s <daN/cmq>	σ _{sr} <daN/cmq>	ε _m	Wk <mm>
0.00	28	SLE Q	1	3	0.00	-14039.80	180.18	-2784.04	49.00	160.67	0.13	221.00	20.00	12.57	1141.85	563.56	1020.74	0.11	0.04
0.00	28	SLE Q	1	3	0.00	-14039.80	180.18	-2784.04	49.00	160.67	0.13	221.00	20.00	12.57	1141.85	563.56	1020.74	0.11	0.04
3.65	28	SLE Q	1	3	365.00	-12397.30	-323.11	4692.23	49.00	160.67	0.13	220.97	20.00	12.57	1141.54	1363.05	1262.54	0.38	0.14

Staffe - Verifiche armatura

X0 <m>	X1 <m>	Staff.	Br _y	Br _z	CC	TCC	bw _y <mm>	Vsdu _y <daN>	ctgθ _y	VRsd _y <daN>	VRcd _y <daN>	bw _z <mm>	Vsdu _z <daN>	ctgθ _z	VRsd _z <daN>	VRcd _z <daN>	Sic. T
0.00	0.61	ø8/ 6	2	2	36	SLU	0.60	3262.21	2.50	35551.90	41680.10	0.30	2720.52	1.80	57548.70	57548.70	10.90
0.00	0.61	ø8/ 6	2	2	29	SLU	0.60	4977.45	2.50	35551.90	41722.50	0.30	185.51	1.80	57586.80	57586.80	7.14
0.00	0.61	ø8/ 6	2	2	13	SND	0.60	2634.51	2.50	35551.90	40916.40	0.30	3664.85	1.78	56855.00	56855.00	13.49
0.00	0.61	ø8/ 6	2	2	10	SND	0.60	4053.66	2.50	35551.90	40957.70	0.30	928.98	1.78	56892.70	56892.70	8.77
0.00	0.61	ø8/ 6	2	2	7	SND	0.60	4053.66	2.50	35551.90	41000.00	0.30	1076.45	1.78	56931.30	56931.30	8.77
0.61	3.04	ø8/18	2	2	36	SLU	0.60	3262.21	2.50	11850.60	41635.80	0.30	2355.52	2.50	26602.50	46732.30	3.63
0.61	3.04	ø8/18	2	2	29	SLU	0.60	4658.08	2.50	11850.60	41678.10	0.30	185.51	2.50	26602.50	46779.80	2.54
0.61	3.04	ø8/18	2	2	13	SND	0.60	2634.51	2.50	11850.60	40882.30	0.30	3664.85	2.50	26602.50	45886.60	4.50
0.61	3.04	ø8/18	2	2	10	SND	0.60	4053.66	2.50	11850.60	40923.60	0.30	928.98	2.50	26602.50	45932.90	2.92
0.61	3.04	ø8/18	2	2	7	SND	0.60	4053.66	2.50	11850.60	40965.80	0.30	1076.45	2.50	26602.50	45980.30	2.92
3.04	3.65	ø8/12	2	2	36	SLU	0.60	3262.21	2.50	17776.00	41458.30	0.30	895.52	2.50	39903.70	46533.10	5.45
3.04	3.65	ø8/12	2	2	29	SLU	0.60	3380.58	2.50	17776.00	41500.60	0.30	185.51	2.50	39903.70	46580.60	5.26
3.04	3.65	ø8/12	2	2	13	SND	0.60	2634.50	2.50	17776.00	40745.80	0.30	3664.85	2.50	39903.70	45733.40	6.75
3.04	3.65	ø8/12	2	2	10	SND	0.60	4053.66	2.50	17776.00	40787.10	0.30	928.98	2.50	39903.70	45779.70	4.39
3.04	3.65	ø8/12	2	2	7	SND	0.60	4053.66	2.50	17776.00	40829.30	0.30	1076.45	2.50	39903.70	45827.10	4.39

Pilastrata n. 5

Nodi: 5 105

Caratteristiche delle sezioni e dei materiali utilizzati

Sez. Tipo	B <cm>	H <cm>	Cf <cm>	Cls	Fck <daN/cmq>	Fctk <daN/cmq>	Fcd <daN/cmq>	Fctd <daN/cmq>	TP	Fyk <daN/cmq>	Fyd <daN/cmq>
3R	30.00	60.00	5.80	C30/37	307.10	20.59	174.02	13.73	B450C	4500.00	3913.04

Stato limite ultimo - Verifiche a flessione/pressoflessione

Xg <m>	CC	TCC	El	Sez.	X <cm>	N <daN>	My <daNm>	My ver. <daNm>	Mz <daNm>	Mz ver. <daNm>	Nu <daN>	MRdy <daNm>	MRdz <daNm>	α <grad>	ε _y	Sic.
0.00	29(e)	SLU	1	3	0.00	-20745.10	-361.20	-430.46	-6318.93	-6318.93	-20745.10	-633.46	-12485.80	269.47	8.37	1.974
0.00	29(e)	SLU	1	3	0.00	-20745.10	-361.20	-430.46	-6318.93	-6318.93	-20745.10	-633.46	-12485.80	269.47	8.37	1.974
3.65	29	SLU	1	3	365.00	-18609.80	599.31		7904.56		-18609.80	977.66	12344.20	89.38	8.55	1.562

Stato limite elastico - Verifiche a flessione/pressoflessione

Xg <m>	CC	TCC	El	Sez.	X <cm>	N <daN>	My <daNm>	My ver. <daNm>	Mz <daNm>	Mz ver. <daNm>	Nu <daN>	M'ydy <daNm>	M'ydz <daNm>	α <grad>	ε _y	Sic.
0.00	22	SND	1	3	0.00	-12515.20	-2197.90		-7170.05		-12515.20	-3459.89	-12006.60	267.19	8.03	1.666
0.00	22	SND	1	3	0.00	-12515.20	-2197.90		-7170.05		-12515.20	-3459.89	-12006.60	267.19	8.03	1.666
3.65	19	SND	1	3	365.00	-10347.00	-1177.58		7786.20		-10347.00	-1575.30	10685.80	91.41	8.86	1.372

Stato limite d'esercizio - Verifiche tensionali

Xg <m>	CC	TCC	El	Sez.	X <cm>	N <daN>	Mz <daNm>	My <daNm>	AfT <cmq>	AfC <cmq>	σ _c <daN/cmq>	σ _f <daN/cmq>
0.00	31	SLE R	1	3	0.00	-15029.00	-4431.15	-260.88	12.57	12.57	69.85	1156.71
0.00	28	SLE Q	1	3	0.00	-13584.80	-2684.90	-251.31	12.57	12.57	43.04	550.03
0.00	31	SLE R	1	3	0.00	-15029.00	-4431.15	-260.88	12.57	12.57	69.85	1156.71
0.00	28	SLE Q	1	3	0.00	-13584.80	-2684.90	-251.31	12.57	12.57	43.04	550.03
3.65	31	SLE R	1	3	365.00	-13386.50	5638.01	433.65	12.57	12.57	89.66	1701.19
3.65	28	SLE Q	1	3	365.00	-11942.30	4525.13	427.23	12.57	12.57	72.76	1328.55

Stato limite d'esercizio - Verifiche a fessurazione

Xg <m>	CC	TCC	El	Sez.	X <cm>	N <daN>	My <daNm>	Mz <daNm>	c <mm>	s <mm>	K3	s _m <mm>	φ	A _s <cmq>	A _{s eff} <cmq>	σ _s <daN/cmq>	σ _{sr} <daN/cmq>	ε _m	Wk <mm>
0.00	28	SLE Q	1	3	0.00	-13584.80	-251.31	-2684.90	49.00	160.67	0.13	221.00	20.00	12.57	1141.85	550.03	1015.15	0.11	0.04
0.00	28	SLE Q	1	3	0.00	-13584.80	-251.31	-2684.90	49.00	160.67	0.13	221.00	20.00	12.57	1141.85	550.03	1015.15	0.11	0.04
3.65	28	SLE Q	1	3	365.00	-11942.30	427.23	4525.13	49.00	160.67	0.13	220.97	20.00	12.57	1141.54	1328.55	1257.88	0.36	0.13

Staffe - Verifiche armatura

X0	X1	Staff.	Br _y	Br _z	CC	TCC	bw _y	Vsdu _y	ctgθ _y	VRsd _y	VRcd _y	bw _z	Vsdu _z	ctgθ _z	VRsd _z	VRcd _z	Sic. T
----	----	--------	-----------------	-----------------	----	-----	-----------------	-------------------	-------------------	-------------------	-------------------	-----------------	-------------------	-------------------	-------------------	-------------------	--------

Relazione di calcolo

<m>	<m>						<m>	<daN>		<daN>	<daN>	<m>	<daN>		<daN>	<daN>	
0.00	0.61	ø8/ 6	2	2	36	SLU	0.60	3143.50	2.50	35551.90	41639.10	0.30	2302.30	1.80	57511.60	57511.60	11.31
0.00	0.61	ø8/ 6	2	2	29	SLU	0.60	4854.97	2.50	35551.90	41633.20	0.30	263.15	1.80	57506.30	57506.30	7.32
0.00	0.61	ø8/ 6	2	2	1	SND	0.60	2474.33	2.50	35551.90	40889.40	0.30	3824.97	1.78	56830.30	56830.30	14.37
0.00	0.61	ø8/ 6	2	2	22	SND	0.60	4097.60	2.50	35551.90	40903.50	0.30	987.36	1.78	56843.20	56843.20	8.68
0.00	0.61	ø8/ 6	2	2	19	SND	0.60	4097.60	2.50	35551.90	40969.10	0.30	1082.21	1.78	56903.10	56903.10	8.68
0.61	3.04	ø8/18	2	2	36	SLU	0.60	3143.50	2.50	11850.60	41594.70	0.30	1937.30	2.50	26602.50	46686.20	3.77
0.61	3.04	ø8/18	2	2	29	SLU	0.60	4535.60	2.50	11850.60	41588.90	0.30	263.15	2.50	26602.50	46679.60	2.61
0.61	3.04	ø8/18	2	2	1	SND	0.60	2474.33	2.50	11850.60	40855.20	0.30	3824.97	2.50	26602.50	45856.20	4.79
0.61	3.04	ø8/18	2	2	22	SND	0.60	4097.60	2.50	11850.60	40869.40	0.30	987.36	2.50	26602.50	45872.10	2.89
0.61	3.04	ø8/18	2	2	19	SND	0.60	4097.60	2.50	11850.60	40935.00	0.30	1082.21	2.50	26602.50	45945.70	2.89
3.04	3.65	ø8/12	2	2	36	SLU	0.60	3143.50	2.50	17776.00	41417.30	0.30	477.31	2.50	39903.70	46487.00	5.65
3.04	3.65	ø8/12	2	2	29	SLU	0.60	3258.10	2.50	17776.00	41411.40	0.30	263.15	2.50	39903.70	46480.40	5.46
3.04	3.65	ø8/12	2	2	1	SND	0.60	2474.33	2.50	17776.00	40718.70	0.30	3824.97	2.50	39903.70	45703.00	7.18
3.04	3.65	ø8/12	2	2	22	SND	0.60	4097.60	2.50	17776.00	40732.90	0.30	987.36	2.50	39903.70	45718.90	4.34
3.04	3.65	ø8/12	2	2	19	SND	0.60	4097.60	2.50	17776.00	40798.50	0.30	1082.21	2.50	39903.70	45792.50	4.34

Pilastrata n. 6

Nodi: 6 106

Caratteristiche delle sezioni e dei materiali utilizzati

Sez.	Typo	B	H	Cf	Cls	Fck	Fctk	Fcd	Fctd	TP	Fyk	Fyd
		<cm>	<cm>	<cm>		<daN/cm²>	<daN/cm²>	<daN/cm²>	<daN/cm²>		<daN/cm²>	<daN/cm²>
3R		30.00	60.00	5.80	C30/37	307.10	20.59	174.02	13.73	B450C	4500.00	3913.04

Stato limite ultimo - Verifiche a flessione/pressoflessione

Xg	CC	TCC	El	Sez.	X	N	My	My ver.	Mz	Mz ver.	Nu	MRdy	MRdz	α	ε _y	Sic.
<m>					<cm>	<daN>	<daNm>	<daNm>	<daNm>	<daNm>	<daN>	<daNm>	<daNm>	<grad>		
0.00	29(e)	SLU	1	3	0.00	-18678.90	138.88	387.59	-5677.13	-5677.13	-18678.90	638.55	-12298.60	270.53	8.54	2.164
0.00	29(e)	SLU	1	3	0.00	-18678.90	138.88	387.59	-5677.13	-5677.13	-18678.90	638.55	-12298.60	270.53	8.54	2.164
3.65	29(e)	SLU	1	3	365.00	-16543.70	-270.32	-343.28	6827.89	6827.89	-16543.70	-643.76	12104.40	90.53	8.70	1.773

Stato limite elastico - Verifiche a flessione/pressoflessione

Xg	CC	TCC	El	Sez.	X	N	My	My ver.	Mz	Mz ver.	Nu	M'ydy	M'ydz	α	ε _y	Sic.
<m>					<cm>	<daN>	<daNm>	<daNm>	<daNm>	<daNm>	<daN>	<daNm>	<daNm>	<grad>		
0.00	22	SND	1	3	0.00	-11065.50	-1855.63		-6972.03		-11065.50	-2914.02	-11587.10	267.54	8.27	1.656
0.00	22	SND	1	3	0.00	-11065.50	-1855.63		-6972.03		-11065.50	-2914.02	-11587.10	267.54	8.27	1.656
3.65	22	SND	1	3	365.00	-9423.04	868.80		7244.07		-9423.04	1106.93	10499.70	89.30	9.41	1.447

Stato limite d'esercizio - Verifiche tensionali

Xg	CC	TCC	El	Sez.	X	N	Mz	My	AfT	AfC	σ _c	σ _f	
<m>					<cm>	<daN>	<daNm>	<daNm>	<cmq>	<cmq>	<daN/cm²>	<daN/cm²>	
0.00	38	SLE	R	1	3	0.00	-13276.00	-2620.91	2675.00	12.57	12.57	62.53	833.95
0.00	31	SLE	R	1	3	0.00	-13552.20	-3973.61	101.41	12.57	12.57	61.42	1019.67
0.00	28	SLE	Q	1	3	0.00	-12270.30	-2299.68	111.20	12.57	12.57	35.96	438.73
0.00	38	SLE	R	1	3	0.00	-13276.00	-2620.91	2675.00	12.57	12.57	62.53	833.95
0.00	31	SLE	R	1	3	0.00	-13552.20	-3973.61	101.41	12.57	12.57	61.42	1019.67
0.00	28	SLE	Q	1	3	0.00	-12270.30	-2299.68	111.20	12.57	12.57	35.96	438.73
3.65	38	SLE	R	1	3	365.00	-11633.50	4417.28	-1199.73	12.57	12.57	78.37	1391.83
3.65	31	SLE	R	1	3	365.00	-11909.70	4870.23	-196.36	12.57	12.57	75.77	1435.24
3.65	28	SLE	Q	1	3	365.00	-10627.80	3875.88	-203.17	12.57	12.57	60.80	1103.72

Stato limite d'esercizio - Verifiche a fessurazione

Xg	CC	TCC	El	Sez.	X	N	My	Mz	c	s	K3	s _m	φ	A _c	A _{c,eff}	σ _c	σ _s	ε _m	Wk	
<m>					<cm>	<daN>	<daNm>	<daNm>	<mm>	<mm>		<mm>		<cm²>	<cm²>	<daN/cm²>	<daN/cm²>		<mm>	
0.00	28	SLE	Q	1	3	0.00	-12270.30	111.20	-2299.68	49.00	160.67	0.13	221.00	20.00	12.57	1141.85	438.73	991.56	0.09	0.03
0.00	28	SLE	Q	1	3	0.00	-12270.30	111.20	-2299.68	49.00	160.67	0.13	221.00	20.00	12.57	1141.85	438.73	991.56	0.09	0.03
3.65	28	SLE	Q	1	3	365.00	-10627.80	-203.17	3875.88	49.00	160.67	0.13	220.97	20.00	12.57	1141.54	1103.72	1256.29	0.21	0.08

Staffe - Verifiche armatura

X0	X1	Staff.	Br _y	Br _z	CC	TCC	bw _y	Vsdu _y	ctgθ _y	VRsd _y	VRcd _y	bw _z	Vsdu _z	ctgθ _z	VRsd _z	VRcd _z	Sic. T
<m>	<m>						<cm>	<daN>		<daN>	<daN>	<cm>	<daN>		<daN>	<daN>	
0.00	0.61	ø8/ 6	2	2	36	SLU	0.60	2683.98	2.50	35551.90	41324.00	0.30	2677.09	1.79	57226.30	57226.30	13.25
0.00	0.61	ø8/ 6	2	2	29	SLU	0.60	4384.16	2.50	35551.90	41375.70	0.30	112.11	1.79	57273.10	57273.10	8.11
0.00	0.61	ø8/ 6	2	2	13	SND	0.60	2485.25	2.50	35551.90	40721.50	0.30	3810.73	1.78	56676.60	56676.60	14.31
0.00	0.61	ø8/ 6	2	2	22	SND	0.60	3894.82	2.50	35551.90	40755.20	0.30	746.43	1.78	56707.50	56707.50	9.13
0.00	0.61	ø8/ 6	2	2	19	SND	0.60	3894.82	2.50	35551.90	40800.00	0.30	1371.30	1.78	56748.50	56748.50	9.13
0.61	3.04	ø8/18	2	2	36	SLU	0.60	2683.98	2.50	11850.60	41279.70	0.30	2312.09	2.50	26602.50	46332.60	4.42
0.61	3.04	ø8/18	2	2	29	SLU	0.60	4064.78	2.50	11850.60	41331.30	0.30	112.11	2.50	26602.50	46390.50	2.92
0.61	3.04	ø8/18	2	2	13	SND	0.60	2485.25	2.50	11850.60	40687.40	0.30	3810.73	2.50	26602.50	45667.80	4.77
0.61	3.04	ø8/18	2	2	22	SND	0.60	3894.82	2.50	11850.60	40721.10	0.30	746.43	2.50	26602.50	45705.60	3.04
0.61	3.04	ø8/18	2	2	19	SND	0.60	3894.82	2.50	11850.60	40765.80	0.30	1371.30	2.50	26602.50	45755.80	3.04
3.04	3.65	ø8/12	2	2	36	SLU	0.60	2683.98	2.50	17776.00	41102.20	0.30	852.09	2.50	39903.70	46133.40	6.62
3.04	3.65	ø8/12	2	2	29	SLU	0.60	2787.28	2.50	17776.00	41153.90	0.30	112.11	2.50	39903.70	46191.40	6.38
3.04	3.65	ø8/12	2	2	13	SND	0.60	2485.25	2.50	17776.00	40550.90	0.30	3810.73	2.50	39903.70	45514.60	7.15
3.04	3.65	ø8/12	2	2	22	SND	0.60	3894.82	2.50	17776.00	40584.60	0.30	746.43	2.50	39903.70	45552.40	4.56
3.04	3.65	ø8/12	2	2	19	SND	0.60	3894.82	2.50	17776.00	40629.30	0.30	1371.30	2.50	39903.70	45602.60	4.56

Pilastrata n. 7

Nodi: 7 107

Caratteristiche delle sezioni e dei materiali utilizzati

Sez.	Tipo	B <cm>	H <cm>	Cf <cm>	Cls	Fck <daN/cm²>	Fctk <daN/cm²>	Fcd <daN/cm²>	Fctd <daN/cm²>	TP	Fyk <daN/cm²>	Fyd <daN/cm²>
3R		30.00	60.00	5.80	C30/37	307.10	20.59	174.02	13.73	B450C	4500.00	3913.04

Stato limite ultimo - Verifiche a flessione/pressoflessione

Xg <m>	CC	TCC	El	Sez.	X <cm>	N <daN>	My <daNm>	My ver. <daNm>	Mz <daNm>	Mz ver. <daNm>	Nu <daN>	MRdy <daNm>	MRdz <daNm>	α <grad>	ε _y	Sic.
0.00	29	SLU	1	3	0.00	-12839.40	8140.64		-307.39		-12839.40	29516.40	-1345.78	348.75	7.02	3.627
0.00	29	SLU	1	3	0.00	-12839.40	8140.64		-307.39		-12839.40	29516.40	-1345.78	348.75	7.02	3.627
3.65	29	SLU	1	3	365.00	-10704.20	-8532.85		511.01		-10704.20	-29176.70	1369.32	168.75	7.18	3.417

Stato limite elastico - Verifiche a flessione/pressoflessione

Xg <m>	CC	TCC	El	Sez.	X <cm>	N <daN>	My <daNm>	My ver. <daNm>	Mz <daNm>	Mz ver. <daNm>	Nu <daN>	M'ydy <daNm>	M'ydz <daNm>	α <grad>	ε _y	Sic.
0.00	19	SND	1	3	0.00	-4802.01	18094.10		-864.21		-4802.01	19909.90	-1010.52	348.75	7.63	1.101
0.00	19	SND	1	3	0.00	-4802.01	18094.10		-864.21		-4802.01	19909.90	-1010.52	348.75	7.63	1.101
3.65	19	SND	1	3	365.00	-3159.51	-12176.70		824.79		-3159.51	-19551.00	1015.35	168.75	7.76	1.604

Stato limite d'esercizio - Verifiche tensionali

Xg <m>	CC	TCC	El	Sez.	X <cm>	N <daN>	Mz <daNm>	My <daNm>	AfT <cmq>	AfC <cmq>	σ _c <daN/cm²>	σ _s <daN/cm²>
0.00	31	SLE R	1	3	0.00	-9300.13	-222.57	5617.18	18.85	12.57	44.81	833.18
0.00	28	SLE Q	1	3	0.00	-8115.74	-219.53	2413.71	15.71	15.71	20.89	242.66
0.00	31	SLE R	1	3	0.00	-9300.13	-222.57	5617.18	18.85	12.57	44.81	833.18
0.00	28	SLE Q	1	3	0.00	-8115.74	-219.53	2413.71	15.71	15.71	20.89	242.66
3.65	31	SLE R	1	3	365.00	-7657.63	370.23	-6019.12	18.85	12.57	50.15	995.78
3.65	28	SLE Q	1	3	365.00	-6473.24	367.59	-4197.34	18.85	12.57	36.74	671.83

Stato limite d'esercizio - Verifiche a fessurazione

Xg <m>	CC	TCC	El	Sez.	X <cm>	N <daN>	My <daNm>	Mz <daNm>	c <mm>	s <mm>	K3	s _{sm} <mm>	φ	A _s <cm²>	A _{c eff} <cm²>	σ _s <daN/cm²>	σ _{sr} <daN/cm²>	ε _{sm}	Wk <mm>
0.00	28	SLE Q	1	3	0.00	-8115.74	2413.71	-219.53	49.00	120.50	0.13	195.04	20.00	15.71	1145.71	241.81	946.73	0.05	0.02
0.00	28	SLE Q	1	3	0.00	-8115.74	2413.71	-219.53	49.00	120.50	0.13	195.04	20.00	15.71	1145.71	241.81	946.73	0.05	0.02
3.65	28	SLE Q	1	3	365.00	-6473.24	-4197.34	367.59	49.00	120.50	0.13	190.62	20.00	18.85	1291.59	671.83	1253.46	0.13	0.04

Staffe - Verifiche armatura

X0 <m>	X1 <m>	Staff.	Br _y	Br _z	CC	TCC	bw _{r,y} <cm>	Vsdu _{r,y} <daN>	ctgθ _{r,y}	VRsd _{r,y} <daN>	VRcd _{r,y} <daN>	bw _{r,z} <cm>	Vsdu _{r,z} <daN>	ctgθ _{r,z}	VRsd _{r,z} <daN>	VRcd _{r,z} <daN>	Sic. T
0.00	0.61	ø8/ 6	2	2	29	SLU	0.60	224.22	2.50	35551.90	40647.70	0.30	5047.14	1.77	56608.90	56608.90	11.22
0.00	0.61	ø8/ 6	2	2	36	SLU	0.60	835.84	2.50	35551.90	40504.20	0.30	2812.21	1.77	56477.10	56477.00	20.08
0.00	0.61	ø8/ 6	2	2	22	SND	0.60	229.37	2.50	35551.90	40487.10	0.30	8293.38	1.77	56461.40	56461.40	6.81
0.00	0.61	ø8/ 6	2	2	1	SND	0.60	1380.45	2.50	35551.90	40279.30	0.30	2732.26	1.76	56269.80	56269.80	20.59
0.61	3.04	ø8/18	2	2	29	SLU	0.60	224.22	2.50	11850.60	40603.40	0.30	4887.45	2.50	26602.50	45573.50	5.44
0.61	3.04	ø8/18	2	2	36	SLU	0.60	653.34	2.50	11850.60	40459.80	0.30	2812.21	2.50	26602.50	45412.40	9.46
0.61	3.04	ø8/18	2	2	22	SND	0.60	229.37	2.50	11850.60	40453.00	0.30	8293.38	2.50	26602.50	45404.70	3.21
0.61	3.04	ø8/18	2	2	19	SND	0.60	462.73	2.50	11850.60	40540.20	0.30	8293.38	2.50	26602.50	45502.60	3.21
0.61	3.04	ø8/18	2	2	1	SND	0.60	1380.45	2.50	11850.60	40245.20	0.30	2732.26	2.50	26602.50	45171.40	8.58
3.04	3.65	ø8/12	2	2	29	SLU	0.60	224.22	2.50	17776.00	40425.90	0.30	4248.70	2.50	39903.70	45374.30	9.39
3.04	3.65	ø8/12	2	2	36	SLU	0.60	259.16	2.50	17776.00	40282.40	0.30	2812.21	2.50	39903.70	45213.20	14.19
3.04	3.65	ø8/12	2	2	22	SND	0.60	229.37	2.50	17776.00	40316.50	0.30	8293.38	2.50	39903.70	45251.50	4.81
3.04	3.65	ø8/12	2	2	19	SND	0.60	462.73	2.50	17776.00	40403.70	0.30	8293.38	2.50	39903.70	45349.40	4.81
3.04	3.65	ø8/12	2	2	1	SND	0.60	1380.45	2.50	17776.00	40108.70	0.30	2732.26	2.50	39903.70	45018.20	12.88

Pilastrata n. 8

Nodi: 8 108

Caratteristiche delle sezioni e dei materiali utilizzati

Sez.	Tipo	B <cm>	H <cm>	Cf <cm>	Cls	Fck <daN/cm²>	Fctk <daN/cm²>	Fcd <daN/cm²>	Fctd <daN/cm²>	TP	Fyk <daN/cm²>	Fyd <daN/cm²>
3R		30.00	60.00	5.80	C30/37	307.10	20.59	174.02	13.73	B450C	4500.00	3913.04

Stato limite ultimo - Verifiche a flessione/pressoflessione

Xg <m>	CC	TCC	El	Sez.	X <cm>	N <daN>	My <daNm>	My ver. <daNm>	Mz <daNm>	Mz ver. <daNm>	Nu <daN>	MRdy <daNm>	MRdz <daNm>	α <grad>	ε _y	Sic.
0.00	36	SLU	1	3	0.00	-11018.60	-3362.30		1545.41		-11018.60	-20918.60	9367.55	120.94	4.57	6.194
0.00	36	SLU	1	3	0.00	-11018.60	-3362.30		1545.41		-11018.60	-20918.60	9367.55	120.94	4.57	6.194
3.65	36	SLU	1	3	365.00	-8883.35	5846.89		-893.01		-8883.35	27088.60	-3931.77	331.88	5.99	4.628

Stato limite elastico - Verifiche a flessione/pressoflessione

Xg <m>	CC	TCC	El	Sez.	X <cm>	N <daN>	My <daNm>	My ver. <daNm>	Mz <daNm>	Mz ver. <daNm>	Nu <daN>	M'ydy <daNm>	M'ydz <daNm>	α <grad>	ε _y	Sic.
-----------	----	-----	----	------	-----------	------------	--------------	-------------------	--------------	-------------------	-------------	-----------------	-----------------	-------------	----------------	------

Relazione di calcolo

0.00	19	SND	1	3	0.00	-3970.68	-17069.20		-802.45		-3970.68	-19755.20	-1014.42	191.25	7.70	1.158
0.00	19	SND	1	3	0.00	-3970.68	-17069.20		-802.45		-3970.68	-19755.20	-1014.42	191.25	7.70	1.158
3.65	19	SND	1	3	365.00	-2328.18	11378.70		-720.60		-2328.18	19427.10	-1020.62	348.75	7.83	1.706

Stato limite d'esercizio - Verifiche tensionali

Xg <m>	CC	TCC	El	Sez.	X <cm>	N <daN>	Mz <daNm>	My <daNm>	AfT <cmq>	AfC <cmq>	σc <daN/cmq>	σf <daN/cmq>
0.00	38	SLE R	1	3	0.00	-8023.60	1040.90	-2414.34	18.85	12.57	33.02	404.00
0.00	28	SLE Q	1	3	0.00	-7289.28	131.56	-2177.91	15.71	15.71	17.91	210.45
0.00	38	SLE R	1	3	0.00	-8023.60	1040.90	-2414.34	18.85	12.57	33.02	404.00
0.00	28	SLE Q	1	3	0.00	-7289.28	131.56	-2177.91	15.71	15.71	17.91	210.45
3.65	38	SLE R	1	3	365.00	-6381.10	-613.43	4198.43	18.85	12.57	40.70	717.76
3.65	28	SLE Q	1	3	365.00	-5646.78	-224.12	3787.28	18.85	12.57	31.41	595.49

Stato limite d'esercizio - Verifiche a fessurazione

Xg <m>	CC	TCC	El	Sez.	X <cm>	N <daN>	My <daNm>	Mz <daNm>	c <mm>	s <mm>	K3	s _{sm} <mm>	φ	A _s <cmq>	A _{c eff} <cmq>	σ _s <daN/cmq>	σ _{sr} <daN/cmq>	ε _{sm}	Wk <mm>
0.00	28	SLE Q	1	3	0.00	-7289.28	-2177.91	131.56	49.00	120.50	0.13	196.12	20.00	12.57	930.10	209.46	975.86	0.04	0.01
0.00	28	SLE Q	1	3	0.00	-7289.28	-2177.91	131.56	49.00	120.50	0.13	196.12	20.00	12.57	930.10	209.46	975.86	0.04	0.01
3.65	28	SLE Q	1	3	365.00	-5646.78	3787.28	-224.12	49.00	120.50	0.13	190.62	20.00	18.85	1291.59	595.49	1295.16	0.12	0.04

Staffe - Verifiche armatura

X0 <m>	X1 <m>	Staff.	Br _y	Br _z	CC	TCC	bw _y <cm>	Vsdu _y <daN>	ctgθ _y	VRsd _y <daN>	VRcd _y <daN>	bw _z <cm>	Vsdu _z <daN>	ctgθ _z	VRsd _z <daN>	VRcd _z <daN>	Sic. T
0.00	0.61	ø8/ 6	2	2	25	SLU	0.60	136.88	2.50	35551.90	40375.20	0.30	2523.07	1.77	56358.30	56358.30	22.34
0.00	0.61	ø8/ 6	2	2	36	SLU	0.60	1215.56	2.50	35551.90	40420.80	0.30	2523.07	1.77	56400.30	56400.30	22.35
0.00	0.61	ø8/ 6	2	2	22	SND	0.60	330.26	2.50	35551.90	40341.80	0.30	7793.95	1.76	56327.50	56327.50	7.23
0.00	0.61	ø8/ 6	2	2	4	SND	0.60	1403.56	2.50	35551.90	39991.20	0.30	751.20	1.75	56003.20	56003.20	25.33
0.00	0.61	ø8/ 6	2	2	1	SND	0.60	1409.85	2.50	35551.90	40231.10	0.30	2483.78	1.76	56225.30	56225.30	22.64
0.61	3.04	ø8/18	2	2	25	SLU	0.60	136.88	2.50	11850.60	40330.80	0.30	2523.07	2.50	26602.50	45267.60	10.54
0.61	3.04	ø8/18	2	2	36	SLU	0.60	1033.06	2.50	11850.60	40376.40	0.30	2523.07	2.50	26602.50	45318.70	10.54
0.61	3.04	ø8/18	2	2	22	SND	0.60	330.26	2.50	11850.60	40307.70	0.30	7793.94	2.50	26602.50	45241.60	3.41
0.61	3.04	ø8/18	2	2	19	SND	0.60	416.35	2.50	11850.60	40428.90	0.30	7793.94	2.50	26602.50	45377.70	3.41
0.61	3.04	ø8/18	2	2	4	SND	0.60	1403.56	2.50	11850.60	39957.10	0.30	751.20	2.50	26602.50	44848.10	8.44
0.61	3.04	ø8/18	2	2	1	SND	0.60	1409.85	2.50	11850.60	40197.00	0.30	2483.78	2.50	26602.50	45117.40	8.41
3.04	3.65	ø8/12	2	2	25	SLU	0.60	136.88	2.50	17776.00	40153.40	0.30	2523.07	2.50	39903.70	45068.40	15.82
3.04	3.65	ø8/12	2	2	36	SLU	0.60	303.06	2.50	17776.00	40199.00	0.30	2523.07	2.50	39903.70	45119.60	15.82
3.04	3.65	ø8/12	2	2	22	SND	0.60	330.26	2.50	17776.00	40171.20	0.30	7793.94	2.50	39903.70	45088.40	5.12
3.04	3.65	ø8/12	2	2	19	SND	0.60	416.35	2.50	17776.00	40292.40	0.30	7793.94	2.50	39903.70	45224.50	5.12
3.04	3.65	ø8/12	2	2	4	SND	0.60	1403.55	2.50	17776.00	39820.60	0.30	751.20	2.50	39903.70	44694.90	12.66
3.04	3.65	ø8/12	2	2	1	SND	0.60	1409.85	2.50	17776.00	40060.50	0.30	2483.78	2.50	39903.70	44964.10	12.61

Pilastrata n. 9

Nodi: 9 109

Caratteristiche delle sezioni e dei materiali utilizzati

Sez.	Tipo	B <cm>	H <cm>	Cf <cm>	Cls	Fck <daN/cmq>	Fctk <daN/cmq>	Fcd <daN/cmq>	Fctd <daN/cmq>	Tp	Fyk <daN/cmq>	Fyd <daN/cmq>
3R		30.00	60.00	5.80	C30/37	307.10	20.59	174.02	13.73	B450C	4500.00	3913.04

Stato limite ultimo - Verifiche a flessione/pressoflessione

Xg <m>	CC	TCC	El	Sez.	X <cm>	N <daN>	My <daNm>	My ver. <daNm>	Mz <daNm>	Mz ver. <daNm>	Nu <daN>	MRdy <daNm>	MRdz <daNm>	α <grad>	ε _y	Sic.
0.00	36	SLU	1	3	0.00	-17902.30	3929.11		3459.28		-17902.30	12443.00	11302.50	74.53	4.93	3.211
0.00	36	SLU	1	3	0.00	-17902.30	3929.11		3459.28		-17902.30	12443.00	11302.50	74.53	4.93	3.211
3.65	25 (e)	SLU	1	3	365.00	-15761.10	-142.76	-327.04	-5830.27	-5830.27	-15761.10	-646.13	-12031.40	269.47	8.78	2.063

Stato limite elastico - Verifiche a flessione/pressoflessione

Xg <m>	CC	TCC	El	Sez.	X <cm>	N <daN>	My <daNm>	My ver. <daNm>	Mz <daNm>	Mz ver. <daNm>	Nu <daN>	M'ydy <daNm>	M'ydz <daNm>	α <grad>	ε _y	Sic.
0.00	22	SND	1	3	0.00	-10679.30	2036.79		6702.00		-10679.30	3460.52	11753.70	87.19	8.18	1.749
0.00	22	SND	1	3	0.00	-10679.30	2036.79		6702.00		-10679.30	3460.52	11753.70	87.19	8.18	1.749
3.65	22	SND	1	3	365.00	-9036.75	-1203.14		-6931.11		-9036.75	-1899.20	-10698.80	268.42	8.88	1.545

Stato limite d'esercizio - Verifiche tensionali

Xg <m>	CC	TCC	El	Sez.	X <cm>	N <daN>	Mz <daNm>	My <daNm>	AfT <cmq>	AfC <cmq>	σc <daN/cmq>	σf <daN/cmq>
0.00	38	SLE R	1	3	0.00	-13007.10	2486.16	2623.55	12.57	12.57	59.90	787.35
0.00	28	SLE Q	1	3	0.00	-11910.00	2183.38	50.71	12.57	12.57	33.68	402.28
0.00	38	SLE R	1	3	0.00	-13007.10	2486.16	2623.55	12.57	12.57	59.90	787.35
0.00	28	SLE Q	1	3	0.00	-11910.00	2183.38	50.71	12.57	12.57	33.68	402.28
3.65	38	SLE R	1	3	365.00	-11364.60	-4190.17	-1110.27	12.57	12.57	74.06	1303.94
3.65	28	SLE Q	1	3	365.00	-10267.50	-3679.86	-97.98	12.57	12.57	56.84	1030.24

Stato limite d'esercizio - Verifiche a fessurazione

Xg <m>	CC	TCC	El	Sez.	X <cm>	N <daN>	My <daNm>	Mz <daNm>	c <mm>	s <mm>	K3	s _{sm} <mm>	φ	A _s <cmq>	A _{c eff} <cmq>	σ _s <daN/cmq>	σ _{sr} <daN/cmq>	ε _{sm}	Wk <mm>
0.00	28	SLE Q	1	3	0.00	-11910.00	50.71	2183.38	49.00	160.67	0.13	220.97	20.00	12.57	1141.54	402.28	981.99	0.08	0.03
0.00	28	SLE Q	1	3	0.00	-11910.00	50.71	2183.38	49.00	160.67	0.13	220.97	20.00	12.57	1141.54	402.28	981.99	0.08	0.03

Relazione di calcolo

3.65	28	SLE Q	1	3	365.00	-10267.50	-97.98	-3679.86	49.00	160.67	0.13	221.00	20.00	12.57	1141.85	1030.24	1256.97	0.20	0.08
------	----	-------	---	---	--------	-----------	--------	----------	-------	--------	------	--------	-------	-------	---------	---------	---------	------	------

Staffe - Verifiche armatura

X0 <m>	X1 <m>	Staff.	Br _y	Br _z	CC	TCC	b _{w,y} <m>	Vsdu _y <daN>	ctgθ _y	VRsd _y <daN>	VRcd _y <daN>	b _{w,z} <m>	Vsdu _z <daN>	ctgθ _z	VRsd _z <daN>	VRcd _z <daN>	Sic. T
0.00	0.61	ø8/ 6	2	2	36	SLU	0.60	2545.08	2.50	35551.90	41278.90	0.30	2624.46	1.79	57185.20	57185.20	13.97
0.00	0.61	ø8/ 6	2	2	25	SLU	0.60	2545.08	2.50	35551.90	41278.10	0.30	59.31	1.79	57184.60	57184.60	13.97
0.00	0.61	ø8/ 6	2	2	1	SND	0.60	1989.20	2.50	35551.90	40593.50	0.30	3785.49	1.77	56559.10	56559.10	14.94
0.00	0.61	ø8/ 6	2	2	22	SND	0.60	3735.10	2.50	35551.90	40725.30	0.30	887.70	1.78	56680.10	56680.10	9.52
0.00	0.61	ø8/ 6	2	2	19	SND	0.60	3735.10	2.50	35551.90	40741.50	0.30	1242.96	1.78	56695.00	56695.00	9.52
0.61	3.04	ø8/18	2	2	36	SLU	0.60	2545.08	2.50	11850.60	41234.50	0.30	2259.46	2.50	26602.50	46281.90	4.66
0.61	3.04	ø8/18	2	2	25	SLU	0.60	2545.08	2.50	11850.60	41233.70	0.30	59.31	2.50	26602.50	46281.00	4.66
0.61	3.04	ø8/18	2	2	1	SND	0.60	1989.20	2.50	11850.60	40559.30	0.30	3785.49	2.50	26602.50	45524.10	5.96
0.61	3.04	ø8/18	2	2	22	SND	0.60	3735.10	2.50	11850.60	40691.10	0.30	887.70	2.50	26602.50	45672.00	3.17
0.61	3.04	ø8/18	2	2	19	SND	0.60	3735.10	2.50	11850.60	40707.40	0.30	1242.96	2.50	26602.50	45690.30	3.17
3.04	3.65	ø8/12	2	2	36	SLU	0.60	2545.08	2.50	17776.00	41057.00	0.30	799.46	2.50	39903.70	46082.70	6.98
3.04	3.65	ø8/12	2	2	29	SLU	0.60	2752.01	2.50	17776.00	41028.60	0.30	67.04	2.50	39903.70	46050.80	6.46
3.04	3.65	ø8/12	2	2	1	SND	0.60	1989.20	2.50	17776.00	40422.90	0.30	3785.49	2.50	39903.70	45370.90	8.94
3.04	3.65	ø8/12	2	2	22	SND	0.60	3735.10	2.50	17776.00	40554.60	0.30	887.70	2.50	39903.70	45518.80	4.76
3.04	3.65	ø8/12	2	2	19	SND	0.60	3735.10	2.50	17776.00	40570.90	0.30	1242.96	2.50	39903.70	45537.10	4.76

Pilastrata n. 10

Nodi: 10 110

Caratteristiche delle sezioni e dei materiali utilizzati

Sez.	Tipo	B <cm>	H <cm>	Cf <cm>	Cls	Fck <daN/cm²>	Fctk <daN/cm²>	Fcd <daN/cm²>	Fctd <daN/cm²>	Tp	Fyk <daN/cm²>	Fyd <daN/cm²>
3R		30.00	60.00	5.80	C30/37	307.10	20.59	174.02	13.73	B450C	4500.00	3913.04

Stato limite ultimo - Verifiche a flessione/pressoflessione

Xg <m>	CC	TCC	El	Sez.	X <cm>	N <daN>	My <daNm>	My ver. <daNm>	Mz <daNm>	Mz ver. <daNm>	Nu <daN>	MRdy <daNm>	MRdz <daNm>	α <grad>	ε _y	Sic.
0.00	36	SLU	1	3	0.00	-19231.10	3848.85		4005.25		-19231.10	10919.80	11669.20	77.34	5.16	2.877
0.00	36	SLU	1	3	0.00	-19231.10	3848.85		4005.25		-19231.10	10919.80	11669.20	77.34	5.16	2.877
3.65	25 (e)	SLU	1	3	365.00	-17087.40	42.71	354.56	-6750.45	-6750.45	-17087.40	642.44	-12153.90	270.53	8.66	1.800

Stato limite elastico - Verifiche a flessione/pressoflessione

Xg <m>	CC	TCC	El	Sez.	X <cm>	N <daN>	My <daNm>	My ver. <daNm>	Mz <daNm>	Mz ver. <daNm>	Nu <daN>	M'ydy <daNm>	M'ydz <daNm>	α <grad>	ε _y	Sic.
0.00	22	SND	1	3	0.00	-11406.40	1952.38		6916.13		-11406.40	3408.54	11676.10	87.19	8.12	1.693
0.00	22	SND	1	3	0.00	-11406.40	1952.38		6916.13		-11406.40	3408.54	11676.10	87.19	8.12	1.693
3.65	22	SND	1	3	365.00	-9763.92	-1056.73		-7444.50		-9763.92	-1571.84	-10588.80	268.59	8.91	1.424

Stato limite d'esercizio - Verifiche tensionali

Xg <m>	CC	TCC	El	Sez.	X <cm>	N <daN>	Mz <daNm>	My <daNm>	AfT <cmq>	AfC <cmq>	σ _c <daN/cm²>	σ _f <daN/cm²>
0.00	38	SLE R	1	3	0.00	-13954.70	2876.45	2563.91	12.57	12.57	65.64	887.17
0.00	28	SLE Q	1	3	0.00	-12730.00	2520.80	-24.16	12.57	12.57	38.62	495.36
0.00	38	SLE R	1	3	0.00	-13954.70	2876.45	2563.91	12.57	12.57	65.64	887.17
0.00	28	SLE Q	1	3	0.00	-12730.00	2520.80	-24.16	12.57	12.57	38.62	495.36
3.65	38	SLE R	1	3	365.00	-12312.20	-4847.97	-1006.55	12.57	12.57	83.12	1507.53
3.65	28	SLE Q	1	3	365.00	-11087.50	-4248.56	32.22	12.57	12.57	64.81	1209.26

Stato limite d'esercizio - Verifiche a fessurazione

Xg <m>	CC	TCC	El	Sez.	X <cm>	N <daN>	My <daNm>	Mz <daNm>	c <mm>	s <mm>	K3	s _{ra} <mm>	φ	A _s <cm²>	A _{c,eff} <cm²>	σ _s <daN/cm²>	σ _{sr} <daN/cm²>	ε _{sm}	Wk <mm>	
0.00	28	SLE Q	1	3	0.00	-12730.00	-24.16	2520.80	49.00	160.67	0.13	220.97	20.00	12.57	1141.54	495.36	495.36	1028.09	0.10	0.04
0.00	28	SLE Q	1	3	0.00	-12730.00	-24.16	2520.80	49.00	160.67	0.13	220.97	20.00	12.57	1141.54	495.36	1028.09	0.10	0.04	
3.65	28	SLE Q	1	3	365.00	-11087.50	32.22	-4248.56	49.00	160.67	0.13	221.00	20.00	12.57	1141.85	1209.26	1278.45	0.26	0.10	

Staffe - Verifiche armatura

X0 <m>	X1 <m>	Staff.	Br _y	Br _z	CC	TCC	b _{w,y} <m>	Vsdu _y <daN>	ctgθ _y	VRsd _y <daN>	VRcd _y <daN>	b _{w,z} <m>	Vsdu _z <daN>	ctgθ _z	VRsd _z <daN>	VRcd _z <daN>	Sic. T
0.00	0.61	ø8/ 6	2	2	36	SLU	0.60	2946.77	2.50	35551.90	41444.50	0.30	2564.22	1.80	57335.50	57335.50	12.06
0.00	0.61	ø8/ 6	2	2	25	SLU	0.60	2946.77	2.50	35551.90	41443.40	0.30	20.72	1.80	57334.60	57334.60	12.06
0.00	0.61	ø8/ 6	2	2	13	SND	0.60	2552.71	2.50	35551.90	40702.40	0.30	3754.26	1.77	56659.10	56659.10	13.93
0.00	0.61	ø8/ 6	2	2	22	SND	0.60	3934.42	2.50	35551.90	40817.50	0.30	824.42	1.78	56764.50	56764.50	9.04
0.00	0.61	ø8/ 6	2	2	19	SND	0.60	3934.42	2.50	35551.90	40821.20	0.30	1302.10	1.78	56767.90	56767.90	9.04
0.61	3.04	ø8/18	2	2	36	SLU	0.60	2946.77	2.50	11850.60	41400.10	0.30	2199.22	2.50	26602.50	46467.80	4.02
0.61	3.04	ø8/18	2	2	25	SLU	0.60	2946.77	2.50	11850.60	41399.10	0.30	20.72	2.50	26602.50	46466.60	4.02
0.61	3.04	ø8/18	2	2	13	SND	0.60	2552.71	2.50	11850.60	40668.30	0.30	3754.26	2.50	26602.50	45646.30	4.64
0.61	3.04	ø8/18	2	2	22	SND	0.60	3934.42	2.50	11850.60	40783.30	0.30	824.42	2.50	26602.50	45775.50	3.01
0.61	3.04	ø8/18	2	2	19	SND	0.60	3934.42	2.50	11850.60	40787.10	0.30	1302.10	2.50	26602.50	45779.70	3.01
3.04	3.65	ø8/12	2	2	36	SLU	0.60	2946.77	2.50	17776.00	41222.70	0.30	739.23	2.50	39903.70	46268.60	6.03
3.04	3.65	ø8/12	2	2	29	SLU	0.60	3145.44	2.50	17776.00	41197.60	0.30	15.58	2.50	39903.70	46240.40	5.65
3.04	3.65	ø8/12	2	2	13	SND	0.60	2552.71	2.50	17776.00	40531.80	0.30	3754.26	2.50	39903.70	45493.10	6.96
3.04	3.65	ø8/12	2	2	22	SND	0.60	3934.42	2.50	17776.00	40646.80	0.30	824.42	2.50	39903.70	45622.30	4.52
3.04	3.65	ø8/12	2	2	19	SND	0.60	3934.42	2.50	17776.00	40650.60	0.30	1302.10	2.50	39903.70	45626.50	4.52

Pilastrata n. 11

Nodi: 11 111

Caratteristiche delle sezioni e dei materiali utilizzati

Sez.	Tipo	B <cm>	H <cm>	Cf <cm>	Cls	Fck <daN/cm²>	Fctk <daN/cm²>	Fcd <daN/cm²>	Fctd <daN/cm²>	Tp	Fyk <daN/cm²>	Fyd <daN/cm²>
3R		30.00	60.00	5.80	C30/37	307.10	20.59	174.02	13.73	B450C	4500.00	3913.04

Stato limite ultimo - Verifiche a flessione/pressoflessione

Xg <m>	CC	TCC	El	Sez.	X <cm>	N <daN>	My <daNm>	My ver. <daNm>	Mz <daNm>	Mz ver. <daNm>	Nu <daN>	MRdy <daNm>	MRdz <daNm>	α <grad>	ε _y	Sic.
0.00	36	SLU	1	3	0.00	-21121.50	4057.13		4434.01		-21121.50	10905.40	11835.90	77.34	5.08	2.678
0.00	36	SLU	1	3	0.00	-21121.50	4057.13		4434.01		-21121.50	10905.40	11835.90	77.34	5.08	2.678
3.65	25	SLU	1	3	365.00	-19134.10	-446.85		-7473.07		-19134.10	-637.45	-12339.50	269.47	8.50	1.650

Stato limite elastico - Verifiche a flessione/pressoflessione

Xg <m>	CC	TCC	El	Sez.	X <cm>	N <daN>	My <daNm>	My ver. <daNm>	Mz <daNm>	Mz ver. <daNm>	Nu <daN>	M'ydy <daNm>	M'ydz <daNm>	α <grad>	ε _y	Sic.
0.00	10	SND	1	3	0.00	-12753.80	-1731.36		6971.22		-12753.80	-2859.40	11603.90	92.46	8.12	1.664
0.00	10	SND	1	3	0.00	-12753.80	-1731.36		6971.22		-12753.80	-2859.40	11603.90	92.46	8.12	1.664
3.65	7	SND	1	3	365.00	-10772.10	751.56		-7738.16		-10772.10	1093.25	-10528.20	270.70	9.29	1.361

Stato limite d'esercizio - Verifiche tensionali

Xg <m>	CC	TCC	El	Sez.	X <cm>	N <daN>	Mz <daNm>	My <daNm>	AfT <cmq>	AfC <cmq>	σ _c <daN/cm²>	σ _f <daN/cm²>
0.00	38	SLE R	1	3	0.00	-15314.50	3181.99	2719.14	12.57	12.57	71.64	970.17
0.00	28	SLE Q	1	3	0.00	-14039.80	2784.04	180.18	12.57	12.57	43.95	563.56
0.00	38	SLE R	1	3	0.00	-15314.50	3181.99	2719.14	12.57	12.57	71.64	970.17
0.00	28	SLE Q	1	3	0.00	-14039.80	2784.04	180.18	12.57	12.57	43.95	563.56
3.65	38	SLE R	1	3	365.00	-13672.00	-5362.93	-1276.49	12.57	12.57	93.48	1685.48
3.65	28	SLE Q	1	3	365.00	-12397.30	-4692.23	-323.11	12.57	12.57	74.31	1363.05

Stato limite d'esercizio - Verifiche a fessurazione

Xg <m>	CC	TCC	El	Sez.	X <cm>	N <daN>	My <daNm>	Mz <daNm>	c <mm>	s <mm>	K3	s _m <mm>	Φ	A _s <cm²>	A _{s,eff} <cm²>	σ _s <daN/cm²>	σ _{sr} <daN/cm²>	ε _m	Wk <mm>
0.00	28	SLE Q	1	3	0.00	-14039.80	180.18	2784.04	49.00	160.67	0.13	220.97	20.00	12.57	1141.54	563.56	1020.74	0.11	0.04
0.00	28	SLE Q	1	3	0.00	-14039.80	180.18	2784.04	49.00	160.67	0.13	220.97	20.00	12.57	1141.54	563.56	1020.74	0.11	0.04
3.65	28	SLE Q	1	3	365.00	-12397.30	-323.11	-4692.23	49.00	160.67	0.13	221.00	20.00	12.57	1141.85	1363.05	1262.54	0.38	0.14

Staffe - Verifiche armatura

X0 <m>	X1 <m>	Staff.	Br _y	Br _z	CC	TCC	bw _y <cm>	Vsdu _y <daN>	ctgθ _y	VRsd _y <daN>	VRcd _y <daN>	bw _z <cm>	Vsdu _z <daN>	ctgθ _z	VRsd _z <daN>	VRcd _z <daN>	Sic.	T
0.00	0.61	ø8/ 6	2	2	36	SLU	0.60	3262.21	2.50	35551.90	41680.10	0.30	2720.52	1.80	57548.70	57548.70	10.90	
0.00	0.61	ø8/ 6	2	2	25	SLU	0.60	3262.21	2.50	35551.90	41698.60	0.30	190.54	1.80	57565.30	57565.30	10.90	
0.00	0.61	ø8/ 6	2	2	1	SND	0.60	2634.51	2.50	35551.90	40916.40	0.30	3664.85	1.78	56855.00	56855.00	13.49	
0.00	0.61	ø8/ 6	2	2	22	SND	0.60	4053.66	2.50	35551.90	40957.70	0.30	928.98	1.78	56892.70	56892.70	8.77	
0.00	0.61	ø8/ 6	2	2	19	SND	0.60	4053.66	2.50	35551.90	41000.00	0.30	1076.45	1.78	56931.30	56931.30	8.77	
0.61	3.04	ø8/18	2	2	36	SLU	0.60	3262.21	2.50	11850.60	41635.80	0.30	2355.52	2.50	26602.50	46732.30	3.63	
0.61	3.04	ø8/18	2	2	25	SLU	0.60	3262.21	2.50	11850.60	41654.20	0.30	190.54	2.50	26602.50	46753.00	3.63	
0.61	3.04	ø8/18	2	2	1	SND	0.60	2634.51	2.50	11850.60	40882.30	0.30	3664.85	2.50	26602.50	45886.60	4.50	
0.61	3.04	ø8/18	2	2	22	SND	0.60	4053.66	2.50	11850.60	40923.60	0.30	928.98	2.50	26602.50	45932.90	2.92	
0.61	3.04	ø8/18	2	2	19	SND	0.60	4053.66	2.50	11850.60	40965.80	0.30	1076.45	2.50	26602.50	45980.30	2.92	
3.04	3.65	ø8/12	2	2	36	SLU	0.60	3262.21	2.50	17776.00	41458.30	0.30	895.52	2.50	39903.70	46533.10	5.45	
3.04	3.65	ø8/12	2	2	29	SLU	0.60	3463.22	2.50	17776.00	41452.90	0.30	195.56	2.50	39903.70	46527.00	5.13	
3.04	3.65	ø8/12	2	2	1	SND	0.60	2634.50	2.50	17776.00	40745.80	0.30	3664.85	2.50	39903.70	45733.40	6.75	
3.04	3.65	ø8/12	2	2	22	SND	0.60	4053.66	2.50	17776.00	40787.10	0.30	928.98	2.50	39903.70	45779.70	4.39	
3.04	3.65	ø8/12	2	2	19	SND	0.60	4053.66	2.50	17776.00	40829.30	0.30	1076.45	2.50	39903.70	45827.10	4.39	

Pilastrata n. 12

Nodi: 12 112

Caratteristiche delle sezioni e dei materiali utilizzati

Sez.	Tipo	B <cm>	H <cm>	Cf <cm>	Cls	Fck <daN/cm²>	Fctk <daN/cm²>	Fcd <daN/cm²>	Fctd <daN/cm²>	Tp	Fyk <daN/cm²>	Fyd <daN/cm²>
3R		30.00	60.00	5.80	C30/37	307.10	20.59	174.02	13.73	B450C	4500.00	3913.04

Stato limite ultimo - Verifiche a flessione/pressoflessione

Xg <m>	CC	TCC	El	Sez.	X <cm>	N <daN>	My <daNm>	My ver. <daNm>	Mz <daNm>	Mz ver. <daNm>	Nu <daN>	MRdy <daNm>	MRdz <daNm>	α <grad>	ε _y	Sic.
0.00	36	SLU	1	3	0.00	-20792.20	3499.80		4272.65		-20792.20	10059.20	11947.50	78.75	5.27	2.828
0.00	36	SLU	1	3	0.00	-20792.20	3499.80		4272.65		-20792.20	10059.20	11947.50	78.75	5.27	2.828
3.65	37 (e)	SLU	1	3	365.00	-18563.10	-307.19	-385.19	-7201.13	-7201.13	-18563.10	-638.83	-12288.20	269.47	8.54	1.706

Stato limite elastico - Verifiche a flessione/pressoflessione

Xg <m>	CC	TCC	El	Sez.	X <cm>	N <daN>	My <daNm>	My ver. <daNm>	Mz <daNm>	Mz ver. <daNm>	Nu <daN>	M'ydy <daNm>	M'ydz <daNm>	α <grad>	ε _y	Sic.
0.00	36	SLU	1	3	0.00	-20792.20	3499.80		4272.65		-20792.20	10059.20	11947.50	78.75	5.27	2.828
3.65	37 (e)	SLU	1	3	365.00	-18563.10	-307.19	-385.19	-7201.13	-7201.13	-18563.10	-638.83	-12288.20	269.47	8.54	1.706

Relazione di calcolo

0.00	10	SND	1	3	0.00	-12515.20	-2197.90		7170.05		-12515.20	-3459.89	12006.60	92.81	8.03	1.666
0.00	10	SND	1	3	0.00	-12515.20	-2197.90		7170.05		-12515.20	-3459.89	12006.60	92.81	8.03	1.666
3.65	7	SND	1	3	365.00	-10347.00	-1177.58		-7786.20		-10347.00	-1575.30	-10685.80	268.59	8.86	1.372

Stato limite d'esercizio - Verifiche tensionali

Xg <m>	CC	TCC	El	Sez.	X <cm>	N <daN>	Mz <daNm>	My <daNm>	AfT <cmq>	AfC <cmq>	σ _c <daN/cmq>	σ _f <daN/cmq>
0.00	38	SLE R	1	3	0.00	-15060.40	3066.96	2313.13	12.57	12.57	66.33	882.66
0.00	28	SLE Q	1	3	0.00	-13584.80	2684.90	-251.31	12.57	12.57	43.04	550.03
0.00	38	SLE R	1	3	0.00	-15060.40	3066.96	2313.13	12.57	12.57	66.33	882.66
0.00	28	SLE Q	1	3	0.00	-13584.80	2684.90	-251.31	12.57	12.57	43.04	550.03
3.65	38	SLE R	1	3	365.00	-13417.90	-5169.06	-570.46	12.57	12.57	83.89	1535.92
3.65	28	SLE Q	1	3	365.00	-11942.30	-4525.13	427.23	12.57	12.57	72.76	1328.55

Stato limite d'esercizio - Verifiche a fessurazione

Xg <m>	CC	TCC	El	Sez.	X <cm>	N <daN>	My <daNm>	Mz <daNm>	c <mm>	s <mm>	K3	s _m <mm>	φ	A _s <cmq>	A _{s,eff} <cmq>	σ _s <daN/cmq>	σ _{sr} <daN/cmq>	ε _m	Wk <mm>
0.00	28	SLE Q	1	3	0.00	-13584.80	-251.31	2684.90	49.00	160.67	0.13	220.97	20.00	12.57	1141.54	550.03	1015.15	0.11	0.04
0.00	28	SLE Q	1	3	0.00	-13584.80	-251.31	2684.90	49.00	160.67	0.13	220.97	20.00	12.57	1141.54	550.03	1015.15	0.11	0.04
3.65	28	SLE Q	1	3	365.00	-11942.30	427.23	-4525.13	49.00	160.67	0.13	221.00	20.00	12.57	1141.85	1328.55	1257.88	0.36	0.13

Staffe - Verifiche armatura

X0 <m>	X1 <m>	Staff.	Br _y	Br _z	CC	TCC	bw _y <cm>	Vsdu _y <daN>	ctgθ _y	VRsd _y <daN>	VRcd _y <daN>	bw _z <cm>	Vsdu _z <daN>	ctgθ _z	VRsd _z <daN>	VRcd _z <daN>	Sic. T
0.00	0.61	ø8/ 6	2	2	36	SLU	0.60	3143.50	2.50	35551.90	41639.10	0.30	2302.30	1.80	57511.60	57511.60	11.31
0.00	0.61	ø8/ 6	2	2	25	SLU	0.60	3143.50	2.50	35551.90	41609.90	0.30	257.88	1.80	57485.20	57485.20	11.31
0.00	0.61	ø8/ 6	2	2	13	SND	0.60	2474.33	2.50	35551.90	40889.40	0.30	3824.97	1.78	56830.30	56830.30	14.37
0.00	0.61	ø8/ 6	2	2	10	SND	0.60	4097.60	2.50	35551.90	40903.50	0.30	987.36	1.78	56843.20	56843.20	8.68
0.00	0.61	ø8/ 6	2	2	7	SND	0.60	4097.60	2.50	35551.90	40969.10	0.30	1082.21	1.78	56903.10	56903.10	8.68
0.61	3.04	ø8/18	2	2	36	SLU	0.60	3143.50	2.50	11850.60	41594.70	0.30	1937.30	2.50	26602.50	46686.20	3.77
0.61	3.04	ø8/18	2	2	25	SLU	0.60	3143.50	2.50	11850.60	41565.50	0.30	257.88	2.50	26602.50	46653.40	3.77
0.61	3.04	ø8/18	2	2	13	SND	0.60	2474.33	2.50	11850.60	40855.20	0.30	3824.97	2.50	26602.50	45856.20	4.79
0.61	3.04	ø8/18	2	2	10	SND	0.60	4097.60	2.50	11850.60	40869.40	0.30	987.36	2.50	26602.50	45872.10	2.89
0.61	3.04	ø8/18	2	2	7	SND	0.60	4097.60	2.50	11850.60	40935.00	0.30	1082.21	2.50	26602.50	45945.70	2.89
3.04	3.65	ø8/12	2	2	36	SLU	0.60	3143.50	2.50	17776.00	41417.30	0.30	477.31	2.50	39903.70	46487.00	5.65
3.04	3.65	ø8/12	2	2	29	SLU	0.60	3348.28	2.50	17776.00	41364.70	0.30	252.61	2.50	39903.70	46428.00	5.31
3.04	3.65	ø8/12	2	2	13	SND	0.60	2474.33	2.50	17776.00	40718.70	0.30	3824.97	2.50	39903.70	45703.00	7.18
3.04	3.65	ø8/12	2	2	10	SND	0.60	4097.60	2.50	17776.00	40732.90	0.30	987.36	2.50	39903.70	45718.90	4.34
3.04	3.65	ø8/12	2	2	7	SND	0.60	4097.60	2.50	17776.00	40798.50	0.30	1082.21	2.50	39903.70	45792.50	4.34

Pilastrata n. 13

Nodi: 13 113

Caratteristiche delle sezioni e dei materiali utilizzati

Sez.	Tipo	B <cm>	H <cm>	Cf <cm>	Cls	Fck <daN/cmq>	Fctk <daN/cmq>	Fcd <daN/cmq>	Fctd <daN/cmq>	Tp	Fyk <daN/cmq>	Fyd <daN/cmq>
3R		30.00	60.00	5.80	C30/37	307.10	20.59	174.02	13.73	B450C	4500.00	3913.04

Stato limite ultimo - Verifiche a flessione/pressoflessione

Xg <m>	CC	TCC	El	Sez.	X <cm>	N <daN>	My <daNm>	My ver. <daNm>	Mz <daNm>	Mz ver. <daNm>	Nu <daN>	MRdy <daNm>	MRdz <daNm>	α <grad>	ε _y	Sic.
0.00	36	SLU	1	3	0.00	-18264.60	3999.26		3648.07		-18264.60	12444.30	11333.10	74.53	4.91	3.109
0.00	36	SLU	1	3	0.00	-18264.60	3999.26		3648.07		-18264.60	12444.30	11333.10	74.53	4.91	3.109
3.65	36	SLU	1	3	365.00	-16129.40	-1775.38		-6148.46		-16129.40	-3346.77	-12111.80	267.19	7.73	1.964

Stato limite elastico - Verifiche a flessione/pressoflessione

Xg <m>	CC	TCC	El	Sez.	X <cm>	N <daN>	My <daNm>	My ver. <daNm>	Mz <daNm>	Mz ver. <daNm>	Nu <daN>	M'ydy <daNm>	M'ydz <daNm>	α <grad>	ε _y	Sic.
0.00	10	SND	1	3	0.00	-11065.50	-1855.63		6972.03		-11065.50	-2914.02	11587.10	92.46	8.27	1.656
0.00	10	SND	1	3	0.00	-11065.50	-1855.63		6972.03		-11065.50	-2914.02	11587.10	92.46	8.27	1.656
3.65	10	SND	1	3	365.00	-9423.04	868.80		-7244.07		-9423.04	1106.93	-10499.70	270.70	9.41	1.447

Stato limite d'esercizio - Verifiche tensionali

Xg <m>	CC	TCC	El	Sez.	X <cm>	N <daN>	Mz <daNm>	My <daNm>	AfT <cmq>	AfC <cmq>	σ _c <daN/cmq>	σ _f <daN/cmq>
0.00	38	SLE R	1	3	0.00	-13276.00	2620.91	2675.00	12.57	12.57	62.53	833.95
0.00	28	SLE Q	1	3	0.00	-12270.30	2299.68	111.20	12.57	12.57	35.96	438.73
0.00	38	SLE R	1	3	0.00	-13276.00	2620.91	2675.00	12.57	12.57	62.53	833.95
0.00	28	SLE Q	1	3	0.00	-12270.30	2299.68	111.20	12.57	12.57	35.96	438.73
3.65	38	SLE R	1	3	365.00	-11633.50	-4417.28	-1199.73	12.57	12.57	78.37	1391.83
3.65	28	SLE Q	1	3	365.00	-10627.80	-3875.88	-203.17	12.57	12.57	60.80	1103.72

Stato limite d'esercizio - Verifiche a fessurazione

Xg <m>	CC	TCC	El	Sez.	X <cm>	N <daN>	My <daNm>	Mz <daNm>	c <mm>	s <mm>	K3	s _m <mm>	φ	A _s <cmq>	A _{s,eff} <cmq>	σ _s <daN/cmq>	σ _{sr} <daN/cmq>	ε _m	Wk <mm>
0.00	28	SLE Q	1	3	0.00	-12270.30	111.20	2299.68	49.00	160.67	0.13	220.97	20.00	12.57	1141.54	438.73	991.56	0.09	0.03
0.00	28	SLE Q	1	3	0.00	-12270.30	111.20	2299.68	49.00	160.67	0.13	220.97	20.00	12.57	1141.54	438.73	991.56	0.09	0.03
3.65	28	SLE Q	1	3	365.00	-10627.80	-203.17	-3875.88	49.00	160.67	0.13	221.00	20.00	12.57	1141.85	1103.72	1256.29	0.21	0.08

Staffe - Verifiche armatura

X0 <m>	X1 <m>	Staff.	Br _y	Br _z	CC	TCC	bw _y <m>	Vsdu _y <daN>	ctgθ _y	VRsd _y <daN>	VRcd _y <daN>	bw _z <m>	Vsdu _z <daN>	ctgθ _z	VRsd _z <daN>	VRcd _z <daN>	Sic. T
0.00	0.61	ø8/ 6	2	2	36	SLU	0.60	2683.98	2.50	35551.90	41324.00	0.30	2677.09	1.79	57226.30	57226.30	13.25
0.00	0.61	ø8/ 6	2	2	25	SLU	0.60	2683.98	2.50	35551.90	41349.70	0.30	115.66	1.79	57249.50	57249.50	13.25
0.00	0.61	ø8/ 6	2	2	1	SND	0.60	2485.25	2.50	35551.90	40721.50	0.30	3810.73	1.78	56676.60	56676.60	14.31
0.00	0.61	ø8/ 6	2	2	10	SND	0.60	3894.82	2.50	35551.90	40755.20	0.30	746.43	1.78	56707.50	56707.50	9.13
0.00	0.61	ø8/ 6	2	2	7	SND	0.60	3894.82	2.50	35551.90	40800.00	0.30	1371.30	1.78	56748.50	56748.50	9.13
0.61	3.04	ø8/18	2	2	36	SLU	0.60	2683.98	2.50	11850.60	41279.70	0.30	2312.09	2.50	26602.50	46332.60	4.42
0.61	3.04	ø8/18	2	2	25	SLU	0.60	2683.98	2.50	11850.60	41305.30	0.30	115.66	2.50	26602.50	46361.30	4.42
0.61	3.04	ø8/18	2	2	1	SND	0.60	2485.25	2.50	11850.60	40687.40	0.30	3810.73	2.50	26602.50	45667.80	4.77
0.61	3.04	ø8/18	2	2	10	SND	0.60	3894.82	2.50	11850.60	40721.10	0.30	746.43	2.50	26602.50	45705.60	3.04
0.61	3.04	ø8/18	2	2	7	SND	0.60	3894.82	2.50	11850.60	40765.80	0.30	1371.30	2.50	26602.50	45755.80	3.04
3.04	3.65	ø8/12	2	2	36	SLU	0.60	2683.98	2.50	17776.00	41102.20	0.30	852.09	2.50	39903.70	46133.40	6.62
3.04	3.65	ø8/12	2	2	29	SLU	0.60	2900.06	2.50	17776.00	41101.80	0.30	119.21	2.50	39903.70	46133.00	6.13
3.04	3.65	ø8/12	2	2	1	SND	0.60	2485.25	2.50	17776.00	40550.90	0.30	3810.73	2.50	39903.70	45514.60	7.15
3.04	3.65	ø8/12	2	2	10	SND	0.60	3894.82	2.50	17776.00	40584.60	0.30	746.43	2.50	39903.70	45552.40	4.56
3.04	3.65	ø8/12	2	2	7	SND	0.60	3894.82	2.50	17776.00	40629.30	0.30	1371.30	2.50	39903.70	45602.60	4.56

Pilastrata n. 14

Nodi: 14 114

Caratteristiche delle sezioni e dei materiali utilizzati

Sez. Tipo	B <cm>	H <cm>	Cf <cm>	Cls	Fck <daN/cm²>	Fctk <daN/cm²>	Fcd <daN/cm²>	Fctd <daN/cm²>	Tp	Fyk <daN/cm²>	Fyd <daN/cm²>
3R	30.00	60.00	5.80	C30/37	307.10	20.59	174.02	13.73	B450C	4500.00	3913.04

Stato limite ultimo - Verifiche a flessione/pressoflessione

Xg <m>	CC	TCC	El	Sez.	X <cm>	N <daN>	My <daNm>	My ver. <daNm>	Mz <daNm>	Mz ver. <daNm>	Nu <daN>	MRdy <daNm>	MRdz <daNm>	α <grad>	ε _y	Sic.
0.00	36	SLU	1	3	0.00	-11687.90	-3747.62		1029.30		-11687.90	-24724.70	6718.27	135.00	4.96	6.593
0.00	36	SLU	1	3	0.00	-11687.90	-3747.62		1029.30		-11687.90	-24724.70	6718.27	135.00	4.96	6.593
3.65	25	SLU	1	3	365.00	-9813.69	6516.95		511.33		-9813.69	28617.50	2145.08	16.88	6.71	4.390

Stato limite elastico - Verifiche a flessione/pressoflessione

Xg <m>	CC	TCC	El	Sez.	X <cm>	N <daN>	My <daNm>	My ver. <daNm>	Mz <daNm>	Mz ver. <daNm>	Nu <daN>	M'ydy <daNm>	M'ydz <daNm>	α <grad>	ε _y	Sic.
0.00	7	SND	1	3	0.00	-4802.01	-18094.10		-864.21		-4802.01	-19909.90	-1010.52	191.25	7.63	1.101
0.00	7	SND	1	3	0.00	-4802.01	-18094.10		-864.21		-4802.01	-19909.90	-1010.52	191.25	7.63	1.101
3.65	7	SND	1	3	365.00	-3159.51	12176.70		824.79		-3159.51	19551.00	1015.35	11.25	7.76	1.604

Stato limite d'esercizio - Verifiche tensionali

Xg <m>	CC	TCC	El	Sez.	X <cm>	N <daN>	Mz <daNm>	My <daNm>	AfT <cmq>	AfC <cmq>	σ _c <daN/cm²>	σ _t <daN/cm²>
0.00	38	SLE R	1	3	0.00	-8532.45	668.55	-2688.50	15.71	15.71	29.49	357.69
0.00	28	SLE Q	1	3	0.00	-8115.74	-219.53	-2413.71	15.71	15.71	20.89	242.66
0.00	38	SLE R	1	3	0.00	-8532.45	668.55	-2688.50	15.71	15.71	29.49	357.69
0.00	28	SLE Q	1	3	0.00	-8115.74	-219.53	-2413.71	15.71	15.71	20.89	242.66
3.65	26	SLE R	1	3	365.00	-7063.98	370.44	4675.18	18.85	12.57	40.29	747.07
3.65	28	SLE Q	1	3	365.00	-6473.24	367.59	4197.34	18.85	12.57	36.74	671.83

Stato limite d'esercizio - Verifiche a fessurazione

Xg <m>	CC	TCC	El	Sez.	X <cm>	N <daN>	My <daNm>	Mz <daNm>	c <mm>	s <mm>	K3	s _m <mm>	φ	A _s <cmq>	A _c eff <cmq>	σ _s <daN/cm²>	σ _{sr} <daN/cm²>	ε _{sm}	Wk <mm>
0.00	28	SLE Q	1	3	0.00	-8115.74	-2413.71	-219.53	49.00	120.50	0.13	195.04	20.00	15.71	1145.71	241.81	946.73	0.05	0.02
0.00	28	SLE Q	1	3	0.00	-8115.74	-2413.71	-219.53	49.00	120.50	0.13	195.04	20.00	15.71	1145.71	241.81	946.73	0.05	0.02
3.65	28	SLE Q	1	3	365.00	-6473.24	4197.34	367.59	49.00	120.50	0.13	190.62	20.00	18.85	1291.59	671.83	1253.46	0.13	0.04

Staffe - Verifiche armatura

X0 <m>	X1 <m>	Staff.	Br _y	Br _z	CC	TCC	bw _y <m>	Vsdu _y <daN>	ctgθ _y	VRsd _y <daN>	VRcd _y <daN>	bw _z <m>	Vsdu _z <daN>	ctgθ _z	VRsd _z <daN>	VRcd _z <daN>	Sic. T
0.00	0.61	ø8/ 6	2	2	36	SLU	0.60	835.84	2.50	35551.90	40504.20	0.30	2812.21	1.77	56477.10	56477.00	20.08
0.00	0.61	ø8/ 6	2	2	10	SND	0.60	229.37	2.50	35551.90	40487.10	0.30	8293.38	1.77	56461.40	56461.40	6.81
0.00	0.61	ø8/ 6	2	2	13	SND	0.60	1380.45	2.50	35551.90	40279.30	0.30	2732.26	1.76	56269.80	56269.80	20.59
0.61	3.04	ø8/18	2	2	36	SLU	0.60	653.34	2.50	11850.60	40459.80	0.30	2812.21	2.50	26602.50	45412.40	9.46
0.61	3.04	ø8/18	2	2	25	SLU	0.60	223.79	2.50	11850.60	40492.40	0.30	2812.21	2.50	26602.50	45448.90	9.46
0.61	3.04	ø8/18	2	2	10	SND	0.60	229.37	2.50	11850.60	40453.00	0.30	8293.38	2.50	26602.50	45404.70	3.21
0.61	3.04	ø8/18	2	2	7	SND	0.60	462.73	2.50	11850.60	40540.20	0.30	8293.38	2.50	26602.50	45502.60	3.21
0.61	3.04	ø8/18	2	2	13	SND	0.60	1380.45	2.50	11850.60	40245.20	0.30	2732.26	2.50	26602.50	45171.40	8.58
3.04	3.65	ø8/12	2	2	36	SLU	0.60	259.16	2.50	17776.00	40282.40	0.30	2812.21	2.50	39903.70	45213.20	14.19
3.04	3.65	ø8/12	2	2	25	SLU	0.60	223.79	2.50	17776.00	40314.90	0.30	2812.21	2.50	39903.70	45249.70	14.19
3.04	3.65	ø8/12	2	2	10	SND	0.60	229.37	2.50	17776.00	40316.50	0.30	8293.38	2.50	39903.70	45251.50	4.81
3.04	3.65	ø8/12	2	2	7	SND	0.60	462.73	2.50	17776.00	40403.70	0.30	8293.38	2.50	39903.70	45349.40	4.81
3.04	3.65	ø8/12	2	2	13	SND	0.60	1380.45	2.50	17776.00	40108.70	0.30	2732.26	2.50	39903.70	45018.20	12.88

